

INSTYTUT GEOFIZYKI
POLSKIEJ AKADEMII NAUK

MATERIAŁY I PRACE

52

PUBLICATIONS
OF THE INSTITUTE OF GEOPHYSICS
POLISH ACADEMY OF SCIENCES

RÉSULTATS
DES ENREGISTREMENTS SÉISMOLOGIQUES
DANS LES OBSERVATOIRES POLONAIS

1967

PAŃSTWOWE WYDAWNICTWO NAUKOWE
WARSZAWA 1972

Editor
Roman TEISSEYRE

Editorial Address
All correspondence regarding editorial matter and exchange publications should be addressed to:
Instytut Geofizyki Polskiej Akademii Nauk
Warszawa, ul. Pasteura 3, Poland

Editorial Secretary
Wacław KOWALSKI

All inquiries regarding the subscription rate and the price of each issue should be addressed to:
Export — Import Enterprise „Ruch”
ul. Wronia 23, Warszawa, Poland

Wykonano z oryginałów tekstowych
dostarczonych przez Instytut Geofizyki PAN

Printed in Poland

Państwowe Wydawnictwo Naukowe
Oddział w Łodzi 1972

Wydanie I. Nakład 370+90. Ark. wyd. 17,00. Ark. druk. 12 2/16.
Papier druk. sat. kl. III. 80 g. 70×100. Podpisano do druku 3.1.1972 r.
Druk ukończono w styczniu 1972 r. Zam. 597. U-91. Cena zł 51,—

Zakład Graficzny Wydawnictw Naukowych
Łódź, ul. Gdańska 162

INTRODUCTION

La publication que nous vous présentons ici est un recueil des résultats d'enregistrement séismologique des observatoires de l'Institut de Géophysique de l'Académie Polonaise des Sciences à Warszawa /WAR/, Kraków /KRA/, Niedzica /NIE/, Racibórz /RAC/ et Rybnik /RBN/, dans les observatoires de l'Institut Central des Mines /GIG/ à Dąbrowa Górnicza /DGP/, Bytom /BYT/, Zabrze /GIG/, ainsi qu'à la Station Séismologique de l'Observatoire Astronomique et du Planétarium à Chorzów /CHZ/.

La première partie de la publication comprend l'élaboration des secousses distantes ainsi que des secousses locales mais qui ne proviennent pas de la région silésienne. L'identification des secousses distantes s'appuie sur des données accessibles des centres séismologiques de BCIS, USCGS, ISC et Moskva. Les distances épacentrales calculées d'après les coordonnées géocentriques avec exactitude $\pm 0,01^\circ$. Les valeurs des magnitudes des secousses dont les distances épacentrales sont $> 5^\circ$ furent notées dans les observatoires de Kraków, Niedzica et Racibórz à aide des amplitudes des ondes volumétriques /m/ et des ondes superficielles /M/.

La deuxième partie comporte une étude comparative des secousses de Haute Silésie, enregistrées par les observatoires de Chorzów, Kraków, Niedzica, Racibórz et Rybnik. Les premières phases des secousses silésiennes, enregistrées par les observatoires de GIG, à Dąbrowa Górnicza, Bytom et Zabrze ont été indiquées avant chaque secousse élaborée. Les phases, mentionnées dans les publications de GIG, sont marquées /GIG/. Les coordonnées des épacentres ainsi que le temps de l'apparition des secousses dans le foyer sont calculés sur la base des temps d'arrivée des ondes longitudinales et latitudinales ainsi que des intervalles des ondes S - P. Les magnitudes furent calculées d'après la formule $M = \log A/T + a \log \Delta \text{ km} + b$. Les coefficients a, b, furent déterminés séparément pour chaque station et chaque appareillage.

La première partie de cette publication a été rédigée par H. Lewandowska-Marciniak, B. Guterch et M. Mazur, la deuxième partie par D. Draber et M. Wernik.

- 4 -

OBSERVATOIRE SÉISMOLOGIQUE À WARSZAWA

Coordonnées géographiques : $\varphi = 52^{\circ}14'30''N$, $\lambda = 21^{\circ}01'25''E$,
h = 110 m.

Sous-sol : sables, dépôts glacières.

Appareils : trois séismographes Galitzine - Wilip à enregistrement galvanométrique et amortissement magnétique. La régularité des pendules des contacts sont vérifiées par rapport signaux de la radio.

Après avoir remise à neuf la cave l'enregistrement préliminaire à été recommencé en mois d'août.

OBSERVATOIRE SÉISMOLOGIQUE À KRAKÓW

Coordonnées géographiques : $\varphi = 50^{\circ}03'22''N$, $\lambda = 19^{\circ}56'23''E$,
h = 223 m.

Sous-sol : calcaire jurassique.

Appareils : deux séismographes horizontaux Galitzine - Wilip /NS, EW/, les séismographes Charin /NS, EW, vertical/, les séismographes type SKM-3 /NS, EW, vertical/. Tous séismographes à enregistrement galvanométrique. La régularité de la pendule de contact est vérifiée par rapport aux signaux de la radio.

Constantes des séismographes

Galitzine-Wilip /GW/ du 1 I au 31 XII 1967

	N	E
T_s	11,97 sec	8,92 sec
T_g	3,12 sec	4,07 sec
D_s	0,763	0,465
D_g	0,922	0,687
σ^2	0,0227	0,0338
V_0	2675	3900
R	30 mm/mn	30 mm/mn

Charin /Ch/ du 1 I au 31 XII 1967

	N	E	Z
T_s	1,517 sec	1,480 sec	1,113 sec
T_g	0,4167 sec	0,333 sec	0,2727 sec
D_s	0,70	0,70	0,70
D_g	2,00	2,00	2,00
σ^2	0,217	0,205	0,307
V_0	15000	15000	15000
R	60 mm/mn	60 mm/mn	60 mm/mn

SKM-3 /SKM/ du 1 I au 31 XII 1967

	N	E	Z
T_s	1,583 sec	1,586 sec	1,611 sec
T_g	0,166	0,096 sec	0,100 sec
D_s	0,69	0,79	0,68
D_g	2,37	4,00	1,46
σ^2	0,042	0,190	0,056
V_0	46600	57300	41300
R	60 mm/mn	60 mm/mn	60 mm/mn

- 5 -

STATION SÉISMOLOGIQUE À NIEDZICA

Coordonnées géographiques : $\varphi = 49^{\circ}25'25''N$, $\lambda = 20^{\circ}19'19''E$,
h = 555 m.

Sous-sol : calcaire jurassique.

Appareils : les séismographes type SK-58 /NS, EW, vertical/ à enregistrement galvanométrique. La régularité de la pendule de contact est vérifiée par rapport aux signaux de la radio.

Constantes des séismographes

SK-58 /SK/ du 1 I au 31 XII 1967

	N	E	Z
T_s	1,823 sec	2,01 sec	1,771 sec
T_g	0,366 sec	0,312 sec	0,426 sec
D_s	3,626	3,438	2,339
D_g	4,499	4,071	4,854
σ^2	0,8131	0,9039	0,9499
V_0	39500	37800	40480
R	60 mm/mn	60 mm/mn	60 mm/mn

STATION GÉOPHYSIQUE SILÉSIEENNE À RACIBÓRZ

Coordonnées géographiques : $\varphi = 50^{\circ}05'00,3''N$, $\lambda = 18^{\circ}11'39''E$,
h = 209 m.

Sous-sol : argiles plastiques miocène.

Appareils : les séismographes Mainka /NS, EW, vertical/ à enregistrement mécanique, les séismographes type SK-58 /NS, EW, vertical/ à enregistrement galvanométrique. La régularité des pendules de contacts sont vérifiées par rapport aux signaux de la radio

Constantes des séismographes

Mainka /M/ du 1 I au 29 V 1967

	N	E	Z
M	1050 kg	1050 kg	750 kg
T_s	6,2 sec	5,9 sec	2,0 sec
D_s	0,192	0,211	0,158
V_0	120	177	120
R	30 mm/mn	30 mm/mn	30 mm/mn

Mainka /M/ du 30 V au 31 XII 1967

	N	E	Z
M	1050 kg	1050 kg	750 kg
T_s	6,0 sec	6,0 sec	2,0 sec
D_s	0,242	0,331	0,158
V_0	136	191	120
R	30 mm/mn	30 mm/mn	30 mm/mn

SK-58 /SK/ du 1 I au 31 XII 1967

	N	E	Z
T_s	2,37 sec	2,30 sec	2,16 sec
T_g	0,394 sec	0,540 sec	0,517 sec
D_s	0,70	0,70	0,70
D_g	3,00	3,00	3,00

6 -

σ^2	0,023	0,022	0,038
V_0	1500	1500	1500
R	60 mm/mn	60 mm/mn	60 mm/mn

STATION SÉISMOLOGIQUE À RYBNIK

Coordonnées géographiques : $\varphi = 50^{\circ}05'53''N$, $\lambda = 18^{\circ}32'01''E$,
h = 250 m.

Sous-sol : sables et graviers fluvioglaciers déposés sur des argiles plastiques miocène.

Appareils : les séismographes type SK-58 /NS, EW, vertical/ à enregistrement galvanométrique. La régularité de la pendule de contact est vérifiée par rapport aux signaux de la radio.

Constantes des séismographes

SK-58 /SK/ du 1 I au 31 XII 1967

	N	E	Z
T_s	2,02 sec	2,01 sec	1,91 sec
T_g	0,425 sec	0,425 sec	0,360 sec
D_s	0,70	0,70	0,70
D_g	3,0	3,0	3,0
σ^2	0,012	0,010	0,018
V_0	1000	1000	1000
R	60 mm/mn	60 mm/mn	60 mm/mn

STATION SÉISMOLOGIQUE DE L'OBSERVATOIRE ASTRONOMIQUE
ET DU PLANÉTIUM À CHORZÓW

Coordonnées géographiques : $\varphi = 50^{\circ}17'33''N$, $\lambda = 18^{\circ}59'30''E$,
h = 316 m.

Sous-sol : grès carbonifère.

Appareils : les séismographes type SK-58 /NS, EW, vertical/ à enregistrement galvanométrique. La régularité de la pendule de contact Auricoste est vérifiée par rapport aux signaux de la radio.

Constantes des séismographes

SK-58 /SK/ du 1 I au 31 XII 1967

	N	E	Z
T_s	1,77 sec	1,75 sec	1,75 sec
T_g	0,25 sec	0,32 sec	0,47 sec
D_s	0,70	0,70	0,70
D_g	3,00	3,00	3,00
σ^2	0,035	0,007	0,008
V_0	1000	1000	000
R	60 mm/mn	60 mm/mn	60 mm/mn

- 7 -

OBSERVATOIRES DE L'INSTITUT CENTRAL DES MINES

STATION SÉISMOLOGIQUE À BYTOM

Coordonnées géographiques : $\varphi = 50^{\circ}21'44''N$, $\lambda = 18^{\circ}54'52''E$,
h = 283 m.

Sous-sol : sables et argiles plastiques.

Appareils : les séismographes mécaniques type Mainka /NS, EW/.

STATION SÉISMOLOGIQUE À DĄBROWA GÓRNICZA

Coordonnées géographiques : $\varphi = 50^{\circ}19'45''N$, $\lambda = 19^{\circ}13'40''E$,
h = 275 m.

Sous-sol : schistes carbonifère.

Appareils : les séismographes électrodynamiques type SK-58 /NS, EW, vertical/.

STATION SÉISMOLOGIQUE À ZĄBRZE

Coordonnées géographiques : $\varphi = 50^{\circ}18'05''N$, $\lambda = 18^{\circ}47'40''E$,
h = 258 m.

Sous-sol : sables et argiles plastiques.

Appareils : les séismographes mécaniques type Mainka /NS, EW/ du 1 I au 31 V,
les séismographes électrodynamiques type SU /NS, EW, vertical/ du 1 VI au 31 XII.

Symboles

- M - masse pendulaire
- T_s - période du pendule
- T_g - période du galvanomètre
- D_s - amortissement du pendule
- D_g - amortissement du galvanomètre
- σ^2 - coefficient du couplage
- V_0 - amplification statique
- R - vitesse d'enregistrement

$$V_0 = \frac{2A}{1} \sqrt{\frac{K_s}{K_g}} \sqrt{\frac{D_s}{D_g} \frac{T_g}{T_s}} \sigma^2$$

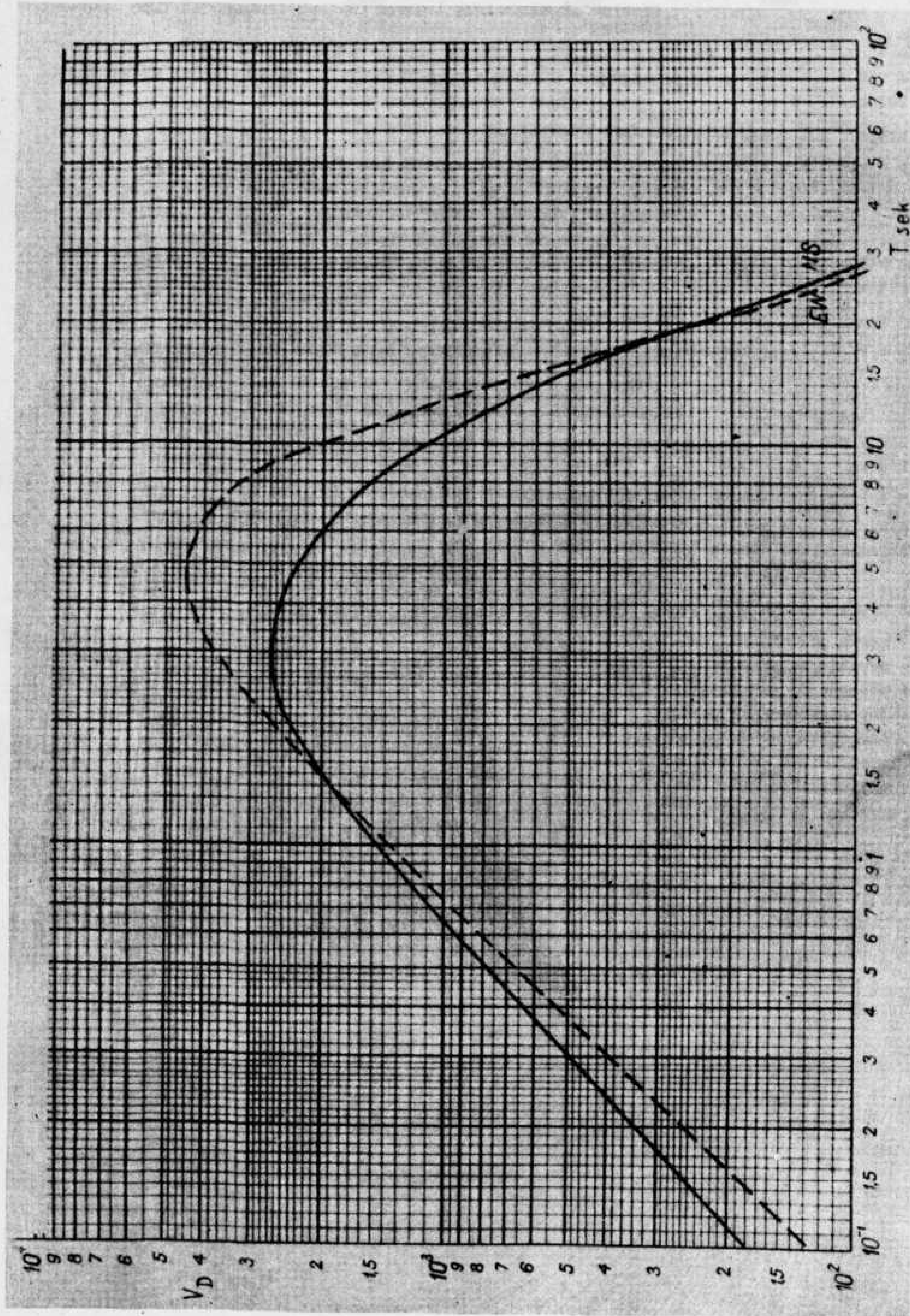


Fig.1. L'amplification dynamique des séismographes Galitzine-Wilip
Kraków, du 1 I au 31 XII 1967.

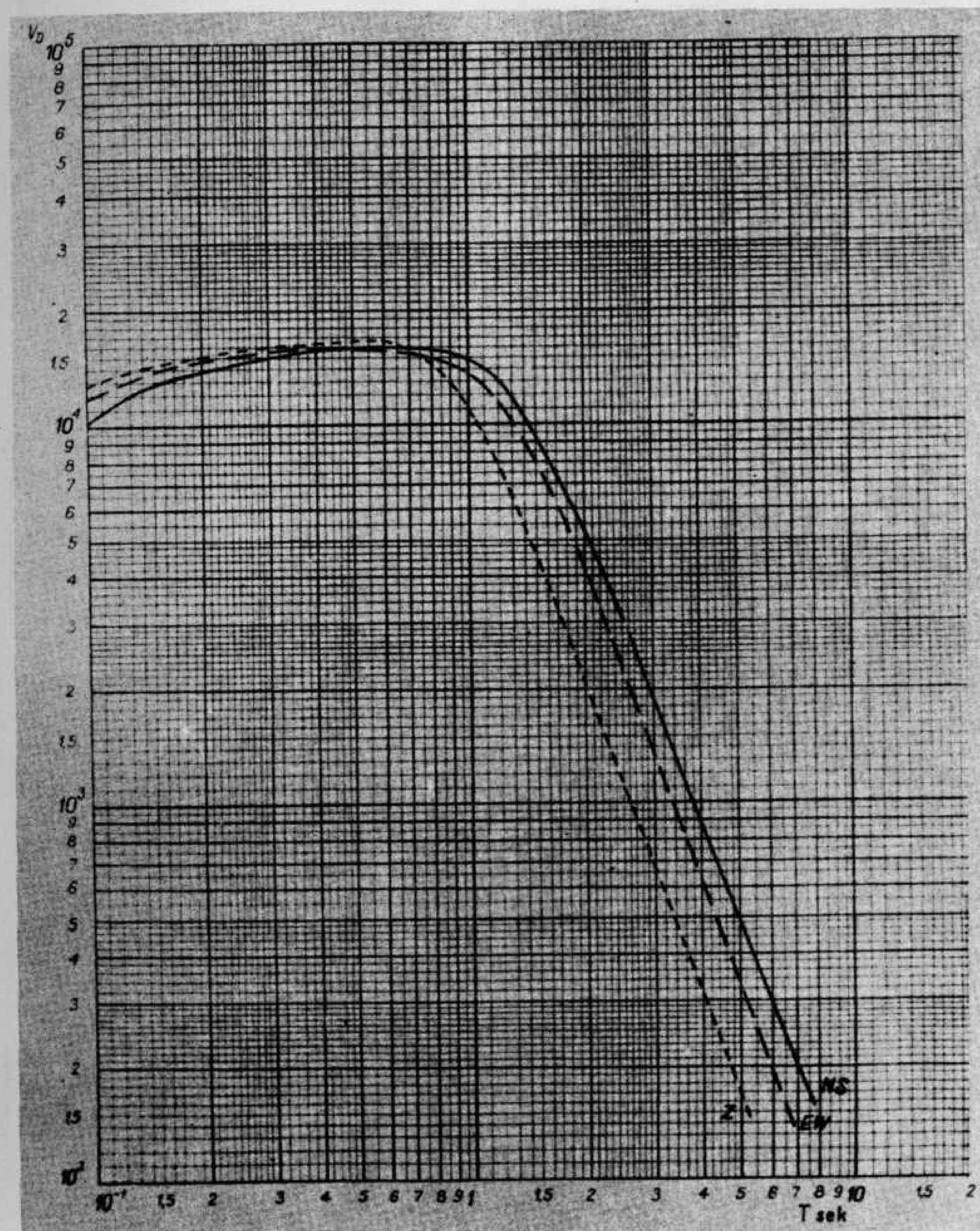


Fig.2. L'amplification dynamique des séismographes Charin
Kraków, du 1 I au 31 XII 1967.

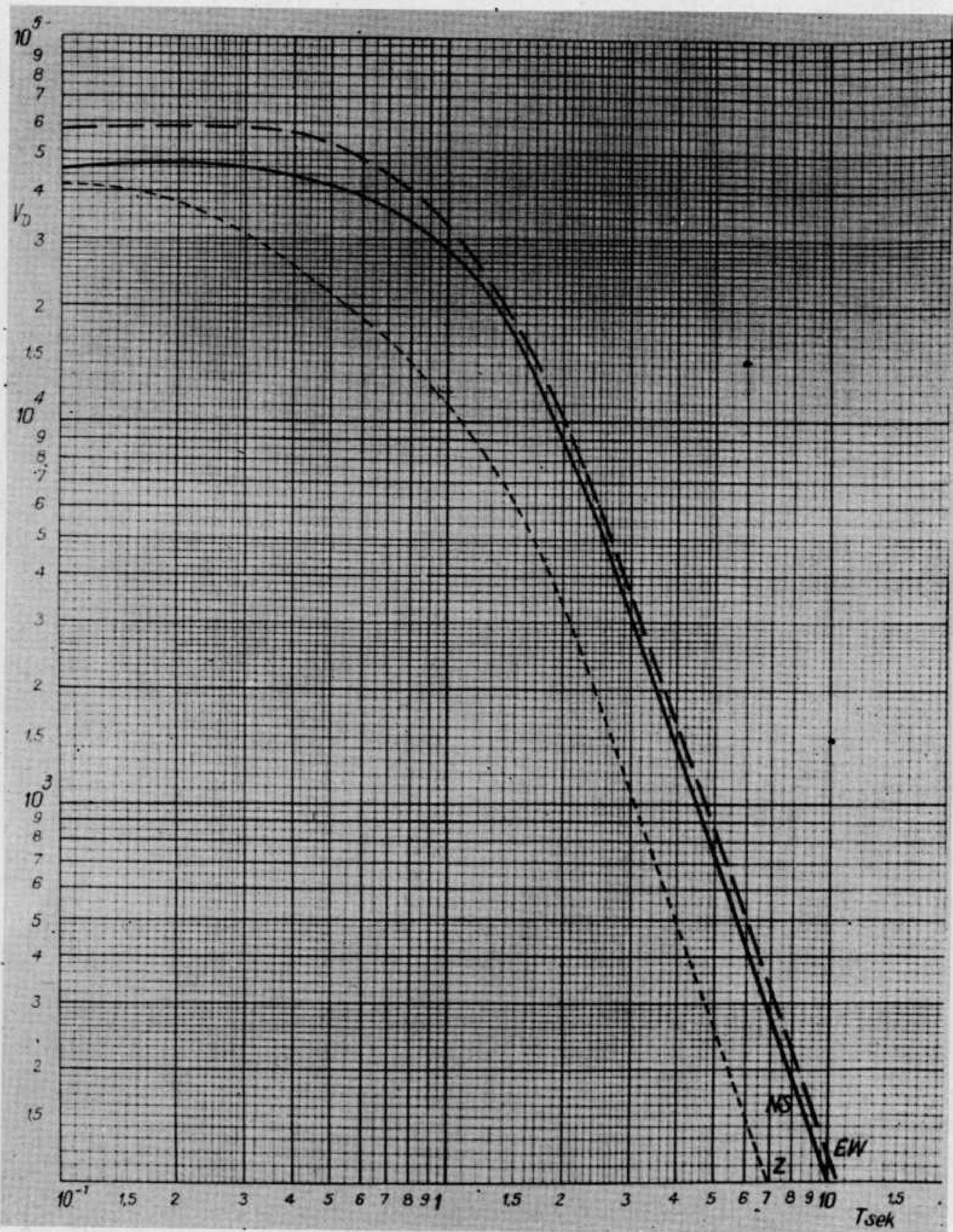


Fig.3. L'amplification dynamique des séismographes type SKM-3
Kraków, du 1 I au 31 XII 1967.

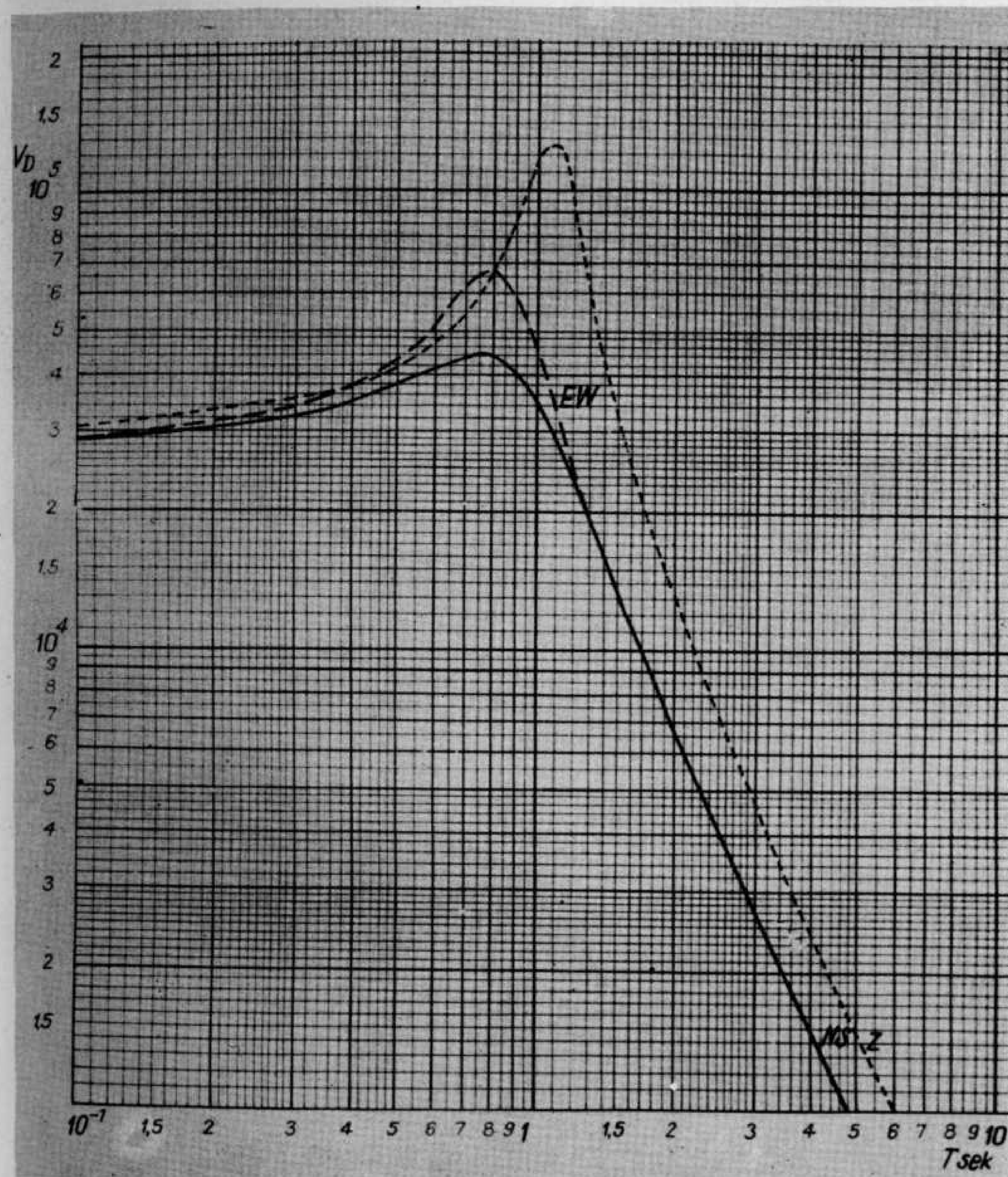


Fig.4. L'amplification dynamique des séismographes type SK-58
Niedzica, du 1 I au 31 XII 1967.

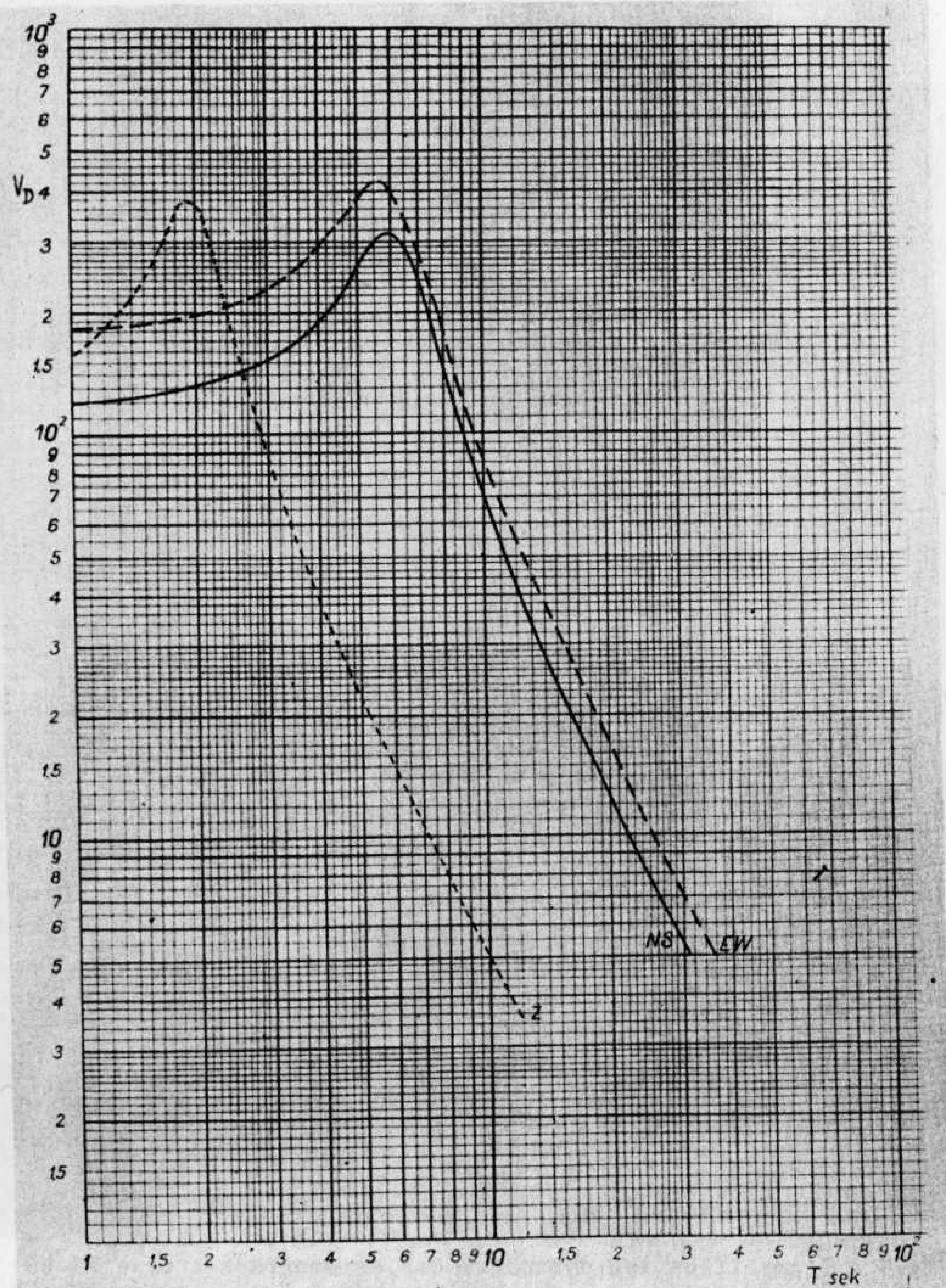


Fig.5. L'amplification dynamique des séismographes Mainka Racibórz, du 1 I au 29 V 1967.

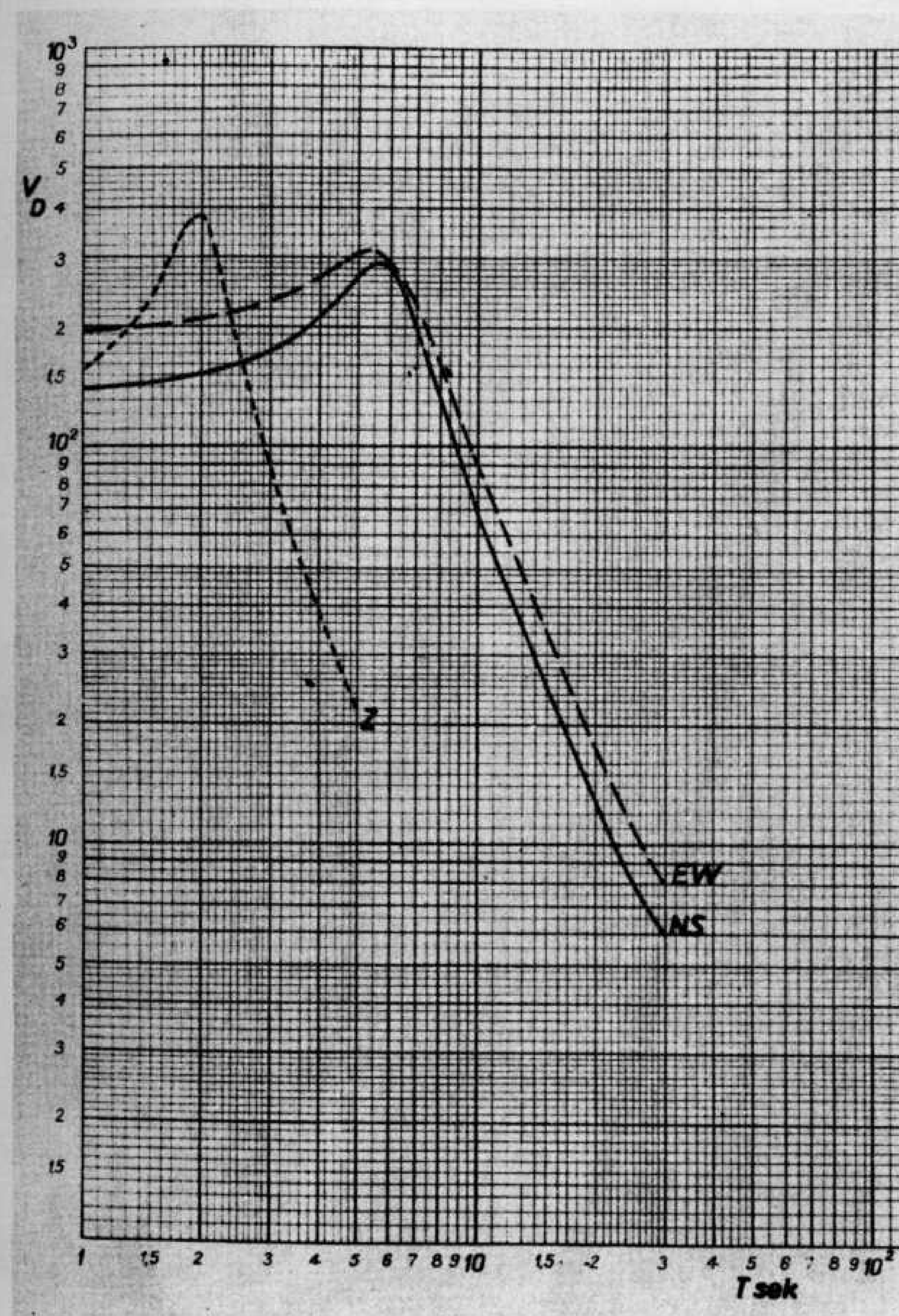


Fig.6. L'amplification dynamique des séismographes Mainka Racibórz, du 30 V au 31 XII 1967.

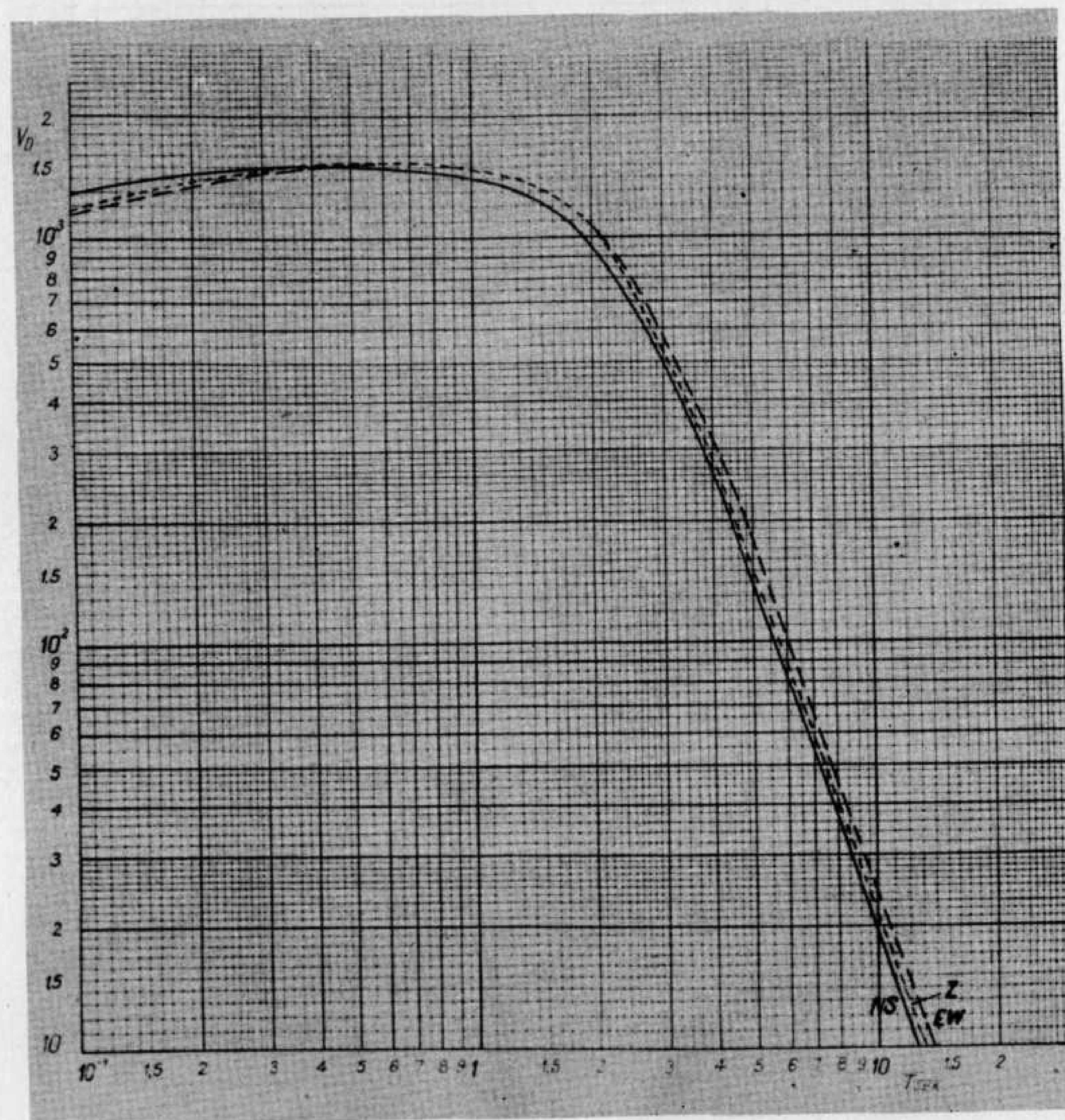


Fig.7. L'amplification dynamique des séismographes type SK-58
Racibórz, du 1 I au 31 XII. 1967.

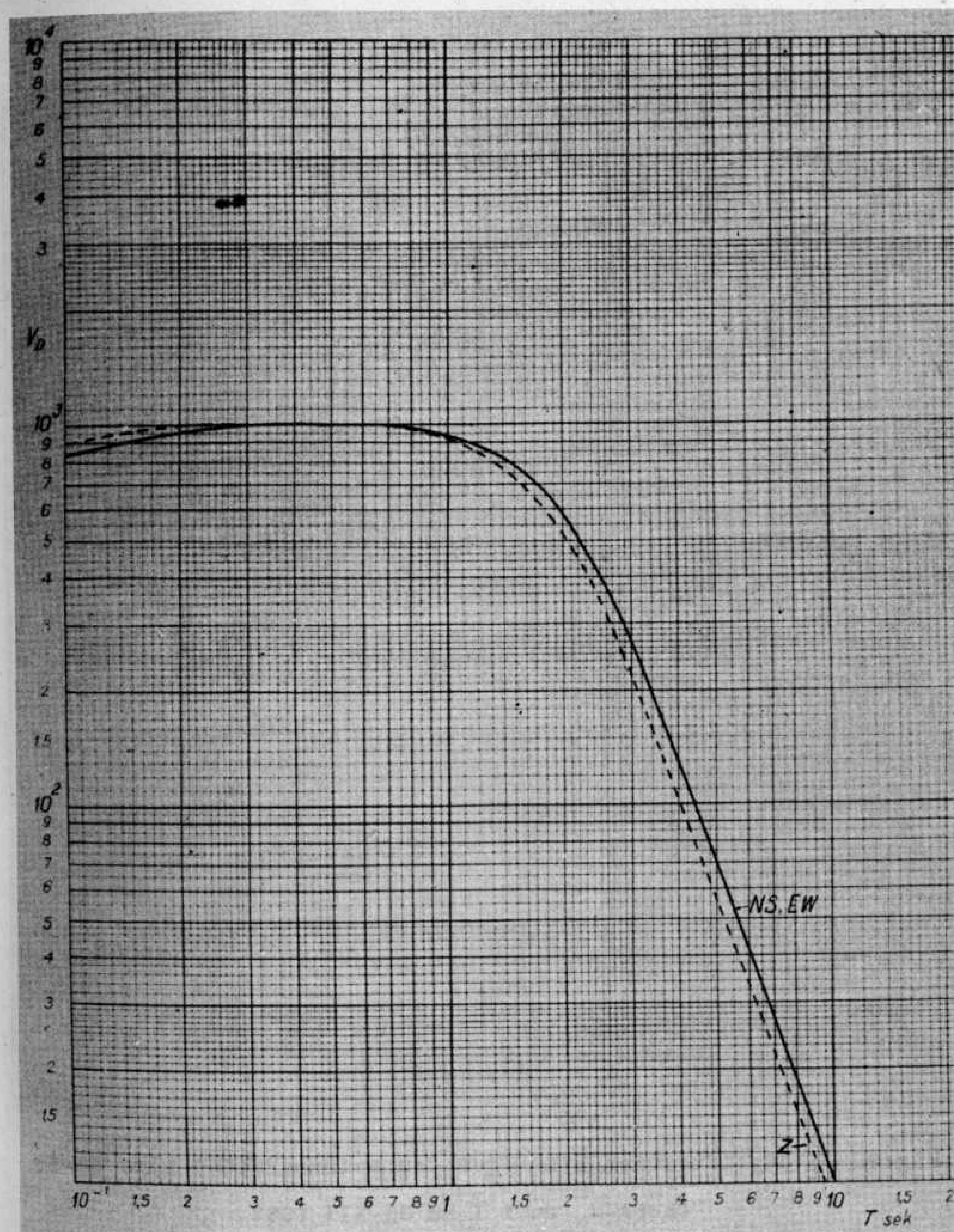


Fig.8. L'amplification dynamique des séismographes type SK-58
Rybnik, du 1 I au 31 XII 1967.

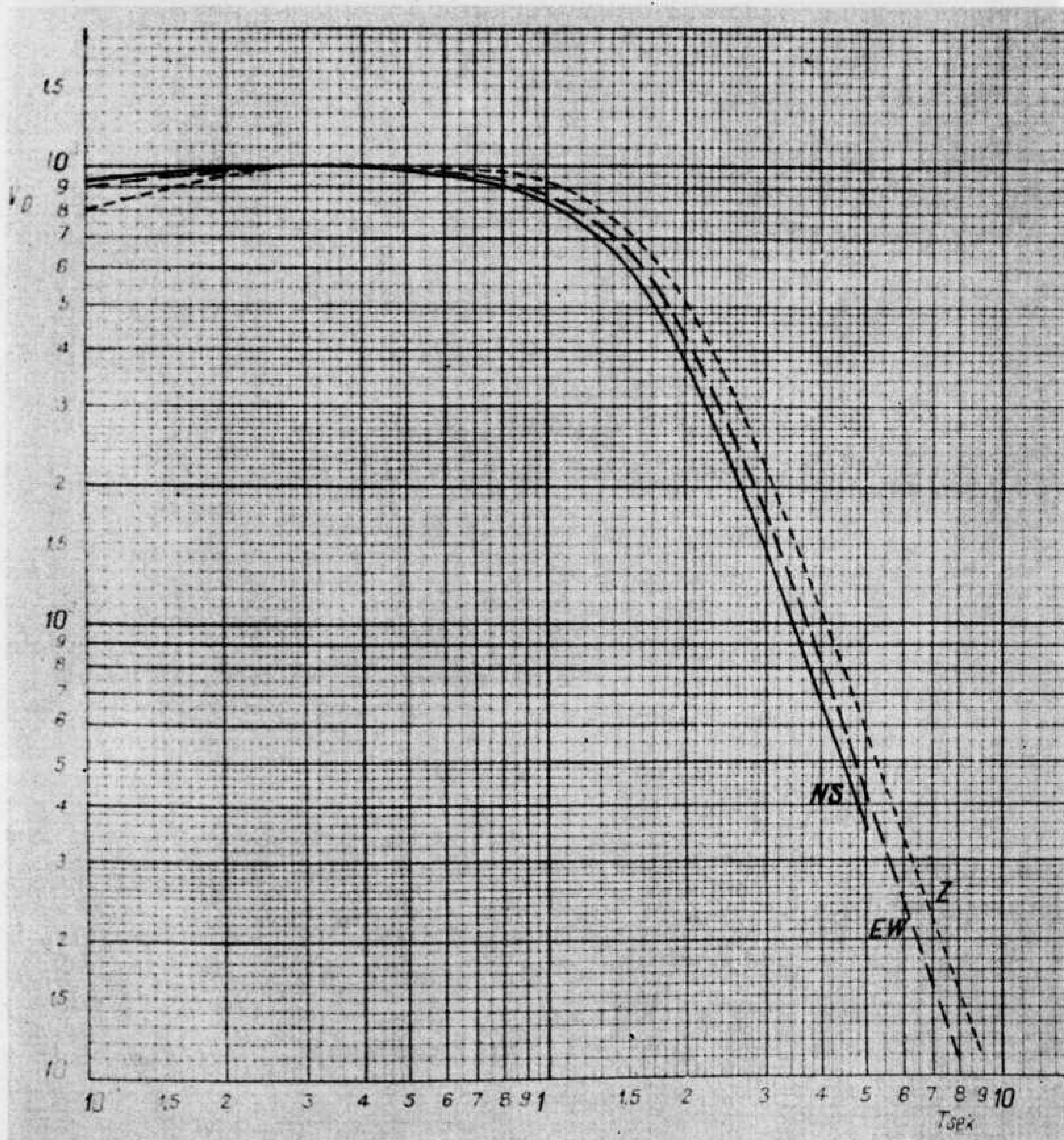


Fig.9. L'amplification dynamique des séismographes type SK-58
Chorzów, du 1 I au 31 XII 1967.

RÉSULTATS DES ENREGISTREMENTS
DES TREMBLEMENTS DE TERRE DISTANTS

These data are considered public domain and may be freely distributed or copied for non-profit purposes provided the project
is properly quoted.

- 18 -

Date	Station	Phase	G.M.T. h m s	Date	Station	Phase	G.M.T. h m s
1967 JANVIER 1967							
1.1	KRA /SKM/	Iles Santa Cruz, USCGS: 12,1°S, 166,2°E, H=00 ^h 21 ^m 06,6 ^s , h=33 km; mb=4,9 /USCGS/ Δ=133,3° ePKP eiPP ePKS	00 40 21 42 48 43 53	1.1	NIE	Iles Santa Cruz, USCGS: 12,4°S, 165,8°E, H=14 ^h 18 ^m 51 ^s , h=33 km; mb=5,0 /USCGS/ Δ=133,6°. Traces ePKP	14 38 06
	NIE	Δ=133,5° ePKP ePP	00 40 22 42 50	1.1	KRA /SKM/	Iles Santa Cruz, USCGS: 11,1°S, 165,5°E, H=21 ^h 58 ^m 57,8 ^s , h=33 km; mb=5,4 /USCGS/ Δ=132,1°. Traces ePKP	22 18 11
1.1	NIE	Région des Iles Andaman, USCGS: 10,7°N, 92,8°E, H=02 ^h 59 ^m 33,8 ^s , h=60 km; mb=5,2 /USCGS/ Δ=70,6° eP ePcP	03 10 45 11 05	2.1	NIE	Cyrénaïque, BCIS: 32,4°N, 22,6°E, H=08 ^h 19 ^m 32 ^s ; MLH=4,4 /Pruhonice/ Δ=16,8° eP iPP eL	08 23 38 45 26,9
	KRA /SKM/	Δ=70,8° eiP eiPcP	03 10 46 D 11 04	2.1	NIE	Congo, USCGS: 10,2°S, 28,5°E, H=09 ^h 47 ^m 53,3 ^s , h=33 km; mb=5,6 /USCGS/ Δ=59,5° iP	09 57 57,5 C
1.1	KRA /SKM/	Iles Tonga, USCGS: 15,3°S, 173,6°W, H=07 ^h 05 ^m 48,6 ^s , h=33 km; mb=6,0 /USCGS/ Δ=143,5° ePKP ₁ eiPKP ₂ eisPKP ₂ ePP ePKS ₂	07 25 19 22 32 28 36 29 26	2.1	NIE	SW Iran, USCGS: 30,6°N, 50,4°E, H=13 ^h 50 ^m 06,2 ^s , h=40 km; mb=5,2 /USCGS/ Δ=29,3° eP epP eiPP eiPPP	13 56 08 20 57 03 14
	NIE	Δ=144,4° iPKP ₁ eiPKP ei	07 25 23,0 D 34 45		KRA /SKM/	Δ=29,8° iP iPP i ePP	13 56 13,2 26 35 57 06
1.1	NIE	Région des Iles Fidji, USCGS: 20,5°S, 178,4°W, H=08 ^h 45 ^m 42,2 ^s , h=627 km; mb=5,6 /USCGS/ Δ=147,7° iPKP ₁ i	09 04 20,0 D 36	2.1		Région des Iles Philippines, USCGS: 20,1°N, 122,4°E, H=14 ^h 47 ^m 11,6 ^s , h=33 km; mb=4,9 /USCGS/	

- 19 -

Date	Station	Phase	G.M.T. h m s	Date	Station	Phase	G.M.T. h m s
2.1	KRA /suite//SKM/	Δ=82,6° eP	14 59 32	3.1	NIE	Δ=133,8° ePKP spPKP iPP ePKS	21 42 38 45 45 08 46 08
	NIE	Δ=82,6°. Traces eP ePcP	14 59 33 46	2.1	KRA /SKM/	Iles Santa Cruz, USCGS: 12,3°S, 166,4°E, H=19 ^h 59 ^m 58,2 ^s , h=33 km; mb=5,2 /USCGS/ Δ=133,6° ePKP eiPP	20 19 14 21 42
	NIE	Δ=133,8° ePKP e	20 19 14 50	3.1	NIE	Iles Santa Cruz, USCGS: 10,9°S, 165,5°E, H=05 ^h 35 ^m 46,6 ^s , h=33 km; mb=5,2 /USCGS/ Δ=132,1°. Traces ePKP	05 55 02
3.1	NIE	Iles Santa Cruz, USCGS: 11,2°S, 165,5°E, H=05 ^h 52 ^m 51,8 ^s , h=33 km; mb=5,3 /USCGS/ Δ=132,2° eP ePP eSKP eL	06 11 58 14 28 15 30 43,0	3.1	NIE	Δ=132,4°. Traces ePKP	06 12 07
	KRA /GW/	Δ=132,4° eP	06 12 07	3.1	NIE	Iles Santa Cruz, USCGS: 11,2°S, 165,4°E, H=11 ^h 05 ^m 15,4 ^s , h=33 km; mb=5,3 /USCGS/ Δ=132,4° ePKP	11 24 30
3.1	KRA /SKM/	Iles Santa Cruz, USCGS: 12,4°S, 166,4°E, H=21 ^h 23 ^m 22 ^s , h=33 km; mb=5,0 /USCGS/ Δ=133,6° ePKP epPKP ePP	21 42 36 44 45 05	3.1	NIE	Région des Iles Philippines, USCGS: 20,1°N, 122,4°E, H=14 ^h 47 ^m 11,6 ^s , h=33 km; mb=4,9 /USCGS/	
	NIE	Δ=81,0° eiP iPcP ei	03 53 50 D 54 00 24	4.1	RAC /SK/	Δ=82,0° eP	03 53 54
	NIE	Δ=81,0° iP Z: 1,1 ^s ; 0,038μ	03 53 50,0 D 54 00 25	4.1	NIE	Roumanie, ISC, Edinburgh: 45,66°N, 26,22°E, H=05 ^h 56 ^m 26 ^s , h=150 km Δ=5,5° iPn	05 59 46,5
	RAC	Δ=82,0° eP	03 53 54	4.1	NIE	Grèce, BCIS: 38,4°N, 22,2°E, H=05 ^h 58 ^m 56 ^s ; mb=5,2 /USCGS/ Δ=10,8° eP ePPP	06 01 36 51
4.1	RAC /SK/	Δ=82,0° eP	03 53 54		KRA /SKM/	Δ=11,5° eP eiPP eiPPP	06 01 44 59 02 07
4.1	NIE	Δ=5,5° iPn	05 59 46,5		/GW/	eiS	04 02
4.1	NIE	Grèce, BCIS: 38,4°N, 22,2°E, H=05 ^h 58 ^m 56 ^s ; mb=5,2 /USCGS/ Δ=10,8° eP ePPP	06 01 36 51		RAC /SK/	Δ=11,7° eP	06 01 52
4.1	NIE	Grèce, BCIS: 38,4°N, 22,2°E, H=05 ^h 58 ^m 56 ^s ; mb=5,2 /USCGS/ Δ=10,8° eP ePPP	06 01 36 51	4.1	NIE	Birmanie, BCIS: 23,4°N, 93,9°E, H=11 ^h 26 ^m 45 ^s , h=58 km; mb=5,4 /USCGS/	

Date	Station	Phase	G.M.T. h m s	Date	Station	Phase	G.M.T. h m s
4.I	NIE	$\Delta=62,0^\circ$. Traces		5.I	KRA	1S	00 31 07
/suite/		eP	11 37 04		RAC	$\Delta=52,6^\circ$	
		epP	21	/SK/	eP		00 23 53
		ePcP	44		Lm		50
4.I		Local				NEZ: $10^S; 184\mu, 146\mu, 167\mu$	
	NIE			5.I		Mongolie, USCGS: $48,4^\circ N, 103,1^\circ E,$	
		e1Pg _{NEZ}	12 23 26			$H=00^h 42^m 13,3^s, h=33 \text{ km}; mb=5,6$	
		e1NEZ	33			/USCGS/	
		e1NEZ	51		KRA	$\Delta=51,7^\circ$	
		F	26,0	/Ch/	e1P		00 51 17,5
4.I		Au Sud de Hondo, Japon, USCGS:		5.I		Ile Mindoro, Philippines, USCGS:	
		$33,6^\circ N, 135,8^\circ E, H=18^h 00^m 59^s,$				$13,8^\circ N, 120,7^\circ E, H=06^h 13^m 31,6^s,$	
		$h=416 \text{ km}; mb=4,3$ /USCGS/			NIE	$\Delta=86,3^\circ$	
	NIE	$\Delta=79,6^\circ$				e1P	06 25 56
		e1P	18 12 22 C			e1pP	26 34
		ePcP	37		KRA	$\Delta=86,4^\circ$	
4.I		Près de la côte du Vénézuéla,		/SKM/	eP		06 25 56 C
		USCGS: $10,7^\circ N, 62,5^\circ W, H=20^h 15^m$			epP		26 34
		$55,8^s, h=74 \text{ km}; mb=5,5$ /USCGS/			e1sP		44
	KRA	$\Delta=77,0^\circ$			ePP		29 22
/SKM/		e1P	20 27 44 C	5.I		Kirghiz, URSS; USCGS: $39,4^\circ N,$	
		e1PcP	58			$72,9^\circ E, H=10^h 07^m 58,3^s, h=11 \text{ km};$	
		e1pP	28 07			$mb=5,3$ /USCGS/, $MLH=5,0$ /Kraków/	
	NIE	$\Delta=77,3^\circ$			NIE	$\Delta=38,2^\circ$	
		1P	20 27 44,5 C			1P	10 15 19,5 C
		1PcP	50			epP	29
		e1pP	28 10			i	46
		ePP	30 42			e	16 18
						ePP	55
5.I		Mongolie, USCGS: $48,1^\circ N, 102,8^\circ E,$					
		$H=00^h 14^m 40,4^s, h=33 \text{ km}; ML=7\frac{1}{4}-7\frac{1}{2}$			KRA	$\Delta=38,4^\circ$	
		/USCGS/, $MLH=8,2$ /Niedzica/		/SKM/	e1P		10 15 20,0 C
	NIE	$\Delta=51,9^\circ$			e1PP		16 58
		1P	00 23 45,5 C		eS		21 15
		1pP	53	/GW/	Lm		36,1
		e1SPP	31 28			NE: $9^S; 1\mu, 1\mu$	
		Lm	43,5	5.I		Local	
		NEZ: $10^S; 10^S; 8^S; ca 880\mu,$			NIE	Traces	
		$ca 640\mu, ca 160\mu$				ePg _{NEZ}	13 44 19,5
	KRA	$\Delta=51,7^\circ$		6.I		Mongolie, USCGS: $48,1^\circ N, 102,9^\circ E,$	
/SKM/		e1P	00 23 46			$H=23^h 58^m 21,4^s, h=33 \text{ km};$	
/GW/		1pP	51				
		ePP	25 39				

Date	Station	Phase	G.M.T. h m s	Date	Station	Phase	G.M.T. h m s
6.I		$mb=5,4$ /USCGS/, $mPV=5,4$ /Niedzica/		7.I	KRA	$\Delta=126,3^\circ$	
/suite/	KRA	$\Delta=51,8^\circ$		/SKM/	e1PKP		00 46 26
	/SKM/	e1P	00 07 26 C		ePP		47 48
	/GW/	esP	37	7.I		Tchécoslovaquie, ISC, Edinburgh:	
		ePcP	08 37			$49,68^\circ N, 17,34^\circ E, H=12^h 14^m,$	
		ePP	09 28		NIE	$\Delta=1,96^\circ$	
		eS	14 39			ePg _Z	12 15 14,1
	NIE	$\Delta=51,9^\circ$				eZ	23,1
		1P	00 07 28,2 C			eLz	43,0
		Z: $1^S; 0,04\mu$				F	16 20
		esP	38		RAC	$\Delta=0,68^\circ$ Traces	
		e	09 10	/SK/	NEZ		12 15-17
		ePP	24	7.I		Mongolie, USCGS: $48,2^\circ N, 102,8^\circ E,$	
	RAC	$\Delta=52,6^\circ$				$H=13^h 03^m 44,9^s, h=33 \text{ km}; mb=5,0$	
/SK/	eP		00 07 34			/USCGS/	
	esP		45		NIE	$\Delta=52,0^\circ$	
6.I		Région de Hokkaido, USCGS: $41,8^\circ N,$				e1P	13 12 50,6
		$143,3^\circ E, H=00^h 04^m 02,7^s, h=35 \text{ km};$				ePP	14 51
		$mb=5,5$ /USCGS/, $MLH=5,9$ /Kraków/		8.I			
	KRA	$\Delta=76,1^\circ$			NIE		
/Ch/	e1P		00 15 48 C			eP	05 05 04
/GW/	e1pP		58	8.I		Région de Kamchatka, USCGS:	
	ePP		18 43			$56,0^\circ N, 162,9^\circ E, H=05^h 02^m 52,1^s,$	
	eS		25 23			$h=33 \text{ km}; mb=5,1$ /USCGS/, $MLH=$	
	eSKS		50			$5,8$ /Kraków/	
	Lm		30 36		KRA	$\Delta=70,1^\circ$	
		NE: $15^S; 4,6\mu, 3,7\mu$		/SKM/	eP		05 14 01 C
	NIE	$\Delta=76,5^\circ$			e1pP		10
		1P	00 15 50,5 C		ePcP		21
		1PcP	16 01	/GW/	eS		23 01
		i	22		eL		42,1
	esS		25 50		Lm		48 30
	ePPS		26 30			NE: $17^S; 4,5\mu, 3,8\mu$	
	RAC	$\Delta=76,8^\circ$				Lm	50 23
/SK/	eP		00 15 53			NE: $14^S; 2,0\mu, 4,3\mu$	
	ePcP		16 03		RAC	$\Delta=70,5^\circ$	
7.I		Crête médiane de l'Océan Indien,		/SK/	eP		05 14 03
		USCGS: $48,8^\circ S, 112,7^\circ E, H=00^h 27^m$			NIE	$\Delta=70,5^\circ$	
		$25,2^s, h=33 \text{ km}; mb=5,8$ /USCGS/				1P	05 14 05,0 C
	NIE	$\Delta=125,7^\circ$		8.I		Région de Kamchatka, USCGS:	
		ePKP	00 46 25				
		e1	55				

- 22 -

Date	Station	Phase	G.M.T. h m s	Date	Station	Phase	G.M.T. h m s
8.I				10.I	NIE	ePoP	08 42 35
/suite/				10.I		Iles Tonga, USCGS: 19,6°S, 175,8°W, H=13 ^h 34 ^m 06 ^s , h=33 km;	
RAC		56,1°N, 162,8°E, H=06 ^h 43 ^m 32,3 ^s , h=44 km; mb=4,9 /USCGS/		NIE		Δ=147,8°	
/SK/		Δ=70,0°		ePKP,		13 53 49	
eP		06 54 39					
KRA		Δ=70,1° Traces		11.I	NIE	1P	06 07 06,0 D
/Ch/		eP		11.I		Région Nord de Célèbes, USCGS: 0,1°S, 120,1°E, H=05 ^h 54 ^m 00 ^s , h=23 km; mb=5,6 /USCGS/	
NIE		Δ=70,5°		NIE		Δ=96,5°	
1P		06 54 44,0 C		eP		06 07 28	
epP		56		ePP		11 34	
8.I		Région de Kamchatka, USCGS: 56,2°N, 162,7°E, H=08 ^h 31 ^m 59,7 ^s , h=24 km; mb=4,9 /USCGS/		KRA		Δ=96,6° Traces	
KRA		Δ=69,9° Traces		/SKM/		eP	06 07 29
/SKM/		e1P	08 43 10 C				
ePoP		32		11.I		Frontière Irak-Iran, BCIS: 34,2°N, 45,6°E, H=11 ^h 20 ^m 46 ^s ; M=5½/Rzym/ MLH=5 /Fruhonice/, MLH=4,8 /Kra-	
NIE		Δ=70,4°				ków/	
eP		08 43 13		NIE		Δ=23,9°	
9.I		Région de Lar, Iran, USCGS: 27,7°N, 54,5°E, H=01 ^h 55 ^m 13,6 ^s , h=17 km; mb=5,3 /USCGS/		e1P		11 26 01,0 C	
NIE		Δ=33,8°		e1		08	
e1P		02 02 00		1PP		37	
esP		08		e		27 02	
KRA		Δ=34,4°		i		57	
/Ch/		eP	02 02 04	ei		28 05	
ePoP		04 32		KRA		Δ=24,4°	
9.I		Local		/SKM/		e1P	11 26 05 C
NIE		Traces		i		10	
eZ		11 29 16		/GW/		1PP	43
eZ		36		e1		29 41	
9.I		Grèce, Athènes: 38,6°N, 21,9°E, H=20 ^h 33 ^m 34,5 ^s ; ML=3,4		eS		30 29	
		/Athènes/		/GW/		e/L/	50
NIE		Δ=10,6°		Lm		38 20	
eP		20 37 04		Lm		N: ca 10 ^s ; 1,4μ	
ePP		16		E: ca 10 ^s ; 1,1μ		31	
10.I		Hondo, Japon, USCGS: 36,6°N, 138,0°E, H=08 ^h 30 ^m 26 ^s , h=33 km;		RAC		Δ=25,5°	
NIE		mb=4,4 /USCGS/		/SK/		eP	11 26 14
Δ=78,2°		08 42 24		e		19	
eP		08 42 24		ePPP		47	

- 23 -

Date	Station	Phase	G.M.T. h m s	Date	Station	Phase	G.M.T. h m s
11.I				15.I			
NIE		Traces				Région du Lac Baikal, USCGS: 55,7°N, 110,7°E, H=19 ^h 58 ^m 45,6 ^s , h=32 km; mb=5,1 /USCGS/	
eP		22 00 11,2		KRA		Δ=51,5° Traces	
12.I		Local		/SKM/		e1P	20 07 48 C
NIE				eL		27,4	
ePgNEZ		14 02 31,0		16.I		Hondo, Japon, USCGS: 36,2°N, 138,2°E, H=03 ^h 32 ^m 12,3 ^s , h=38 km;	
e1/Sg/NEZ		47,5				mb=4,6 /USCGS/	
Lm		55		NIE		Δ=78,7° Traces	
		Z: 0,7 ^s ; 0,06μ		e1P		03 44 13,0	
KRA				16.I		Iles Santa Cruz, USCGS: 11,2°S, 165,7°E, H=14 ^h 26 ^m 22,9 ^s , h=6 km;	
/SKM/		e/Pg/NEZ	14 02 43			mb=5,3 /USCGS/	
e1/Sg/NEZ		03 07		KRA		Δ=132,3°	
13.I				/SKM/		ePKP	14 45 41
		Iles Salomon, USCGS: 10,6°S, 161,4°E, H=13 ^h 48 ^m 11,7 ^s , h=32 km;		17.I		Argentine, USCGS: 27,4°S, 63,3°W, H=01 ^h 07 ^m 54,3 ^s , h=590 km; mb=5,5	
NIE		mb=5,7 /USCGS/				/USCGS/	
Δ=129,8°				KRA		Δ=106,5°	
ePKP		14 07 21		/SKM/		ePP	01 25 37
ePP		09 28		17.I		Près de la côte Est de Hondo, Japon, USCGS: 38,3°N, 142,1°E, H=11 ^h 59 ^m 31,5 ^s , h=44 km; mb=5,9	
13.I						/USCGS/, MLH=7,0 /Kraków, Nie-	
		Région des Iles Tonga, USCGS: 20,0°S, 174,0°W, H=21 ^h 48,0 ^m				dzica/	
NIE		Δ=148,7° Traces		KRA		Δ=78,5°	
ePKP		22 08 02		/SKM/		e1P	12 11 30 C
14.I				/GW/		1PoP	35
		Iles aux Rats, USCGS: 52,1°N, 175,4°E, H=12 ^h 04 ^m 50,7 ^s , h=41 km;		1pP		40	
		mb=5,1 /USCGS/		ePP		14 20	
KRA		Δ=76,4° Traces		eS		21 22	
/SKM/		eP	12 16 36 C	esS		40	
ePoP		48		eSoS		44	
NIE		Δ=76,8°		eSP		56	
1P		12 16 40,5 C		eSPP		22 19	
esP		52		Lm		49 10	
14.I						NE: 15,5 ^s ; 58μ, 33μ	
		Sinkiang, Chine, USCGS: 44,6°N, 81,5°E, H=15 ^h 29 ^m 15 ^s , h=33 km;		NIE		Δ=78,8°	
		mb=5,0 /USCGS/		1P		12 11 31,2 C	
KRA		Δ=41,1° Traces		1pP		44	
/SKM/		1P	15 36 57 C	i		12 10	
1pP		37 07					
i		12					
NIE		Δ=41,1°					
1P		15 36 57,5 D					
1pP		37 08					

These data are considered public domain and may be freely distributed or copied for non-profit purposes provided the project is properly quoted.

- 24 -

Date	Station	Phase	G.M.T. h m s	Date	Station	Phase	G.M.T. h m s		
17.I	NIE /suite/	e	12 12 16	18.I	NIE	$\Delta=55,8^\circ$			
		1PP	14 28			1P	05 44 10,5		
		eS	21 26			i	21		
		eScS	46			i	47		
		Lm	49,5			1S	51 58		
		NEZ: 15^s ; 50μ , 25μ , 42μ		RAC	/SK/	$\Delta=56,1^\circ$			
RAC	/SK/	$\Delta=79,3^\circ$				eP	05 44 15		
		eP	12 11 34 C			Lm	36		
		epP	46			E: 3^s ; $15,6\mu$			
		ePS	22 06			Lm	41		
				N: 3^s ; $13,9\mu$					
17.I	NIE	Japon, USCGS: $38,3^\circ\text{N}$, $142,1^\circ\text{E}$, $H=12^h26^m20,8^s$, $h=37$ km; $mb=4,7$ /USCGS/		18.I	NIE	Iles aux Renards, USCGS: $52,5^\circ\text{N}$, $168,3^\circ\text{W}$, $H=08^h18^m22,0^s$, $h=37$ km; $mb=5,7$ /USCGS/			
		$\Delta=78,8^\circ$				RAC	$\Delta=77,8^\circ$		
		eP	12 38 21			/M/	eP	08 30 15	
		epP		33	esP		31		
17.I	NIE	Iles Kouriles, USCGS: $43,2^\circ\text{N}$, $147,2^\circ\text{E}$, $H=12^h41^m12^s$, $h=33$ km; $mb=3,8$ /USCGS/		KRA	/SKM/	$\Delta=77,8^\circ$			
		$\Delta=76,9^\circ$				e1P	08 30 17		
		eP	12 53 03			eipP	25		
		epP		40 15	/GW/	esS			
18.I	KRA	/SKM/	$\Delta=74,3^\circ$. Traces	18.I		NIE	$\Delta=78,4^\circ$		
			$\Delta=74,8^\circ$					e1P	08 30 20 C
			eP		04 32 29		esP		32
			ePcP		40		Région de Hokkaido, USCGS: $42,0^\circ\text{N}$, $142,4^\circ\text{E}$, $H=08^h29^m03,4^s$, $h=65$ km; $mb=4,8$ /USCGS/		
epP	47			NIE	$\Delta=75,9^\circ$				
		1PP			08 40 44,8 C				
18.I	KRA	/GW/	$\Delta=55,5^\circ$	18.I	KRA	$\Delta=75,6^\circ$			
			e1P			05 44 08,0	/SKM/	eP	08 40 45
			ePPP			47 24	Région Sud de l'Alaska, USCGS: $60,4^\circ\text{N}$, $152,5^\circ\text{W}$, $H=10^h41^m54,0^s$, $h=96$ km; $mb=$		
			ePcS			49 10	4,4 /USCGS/		
			e1S			51 50	NIE	$\Delta=70,6^\circ$	
			Lm			06 06 15		eP	10 52 59
						NE: ca 11^s ; ca 100μ , ca 60μ		e	53 10

- 25 -

Date	Station	Phase	G.M.T. h m s	Date	Station	Phase	G.M.T. h m s			
18.I	NIE	Local		19.I	KRA	$\Delta=133,1^\circ$				
		eP _{SEZ}	12 33 02,3			/SKM/	ePKP	12 57 31		
		F				$\Delta=133,4^\circ$				
		34 00				ePKP				
						12 57 31				
18.I	NIE	Iles Tonga, USCGS: $17,9^\circ\text{S}$, $175,4^\circ\text{W}$, $H=14^h29^m51,5^s$, $h=226$ km; $mb=4,8$ /USCGS/		19.I	RAC	$\Delta=133,9^\circ$				
		$\Delta=146,2^\circ$				/SK/	ePKP	12 57 31		
		e1PKP ₁				14 49 08	e		44	
		ePKP ₂				13	epPKP		58 09	
		Lm				41	Lm		13 06,7	
		N: 3^s ; $13,9\mu$				NEZ: 5^s ; $1,9\mu$, $1,1\mu$, $2,0\mu$				
18.I	NIE	Iles Kouriles, USCGS: $47,3^\circ\text{N}$, $152,1^\circ\text{E}$, $H=15^h28^m03^s$, $mb=4,8$ /USCGS/, $h=140$ km		19.I	KRA	$\Delta=141,9^\circ$				
		$\Delta=75,2^\circ$				/SKM/	ePKP	12 59 40		
		eP		15 39 30		e				
		15 39 30		/GW/		Lm				
		14 00 19				NE: 22^s ; 37μ , 22μ				
18.I	KRA	/SKM/	$\Delta=51,8^\circ$	19.I	KRA	$\Delta=77,8^\circ$				
			e1P			21 58 31	/SKM/	e1P	14 53 29 D	
			eipP			35	ePcP		39	
			esS			40 15	ei		54 12	
			NIE			/SKM/	$\Delta=52,0^\circ$	19.I	NIE	$\Delta=76,5^\circ$
1P	21 58 32,3 C	e1P		14 53 33 D						
i	36	Z: $0,9^s$; $0,036\mu$								
ePP	22 00 31	ePcP		40	19.I	KRA	/SKM/	e1P	16 57 37 D	
RAC		$\Delta=52,7^\circ$		Nevada, explosion souterraine, BCIS: $37,0^\circ\text{N}$, $116,0^\circ\text{W}$, $H=16^h45^m00^s$						
		/SK/		eP		21 58 37				
19.I	NIE	Local, Pruhonice: e1Pg 09 02 22,5		20.I	KRA	$\Delta=85,2^\circ$				
		eP _Z				09 02 13,5		/SKM/	e1P	16 57 37 D
		e _Z				24,5				
		eEZ				44				
		F				03 30				
		03 30								
19.I	NIE	Iles Santa Cruz, USCGS: $11,8^\circ\text{S}$, $166,4^\circ\text{E}$, $H=12^h38^m31,3^s$, $h=156$ km; $mb=5,5$ /USCGS/								
		e1P		02 06 30,0 C						

- 26 -

Date	Station	Phase	G.M.T. h m s	Date	Station	Phase	G.M.T. h m s
20.I	NIE	i	02 06 32	20.I	KRA	$\Delta = 52,0^\circ$	
/suite/		e	08 38	/SKM/	eiP		06 32 24 C
		e	16 28		epP		38
		eL	18,5	20.I		Local	
		Lm	26,5	NIE			
		NEZ: 6° ; 28μ , $7,5\mu$, $17,5\mu$			eiPg _{NEZ}		13 59 42,5
	KRA	$\Delta = 51,8^\circ$		e/Sg/NEZ			14 00 04,5
/SKM/	eiP		02 06 28 C	F			01 00
/GW/	isP		37	20.I		Local	
	ePcP		07 43	NIE			
	ePP		08 27	eiP _{Sz}			14 12 13,5
	ePPP		09 33	eEZ			32,5
	eS		13 49	F			13 10
	eScS		16 07	20.I		Nevada, BCIS: $37,0^\circ$ N, $116,0^\circ$ W, H= $17^{h}40,0^m$	
	RAC	$\Delta = 52,8^\circ$		NIE	$\Delta = 85,9^\circ$		
	/SK/	eP	02 06 36	eiP			17 52 49
20.I		Mongolie, USCGS: $48,0^\circ$ N, $103,0^\circ$ E, H= $03^{h}27^{m}13,9^s$, h=33 km; mb=5,0 /USCGS/		e			58
	KRA	$\Delta = 52,0^\circ$		20.I		Mongolie, USCGS: $48,0^\circ$ N, $103,2^\circ$ E, H= $21^{h}19^{m}39^s$, h=33 km; mb=4,5 /USCGS/	
/SKM/	eiP		03 36 20 C	NIE	$\Delta = 52,1^\circ$		
NIE	$\Delta = 52,0^\circ$			eP			21 28 48
eiP			03 36 21,5	21.I		Mongolie, USCGS: $48,1^\circ$ N, $102,9^\circ$ E, H= $00^{h}41^{m}32,2^s$, h=33 km; mb=4,9 /USCGS/	
20.I		Mongolie, USCGS: $47,8^\circ$ N, $102,8^\circ$ E, H= $03^{h}28^{m}45^s$, h=33 km; mb=5,1 /USCGS/		NIE	$\Delta = 52,0^\circ$. Traces		
	KRA	$\Delta = 52,0^\circ$		eP			00 50 38
/SKM/	eiP		03 37 52	21.I		Sud-Est du Pacifique, USCGS: $49,8^\circ$ S, $114,8^\circ$ W, H= $02^{h}54^{m}00,8^s$, h=33 km; mb=5,3 /USCGS/	
	epP		38 05	RAC	$\Delta = 150,1^\circ$		
NIE	$\Delta = 52,0^\circ$			/SK/	ePKP ₁		03 13 49
eiP			03 37 54	ePKP ₂			14 05
20.I		Pakistan occidental, USCGS: $32,3^\circ$ N, $69,8^\circ$ E, H= $05^{h}16^{m}39,8^s$, h=70 km; mb=5,1 /USCGS/		KRA	$\Delta = 151,1^\circ$		
	NIE	$\Delta = 40,3^\circ$		/Ch/	ePKP ₁		03 13 52
iP			05 24 29,0 D	esPKP			58
eisP			36	ePKP ₂			14 04
20.I		Mongolie, USCGS: $47,9^\circ$ N, $103,1^\circ$ E, H= $06^{h}23^{m}16,3^s$, h=33 km; mb=5,0 /USCGS/		NIE	$\Delta = 151,2^\circ$		
				ePKP ₁			03 13 52
				ePP			17 40

- 27 -

Date	Station	Phase	G.M.T. h m s	Date	Station	Phase	G.M.T. h m s
21.I		Local		22.I		Région des Iles Fidji, USCGS: $18,0^\circ$ S, $178,5^\circ$ W, H= $22^{h}35^{m}51^s$, h=600 km; mb=4,5 /USCGS/	
	NIE	eP _{NEZ}	12 41 05	NIE	$\Delta = 145,4^\circ$		
		iS _{NE}	26,0	eiPKP ₁			22 54 23,1 C
		F	42 00	22.I		Iles aux Renards, USCGS: $53,5^\circ$ N, $165,3^\circ$ W, H= $10^{h}30^{m}03,0^s$, h=69 km; mb=5,0 /USCGS/	
22.I		Iles aux Renards, USCGS: $53,5^\circ$ N, $165,3^\circ$ W, H= $10^{h}30^{m}03,0^s$, h=69 km; mb=5,0 /USCGS/ $\Delta = 77,6^\circ$. Traces		NIE			
	NIE	eP	10 42 00	eP			10 42 00
		esP	09	esP			09
22.I		Mongolie, USCGS: $48,1^\circ$ N, $102,9^\circ$ E, H= $12^{h}01^{m}49^s$, h=33 km; mb=5,1 /USCGS/ $\Delta = 51,9^\circ$		23.I		Iles Kermadec, USCGS: $27,7^\circ$ S, $176,9^\circ$ W, H= $11^{h}09^{m}51,8^s$, h=60 km; mb=5,1 /USCGS/ $\Delta = 154,8^\circ$. Traces	
	NIE	eiP	12 10 55,5 C	NIE	ePKP ₁		11 29 46
		ePP	12 52	23.I		Région de l'Ile Ascension, USCGS: $1,6^\circ$ S, $15,6^\circ$ W, H= $20^{h}47^m$ $56,7^s$, h=33 km; mb=5,1 /USCGS/ $\Delta = 59,3^\circ$. Traces	
22.I		Région des Iles Nicobar, USCGS: $8,8^\circ$ N, $93,7^\circ$ E, H= $12^{h}09^{m}52,3^s$, h=36 km; mb=4,9 /USCGS/ $\Delta = 72,5^\circ$		NIE	eP		20 57 59
	NIE	eP	12 21 17	KRA	$\Delta = 59,6^\circ$		
		eiPcP	42	/SKM/	eP		20 58 01
22.I		Région des Iles Nicobar, USCGS: $8,8^\circ$ N, $93,7^\circ$ E, H= $12^{h}09^{m}52,3^s$, h=36 km; mb=4,9 /USCGS/ $\Delta = 72,9^\circ$		epP			13
	NIE	eP	12 21 19	24.I		Région d'Hokkaido, Japon, USCGS: $41,4^\circ$ N, $141,9^\circ$ E, H= $03^{h}05^{m}39,0^s$, h=69 km; mb=5,7 /USCGS/, mFV=6,2 /Niedzica/ $\Delta = 75,9^\circ$	
		epP	29	KRA	iP		03 17 19,0 C
22.I		Mongolie, USCGS: $48,0^\circ$ N, $102,9^\circ$ E, H= $12^{h}16^{m}02^s$, h=33 km; mb=5,0 /USCGS/ $\Delta = 52,0^\circ$		/SKM/	ei		26
	NIE	eiP	12 25 08 C	eisP			42
		e	23	NIE	$\Delta = 76,2^\circ$		
22.I		Iles Tonga, USCGS: $16,5^\circ$ S, $173,8^\circ$ W, H= $21^{h}34^{m}35^s$, h=33 km; mb=4,2 /USCGS/ $\Delta = 145,5^\circ$		iP			03 17 21,5 C
	NIE	eiP	12 25 08 D	Z: $0,8^s$; $0,174\mu$			
22.I		Iles Tonga, USCGS: $16,5^\circ$ S, $173,8^\circ$ W, H= $21^{h}34^{m}35^s$, h=33 km; mb=4,2 /USCGS/ $\Delta = 145,5^\circ$		eiPcP			34
		eiPKP	21 54 10,1	eisP			44
				ePP			20 10
				RAC	$\Delta = 76,6^\circ$		
				/SK/	eP		03 17 24
				epP			42
				24.I		Crête médiane de l'Atlantique,	

- 30 -

Date	Station	Phase	G.M.T. h m s	Date	Station	Phase	G.M.T. h m s
28.I	NIE	Δ = 78,6°. Traces		29.I	KRA	Δ = 4,2°	
/suite/		eP	17 31 30	/SKM/	ePn		00 13 18
		epP	40		eP ^x		30
28.I		Iles aux Renards, USCGS: 52,3°N, 169,4°W, H=17 ^h 26 ^m 32,8 ^s , h=33 km; mb=4,3 /USCGS/			ePPP		37
NIE		Δ = 78,6°. Traces			ePg		39
		1P	17 38 31,7		eS		14 15
28.I		Iles aux Renards, USCGS: 52,4°N, 169,4°W, H=17 ^h 42 ^m 01,5 ^s , h=50 km; mb=5,6 /USCGS/		NIE	Δ = 4,2°		24
KRA		Δ = 78,0°			1Pn		00 13 18,9 C
/SKM/		eP	17 53 54		i		26
		i	56		iPPP		38
/GW/		eIP	54 15		eSSS		14 12
		e1PP	56 44	29.I		Sud de l'Iran, USCGS: 26,5°N, 55,3°E, H=03 ^h 53 ^m 58,8 ^s , h=42 km; mb=5,1 /USCGS/	
		e1S	18 03 49	NIE		Δ = 35,2°. Traces	
RAC		Δ = 78,0°				eP	04 00 53
/SK/		eP	17 53 57		KRA	Δ = 35,7°	
		ePcP	54 04	/SKM/		eIP	04 00 57
		epP	12			epP	01 05
NIE		Δ = 78,6°		29.I		Sud de l'Iran, USCGS: 26,5°N, 55,3°E, H=07 ^h 12 ^m 05 ^s , h=33 km; mb=4,7 /USCGS/	
		eP	17 53 58	KRA		Δ = 35,7°	
28.I		Iles aux Renards, USCGS: 52,5°N, 169,4°W, H=20 ^h 46 ^m 34 ^s , h=47 km; mb=4,4 /USCGS/		/SKM/		eIP	07 20 11
NIE		Δ = 78,5°. Traces				i	33
		eP	21 00 31	29.I		Sud de l'Iran, ISC Edinburgh, 26,5°N, 55,3°E, H=07 ^h 13 ^m 38 ^s	
28.I		Kamchatka, USCGS: 55,0°N, 160,2°E, H=22 ^h 28 ^m 01,2 ^s , h=113 km; mb=5,1 /USCGS/		NIE		Δ = 35,2°. Traces	
NIE		Δ = 70,9°				eP	07 20 29
		eP	22 39 06			esP	49
		epP	39	29.I		Iran méridional, BCIS: 26,5°N, 55,2°E, H=07 ^h 56 ^m 37 ^s ; MLH=5½ /Strasbourg/	
29.I		Haute Autriche, BCIS: 47,9°N, 14,2°E, H=00 ^h 12 ^m 14 ^s ; mb=4,6 /USCGS/		KRA		Δ = 35,7°	
RAC		Δ = 3,3°		/SKM/		eIP	08 03 37,5
/SK/		ePn	00 13 13	/GW/		ePP	05 02
		ePP	15			eIS	09 12
		eISn	53			eSSS	12 04
						Lm	23 43
						N: 12 ^s ; 3,8μ	

- 31 -

Date	Station	Phase	G.M.T. h m s	Date	Station	Phase	G.M.T. h m s
29.I	KRA	Lm	08 24 26	30.I	NIE	Δ = 17,8°	
/suite/		E: 7 ^s ; 0,9μ				eIP	12 29 10
NIE		Δ = 35,2°				ePPP	38
		eP	08 03 37	KRA		Δ = 18,3°. Traces	
RAC		Δ = 36,7°		/SKM/		eIP	12 29 14
/SK/		eP	08 03 48			ei	22
		esP	04 05	30.I		Birmanie, USCGS: 26,2°N, 96,2°E, H=21 ^h 05 ^m 30,4 ^s , h=44 km; mb=5,5 /USCGS/	
29.I		Iles Tonga, USCGS: 16,2°S, 173,8°W, H=17 ^h 46 ^m 33,3 ^s , h=134 km; mb=4,5 /USCGS/		KRA		Δ = 61,8°	
NIE		Δ = 145,2°		/SKM/		1P	21 15 46 C
		ePKP ₁	18 05 57			eIP	16 06
		epPKP ₂	06 32			ei	09
30.I		Arménie, URSS, BCIS: 41,0°N, 44,2°E, H=01 ^h 20 ^m 27 ^s ; M=5¼ - 5½ /Moskva/		NIE		Δ = 61,6°	
NIE		Δ = 18,7°				eIP	21 15 46
		1P	01 24 49			ePcP	16 26
		i	53	31.I		Mongolie, USCGS: 47,9°N, 102,8°E, H=03 ^h 35 ^m 36,3 ^s , h=33 km; mb=4,9 /USCGS/	
		iPP	25 05	KRA		Δ = 51,9°. Traces	
		e	31	/SKM/		eIP	03 44 42 C
KRA		Δ = 19,1°		NIE		Δ = 52,0°	
/GW/		eIP	01 24 54			eIP	03 44 45,2 C
		eIP	25 08	31.I		Au large de la côte de l'Amérique centrale, USCGS: 2,8°N, 84,4°W, H=13 ^h 37 ^m 34,3 ^s , h=33 km; mb=5,3 /USCGS/	
		eS	28 21	KRA		Δ = 97,1°. Traces	
RAC		Δ = 20,2°		/SKM/		eIP	13 51 06 D
/SK/		eP	01 25 10	31.I		Région d' Hokkaido, USCGS: 42,8°N, 145,4°E, H=17 ^h 43 ^m 56,2 ^s , h=44 km; mb=5,1 /USCGS/, mPV=5,6 /Niedzica/	
		ePP	22	KRA		Δ = 76,2°	
30.I		Kazakstan, URSS, BCIS: 50,0°N, 78,0°E, H=04 ^h 02 ^m 00 ^s ; M=5,0 /Uppsala/		/SKM/		1P	17 55 40 C
NIE		Δ = 36,6°. Traces				iPcP	52
		eIP	04 09 08			eisP	56 05
30.I		Local		NIE		Δ = 76,5°	
						1P	17 55 43,5 C
		eIP _{NEZ}	11 45 00,3			Z: 1 ^s ; 0,060μ	
		e _{NEZ}	17,6			ei	56 00
30.I		Anatolie, Turquie, BCIS: 39,5°N, 41,3°E, H=12 ^h 25 ^m 06 ^s ; mb=4,8 /USCGS/					

- 32 -

Date	Station	Phase	G.M.T. h m s	Date	Station	Phase	G.M.T. h m s
31.I		Iran méridional, BCIS: 26,5°N, 55,3°E, H=19 ^h 00 ^m 21 ^s ; mb=5,2 /USCGS/		31.I	KRA /SKM/	Δ=35,7°. Traces eP	19 07 24
	NIE	Δ=35,2°. Traces eP	19 07 20				
1967 F É V R I E R 1967							
1.II		Iran, BCIS: 26,8°N, 55,3°E, H=01 ^h 07 ^m 22 ^s ; mb=5,0 /USCGS/		2.II	NIE	iPP ePcP	07 47 03 30
	NIE	Δ=35,0°. Traces eP	01 14 18		KRA /SKM/	Δ=39,9° iP	07 45 26,0 D
	KRA /GW/	Δ=35,5° eiP eS	01 14 21 19 55			ipP eiPP eS eSS	36 47 02 51 29 54 24
	RAC /SK/	Δ=36,4° eP	01 14 29	2.II		Région d'Hokkaido, Japon, USCGS: 41,6°N, 139,7°E, H=16 ^h 24 ^m 39,1 ^s , h=176 km; mb=5,4 /USCGS/	
1.II		Région Sud de Sumatra, USCGS: 4,8°S, 103,2°E, H=15 ^h 19 ^m 56,8 ^s , h=33 km; mb=5,3 /USCGS/			KRA /SKM/	Δ=74,8° eiP	16 36 00
	NIE	Δ=86,9° eiP ePcP	15 32 50,7 D 57			e eiS	38 46 45 20
	KRA /SKM/	Δ=89,3° eiP eiPP	15 32 52 33 10		NIE	Δ=75,1° eiP epP e	16 36 02,7 D 44 38 43
2.II		Région des Iles Sandwich, USCGS: 57,9°S, 25,7°W, H=06 ^h 25 ^m 49,8 ^s , h=81 km; mb=5,8 /USCGS/			RAC /SK/	Δ=75,5° eP ePcP	16 36 05 14
	NIE	Δ=113,2° ePKP ePP	06 44 28 45 18	2.II		Région de la Nouvelle Irlande, USCGS: 4,3°S, 153,7°E, H=18 ^h 18 ^m 17,4 ^s , h=247 km; mb=5,0 /USCGS/	
	KRA /SKM/	Δ=113,7° ePKP ePP	06 44 32 45 19		NIE	Δ=120,4°. Traces eiPKP	18 36 41,4 D
2.II		Sinkiang, Chine, USCGS: 39,7°N, 75,5°E, H=07 ^h 37 ^m 54,9 ^s , h=39 km; mb=5,3 /USCGS/		3.II		Hondo, Japon, USCGS: 36,5°N, 138,0°E, H=08 ^h 17 ^m 05,4 ^s , h=26 km; mb=4,7 /USCGS/	
	NIE	Δ=39,7° eiP	07 45 25,0 C		KRA /SKM/	Δ=78,1° eP	08 29 04

- 33 -

Date	Station	Phase	G.M.T. h m s	Date	Station	Phase	G.M.T. h m s
3.II	NIE	Δ=78,4° eP	08 29 05	6.II	NIE	Δ=150,7° ePKP ₁ ePKP ₂	03 30 16 25
3.II		Mer de Java, USCGS: 5,6°S, 110,5°E, H=12 ^h 48 ^m 09,2 ^s , h=560 km; mb=5,4 /USCGS/		7.II		ISC, Edinburgh; Tchecoslovaquie explosion de 11,4 tonnes, 49,70°N, 17,79°E, H=09 ^h 27 ^m	
	NIE	Δ=94,3° iP epP ei eiPP i	13 00 31,5 C 02 33 03 43 04 27 05 30		RAC /SK/	Δ=0,36° iNEZ eN	09 28 03,5 06
	KRA /SKM/	Δ=94,6° eiP epP eiPP ePPP eSKS	13 00 33 02 34 04 32 06 42 10 19	7.II		Péninsule de l'Alaska, USCGS: 56,7°N, 157,2°W, H=14 ^h 53 ^m 13,9 ^s ; mb=5,6 /USCGS/, h=63 km	
4.II		Local			RAC /SK/	Δ=73,7° eP	15 04 41
	NIE	ePg ₂ eiNEZ	08 02 52,6 03 14,1		KRA /SKM/	Δ=73,8° eiP eiPcP	15 04 42 58
4.II		Région des Iles Volcano, USCGS: 25,5°N, 142,7°E, H=17 ^h 49 ^m 02,4 ^s ; mb=4,9 /USCGS/			NIE	Δ=74,5° eiP isP	15 04 45,7 D 05 04
	NIE	Δ=89,7° eiP	18 01 57,7 D	8.II		Iles Tonga, ICS Edinburgh: 17,834°S, 178,480°W, H=23 ^h 49 ^m 22,4 ^s , h=579 km	
	KRA /SKM/	Δ=89,5° eiP	18 01 58		NIE	Δ=145,1° eiPKP ₁	00 07 56,5 D
5.II		Région de l'Ile Ascension, USCGS: 4,9°S, 11,6°W, H=18 ^h 55 ^m 50 ^s ; mb=5,2 /USCGS/		8.II		Région frontière Pologne-Tchécoslovaquie, 18°23'E, 49°58'N, H=12 ^h 05 ^m 41,5 ^s	
	NIE	Δ=60,6° eiP eP eiP eisP	19 06 02 08 19 06 04 11 22		RBN /SK/	Δ=13 km iP ₂ iP _{NE} iNEZ iNE Lm Z: 1 ^s ; 5,8μ Lm NE: 1 ^s ; 14,4μ, 2,9μ F	12 05 44,5 45 48 52 53 55 08
6.II		Sud des Iles Fidji, USCGS: 22,8°S, 176,1°W, H=03 ^h 10 ^m 33,4 ^s , h=90 km; mb=5,1 /USCGS/			RAC /SK/	Δ=22 km iPNEZ iN iEZ	12 05 46,0 49,5 50,0

Date	Station	Phase	G.M.T. h m s	Date	Station	Phase	G.M.T. h m s
8.II	CHZ	$\Delta=57$ km		9.II	NIE	$\Delta=9,1^\circ$	
/suite/	/SK/	ePg _{NZ}	12 05 52		eiP		14 10 40,7 D
		eE	58		1PP		49
		F	08		i		12 17
	KRA	$\Delta=116$ km			eSg		13 29
	/Ch/	eiPg _{EZ}	12 06 02,3		KRA	$\Delta=9,8^\circ$	
		eiNEZ	09,5		/SKM/	eiP	14 10 50 D
		iSg _{NE} , eiSg _Z	17,5			eiPP	58
	NIE	$\Delta=154$ km			eiPPP		11 08
		1Pg _{EZ}	12 06 09,3		iS		12 48
		iEZ	11,8		Lm		14 35
		iSg _{EZ}	28,8			E: 10^s ; $7,8\mu$	
8.II		Région frontière Birmanie-Inde, USCGS: 23,2°N, 93,9°E, H=17 ^h 17 ^m 45,7°S, h=33 km; mb=5,1 /USCGS/				N: 12^s ; $3,5\mu$	
	NIE	$\Delta=62,2^\circ$			RAC	$\Delta=10,0^\circ$	
		eP	17 28 06		/SK/	eP	14 10 51
		epP	15			ei	11 03
						ePPP	09
9.II		Tchécoslovaquie, région de Fatra		9.II		Colombie, USCGS: 2,9°N, 74,9°W, H=15 ^h 24 ^m 47,2°S, h=58 km; M=7,0	
	NIE				/Moskva/		
		ePg _{EZ}	11 59 43,7 D		RAC	$\Delta=89,8^\circ$	
		ePg _E	44,2		/M/	eP	15 37 43
		ePg _N	44,7			esPP	38 01
		ei Sg _Z	51,2			eScS	48 38
		eiSg _{NE}	52,7			eL _{NE}	16 02
		iNZ	12 00 01,7		KRA	$\Delta=90,9^\circ$	
		Lm	04		/SKM/	iP	15 37 47,0 C
		NEZ: $0,7^s$; $0,7^s$; $0,8^s$; $0,14\mu$ $0,07\mu$; $0,04\mu$				eiPP	58
		F	01,0			eiPPoP	38 05
	KRA				/GW/	iPP	41 28
	/Ch/	eiPg _{NEZ}	11 59 48,3 C			iPP	40
		eiSg _{NE}	12 00 04,3			iSKS	48 08
		eiNEZ	07,8			iS	36
	RAC				NIE	$\Delta=91,2^\circ$	
	/SK/	eNEZ	12 00 01,5			iP	15 37 49,2 C
		eN	06			isP	38 07
		eE	12,5			i	39
		F	01			ePP	41 24
						eSKS	48 16
9.II		Région frontière Grèce-Albanie, BCIS: 40,0°N, 20,1°E, H=14 ^h 08 ^m 23°S; mb=5,6 /USCGS/, M=5,3 /Athènes/					

Date	Station	Phase	G.M.T. h m s	Date	Station	Phase	G.M.T. h m s
10.II		Inde, USCGS: 33,0°N, 75,5°E, H=05 ^h 46 ^m 30°S; mb=4,9 /USCGS/		11.II		Iles Kouriles, USCGS: 48,2°N, 154,8°E, H=14 ^h 33 ^m 06,3°S, h=26 km;	
	NIE	$\Delta=43,6^\circ$			NIE	mb=4,7 /USCGS/ $\Delta=75,3^\circ$. Traces	
		eP	05 54 31			eP	14 44 48
10.II		Sinkiang, Chine, USCGS: 41,6°N, 86,2°E, H=05 ^h 51 ^m 01,9°S, h=23 km;		11.II		Mer du Groenland, USCGS: 79,6°N, 3,4°E, H=15 ^h 31 ^m 27,1°S, h=33 km;	
	NIE	mb=5,1 /USCGS/ $\Delta=45,5^\circ$			KRA	$\Delta=30,5^\circ$	
		eP	05 59 13		/SKM/	eiP	15 37 36 D
		ei	21			ePP	38 44
10.II		Local			NIE	$\Delta=31,1^\circ$	
	NIE					eiP	15 37 42
		ePg _{NEZ}	15 42 30,8			epP	54
		e/Sg _{NEZ}	46,8			esP	38 00
11.II		Au large de la côte Est du Kamchatka, USCGS: 51,7°N, 159,5°E, H=02 ^h 39 ^m 47,1°S, h=21 km;		12.II		Iles Tonga, ISC, Edinburgh: 23,34°S, 174,72°W, H=00 ^h 24 ^m 17,2°S, h=33 km	
	KRA	mb=4,6 /USCGS/ $\Delta=73,2^\circ$			NIE	$\Delta=151,4^\circ$	
	/SKM/	iP	02 51 17,0 C			ePKP ₁	00 44 06
		eiPP	24	12.II		Région de l'Hindou-Kouch, USCGS: 35,8°N, 71,0°E, H=16 ^h 06 ^m 48°S, h=100 km; mb=5,2 /USCGS/	
		eiPPoP	30		NIE	$\Delta=39,0^\circ$	
	NIE	$\Delta=73,7^\circ$				eP	16 14 07
		eP	02 51 20	12.II		Région des Iles Tonga, BCIS: 18,0°S, 174,0°W, H=21 ^h 04,7°S	
		iPP	53 55		NIE	$\Delta=146,8^\circ$. Traces	
11.II		Région frontière Afghanistan- URSS, USCGS: 36,7°N, 71,1°E, H=08 ^h 05 ^m 08°S, h=58 km; mb=4,6 /USCGS/				ePKP ₁	21 24 30
	NIE	$\Delta=38,5^\circ$. Traces		13.II		Iles Aléoutiennes, USCGS: 52,5°N, 169,6°W, H=10 ^h 07 ^m 34,5°S, h=51 km; mb=4,5 /USCGS/	
		eP	08 12 29		NIE	$\Delta=78,4^\circ$. Traces	
11.II		Région du Lac Baikal, USCGS: 52,0°N, 106,2°E, H=09 ^h 27 ^m 29,6°S, h=5 km; mb=5,4 /USCGS/				eP	10 19 30
	KRA	$\Delta=51,3^\circ$		13.II		Hondo, Japon, USCGS: 36,2°N, 139,7°E, H=11 ^h 21 ^m 08,4°S, h=58 km;	
	/SKM/	eiP	09 36 36 D		NIE	mb=4,9 /USCGS/ $\Delta=79,4^\circ$	
		eiPP	42			eP	11 33 09 C
	NIE	$\Delta=51,5^\circ$. Traces		13.II		Région des Iles Kouriles, USCGS: 43,9°N, 148,4°E, H=11 ^h 30 ^m 45°S;	
		eP	09 36 37			mb=4,6 /USCGS/	
		epP	44				

- 36 -

Date	Station	Phase	G.M.T. h m s	Date	Station	Phase	G.M.T. h m s
13.II	NIE	$\Delta=76,8^{\circ}$ 1P epP	11 42 34,0 44	14.II	Mer Tyrrhénienne, BCIS: vers $40,0^{\circ}N, 14,0^{\circ}E, H=14^h42,3^m$	NIE $\Delta=10,2^{\circ}$. Traces eP	14 45 07
13.II		Iles Kouriles, USCGS: $43,6^{\circ}N,$ $147,4^{\circ}E, H=17^h05^m10,3^s, h=30$ km mb=4,7 /USCGS/ $\Delta=76,7^{\circ}$	17 17 00		KRA $\Delta=10,6^{\circ}$. Traces	/SKM/ e1P	14 45 17
13.II		Crête médiane de l'Atlantique, Nord, USCGS: $52,7^{\circ}N, 34,1^{\circ}W,$ $H=23^h14^m19,6^s, h=10$ km; mb=6,3 /USCGS/, MLH=7,1 /Niedzica/ 6,8 /Kraków/ $\Delta=32,2^{\circ}$	23 20 50	14.II	Région des Iles Tonga, USCGS: $19,4^{\circ}S, 172,8^{\circ}W, H=18^h13^m14^s,$ h=33 km; mb=4,9 /USCGS/ $\Delta=148,0^{\circ}$	KRA /SKM/ e1PKP ₁	18 32 57
	RAC	$\Delta=33,3^{\circ}$	23 20 57		NIE $\Delta=148,5^{\circ}$	ePKP ₁ epPKP	18 33 00 20
	/SKM/	e1P	21 02	15.II	Iran occidental, USCGS: $34,5^{\circ}N,$ $47,6^{\circ}E, H=01^h47^m27,7^s, h=38$ km; mb=5,0 /USCGS/ $\Delta=24,9^{\circ}$. Traces	NIE eP	01 52 51
	/GW/	1PP	22 07		KRA $\Delta=25,4^{\circ}$	/Ch/ e1P	01 52 55
		1S	26 21	15.II	Birmanie, USCGS: $20,4^{\circ}N, 94,1^{\circ}E,$ $H=05^h57^m24,6^s, h=10$ km; mb=5,5 /USCGS/ $\Delta=64,3^{\circ}$	NIE e1P	06 08 03
		Lm	35,3		KRA $\Delta=64,5^{\circ}$	/Ch/ eP	06 08 03 C
		E: $10^S; 22\mu$	36 07		e		17
		N: $10^S; 100\mu$		15.II	Local	NIE	10 08 34
	NIE	$\Delta=33,8^{\circ}$	23 21 02,5 C		ePg _{NEZ}		38,2
		e1P	07		e _{NE} e _{1Z}		51,7
		1	22 24		1S _{NEZ}		10,0
		1	36,5		F		
		Lm	36,5	15.II	Région frontière Pérou-Bésil, USCGS: $9,0^{\circ}S, 71,3^{\circ}W, H=16^h11^m$ $11,8^s, h=597$ km; mb=6,2 /USCGS/ $\Delta=96,5^{\circ}$	RAC	16 23 41 D
		NEZ: $10,5^S; 180\mu, 52\mu, 100\mu$			eP	/SKM/	
14.II		Région des Iles Andaman, USCGS: $13,7^{\circ}N, 96,5^{\circ}E, H=01^h36^m04,7^s,$ h=27 km; mb=6,8 /USCGS/ $\Delta=70,7^{\circ}$	01 47 20,8 D				
	NIE	$\Delta=70,7^{\circ}$	01 47 20,8 D				
		eP	48				
		ePcP	50 41				
		e1					
	KRA	$\Delta=71,0^{\circ}$	01 47 21 D				
	/SKM/	e1P	26				
		1	29				
		1sP	50 17				
		e1PP	56 37				
	/GW/	e1S					

- 37 -

Date	Station	Phase	G.M.T. h m s	Date	Station	Phase	G.M.T. h m s
15.II	RAC	e1	16 24 02	18.II	Région de la Nouvelle Irlande, USCGS: $5,9^{\circ}S, 153,2^{\circ}E, H=02^h39^m$ $19,4^s, h=41$ km; mb=5,4 /USCGS/ $\Delta=121,3^{\circ}$	KRA /SKM/ ePKP e1PP	02 58 09 59 36
/suite/	KRA	$\Delta=97,6^{\circ}$	16 23 45 D				
	/SKM/	e1P	49	19.II	Iles Tonga, USCGS: $21,7^{\circ}S,$ $174,9^{\circ}W, H=14^h21^m53^s, h=33$ km; mb=4,4 /USCGS/ $\Delta=149,6^{\circ}$	KRA /SKM/ ePKP ₁ ePKP ₂	14 41 41 48
		1PcP	25 54				
		1pP	27 55	19.II	Sinkiang, Chine, USCGS: $42,9^{\circ}N,$ $83,5^{\circ}E, H=20^h08^m20,9^s, h=30$ km; mb=5,1 /USCGS/ $\Delta=43,2^{\circ}$	KRA /SKM/ e1P	20 16 25 C
		e1PP	33 25				
		e1SKS	34 12	19.II	Sud de Java, USCGS: $9,2^{\circ}S,$ $113,1^{\circ}E, H=22^h14^m35,6^s, h=60$ km; mb=6,2 /USCGS/ $\Delta=98,7^{\circ}$	NIE eP ePP	22 28 12 32 09
	NIE	$\Delta=97,8^{\circ}$	16 23 47				
		eP	49	19.II	Mer des Moluques, USCGS: $0,0^{\circ}$ $124,2^{\circ}E, H=23^h28^m28,0^s, h=$ 101 km; mb=5,7 /USCGS/ $\Delta=99,2^{\circ}$. Traces	KRA /SKM/ e1P e1pP	23 42 00 39
		1PcP	24 16				
		e	25 59	20.II	Région Est du Cachemire, USCGS: $33,7^{\circ}N, 75,3^{\circ}E, H=15^h18^m39,9^s,$ mb=5,7 /USCGS/, h=18 km		
		1pP					
17.II		Région des Iles Tonga, USCGS: $23,7^{\circ}S, 175,2^{\circ}W, H=10^h10^m51,5^s,$ h=19 km; mb=6,4 /USCGS/ $\Delta=151,4^{\circ}$	10 30 39 D				
	KRA	$\Delta=151,4^{\circ}$	45				
	/SKM/	e1PKP ₁	51				
		1pPKP ₁	34 20				
		1PKP ₂	29				
	/GW/	ePKS	37 54				
		ePP	11 04				
		ePPP	39,8				
		eL	NE: $20^S; 17^S; 16,3\mu, 7,5\mu$				
		Lm		17.II	Tchécoslovaquie, explosion de 13,2 tonnes, ISC, Edinburgh: $49,70^{\circ}N, 17,79^{\circ}E, H=14^h00^m$ $\Delta=0,36^{\circ}$	RAC /SK/ e _{NE} e _N F	14 00 06,6 14,1 03
	NIE	$\Delta=151,8^{\circ}$	10 30 39 D				
		e1PKP ₁	10 30 40,0 D				
		1PKP ₂	10 30 47				
	RAC	$\Delta=151,8^{\circ}$	31 05				
	/SK/	ePKP ₁					
		ePKP ₂					
17.II		Tchécoslovaquie, explosion de 13,2 tonnes, ISC, Edinburgh: $49,70^{\circ}N, 17,79^{\circ}E, H=14^h00^m$ $\Delta=0,36^{\circ}$	14 00 06,6	19.II			
	RAC	$\Delta=0,36^{\circ}$	14,1				
	/SK/	e _{NE}	03				
		e _N					
		F					
	KRA	$\Delta=1,43^{\circ}$	14 00 19				
	/Ch/	e1Pg _Z	39				
		e1Sg _Z					

Date	Station	Phase	G.M.T. h m s	Date	Station	Phase	G.M.T. h m s
20. II	NIE	$\Delta=43,0^\circ$ iP ipP	15 26 40,0 C 43	23. II	KRA /SKM/	$\Delta=149,7^\circ$. Traces ePKP ₁	06 18 20
	KRA /SKM/	$\Delta=43,3^\circ$ iP ipP eiPP eiPcP /GW/ eS	15 26 41,5 C 52 28 25 35 33 09	23. II		Explosion souterraine en Nevada, BCIS: 37,6°N, 116,2°W, H=18 ^h 50 ^m 00 ^s ; M=6,1 /Uppsala/, mPV=6,2 /Kraków/ KRA /SKM/	$\Delta=84,7^\circ$ iP 19 02 36,0 C
21. II		Détroit de Mona, USCGS: 19,2°N, 67,9°W, H=04 ^h 16 ^m 21,1 ^s , h=44 km; mb=4,8 /USCGS/ KRA /SKM/	$\Delta=74,2^\circ$ eP 04 28 00	23. II		Iles Riou-Kiou, USCGS: 26,1°N, 128,5°E, H=20 ^h 35 ^m 56,3 ^s , h=30 km; mb=5,4 /USCGS/ KRA /SKM/	$\Delta=85,4^\circ$ iP ei 19 02 40,9 49
21. II	NIE	Local ePg _{NE} , eiPg _Z ei _Z ei _{NE} F	09 41 38,8 42,3 42,8 42,5	23. II	NIE	$\Delta=81,3^\circ$ iP eiPcP eipP	20 51 12,4 C 20 25
21. II		Région Est du Cachemire, USCGS: 33,6°N, 75,3°E, H=12 ^h 37 ^m 44,5 ^s , h=31 km; mb=5,2 /USCGS/ NIE eP	$\Delta=43,1^\circ$. Traces 12 45 44	23. II	NIE	$\Delta=81,6^\circ$ iP eiPcP	20 51 13,4 C 24
22. II		Nouvelles Hébrides, USCGS: 19,5°S 169,0°E, H=18 ^h 26 ^m 46,7 ^s , h=87 km; mb=5,6 /USCGS/ KRA /SKM/	$\Delta=141,0^\circ$ ePKP epPKP ei 18 46 08 29 49 37	23. II	NIE	$\Delta=6,3^\circ$ eP ei	22 40 26,9 41,4
	NIE	$\Delta=141,2^\circ$ ePKP eSKP ₂	18 46 10 49 34	23. II	KRA /SKM/	$\Delta=6,8^\circ$ iPn eiPP eiPg iSn	22 40 34,0 44,5 41 05,5 50,0
23. II		Iles Tonga, USCGS: 21,6°S, 174,4°W, H=05 ^h 58 ^m 29 ^s , h=21 km; mb=4,8 /USCGS/ NIE ePKP ₁ ePKP ₂	$\Delta=150,1^\circ$. Traces 06 18 20 31	25. II		Région Est de la Mer du Japon, USCGS: 43,9°N, 139,1°E, H=00 ^h 16 ^m 36 ^s , h=209 km; mb=4,6 /USCGS/ KRA /Ch/	$\Delta=72,6^\circ$ eiP 00 29 42
				25. II		Région Nord de Célebes, USCGS: 0,0°, 123,9°E, H=11 ^h 20 ^m 47,4 ^s	

Date	Station	Phase	G.M.T. h m s	Date	Station	Phase	G.M.T. h m s	
25. II		mb=5,8 /USCGS/ /suite/ KRA /SKM/	$\Delta=99,0^\circ$ eP 11 34 22	27. II	KRA	iSn iSS eiSg	21 03 46 53 04 29	
26. II		Kazakstan, région de Semipala- tinsk, USCGS: 49,8°N, 78,1°E, H=03 ^h 57 ^m 57,7 ^s ; mb=6,0 /USCGS/ KRA /SKM/	$\Delta=36,7^\circ$ iP ei i i iPP 04 05 07,5C C 16 37 06 16 27	27. II	RAC /SK/	$\Delta=7,3^\circ$ eP ePP e eSS	21 02 36 44 03 18 04 09	
	NIE	$\Delta=36,7^\circ$ eP ei i i i RAC /SK/	04 05/08/ 26 06 18 07 01 17 27 18 05 $\Delta=37,7^\circ$ eP 04 05 16	28. II		Sud de Hondo, Japon, USCGS: 32,7°N, 141,7°E, H=09 ^h 37 ^m 18,0 ^s , h=23 km; mb=5,5 /USCGS/ KRA /SKM/	$\Delta=83,0^\circ$ eiP eiP NIE $\Delta=83,3^\circ$ eiP epP RAC /M/ $\Delta=83,7^\circ$ eP 09 49 41 53 09 49 44 51 09 49 47	
27. II		Roumanie, BCIS: 44,9°N, 26,0°E, H=21 ^h 00 ^m 43 ^s ; M=5,0 /Moskva/ NIE	$\Delta=5,7^\circ$ iPn iPP ei ei ei i KRA /SKM/	21 02 15,4 24 52 03 17 25 58 $\Delta=6,4^\circ$ iPn iPP iPPP iP ^x i eiPg i 21 02 24,0 32 36 40 48 56 03 14	28. II		Iles Ioniennes, USCGS: 37,5°N, 21,3°E, H=14 ^h 21 ^m 54 ^s , h=77 km; mb=4,6 /USCGS/ NIE eP ePP KRA /SKM/	$\Delta=11,7^\circ$ eP ePP $\Delta=12,3^\circ$ eP ePPP 14 24 38 53 14 24 49 25 07
				28. II		Près de la côte Est du Kamchat- ka, USCGS: 53,1°N, 159,9°E, H=15 ^h 15 ^m 56,0 ^s , h=33 km; mb=4,6 /USCGS/ NIE eP	$\Delta=72,5^\circ$. Traces 15 27 20	

Date	Station	Phase	G.M.T. h m s	Date	Station	Phase	G.M.T. h m s				
1967				M A R S				1967			
1.III		Sud de l'Iran, USCGS: 28,3°N, 57,1°E, H=10 ^h 12 ^m 49,4 ^s , h=39 km; mb=4,9 /USCGS/		2.III		Kirgiz, URSS; USCGS: 41,4°N, 71,4°E, H=09 ^h 51 ^m 48 ^s ; h=59 km; mb=4,2 /USCGS/					
	KRA	$\Delta = 35,4^\circ$			NIE	$\Delta = 36,2^\circ$. Traces					
	/SKM/	1P	10 19 45,1 C			eP	09 58 47				
		eipP	53								
1.III		Local		2.III		Au large de la cote du Kamchatka, USCGS: 52,4°N, 160,5°E, H=20 ^h 47 ^m 37,6 ^s , h=18 km; mb=4,6 /USCGS/					
	NIE	ePg _{NEZ}	11 58 50,2		KRA	$\Delta = 72,8^\circ$					
		eiS _{NEZ}	52,8		/SKM/	eiP	20 59 06				
1.III		Iles Aleoutiennes, USCGS: 51,4°N, 179,3°W, H=22 ^h 16 ^m 30,4 ^s , h=33 km; mb=5,3 /USCGS/			NIE	$\Delta = 73,3^\circ$					
	KRA	$\Delta = 77,9^\circ$. Traces				eP	20 59 10				
	/SKM/	eiP	22 28 26			ePcP	22				
		ePcP	39	2.III		Près de la cote Est du Kamchatka, USCGS: 53,8°N, 160,5°E, H=23 ^h 03 ^m 39,7 ^s , h=21 km; mb=5,0 /USCGS/					
	NIE	$\Delta = 78,4^\circ$			KRA	$\Delta = 71,6^\circ$					
		eP	22 28 28		/SKM/	eiP	23 15 00 C				
2.III		Equateur, USCGS: 0,3°S, 78,7°W, H=02 ^h 47 ^m 31,7 ^s , h=121 km; mb=5,8 /USCGS/		4.III		Région de Formose, USCGS: 21,4°N, 121,8°E, H=05 ^h 09 ^m 24,2 ^s , h=134 km; mb=5,5 /USCGS/					
	KRA	$\Delta = 95,8^\circ$			KRA	$\Delta = 81,2^\circ$					
	/SKM/	1P	03 00 40,0 D		/SKM/	1P	05 21 26,7 C				
	NIE	$\Delta = 96,1^\circ$				e1PcP	33				
		eiP	03 00 48 D		NIE	$\Delta = 81,3^\circ$					
2.IIII		Sud des Iles Fidji, USCGS: 24,6°S, 179,6°W, H=05 ^h 58 ^m 28 ^s , h=480 km; mb=4,5 /USCGS/				1P	05 21 27,2 C				
	NIE	$\Delta = 150,9^\circ$. Traces				i	33				
		ePKP ₁	06 17 27			ePP	24 36				
2.III		Près de la cote Sud de Hondo, Japon, USCGS: 35,7°N, 139,9°E, H=08 ^h 17 ^m 44,5 ^s , h=75 km; mb=4,6 /USCGS/			RAC	$\Delta = 82,2^\circ$					
		$\Delta = 79,9^\circ$			/SK/	eP	05 21 32				
		eP	08 29 47			ePcP	35				
		esP	30 12	4.III		Iles Tonga, USCGS: 18,5°S, 175,4°W, H=06 ^h 16 ^m 21,9 ^s , h=225 km; mb=5,7 /USCGS/					

Date	Station	Phase	G.M.T. h m s	Date	Station	Phase	G.M.T. h m s
4.III	NIE	$\Delta = 144,3^\circ$		4.III	NIE	$\Delta = 5,5^\circ$	
/suite/		eiPKP ₁	06 35 37,2 D			iPn	17 24 18,8 D
		eiPKP ₂	40			ei	28
	KRA	$\Delta = 146,4^\circ$				i	39
	/SKM/	eiPKP ₁	06 35 38 C			eSn	25 17
		iPKP ₂	44		KRA	$\Delta = 6,1^\circ$	
		eiSKP	38 58		/SKM/	eiPn	17 24 25,5 D
		eiPP	39 04			i	27,5
		eiPKS	23			iPP	36
	RAC	$\Delta = 146,6^\circ$				eiP ^x	42
	/SK/	ePKP ₁	06 35 40			i	25 14
		epPKP ₂	37 00			eiSn	31
4.III		Mer Egée, BCIS: 39,2°N, 24,6°E, H=17 ^h 58 ^m 01 ^s ; mb=5,9 /USCGS/, M=6,8 /Athènes/		5.III		Roumanie, USCGS: 45,1°N, 25,3°E, H=18 ^h 54 ^m 18 ^s , h=57 km; mb=4,1 /USCGS/	
	NIE	$\Delta = 10,4^\circ$			NIE	$\Delta = 5,3^\circ$	
		eP	18 00 38			eiPn	18 55 44,8 C
		iPP	43			eP ^x	54
		i	06 19			ePg	56 02
	KRA	$\Delta = 11,1^\circ$			KRA	$\Delta = 6,0^\circ$	
	/Ch/	eP	18 00 49		/Ch/	eiPn	18 55 52,5
		iPP	52			eiPP	56 00
		iPPP	01 02	6.III		Sud de Hondo, Japon, USCGS: 30,5°N, 137,6°E, H=04 ^h 40 ^m 17,8 ^s , h=490 km; mb=5,1 /USCGS/	
		iPPPP	18		KRA	$\Delta = 82,8^\circ$	
		i	02 20		/SKM/	eiP	04 51 50
	RAC	$\Delta = 11,6^\circ$				eiPcP	55
	/SK/	eiP	18 00 56			ei	52 06
		eiPP	01 03			eiPP	53 39
		iSS	03 25			eiPPcP	46
		i	58		NIE	$\Delta = 83,0^\circ$	
		eL	04			eP	04 51 52
		Lm	06 08			epPcP	53 48
				6.III		Sud des Iles Fidji, USCGS: 22,7°S, 177,5°W, H=08 ^h 11 ^m 58,8 ^s , h=227 km; mb=4,7 /USCGS/	
					KRA	$\Delta = 149,7^\circ$	
					/SKM/	eiPKP ₁	08 31 21
					NIE	$\Delta = 150,1^\circ$	
						iPKP ₁	08 31 24,0 D
						i	30
						ePKP ₂	41

Date	Station	Phase	G.M.T. h m s	Date	Station	Phase	G.M.T. h m s
6. III	Région Nord de Sumatra, USCGS: 3,7°N, 95,8°E, H=11 ^h 29 ^m 49,4 ^s ; h=57 km; mb=5,1 /USCGS/			9. III	KRA	epPP	07 20 26
	NIE Δ=77,7°			9. III	KRA	Local	
	eIP 11 40 44			/Ch/	eIP _{NEZ}	07 51 20	
	KRA Δ=78,0°				1/Sg/NE	39	
	/Ch/ eIP 11 40 44 D			9. III		Atlantique du Nord, BCIS: 56,0°N, 34 1/2°W, H=21 ^h 00 ^m 50 ^s ; mb=4,4 /USCGS/	
	eiPoP 41 00			KRA	Δ=32,7° Traces		
7. III	Région des Iles Tonga, BCIS: vers 16,0°S, 177,0°W, H=04 ^h 21,3 ^m			/SKM/	eP	21 07 21	
	NIE Δ=144,0°			NIE	Δ=33,2° Traces		
	1PKP 04 40 27,2 D			eP	eP	21 07 28	
7. III	Yougoslavie, BCIS: 43,3°N, 17,6°E H=08 ^h 00 ^m 33 ^s ; mb=4,2 /USCGS/, M=4,0 /Skopje/			9. III		Sud de Hondo, Japon, USCGS: 30,3°N, 139,4°E, H=21 ^h 06 ^m 35,6 ^s , h=248 km; mb=4,8 /USCGS/	
	NIE Δ=6,1°			NIE	Δ=84,1°		
	ePn 08 02 08			iP	iP	21 14 53,8 D	
	i 30			9. III		Atlantique du Nord, USCGS: 56,1°N, 34,4°W, H=21 ^h 22 ^m 48,9 ^s , h=33 km; mb=4,9 /USCGS/	
	eI 04 02			KRA	Δ=32,6°		
	RAC Δ=6,6°			/SKM/	eIP	21 29 17	
	/SK/ ePP 08 02 27			eIP	eIP	28	
	KRA Δ=6,7°			10. III		Région des Iles Fidji, USCGS: 17,8°S, 178,6°W, H=10 ^h 13 ^m 22 ^s . h=517 km; mb=4,2 /USCGS/	
	/Ch/ eP ^M 08 02 34			NIE	Δ=145,2°		
	ePg 45			1PKP	1PKP	10 32 00,8 C	
	eISn 03 36			10. III		Local	
	eISS 52			NIE	eP _{NEZ}	10 46 12,1	
	eSg 04 19			e _{NEZ}	e _{NEZ}	21,0	
7. III	Local			F	F	47,2	
NIE				11. III		Roumanie, BCIS: 45 3/4°N, 27,0°E, H=04 ^h 16,3 ^m	
eP _{NEZ}	19 36/10/			NIE	Δ=5,7°		
eL _{NEZ}	37			eIPn	eIPn	04 17 41,7	
F	37,0			11. III		Région de l'Hindou-Kouch, USCGS: 36,4°N, 70,7°E, H=06 ^h 31 ^m 09,0 ^s ; h=220 km; mb=5,0 /USCGS/	
8. III	Sud de France, BCIS: vers 43,0°N, 3,0°E, H=03 ^h 18 ^m 42 ^s						
NIE	Δ=13,5° Traces						
eP	03 22 59						
9. III	Iles Santa Cruz, USCGS: 10,6°S, 166,3°E, H=06 ^h 58 ^m 35,7 ^s , h=30 km; mb=6 /USCGS/, M=6 1/2 /Pasadena/						
KRA	Δ=132,0° Traces						
/SKM/ eIPP	07 20 10 D						

Date	Station	Phase	G.M.T. h m s	Date	Station	Phase	G.M.T. h m s
11. III	NIE	Δ=38,4° Ag.mi.		12. III	NIE	i	03 03 41
/suite/	eIP	06 38 12		RAC	Δ=76,0°		
11. III		Iles Santa Cruz, USCGS: 10,7°S, 166,2°E, H=08 ^h 33 ^m 27,4 ^s , h=49 km; mb=6,1 /USCGS/		/SK/	eP	03 03 40	
NIE	Δ=132,3° Traces. Ag.mi.			12. III		NIE	
ePKP	08 52 38			eP	eP	15 39 26	
11. III		Vera Cruz, Mexique, USCGS: 19,1°N, 95,8°W, H=14 ^h 44 ^m 59,2 ^s , h=33 km; mb=5,5 /USCGS/		eI	eI	38	
NIE	Δ=91,6° Traces. Ag.mi.			12. III		Mer Rouge, BCIS: 19,4°N, 39,0°E, H=18 ^h 35 ^m 23 ^s	
eP	14 58 01			KRA	Δ=33,9° Traces		
11. III		Mer Rouge, BCIS: 19,7°N, 38,9°E, H=21 ^h 44 ^m 33 ^s , h=33 km; mb=5,5 /USCGS/		/SKM/	eP	18 42 04	
NIE	Δ=91,0° Traces			eI/pP/	eI/pP/	13	
eP	14 58 03			12. III		Mer Rouge, USCGS: 19,7°N, 38,9°E, H=21 ^h 44 ^m 33 ^s , h=33 km; mb=5,5 /USCGS/	
/SKM/ eP	12			KRA	Δ=33,6°		
ePcP	12			/SKM/	eIP	21 51 14 C	
eI	31			eI	eI	18	
11. III		Région frontière Inde-Chine, USCGS: 28,4°N, 94,4°E, H=16 ^h 56 ^m 48,7 ^s , h=7 km; mb=5,3 /USCGS/		13. III		NIE	
NIE	Δ=59,0° Traces. Ag.mi.			eP	eP	05 21 41	
eP	17 06 50			13. III		Région des Iles Fidji, USCGS: 20,6°S, 178,4°W, H=07 ^h 37 ^m 37,5 ^s . h=586 km; mb=4,6 /USCGS/	
KRA	Δ=59,1° Traces			NIE	Δ=147,8°		
/SKM/ eP	17 06 57			eIPK ₁	eIPK ₁	07 56 16,6 D	
11. III		Népal, USCGS: 29,2°N, 81,4°E, H=18 ^h 45 ^m 41 ^s , h=8 km; mb=4,0 /USCGS/		ePKP ₂	ePKP ₂	33	
NIE	Δ=49,9° Traces. Ag.mi.			13. III		Tohécoslavaquie, explosion de 37,7 tonnes, BCIS: 50°35,2'N, 14°03'E, H=11 ^h 22 ^m 52 ^s	
eP	18 54 38			NIE	Δ=4,3°		
11. III		Mer Rouge, USCGS: 19,6°N, 38,7°E H=19 ^h 38 ^m 22 ^s ; mb=5,2 /USCGS/		eP _Z	eP _Z	11 24 13,1	
KRA	Δ=33,6°			eS _{NEZ}	eS _{NEZ}	25 05,6	
/SKM/ eIP	19 45 03 D			eI _{NEZ}	eI _{NEZ}	16,6	
eIP	06			RAC	Δ=2,7°		
12. III		Région de Hokkaido, Japon, USCGS: 42,6°N, 143,0°E, H=02 ^h 51 ^m 54,7 ^s . h=33 km; mb=5,3 /USCGS/		/SK/	eSg _{NEZ}	11 24 20	
KRA	Δ=75,4° Traces			KRA	Δ=3,8°		
/SKM/ eIP	03 03 36 C			1S _N	1S _N	11 24 48	
eI	41			1SS _N	1SS _N	51	
11. III		Région de l'Hindou-Kouch, USCGS: 36,4°N, 70,7°E, H=06 ^h 31 ^m 09,0 ^s ; h=220 km; mb=5,0 /USCGS/		1E	1E	55	
NIE	Δ=75,7°			1Sg _{NZ}	1Sg _{NZ}	59	
eIP	03 03 39			1NEZ	1NEZ	25 08	

Date	Station	Phase	G.M.T. h m s	Date	Station	Phase	G.M.T. h m s	
13.III	Iles Aléoutiennes, USCGS: 53,7°N, 165,4°W, H=14 ^h 44 ^m 07 ^s , h=33 km; mb=5,2 /USCGS/	NIE	Δ=77,4°. Traces eP 14 55 59	14.III	NIE	Δ=58,9° 1P eisP ei 10 54	07 08 03,1 C	
13.III	Au large de la côte Sud du Chili, USCGS: 40,1°S, 74,5°W, H=16 ^h 06 ^m 54,3 ^s , h=33 km; mb=6,0 /USCGS/	NIE	Δ=121,7° 1PKP 16 25 45,6 C		KRA	Δ=59,0° 1P eipP ei 53	07 08 05,0	
		KRA	Δ=121,8° /SKM/ eiPKP 16 25 46		/GW/	e1PoP ePP eSP eL Lm 37 13		
13.III	Célèbes, USCGS: 3,6°N, 126,6°E, H=17 ^h 27 ^m 09,4 ^s , h=44 km; mb=5,3 /USCGS/	NIE	Δ=97,8° eP 17 40 43	14.III	Terre François Joseph, USCGS: 82,5°N, 36,2°E, H=07 ^h 50 ^m 19,3 ^s , h=33 km; M=5 1/2 /Moskva/, MLH=5,7 /Kraków/	KRA	Δ=33,2° /SKM/ eiP epP eL Lm 08 43	07 56 52
13.III	Célèbes, USCGS: 3,6°N, 126,5°E, H=19 ^h 01 ^m 01,4 ^s , h=35 km; mb=5,4 /USCGS/	KRA	Δ=97,9°. Traces /SKM/ eP 19 14 35			NIE	Δ=33,8° eiP ei ePoS 07 56 57 57 45 08 03 31	
		NIE	Δ=97,8° eP esP 19 14 36 57					
13.III	Mer Rouge, USCGS: 19,7°N, 38,7°E, H=19 ^h 22 ^m 19,5 ^s , h=31 km; mb=5,7 /USCGS/	NIE	Δ=32,9° eiP esP ePP 19 28 55,6 C 29 07 30 14	14.III	Mer Rouge, USCGS: 19,4°N, 38,7°E, H=21 ^h 52 ^m 05 ^s , h=33 km; mb=4,6 /USCGS/	KRA	Δ=33,8° /SKM/ eP 21 58 49	
		KRA	Δ=33,5° /SKM/ 1P esP 19 29 00,0 D 12	14.III	Sud des Iles Fidji, USCGS: 23,0°S, 178,7°E, H=23 ^h 24 ^m 47,8 ^s , h=650 km; mb=4,9 /USCGS/	KRA	Δ=148,5°. Traces /SKM/ eiPKP ₁ eiPKP ₂ ei 23 43 24 D 30 49	
		RAC	Δ=34,2° /SK/ eP 19 29 06			NIE	Δ=148,8° 1PKP ₁ ePKP ₂ 23 43 25,1 D 32	
14.III	Région frontiere Inde-Chine, USCGS: 28,4°N, 94,3°E, H=06 ^h 58 ^m 04,6 ^s , h=24 km; mb=5,9 /USCGS/; MLH=6 /Kraków/							

Date	Station	Phase	G.M.T. h m s	Date	Station	Phase	G.M.T. h m s
16.III	Mer Rouge, BCIS: 19,6°N, 38,6°E, H=03 ^h 11 ^m 56 ^s ; mb=5,4 /USCGS/	NIE	Δ=32,9°. Traces eP 03 18 36	17.III	Région de la Nouvelle Irlande, USCGS: 3,6°S, 150,9°E, H=11 ^h 24 ^m 45,7 ^s , h=33 km; mb=5,4 /USCGS/	NIE	Δ=118,2° ePKP 11 43 37
		KRA	Δ=33,6° /SKM/ eiP ei 03 18 42 C 57	18.III	Région des Iles Fidji, USCGS: 20,7°S, 179,4°W, H=09 ^h 27 ^m 42,7 ^s , h=650 km; mb=4,9 /USCGS/	NIE	Δ=147,5°. Traces ePKP ₁ 09 46 18
16.III	Région des Iles Loyauté, USCGS: 22,1°S, 170,5°E, H=12 ^h 09 ^m 37,7 ^s , h=66 km; mb=5,4 /USCGS/	NIE	Δ=144,1° ePKP ₁ epPKP ₂ 12 29 06 23	18.III	Hondo, Japon, USCGS: 36,3°N, 139,8°E, H=17 ^h 49 ^m 50,8 ^s , h=105 km; mb=5,0 /USCGS/	KRA	Δ=79,1° /SKM/ eiP eiPoP efpP 18 01 46 48 02 09
		RAC	Δ=144,7°. Traces /SK/ ePKP ₁ 12 29 07			NIE	Δ=79,4° eP epP 18 01 46 02 06
16.III	Mer Rouge, USCGS: 19,7°N, 38,9°E, H=14 ^h 45 ^m 12,6 ^s , h=33 km; mb=5,1 /USCGS/	KRA	Δ=33,6° /SKM/ eiP 14 51 54 C	19.III	Mer de Banda, USCGS: 6,7°S, 129,9°E, H=01 ^h 10 ^m 45,8 ^s , h=60 km; mb=5,9 /USCGS/	NIE	Δ=106,5°. Traces ePdif ePP ei 01 25 00 29 23 56
		NIE	Δ=33,6° /SKM/ eiP eipP 16 06 57 C 07 12			KRA	Δ=107,9°. Traces /SKM/ eiPdif ei ePKP ePP 01 25 00 33 29 00 36
16.III	Nouvelles Hébrides, USCGS: 13,7°S, 170,7°E, H=17 ^h 33 ^m 07,6 ^s , h=637 km; mb=4,7 /USCGS/	NIE	Δ=137,1°. Traces ePKP 17 51 21	19.III	Iles Riou Kiou, USCGS: 28,0°N, 130,5°E, H=02 ^h 54 ^m 22,4 ^s , h=48 km; mb=4,9 /USCGS/	KRA	Δ=81,1° /SKM/ 1P eisP 03 06 33,7D D 47
17.III	Local	KRA	Traces /Ch/ ei/PE/EZ ei/Sg/NEZ 02 13 40,7 14 01			NIE	Δ=81,2° eP 03 06 35
17.III	Région d' Hokkaido, Japon, USCGS: 42,0°N, 142,5°E, H=02 ^h 22 ^m 37,9 ^s , h=57 km; mb=4,7 /USCGS/	NIE	Δ=76,0°. Traces eP 02 34 19				

- 46 -

Date	Station	Phase	G.M.T. h m s	Date	Station	Phase	G.M.T. h m s
19.III		Iles Kouriles, USCGS: 45,4°N, 151,3°E, H=04 ^h 01 ^m 36 ^s , h=33 km; M=6½ /Pasadena/, MLH=6,9 /Niedzica/		20.III		Iles Kouriles, USCGS: 45,5°N, 150,9°E, H=05 ^h 13 ^m 58 ^s , h=33 km; mb=4,5 /USCGS/	
	KRA	Δ=76,2°			KRA	Δ=75,9°. Traces	
	/SKM/	e1P	04 13 21 C		/SKM/	e1P	05 25 42
		iPcP	34		NIE	Δ=76,3°	
		i	46			iP	05 25 44,7 D
	/GW/	eS	23 08	20.III		Iles Kouriles, USCGS: 45,6°N, 151,5°E, H=09 ^h 30 ^m 36,4 ^s , h=33 km; mb=4,4 /USCGS/	
		ePS	38		NIE	Δ=76,5°	
	NIE	Δ=76,6°				e1P	09 42 24
		eP	04 13 23	20.III		Iles Kouriles, USCGS: 45,6°N, 151,4°E, H=13 ^h 31 ^m 34 ^s , h=51 km; mb=5,7 /USCGS/	
		i	25		KRA	Δ=76,0°	
		iSP	43		/SKM/	iP	13 43 17,0 C
		i	47			i	24
		i	14 03			epP	30
		ePP	16 20		NIE	Δ=76,5°	
		eS	23 09			iP	13 43 20,7 C
		Lm	55,9			iPcP	30
		NEZ: 15°; 45,4μ, 22,7μ, 20,0μ				iP	34
	RAC	Δ=76,7°				ei	44 22
	/SK/	eP	04 13 23		RAC	Δ=76,6°	
19.III					/SK/	e1P	13 43 22
	NIE		04 37 37	20.III		Iles Kouriles, USCGS: 45,7°N, 151,6°E, H=13 ^h 38 ^m 53,7 ^s , h=50 km; mb=4,6 /USCGS/	
19.III		Mindoro, Philippines, USCGS: 13,7°N, 120,6°E, H=05 ^h 55 ^m 03 ^s , h=96 km; mb=4,9 /USCGS/			KRA	Δ=76,0°	
	KRA	Δ=86,4°			/SKM/	e1P	13 50 36 C
	/SKM/	e1P	06 07 37 C		NIE	Δ=76,4°	
		eP	06 07 37			e1P	13 50 38
		ePcP	42	20.III		Iles Kouriles, USCGS: 45,6°N, 151,5°E, h=53 km; mb=5,3	
19.III		Roumanie, BCIS: 46,0°N, 26,0°E, H=17 ^h 11,4 ^m			KRA	Δ=76,1°	
	NIE	Δ=5,0°	17 12 40		/SKM/	iP	13 52 36,0 C
19.III		Iles Kouriles, USCGS: 45,6°N, 151,0°E, H=21 ^h 50 ^m 47 ^s , h=33 km; mb=4,1 /USCGS/				ei	41
	NIE	Δ=76,1°	22 02 33			e1PcP	49

- 47 -

Date	Station	Phase	G.M.T. h m s	Date	Station	Phase	G.M.T. h m s
20.III	NIE	Δ=76,5°		20.III	NIE	Δ=76,5°	
/suite/		iP	13 52 38,2 C			iP	07 23 22,3 C
		iP	46			Z: 1°; 0,026μ	
		iPcP	50			ePcP	42
	RAC	Δ=76,6°			RAC	Δ=76,7°. Traces	
	/SK/	eP	13 52 41		/SK/	eP	17 23 25
20.III		Iles Kouriles, USCGS: 45,6°N, 151,5°E, H=13 ^h 52 ^m 05,5 ^s , h=32 km; mb=5,4 /USCGS/		20.III		Région des Iles Loyauté, USCGS: 22,1°S, 170,6°E, H=19 ^h 07 ^m 25,2 ^s , h=28 km; mb=5,5 /USCGS/	
	KRA	Δ=76,1°			NIE	Δ=144,2°	
	/SKM/	e1P	14 03 50 C			ePKP	19 26 59
		e1P	55			epPKP	27 05
		e1PcP	04 03		RAC	Δ=144,8°	
		ei	12		/SK/	ePKP	19 27 02
	RAC	Δ=76,6°		20.III		Hondo, Japon, USCGS: 36,3°N, 139,7°E, H=21 ^h 54 ^m 48 ^s , h=57 km; mb=4,7 /USCGS/, mPV=5,1 /Niedzica/	
	/SK/	eP	14 03 56		KRA	Δ=79,1°	
20.III		Iles Kouriles, USCGS: 45,4°N, 151,5°E, H=14 ^h 44 ^m 17,8 ^s , h=50 km; mb=4,6 /USCGS/, mPV=5,2 /Niedzica/			/Ch/	e1P	22 06 47 C
	KRA	Δ=76,3°			NIE	Δ=79,4°	
	/SKM/	e1P	14 56 02			eP	22 06 49
	NIE	Δ=76,7°				Z: 1°; 0,017μ	
		e1P	14 56 05,3 D			epP	07 02
		Z: 1°; 0,019μ		20.III		Irak, USCGS: 35,8°N, 44,2°E, H=22 ^h 30 ^m 44 ^s , h=43 km; M=5,0	
					/Moskva/		
					NIE	Δ=22,0°	
20.III		Iles Kouriles, USCGS: 45,6°N, 151,2°E, H=15 ^h 46 ^m 29,4 ^s , h=60 km; mb=5,1 /USCGS/				eP	22 35 39
	KRA	Δ=76,0°				epP	51
	/SKM/	e1P	15 58 11 D			ePP	36 06
	NIE	Δ=76,4°			KRA	Δ=22,5°. Traces	
		eP	15 58/12/		/SKM/	e1P	22 35 46
20.III		Iles Kouriles, USCGS: 45,5°N, 151,4°E, H=17 ^h 11 ^m 34,8 ^s , h=33 km; mb=5,0 /USCGS/, mPV=5,3 /Niedzica/				e1PcP	59
	KRA	Δ=76,1°		21.III		Région des Iles Tonga, USCGS: 23,8°S, 175,2°W, H=11 ^h 24 ^m 44,6 ^s , h=33 km; mb=5,4 /USCGS/	
	/SKM/	e1P	17 23 20 C		NIE	Δ=151,9°	
		ePcP	39			ePKP ₁	11 44 29
						i	38
						e1sPKP ₁	53
						e1sPKP ₂	45 10

Date	Station	Phase	G.M.T. h m s	Date	Station	Phase	G.M.T. h m s
21.III	KRA	$\Delta=151,5^\circ$		24.III	Hondo, Japon, USCGS: 40,2°N, 144,6°E, H=04 ^h 11 ^m 29,6 ^s , h=27 km;		
/suite//SKM/	1PKP ₁		11 44 37,0 C		mb=5,0 /USCGS/		
	esPKP ₁		59	NIE	$\Delta=78,4^\circ$. Traces		
RAC	$\Delta=151,9^\circ$. Traces			eP		04 23 28	
/SK/	ePKP ₁		11 44 39	esP		45	
21.III		Région Nord de la Colombie, USCGS: 6,8°N, 73,0°W, H=18 ^h 11 ^m 42,2 ^s , h=150 km; mb=5,4 /USCGS/		KRA	$\Delta=78,0^\circ$		
	KRA	$\Delta=86,7^\circ$		/SKM/	eiP		04 23 28 D
/SKM/	eiP		18 24 53	24.III	Mer de Java, USCGS: 6,0°S, 112,3°E, H=09 ^h 00 ^m 19,5 ^s , h=600 km;		
22.III		Italie, BCIS: 46,3°N, 12,6°E, H=19 ^h 14 ^m 51 ^s		NIE	$\Delta=95,8^\circ$		
RAC	$\Delta=5,2^\circ$			eP		09 12 44 D	
/SK/	eSn		19 17 39	1pP		14 54	
KRA	$\Delta=6,0^\circ$			1PP		16 47	
/SKM/	1Sg		19 18 16,0		Z: 1,3 ^s ; 0,144 μ		
22.III				1pPP		18 35	
NIE				ePPP		19 24	
eP			22 04 15,6	KRA	$\Delta=96,1^\circ$		
22.III		Afrique, USCGS: 19,6°N, 38,6°E, H=22 ^h 59 ^m 50,5 ^s , h=33 km; mb=5,6 /USCGS/		/SKM/	1P		09 12 46,0 C
	KRA	$\Delta=33,6^\circ$		1pP		14 56	
/SKM/	eiP		23 06 32 C	eisP		15 53	
	e1sP		38	1PP		16 50	
23.III		Iles Kouriles, USCGS: 45,8°N, 151,9°E, H=13 ^h 41 ^m 58 ^s , h=33 km; mb=4,7 /USCGS/, mPV=5,2 /Niedzica/		1pPP		18 39	
	NIE	$\Delta=76,4^\circ$		/GW/	e1SKS		22 24
	1P		13 53 44,6 D	eS		23 12	
		Z: 1 ^s ; 0,021 μ		e1PS		25 59	
	epP		56	24.III	Valais, Suisse, BCIS: 46,4°N, 7,4°E, H=17 ^h 38 ^m 15 ^s ; mb=4,2 /USCGS/		
24.III				RAC	$\Delta=8,0^\circ$		
KRA				/SK/	eP		17 40 14
/SKM/	eiP		02 00 09 C	eSS		41 59	
24.III		Mer Rouge, BCIS: 20,4°N, 38,4°E, H=01 ^h 57 ^m 50 ^s ; mb=5,0 /USCGS/		eiSg		42 46	
	KRA	$\Delta=33,2^\circ$		KRA	$\Delta=9,0^\circ$		
/SKM/	eiP		02 04 25	/SKM/	eP		17 40 26
	ei		29	eiPP		38	
				eiPPP		51	
				1		41 17	
				eiSS		42 27	
				1		43 02	

Date	Station	Phase	G.M.T. h m s	Date	Station	Phase	G.M.T. h m s
24.III	NIE	$\Delta=9,1^\circ$		25.III	KRA	Lm	23 34 24
/suite/	eP		17 40 29			E: 17 ^s ; 7 μ	
	ePP		38		Lm		32
	ePPP		46			N: 16 ^s ; 6,5 μ	
	1		43 06	RAC	$\Delta=76,6^\circ$		
	1		51	/SK/	eP		22 59 47
24.III		Région des Iles Fidji, USCGS: 20,2°S, 179,0°W, H=22 ^h 59 ^m 47,3 ^s , h=654 km; mb=4,7 /USCGS/		epP			23 00 01
	KRA	$\Delta=146,8^\circ$. Traces		NIE	$\Delta=76,6^\circ$		
/SKM/	1PKP ₁		23 18 22	1P			22 59 48,0 D
	eipPKP ₁		20 49	epP			23 00 00
	NIE	$\Delta=147,2^\circ$		ei			13
	ePKP ₁		23 18 24	26.III	Pakistan Occidental, USCGS: 27,2°N, 67,5°E, H=03 ^h 08 ^m 28,4 ^s , h=21 km; mb=4,5 /USCGS/		
	epPKP		20 47		$\Delta=42,2^\circ$		
25.III		Kazakstan, URSS; BCIS: 50,0°N, 78,0°E, H=05 ^h 58 ^m 00 ^s ; M=5,5 /Moxa/		NIE	eP		03 16 21
	NIE	$\Delta=36,6^\circ$		KRA	$\Delta=42,6^\circ$		
	1P		06 05 09,5 C	/SKM/	eP		03 16 25
		Z: 1 ^s ; 0,043 μ		26.III	Région Est de la Nouvelle Guinée, USCGS: 9,3°S, 148,6°E, H=22 ^h 39 ^m 01,5 ^s , h=14 km; mb=5,3 /USCGS/		
	KRA	$\Delta=36,6^\circ$			$\Delta=121,5^\circ$		
/SKM/	1P		06 05 09,0 C	NIE	e1PKP		22 57 56
25.III		Région Sud de l'Iran, USCGS: 28,8°N, 60,3°E, H=22 ^h 26 ^m 29 ^s , h=41 km; mb=4,9 /USCGS/		esPKP			58 04
	KRA	$\Delta=37,0^\circ$		27.III	Golfe de Bengale, Moskva: 15,1°N, 80,5°E, H=08 ^h 09 ^m 44 ^s ; M=4 ³ / ₄ /Moskva/		
/SKM/	eiP		22 33 37 D		$\Delta=59,7^\circ$		
	ei		41	KRA			08 19 47,4 C
25.III		Iles Kouriles, USCGS: 45,4°N, 151,4°E, H=22 ^h 47 ^m 58,4 ^s , h=41 km; mb=5,5 /USCGS/, mPV=6,3 /Niedzica/, MLH=6,1 /Kraków/		/SKM/	eiP		
	KRA	$\Delta=76,2^\circ$		27.III	Région ouest du Brésil, USCGS: 8,9°S, 71,3°W, H=08 ^h 26 ^m 34,5 ^s , h=603 km; mb=5,3 /USCGS/		
/SKM/	eiP		22 59 44		$\Delta=97,7^\circ$		
	eiPcP		52	NIE	eP		08 39 08
	1pP		58	epP			41 20
/GW/	eSKS		23 09 36	KRA	$\Delta=97,5^\circ$		
	eScS		55	/SKM/	eiP		08 39 08 C
	eL		23,0	1pP			41 19
				eiPP			43 21

- 52 -

Date	Station	Phase	G.M.T. h m s	Date	Station	Phase	G.M.T. h m s
1967 A V R I L 1967							
1.IV		Iles Kouriles, USCGS: 45,8°N, 151,8°E, H=05 ^h 54 ^m 19,1 ^s , h=40 km; mb=5,7 /USCGS/, MLH=6,1 /Kraków/		1.IV	KRA	Δ=76,0°	
	NIE	Δ=76,4°		/SKM/	eIP		12 35 19 C
		1P	06 06 04,0C C		eIS		34
		1PcP	13	/GW/	eIP		46
		esP	22		ei		44 40
		1PP	08 53		eIS		54
		i	09 10		eL		57 41
	KRA	Δ=76,0°			Lm		13 09,9
/SKM/	eIP	06 06 04 C				E: 12 ^s ; 2,6 ^μ	
/GW/	esP	19			Lm	N: 14 ^s ; 6,0 ^μ	10,5
	eIPP	08 51		NIE	Δ=76,4°		
	eS	15 50			iP		12 35 21,6 C
	eSKS	16 18			i		23
	eSPP	35			eIS		36
	eL	34			ePP		38 19
	Lm	36,5		RAC	Δ=76,6°		
		NE: 22 ^s ; 11,5 ^μ , 11,5 ^μ		/SK/	eP		12 35 24
	RAC	Δ=76,5°		1.IV	Iles Kouriles, USCGS: 45,8°N, 151,7°E, H=14 ^h 00 ^m 33,8 ^s , h=23 km; mb=5,4 /USCGS/		
/SK/	eP	06 06 08		KRA	Δ=76,0°		
	esP	23		/SKM/	iP		14 12 20,0 C
1.IV		Iles Kouriles, USCGS: 46,3°N, 152,0°E, H=05 ^h 57 ^m 09 ^s , h=40 km; mb=5,5 /USCGS/			eIPcP		32
	RAC	Δ=76,2°		RAC	Δ=76,1°		
/SK/	eP	06 08 59		/SK/	eP		14 12 22
	ePcP	09 10		NIE	Δ=76,4°		
1.IV		Iles Kouriles, USCGS: 45,9°N, 152,0°E, H=07 ^h 48 ^m 28 ^s , h=40 km; mb=5,0 /USCGS/			iP		14 12 22,7 C
	KRA	Δ=76,0°			ei		43
/SKM/	eIP	08 00 12		1.IV	Iles Kouriles, USCGS: 46,1°N, 151,9°E, H=17 ^h 18 ^m 45,3 ^s , h=44 km; mb=4,4 /USCGS/		
	esP	25		NIE	Δ=76,3°		
/GW/	eS	09 44			eIP		17 30 33
RAC	Δ=76,5°. Traces			1.IV	Iles Kouriles, USCGS: 45,6°N, 151,9°E, H=17 ^h 21 ^m 09,3 ^s , h=40 km; mb=4,7 /USCGS/		
/SK/	eP	08 00 13			KRA	Δ=76,2°	
1.IV		Iles Kouriles, USCGS: 45,7°N, 151,8°E, H=12 ^h 23 ^m 35,5 ^s , h=40 km; mb=5,9 /USCGS/, MLH=6,1 /Kraków/		/SKM/	eIP		17 32 54 C
					epP		33 07

- 53 -

Date	Station	Phase	G.M.T. h m s	Date	Station	Phase	G.M.T. h m s
1.IV	NIE	Δ=76,6°		3.IV	RAC	eSg	16 40 18
/suite/	eIP		17 32 56 C		KRA	Δ=7,9°	
	epP		33 06	/GW/	ePn		16 38 11
	RAC	Δ=76,5°		/SKM/	eIPg		59
/SK/	eP		17 32 57		eSg		40 35
	ePcP		33 10	4.IV	Région des Iles Kouriles, USCGS: 45,5°N, 152,2°E, H=03 ^h 54 ^m 26,6 ^s , h=42 km; mpV= 5,2 /Niedzica/		
2.IV		Région de la Nouvelle Bretagne, USCGS: 6,3°S, 148,8°E, H=17 ^h 40 ^m 38,8 ^s , h=37 km; mb=5,0 /USCGS/			KRA	Δ=76,4°	
	NIE	Δ=119,2°. Traces		/SKM/	eIP		04 06 11 C
	ePKP		17 59 26		eIPcP		25
3.IV		Mer Rouge, BCIS: 20,0°N, 38,4°E, H=07 ^h 38 ^m 30 ^s		/GW/	eS		15 47
	NIE	Δ=32,5°		NIE	Δ=76,8°		
	eP		07 45 02		iP		04 06 14,0 C
	KRA	Δ=33,2°				Z: 1,2 ^s ; 0,033 ^μ	
/SKM/	eIP		07 45 07 C		iPcP		26
	eS		50 28	4.IV	Près de la côte Sud de Hondo, Japon, USCGS: 33,4°N, 137,5°E, H=09 ^h 06 ^m 01,1 ^s , h=353 km; mb=5,2 /USCGS/		
3.IV		Région de la Nouvelle Bretagne, USCGS: 6,1°S, 151,5°E, H=08 ^h 04 ^m 15,4 ^s , h=16 km; M=5 ^¼ /Moskva/			NIE	Δ=80,2°	
	NIE	Δ=122,9°			eP		09 17 36 D
	ePKP		08 23 09	4.IV	Méditerranée, à l'Ouest de la Crête, BCIS: 35,5°N, 23,4°E, H=16 ^h 59 ^m 05 ^s , h=75 km; mb=4,8 /USCGS/, ML=4,8 /Athènes/		
	ei		30		NIE	Δ=13,8°	
3.IV		Iles Tonga, USCGS: 20,2°S, 173,7°E, H=12 ^h 58 ^m 40,9 ^s , h=48 km; mb=5,3 /USCGS/			eP		17 02 20
	NIE	Δ=148,3°		4.IV	Foyer de Vrancea, Roumanie, BCIS: 45,8°N, 26,3°E, H=18 ^h 06 ^m 05 ^s , h=160 km		
	ePKP ₁		13 18 24		NIE	Δ=5,2°	
	ei		27		iPn		18 07 29,2 D
	KRA	Δ=148,5°				Z: 1 ^s ; 0,115 ^μ	
/SKM/	eIPKP ₁		13 18 26		i		38
	epPKP ₂		36		eiSn		08 22
	ei		19 46		KRA	Δ=5,8°	
3.IV		Italie du Nord, BCIS: 44,8°N, 10,9°E, H=16 ^h 36 ^m 18 ^s ; M=4,5 /Roma/		/GW/	ePn		18 07 36
	NIE	Δ=7,8°. Traces		RAC	eSn		08 43
	ePn		16 38 20	/SK/	ePn		18 07 48
	ei		40 30	.5.IV	Iles Mariannes, USCGS: 20,0°N,		
	RAC	Δ=7,1°					
/SK/	ePg		16 38 47				

Date	Station	Phase	G.M.T. h m s	Date	Station	Phase	G.M.T. h m s
5. IV		147,1°E, H=02 ^h 34 ^m 11,1 ^s , h=50 km; mb=5,1 /USCGS/		6. IV		Iran, BCIS: 29,9°N, 51,0°E. H=12 ^h 57 ^m 11 ^s ; M=5,1 /Moxa/	
	KRA	Δ=96,3°			KRA	Δ=30,7°	
	/Ch/	eP	02 47 35		/GW/	eP	13 03 31
		ePP	51 29			eS	08 32
	NIE	Δ=96,5°			RAC	Δ=31,7°. Traces	
	eP		02 47 36 D		/SK/	eP	13 03 40
	isP		44	6. IV		Près de la côte Sud de Hondo, Japon, USCGS: 34,3°N, 139,1°E, H=23 ^h 28 ^m 51 ^s , h=15 km; mb=5,1	
	e		50 56		/USCGS/		
	IPP		51 30		KRA	Δ=80,4°	
	RAC	Δ=97,1°. Traces			/SKM/	eP	23 41 03
	/SK/	eP	02 47 39			eipP	10
5. IV		Région des Iles Fidji, USCGS: 17,6°S, 178,4°W, H=21 ^h 30 ^m 53 ^s , h=546 km; mb=4,4 /USCGS/		6. IV		Près de la côte Est de Hondo, Japon, USCGS: 36,3°N, 140,5°E, H=23 ^h 32 ^m 10,6 ^s , h=44 km; mb=5,2	
	NIE	Δ=145,0°. Traces			/USCGS/		
	ePKP ₁		21 49 30		KRA	Δ=79,5°	
5. IV		Région de l'île Macquarie, USCGS: 53,2°S, 140,6°E, H=22 ^h 29 ^m 35 ^s , h=33 km; mb=5,0 /USCGS/			/SKM/	eipP	23 44 14 C
	KRA	Δ=143,8°				eipPeP	20
	/SKM/	ePKP ₁	22 49 00		NIE	Δ=79,7°	
	RAC	Δ=144,8°. Traces			eipP		23 44 15
	/SK/	ePKP ₁	22 49 02		esP		37
5. IV		Iles Kermadec, USCGS: 31,1°S, 178,2°W, H=23 ^h 33 ^m 06 ^s , h=60 km			RAC	Δ=80,2°	
	NIE	Δ=157,2°			/SK/	eP	23 44 18
	ePKP ₁		23 52 55	7. IV		Tchécoslovaquie, explosion de 9,6 tonnes, ISC, Edinburgh: 49,31°N, 16,44°E, H=09 ^h 28 ^m	
	ipPKP ₂		53 28		RAC	Δ=1,26°	
6. IV		Iles Riou-Kiou, USCGS: 29,6°N, 129,8°E, H=02 ^h 34 ^m 24,1 ^s , h=31 km; mb=5,2 /USCGS/			/SK/	eNEZ	09 29 18
	NIE	Δ=79,6°. Traces				eE	33
	eP		02 46 31		F		31
6. IV		Région des Iles Mariannes, USCGS: 20,1°N, 147,2°E, H=12 ^h 21 ^m 57 ^s , h=22 km; M=5 ³ / ₄ /Moskva/		7. IV		Anatolie Sud Orientale, BCIS: 37,3°N, 36,2°E, H=17 ^h 07 ^m 14 ^s ; MLH=5-5 ³ / ₄ /Strasbourg/, 4,5 /Pruhonice/	
	KRA	Δ=96,2°			NIE	Δ=16,5°	
	/SKM/	eP	12 35 25		eP		17 11 07
		ePP	39 13		eipP		30

Date	Station	Phase	G.M.T. h m s	Date	Station	Phase	G.M.T. h m s
7. IV		Δ=17,1°		8. IV		Δ=146,7°	
/suite/	KRA	eP	17 11 13		/SKM/	eipPKP ₁	05 53 52
/GW/		ePP	29			ipPKP ₂	56
		ePPP	40			ipPKP ₂	56 12
		eSS	14 52		RAC	Δ=147,2°. Traces	
		eSSS	15 02		/SK/	ePKP ₁	05 53 54
7. IV		Anatolie Sud Orientale, BCIS: 37,3°N, 36,4°E, H=18 ^h 33 ^m 31 ^s ; MLH=5 ³ / ₄ -5 ¹ / ₂ /Strasbourg/, mb=5,0		8. IV		NIE	
	NIE	Δ=16,6°				eP	12 07 11
	eP		18 37 24 D			eI	08 16
	ePP		47	8. IV		Tchécoslovaquie, BCIS: vers 50°N, 17°E, H=12 ^h 59,5 ^m	
	KRA	Δ=17,2°			RAC	Δ=0,8°	
	/SKM/	eipP	18 37 32 C		/SK/	eNE	13 00 14
		eipPP	43			eNE	40
	/GW/	eipPPP	51		NIE	Δ=2,3°. Traces	
		eSS	40 56		eZ		13 00 16,6
		eL	42		eNE		01 04,6
		Lm	47,6		KRA	Δ=1,9°	
		N: 10 ^s ; 1,6μ			/SKM/	eiz	13 00 36,5
		Lm	48,7			1/Sg/NEZ	46,5
		E: 7 ^s ; 0,7μ				1NZ	52,0
	RAC	Δ=18,1°		9. IV		Région des Iles Fidji, USCGS: 19,7°S, 178,0°W, H=01 ^h 27 ^m 57,6 ^s , h=415 km; mb=4,5 /USCGS/	
	/SK/	eP	18 37 44		NIE	Δ=147,1°	
7. IV		Mer d'Okhotsk, USCGS: 47,0°N, 146,0°E, H=19 ^h 39 ^m 13 ^s ; h=296 km; mb=5,0 /USCGS/				ePKP ₁	01 46 51
	KRA	Δ=72,9°. Traces		10. IV		Région des Iles Tonga, USCGS: 17,7°S, 173,0°W, H=23 ^h 57 ^m 24,9 ^s , h=70 km	
	/SKM/	eipP	19 50 10		KRA	Δ=146,3°	
	NIE	Δ=73,3°			/SKM/	eipPKP	00 16 59 C
	eP		19 50 12		NIE	Δ=146,8°	
		Z: 1 ^s ; 0,017μ			ePKP		00 17 01
8. IV		Région des Iles Fidji, USCGS: 19,9°S, 178,6°W, H=05 ^h 35 ^m 17 ^s , h=616 km; mb=5,3 /USCGS/			esPKP		34
	NIE	Δ=147,1°		10. IV		Mer Rouge, USCGS: 20,0°N, 38 ¹ / ₂ °E, H=04 ^h 30 ^m 55 ^s	
	eipPKP ₁		05 53 53		KRA	Δ=33,2°	
	ipPKP ₂		58		/SKM/	eP	04 37 33
	ipPKP ₂		56 14				
	i		36				

- 56 -

Date	Station	Phase	G.M.T. h m s	Date	Station	Phase	G.M.T. h m s
10.IV		Iles Salomon, USCGS: 7,4°S, 155,7°E, H=04 ^h 59 ^m 53,9 ^s ; M=5 ³ / ₄ /Moskva/ Δ=124,0° ePKP	05 18 49	11.IV		Petites Antilles, USCGS: 18,8°N, 62,7°W, H=12 ^h 42 ^m 47,7 ^s ; mb=5,2 /USCGS/ Δ=71,5° eP	12 54 05
10.IV		Iles Salomon, USCGS: 7,3°S, 155,8°E, H=15 ^h 02 ^m 42,2 ^s , h=29 km; mb=5,6 /USCGS/ Δ=123,9° ePKP	15 21 38,5 23 23	11.IV		Sud de Hondo, USCGS: 31,9°N, 141,7°E, H=13 ^h 43 ^m 23,7 ^s , h=53 km Δ=83,9° eP	13 55 49 56 33
	KRA /SKM/	ePKP			NIE	ei	
	NIE	Δ=124,0° ePKP	15 21 40 D 53	12.IV		Petites Antilles, USCGS: 19,3°N, 63;6°W, H=04 ^h 40 ^m 53 ^s , h=38 km; mb=4,5 /USCGS/ Δ=71,7° eP	04 52 15
10.IV		Péninsule de l'Alaska, USCGS: 58,6°N, 154,3°W, H=19 ^h 57 ^m 34,4 ^s , h=86 km Δ=71,9° ePKP	20 08 48 C 09 08	12.IV		Région Nord de Sumatra, USCGS: 5,3°N, 96,5°E, H=04 ^h 51 ^m 40,2 ^s , h=55 km; mb=6,1 /USCGS/, MLH=6,3 /Kraków/ Δ=77,0° ePKP	05 03 28,3 C 40 52 04 34
	KRA /SKM/	ePKP			NIE	eiP	
	NIE	Δ=72,5° ePKP	20 08 53 C 09 11		KRA /SKM/	eiP	05 03 30 C
10.IV		Iles Salomon, USCGS: 7,4°S, 155,7°E, H=21 ^h 07 ^m 47,5 ^s , h=103 km; mb=5,4 /USCGS/ Δ=124,0° ePKP	21 23 07 27 38		/GW/	eiP	13 15
	NIE	ePKP				eiP	37
						eiP	37
						eSKS	17 52
						eISS	34,4
						eL	43 20
						Lm	
						NE: 17 ^s ; 9,7μ, 9,0μ	
10.IV		Iles Salomon, Moskva: 7,3°S, 155,9°E, H=21 ^h 49 ^m 09,5 ^s ; mb=5,3 /USCGS/ Δ=124,0° ePKP	22 08 16 26		RAC /SK/	Δ=78,4° eP	05 03 36
	NIE	epPKP		12.IV		Région Nord de Sumatra, USCGS: 5,5°N, 96,7°E, H=05 ^h 11 ^m 14,1 ^s , h=33 km; mb=5,7 /USCGS/ Δ=76,9° ePKP	05 23 06
10.IV		Traces e	23 43 15 34		NIE	eP	
	KRA /SKM/	e			KRA	Δ=77,3°. Traces	
	NIE	Traces e	23 43 31,2		/SKM/	eiP	05 23 07

- 57 -

Date	Station	Phase	G.M.T. h m s	Date	Station	Phase	G.M.T. h m s
12.IV		Région Nord de Sumatra, USCGS: 5,6°N, 96,7°E, H=05 ^h 18 ^m 12 ^s , h=102 km Δ=76,9°. Traces eP	05 29 56	13.IV	KRA	eNEZ	09 19 08,7
	NIE			13.IV		Local	
12.IV		Iles Salomon, USCGS: 7,5°S, 155,8°E, H=13 ^h 46 ^m 05 ^s , h=49 km; mb=5,1 /USCGS/ Δ=124,2°. Traces ePKP	14 05 01		NIE	eP _{NEZ} eS _{NEZ}	12 52 43,4 50,4
	NIE			13.IV		Traces eP	15 36 39
12.IV		Iles Salomon, USCGS: 7,3°S, 155,6°E, H=13 ^h 54 ^m 57,2 ^s , h=52 km; mb=5,2 /USCGS/ Δ=124,2°. Traces ePKP	14 13 53	13.IV		Région des Iles Fidji, USCGS: 18,0°S, 178,6°W, H=17 ^h 13 ^m 45,5 ^s , h=610 km; mb=5,0 /USCGS/ Δ=145,3° iPKP ₁	17 32 16 C
	NIE				NIE		
12.IV		Iles Salomon, USCGS: 7,4°S, 155,7°E, H=14 ^h 51 ^m 49,4 ^s , h=21 km; mb=5,3 /USCGS/ Δ=124,2°. Traces ePKP	15 10 49	13.IV		Iles Riou-Kiou, USCGS: 27,3°N, 128,7°E, H=19 ^h 53 ^m 42,4 ^s , h=38 km; mb=6,0 /USCGS/ Δ=80,7° iPKP	20 05 52,6 C 55
	NIE				KRA /SKM/	iP	59
12.IV		Région Nord de Sumatra, USCGS: 5,2°N, 96,7°E, H=19 ^h 33 ^m 47,3 ^s , h=56 km Δ=77,2° ePKP	19 45 37			iPcP	06 07
	NIE				NIE	Δ=80,8° iP	20 05 53,4 C
12.IV		Au large de la côte du Chili Central, USCGS: 35,5°S, 73,3°W, H=21 ^h 22 ^m 09,3 ^s , h=12 km; mb=5,3 /USCGS/ Δ=118,0° ePKP	21 40 57			ePcP	06 04
	NIE					isP	20
13.IV		Région Nord de Sumatra, USCGS: 5,5°N, 96,6°E, H=08 ^h 25 ^m 43,8 ^s , h=68 km Δ=76,9° ePKP	08 37 30			ePP	08 53
	NIE				RAC /SK/	Δ=81,6° eP	20 05 58
13.IV		Local				ePcP	06 05
	NIE		09 18 48,5	13.IV		Guerrero, Mexique, USCGS: 18,5°N, 100,2°W, H=19 ^h 59 ^m 51,9 ^s , h=86 km; mb=5,6 /USCGS/ Δ=94,3° iP	20 13 01,0 D
	KRA /Ch/	Traces eP _{NEZ}	09 18 52,2		KRA /SKM/	Δ=94,5° iP	
					NIE	eP	20 13 04
				14.IV		Guerrero, Mexique, USCGS: 17,5°N, 100,2°W, H=05 ^h 18 ^m 35,8 ^s , h=62 km; mb=4,9 /USCGS/	

- 58 -

Date	Station	Phase	G.M.T. h m s	Date	Station	Phase	G.M.T. h m s
14. IV	NIE	$\Delta=95,3^\circ$ eP	05 31 55	16. IV	Iles Kouriles, USCGS: 46,4°N, 153,3°E, H=10 ^h 10 ^m 06,7 ^s , h=24 km		
/suite/				KRA	$\Delta=76,0^\circ$		
14. IV	NIE	Local		/SKM/	eIP	10 21 52 C	
		eIP _{NEZ}	14 42 01,2		eIP	56	
14. IV	NIE	Traces		NIE	$\Delta=76,4^\circ$		
		eP	23 51 45		iP	10 21 55,3 C	
15. IV	NIE	Youngoslavie, BCIS: 44,3°N, 16,3°E, H=02 ^h 08 ^m 04 ^s $\Delta=5,6^\circ$			ipP	59	
		ePn	02 09 32		iPcP	22 02	
		ePg	54	RAC	$\Delta=76,5^\circ$		
	KRA	$\Delta=6,0^\circ$. Traces		/SK/	eP	10 21 56	
	/SKM/	ePn	02 09 37	19. IV	Région de la République Dominicaine, USCGS: 18,8°N, 69,6°W, H=21 ^h 57 ^m 05,1 ^s , h=103 km; mb=5 /USCGS/		
		eP ⁿ	55	KRA	$\Delta=75,5^\circ$. Traces		
		ei	10 34	/SKM/	eP	22 08 42	
		eiSg	11 33		eIP	09 09	
15. IV	NIE	Région de Hokkaido, Japon, USCGS: 41,9°N, 142,3°E, H=23 ^h 35 ^m 51,1 ^s , h=66 km; mb=4,9 /USCGS/ $\Delta=75,6^\circ$			$\Delta=76,0^\circ$		
	KRA	eIP	23 47 30		eP	22 08 45	
	/SKM/	$\Delta=76,1^\circ$			epP	09 11	
	NIE	eP	23 47 32 C	20. IV	Kazakistan, BCIS: 50,0°N, 78,0°E, H=04 ^h 08 ^m 00 ^s ; mb=5,7 /USCGS/		
		ePcP	44	KRA	$\Delta=36,4^\circ$		
16. IV	NIE	Sud des Iles Fidji, USCGS: 19,4°S, 175,9°E, H=07 ^h 18 ^m 11,8 ^s , h=38 km		/SKM/	eIP	04 15 08 C	
		$\Delta=144,4^\circ$		NIE	$\Delta=36,6^\circ$		
		ePKP	07 37 43		eP	04 15/09/ 15	
	RAC	$\Delta=144,8^\circ$			e	16 32	
	/SK/	ePKP	07 37 45	22. IV	Mer du Groënland, USCGS: 73,4°N, 8,4°E, H=12 ^h 17 ^m 35 ^s , h= 33 km		
16. IV	NIE	Iles Tonga, USCGS: 21,6°S, 176,1°W, H=07 ^h 29 ^m 48 ^s		KRA	$\Delta=23,8^\circ$		
		$\Delta=149,1^\circ$		/SKM/	eP	12 22 51	
	KRA	ePKP ₁	07 49 28	NIE	$\Delta=24,9^\circ$		
	/SKM/	$\Delta=149,5^\circ$			eP	12 22 57	
	NIE	ePKP ₁	07 49 31	22. IV	Iles Andaman, ISC, Edinburgh: 5,12°N, 96,39°E, H=13 ^h 07 ^m 38 ^s , h=44 km; mb=5,4 /USCGS/		
		ePKP ₂	40	NIE	$\Delta=77,0^\circ$		
					eIP	13 19 28,0 C	

- 59 -

Date	Station	Phase	G.M.T. h m s	Date	Station	Phase	G.M.T. h m s
22. IV	NIE	ePcP	13 19 33	24. IV	Nord-Est de la Chine, USCGS: 42,4°N, 131,0°E, H=15 ^h 12 ^m 48,2 ^s , h=52 km; mb=4,2 /USCGS/		
/suite/		esP	51		$\Delta=70,4^\circ$		
	KRA	$\Delta=77,2^\circ$. Traces		NIE		15 23 09,7 D	
	/SKM/	eIP	13 19 29,5	25. IV	Chine, ISC, Edinburgh: 43,34°N, 87,06°E, H=10 ^h 30 ^m 36,3 ^s , h=22 km; M=5,2 /ISC/		
22. IV	NIE	Traces			$\Delta=45,1^\circ$		
		eP	20 00 18	KRA		10 38 52,7 C	
22. IV	NIE	Iles Tonga, ISC, Edinburgh: 18,54°S, 177,88°W, H=22 ^h 02 ^m 02,5 ^s , h=454 km; M=4,1 /ISC/		/SKM/	iP	39 02	
		$\Delta=145,9^\circ$. Traces			eIP	07	
		ePKP ₁	22 20 51	NIE	$\Delta=45,1^\circ$		
23. IV	NIE	Algérie, BCIS: 36,3°N, 2,4°E, H=09 ^h 30 ^m 23 ^s			iP	10 38 53,0 C	
		$\Delta=18,3^\circ$			isP	39 02	
		Z: 1 ^s ; 0,085 μ			ipP	06	
	KRA	$\Delta=18,8^\circ$	09 34 38,3 C	26. IV	Iles Tonga, USCGS: 15,6°S, 173,8°W, H=06 ^h 35 ^m 24,7 ^s , h=140 km; mb=4,4 /USCGS/		
	/SKM/	eIP	09 34 39 C		$\Delta=144,6^\circ$. Traces		
	/GW/	eIP	59		eIPK ₁	06 54 45,5 C	
		eS	38 15	26. IV	NIE		11 05 31,0
		eSS	33	26. IV	Tchécoslovaquie, explosion de 13 tonnes, ISC, Edinburgh: 49,70°N, 17,79°E, H=13 ^h 59 ^m $\Delta=0,36^\circ$		
23. IV	NIE	Iles Philippines, USCGS: 8,6°N, 126,5°E, H=12 ^h 50 ^m 24,9 ^s , h=43 km; mb=5,3 /USCGS/			^e NEZ	13 59 26	
		$\Delta=93,9^\circ$			^e NE	32	
		eP	13 03 39		^e NE	43	
24. IV	NIE	Tadzik, URSS; USCGS: 37,4°N, 72,7°E, H=08 ^h 51 ^m 10,9 ^s , h=31 km; mb=5,6 /USCGS/		NIE	$\Delta=1,70^\circ$		
		$\Delta=39,2^\circ$			^e EZ	13 59 46,4	
		eIP	08 58 38		^e NEZ	59,0	
		esP	56		e/Sg/NEZ	14 00 10,4	
	KRA	$\Delta=39,4^\circ$		27. IV	Local		
	/SKM/	eIP	08 58 39 D	NIE			
		epP	59 02		eIP _{GZ}	07 45 19,4	
		ePP	09 00 11		eI _{NEZ}	32,2	
		eSS	07 23		i _{NEZ}	42	
		eScS	08 45				

Date	Station	Phase	G.M.T. h m s	Date	Station	Phase	G.M.T. h m s
27.IV		Iles Tonga, ISC, Edinburgh; 23,61°S, 179,81°E, H=12 ^h 24 ^m 21,8 ^s h=551 km; M=4,3 /ISC/ Δ=149,6°. Traces		29.IV		Iles Aléoutiennes, USCGS: 51,4°N, 178,3°W, H=03 ^h 55 ^m 20,8 ^s , h=50 km; mb=6 /USCGS/ Δ=77,5°	
	NIE	ePKP ₁	12 43 11		KRA /SKM/	eIP eIPoP ePP	04 07 13 C 24 10 06
27.IV		Sinkiang, Chine, USCGS: 41,7°N, 82,3°E, H=23 ^h 15 ^m 19,7 ^s , h=33 km; mb=5,0 /USCGS/ Δ=43,0°. Traces			RAC /SK/	eP epP	04 07 14 32
	KRA /SKM/	eIP epP	23 23 17 C 35		NIE	Δ=78,6° eP	04 07 19
	NIE	Δ=43,0° eIP Z: 1 ^s ; 0,021 μ eI ePP	23 23 17 C 20 25 03	29.IV		Iles Aléoutiennes, USCGS: 51,5°N, 178,2°W, H=12 ^h 25 ^m 32,7 ^s , h=51 km; mb=5,3 /USCGS/ Δ=78,6°	
					NIE	eP	12 37 29
28.IV		Région Sud de l'Iran, USCGS: 28,5°N, 57,5°E, H=19 ^h 38 ^m 29 ^s , h=24 km; mb=4,8 /USCGS/ Δ=35,7°		29.IV		Iles Tonga, ISC, Edinburgh: 15,53°S, 173,73°W, H=12 ^h 31 ^m 11 ^s , h=69 km; M=5,0 /ISC/ Δ=144,3°	
	KRA /SKM/	iP ipP	19 45 26 C 36		NIE	ePKP	12 50 39
29.IV		Région des Iles de la Reine Charlotte, USCGS: 51,2°N, 130,4°W, H=00 ^h 04 ^m 41,8 ^s , h=6 km Δ=75,8°		29.IV		Près de la côte E de Hondo, Japon, USCGS: 35,8°N, 140,8°E, H=22 ^h 02 ^m 09,5 ^s , h=49 km; mb=4,9 /USCGS/ Δ=80,3°. Traces	
	KRA /SKM/	eIP eI	00 16 36 40		NIE	eP	22 14 17
				29.IV		Inde, BCIS: 24,0°N, 93,0°E, H=23 ^h 47 ^m 20 ^s Δ=61,0°. Traces	
					NIE	eP	23 57 43
1967				M A I 1967			
1.V		Grèce, BCIS: 39,5°N, 21,2°E, H=07 ^h 09 ^m 02 ^s ; MLH=6,3 /Racibórz/ Δ=9,7°		1.V	NIE	eS ISS eISSS eL	07 13 19 31 45 14,2
	NIE	iP iPP i	07 11 25,5 D 31 12 16		KRA /SKM/	Δ=10,3° eIP	07 11 34 D

Date	Station	Phase	G.M.T. h m s	Date	Station	Phase	G.M.T. h m s	
1.V	KRA /suite//GW/	eIPP ePPP eI IS eSS	07 11 41 49 12 10 13 32 48	1.V		Grèce, USCGS: 39,5°N, 21,4°E, H=14 ^h 38 ^m 04,3 ^s , h=33 km; mb=4,5 /USCGS/ Δ=9,7°		
					NIE	eP	14 40 28	
	RAC /SK/	Δ=10,6° eP eIPP eIS eL Lm	07 11 37 43 13 43 14,8 16 29	1.V		Grèce, BCIS: 39,5°N, 21,4°E, H=16 ^h 40 ^m 06 ^s Δ=9,7°. Traces		
					NIE	eP ePP	16 42 31 40	
				2.V		Grèce, BCIS: 39,6°N, 21,2°E, H=01 ^h 27 ^m 22 ^s Δ=9,6°		
					NIE	eP	01 29 47	
1.V		Grèce, réplique, BCIS: 39,7°N, 21,0°E, H=08 ^h 15 ^m 45 ^s ; mb=4,4 /USCGS/ Δ=9,5°. Traces		2.V		Grèce, ISC, Edinburgh: 39,9°N, 21,0°E, H=13 ^h 51 ^m 26 ^s Δ=10,2°		
	NIE	eP	08 18 08		RAC /SK/	eP	13 53 51	
1.V		Grèce, USCGS: 39,5°N, 21,3°E, H=08 ^h 28 ^m 22 ^s , h=33 km Δ=9,7°. Traces		2.V		Région de la Nouvelle Guinée, USCGS: 5,6°S, 147,2°E, H=17 ^h 10 ^m 04,7 ^s , h=148 km; mb=5,4 /USCGS/ Δ=117,7°		
	NIE	eP	08 30 44		NIE	ePP	17 29 52	
1.V		Grèce, réplique, USCGS: 39,8°N, 21,5°E, H=09 ^h 47 ^m 43 ^s , h=27 km Δ=9,4°. Traces		3.V		Mer Noire, USCGS: 42,4°N, 36,4°E, H=05 ^h 19 ^m 42 ^s , h=32 km; mb=4,6 /USCGS/ Δ=13,1°. Traces		
	NIE	eP	09 50 08		NIE	eP	05 22 45	
1.V		Grèce, réplique, BCIS: 39,5°N, 21,2°E, H=09 ^h 50 ^m 06 ^s ; mb=4,9 /USCGS/ Δ=9,7°		3.V		Grèce, BCIS: 39,6°N, 21,2°E, H=18 ^h 41 ^m 46 ^s ; mb=4,8 /USCGS/ Δ=9,6°		
	NIE	iP ePP eI	09 52 32,5 D 39 59		NIE	eIP eI eI	18 44 12 15 32	
	KRA /SKM/	Δ=10,3° eIP ePP eIPPP eS	09 52 41 D 48 53 00 54 43		KRA /SKM/	Δ=10,2°. Traces eIP ePP ePPP	18 44 20 31 36	
	RAC /SK/	Δ=10,6° eP	09 52 43	3.V		NIE	eP	20 23 56,3

Date	Station	Phase	G.M.T. h m s	Date	Station	Phase	G.M.T. h m s
3.V		Grèce, BCIS: 39,5°N, 21,3°E, H=23 ^h 21 ^m 16 ^s NIE Δ=9,7° eP	23 23 42	5.V	NIE	Δ=9,7° eP ePP ePPP	14 52 26 33 40
4.V		Grèce, BCIS: 39,5°N, 21,2°E, H=04 ^h 46 ^m 17 ^s ; mb=4,4 /USCGS/ NIE Δ=9,7°. Traces eP ePP	04 48 42 47	5.V		Iles Salomon, USCGS: 10,5°S, 161,3°E, H=15 ^h 00 ^m 07,7 ^s , h=41 km; mb=5,4 /USCGS/ NIE Δ=129,7° ePP	15 21 25
4.V		Local NIE ePg _{NEZ} e _i _{NEZ} F	09 00 59,0 01 15,5 02,0		KRA /SKM/	Δ=129,5°. Traces e _i PP e _i PPP	15 21 25 34
4.V		Local NIE ePg _{NEZ}	10 01 55,0	5.V		Alaska, USCGS: 63,7°N, 148,5°W, H=17 ^h 06 ^m 14,9 ^s , h=102 km; mb=4,9 /USCGS/ NIE Δ=60,4°. Traces eP ePcP	17 16 58 17 24
4.V		Iles Fidji, USCGS: 19,7°S, 176,2°W H=10 ^h 18 ^m 58 ^s , h=33 km; mb=4,9 /USCGS/ NIE Δ=147,8°. Traces ePKP ₁ ePKP ₂ RAC Δ=147,7°. Traces /SK/ ePKP ₁	10 38 40 45 10 38 41	5.V		Java, USCGS: 8,0°S, 107,2°E, H=17 ^h 38 ^m 05,3 ^s , h=33 km NIE Δ=93,9°. Traces eP epP esP	17 51 23 31 38
4.V		Local NIE e _{NEZ} e _E F	21 15 17,3 36 16,3		KRA /SKM/	Δ=94,3° eP epP e _i PP	17 51 25 39 55 10
4.V		Hondo, Japon, USCGS: 36,3°N, 138,3°E, H=23 ^h 25 ^m 33 ^s , h=8 km; mb=4,9 /USCGS/ NIE Δ=78,7°. Traces eP ePcP	23 37 37 41	5.V		Crête médiane de l'Océan Indien, USCGS: 23,1°S, 69,3°E, H=23 ^h 10 ^m 27 ^s , h=23 km; mb=4,9 /USCGS/ KRA Δ=84,7° /SKM/ eP e _i PcP epP	23 22 58 23 02 11
5.V		Grèce, BCIS: 39,5°N, 21,2°E, H=14 ^h 49 ^m 58 ^s , h=33 km; mb=4,4 /USCGS/	09 30 05,9 16,5 30,9	6.V		Local NIE Traces ePg _Z e _i /Sg/NE F	09 30 05,9 16,5 30,9

Date	Station	Phase	G.M.T. h m s	Date	Station	Phase	G.M.T. h m s
6.V		Hokkaido, Japon, USCGS: 42,9°N, 139,3°E, H=19 ^h 48 ^m 31,6 ^s , h=33 km; mb=4,9 /USCGS/ KRA Δ=73,5°. Traces /SKM/ eP	20 00 02 C	9.V		mb=4,5 /USCGS/ NIE Δ=10,7°. Traces eP ePP	04 07 49 08 06
		NIE Δ=73,9° eP epP	20 00 05 12	9.V		Iles Kouriles, USCGS: 44,2°N, 149,0°E, H=06 ^h 14 ^m 57,1 ^s , h=40 km; mb=5,3 /USCGS/ KRA Δ=76,4° /SKM/ iP	06 26 43 D
7.V		Région de la Nouvelle Bretagne, USCGS: 4,1°S, 152,8°E, H=10 ^h 16 ^m 56,2 ^s , h=47 km; mb=5,0 /USCGS/ NIE Δ=119,7° ePKP epPKP	10 35 44 55		RAC /SK/	Δ=77,0° eP	06 26 47
8.V		Local NIE ePg _{NEZ} e _{NEZ} e/Sg/NE i _{NEZ} Lm N: 0,8 ^s ; 0,10μ Lm E: 0,5 ^s ; 0,087μ Lm Z: 0,9 ^s ; 0,029μ F	13 31 36,4 40,4 54,0 58,0 32 00,9 01,4 02,9 33,5		NIE	Δ=76,7° eP iPcP	06 26 47 52
		KRA /Ch/	ePg _{NEZ} e _{NZ} e _{NEZ}	9.V		Grèce, réplique du séisme du 1 ^{er} Mai à 07 ^h 09 ^m , BCIS: 39,7°N, 21,3°E, H=08 ^h 00 ^m 46 ^s ; mb=4,5 /USCGS/ NIE Δ=9,5° eP ePP	08 03 08 18
		KRA	ePg _{NEZ} e _{NZ} e _{NEZ}		KRA /GW/	Δ=10,1° eP ePPP eSg	08 03 15 33 08 19
8.V		Région de l'Hindou-Kouch, USCGS: 36,4°N, 70,2°E, H=18 ^h 48 ^m 04,8 ^s , h=215 km; mb=4,8 /USCGS/ NIE Δ=38,1° e _i P epP	18 55 00 52	9.V		Mer du Japon, USCGS: 44,8°N, 140,6°E, H=11 ^h 00 ^m 09,8 ^s , h= 256 km; mb=4,8 /USCGS/ NIE Δ=73,0° eP ePcP	11 11 13 19
		KRA Δ=38,3° /SKM/ e _i P epP	18 55 06 D 59	9.V		Iles Tonga, USCGS: 15,5°S, 173,4°W, H=20 ^h 13 ^m 32,4 ^s , h= 89 km; mb=4,8 /USCGS/ NIE Δ=144,6° ePKP ₁	20 32 58 D
9.V		Anatolie Occidentale, BCIS: 39,6°N, 27,0°E, H=04 ^h 05 ^m 13 ^s ;		9.V		Région des Iles Philippines, USCGS: 5,2°N, 127,5°E, H=21 ^h 30 ^m 08,3 ^s , h=119 km; mb=5,5 /USCGS/	

Date	Station	Phase	G.M.T. h m s	Date	Station	Phase	G.M.T. h m s
16.V	NIE	Local Traces ePg _{NEZ} ei _{NEZ} F	22 41 27,6 47,0 43,5	18.V	KRA	Lm N: 15 ^S ; 2 μ	04 51 20 26
16.V	NIE	Région des Iles Fidji, USCGS: 21,0°S, 178,8°W, H=23 ^h 08 ^m 16 ^s , h=551 km; mb=3,9 /USCGS/ Δ=148,0°	23 30 43,1	18.V	NIE	Δ=76,9° eiP eisP 1	04 18 43,9 50 19 14
17.V	NIE	Région Sud de l'Alaska, USCGS: 60,8°N, 143,7°W, H=00 ^h 33 ^m 12,3 ^s , h=15 km; mb=4,8 /USCGS/ Δ=69,6°	00 44 22 24 38	18.V	KRA /SKM/	Région de Hokkaido, Japon, USCGS: 41,9°N, 144,7°E, H=11 ^h 22 ^m 31,6 ^s , h=41 km; mb=4,9 /USCGS/, mPV=5,5 /Niedzica/, MLH=5,6 /Kraków/ Δ=76,6°	11 34 20 C 34
17.V	NIE	Région frontière Iran-Turquie, BCIS: 38,2°N, 44,2°E, H=04 ^h 28 ^m 52 ^s , mb=4,6 /USCGS/ Δ=20,4°	04 33 24 28	18.V	/GW/	1P 1PcP eS Lm N: 16 ^S ; 1,9 μ	44 02 12 06 58 07 04
17.V	NIE	Mer Rouge, USCGS: 19,7°N, 38,7°E, H=17 ^h 50 ^m 39,6 ^s , h=38 km; mb=5,3 /USCGS/ Δ=32,9°	17 57 12	18.V	NIE	Δ=76,9° 1P Z: 1 ^S ; 0,043 μ	11 34 21,6 C 30
17.V	KRA /SKM/	Δ=33,5° eiP epP ePP	17 57 20 C 36 58 13	18.V	KRA /SKM/	Région de Hokkaido, Japon, USCGS: 42,0°N, 144,7°E, H=14 ^h 00 ^m 56,1 ^s , h=40 km; mb=5,1 /USCGS/ Δ=76,6°	14 12 44 C 54 58
18.V	RAC /SK/	Δ=34,2° eP	17 57 27	18.V	NIE	Ile Kiou-Siou, Japon, USCGS: 31,1°N, 130,7°E, H=23 ^h 39 ^m 15,2 ^s , h=43 km; mb=5,6 /USCGS/, mPV= 5,9 /Niedzica/ Δ=78,8°	23 51 15 C 23 51 16,1 C
18.V	KRA /SKM/	Région de Hokkaido, Japon, USCGS: 41,9°N, 144,6°E, H=04 ^h 06 ^m 54,7 ^s , h=44 km; mb=4,7 /USCGS/, MLH=5,6 /Kraków/ Δ=76,6°	04 18 42 56 48,9	18.V	KRA /SKM/	1P Z: 1,3 ^S ; 0,128 μ	32 54 06

Date	Station	Phase	G.M.T. h m s	Date	Station	Phase	G.M.T. h m s
19.V	KRA /SKM/	Région des Iles Tonga, BCIS: 19,0°S, 173,0°W, H=12 ^h 52 ^m 00 ^s Δ=147,6°. Traces ePKP e	13 10 47 11 00	20.V	NIE	eS	23 25 40
19.V	KRA /SKM/	Ethiopie, en bordure de la Mer Rouge, USCGS: 14,5°N, 40,3°E, H=15 ^h 52 ^m 34,2 ^s , h=13 km; mb=5,1 /USCGS/ Δ=38,9°	16 00 03 14	21.V	NIE	Local Traces e/Pg/ _{NE} e/L/ _{NE}	10 19 00,5 26,0
20.V	KRA /SKM/	Kirgiz, URSS; USCGS: 39,2°N, 72,8°E, H=08 ^h 47 ^m 19,8 ^s , h=33 km; mb=5,1 /USCGS/ Δ=38,4°	08 54 40	21.V	NIE	Région Sud de Sumatra, USCGS: 1,0°S, 101,5°E, H=18 ^h 45 ^m 11,7 ^s , h=173 km; mb=6,3 /USCGS/ Δ=85,0°	18 57 29 34 38
20.V	KRA /SKM/	Détroit de Drake, USCGS: 59,2°S, 65,7°W, H=13 ^h 02 ^m 09,3 ^s , h=33 km; mb=5,5 /USCGS/ Δ=128,9°	13 21 14,5 D	20.V	KRA /GW/	Δ=85,3° eiP eiPcP ipP iPP iSKS eScS ei	18 57 30,0 36 58 10 19 00 48 07 33 48 49
20.V	RAC /SK/	Nevada, explosion nucléaire, BCIS: 37,4°N, 116,0°W, H=15 ^h 00 ^m 00 ^s M=6,2 /Uppsala/ Δ=84,1°. Traces eP	15 12 35	23.V	RAC /SK/	Δ=86,4° eiP	18 57 36
20.V	KRA /SKM/	Δ=84,8° 1P ei	15 12 37,0 C 45	23.V	KRA /Ch/	Région des Iles Kouriles, USCGS: 44,6°N, 150,2°E, H=01 ^h 22 ^m 22,2 ^s , h=33 km; mb=4,3 /USCGS/ Δ=76,5°	01 34 10 C 22
20.V	NIE	Δ=85,5° eP	15 12 41	23.V	NIE	Δ=76,9° eP	01 34 13
20.V	KRA /Ch/	Carélie, Nord Ouest de la Russie, BCIS: 66,4°N, 33,4°E, H=23 ^h 18 ^m 11,7 ^s , h=17 km; mb=4,6 /USCGS/ Δ=18,0°	23 22 21 26	23.V	KRA /SKM/	Région des Iles Kouriles, USCGS: 44,6°N, 150,5°E, H=01 ^h 52 ^m 39,1 ^s , h=22 km Δ=76,6°	02 04 27,9 C 42 51
20.V	NIE	Δ=18,6° eP ePP	23 22 26 48				

- 68 -

Date	Station	Phase	G.M.T. h m s	Date	Station	Phase	G.M.T. h m s
23.V	NIE	$\Delta=77,0^{\circ}$ e1P e1	02 04 31 05 13	26.V	KRA /SKM/	e1P e1	12 46 18 33,5
23.V	KRA /SKM/	e1P	13 07 33 D	26.V		Roumanie, région de Vrancea, BCIS: 45,5 ^o N, 26,3 ^o E, H=17 ^h 33 ^m 00 ^s ; mb=4,2 /USCGS/, h=145 km	
23.V	NIE	Local Traces e1NE eNE	13 30 26 38,5	26.V	NIE	$\Delta=5,5^{\circ}$ e1P	17 34 23
23.V	RAC /SKM/	Nevada, explosion nucléaire, BCIS: 37,5 ^o N, 116,3 ^o W, H=14 ^h 00 ^m 00 ^s ; M=6,0 /Uppsala/ $\Delta=84,6^{\circ}$ eP	14 12 33	26.V	KRA /SKM/	$\Delta=6,1^{\circ}$. Traces e1P	17 34 31
23.V	KRA /SKM/	$\Delta=84,9^{\circ}$ e1P e1	14 12 37 48	27.V	KRA /SKM/	$\Delta=40,9^{\circ}$ e1P	01 50 28
23.V	NIE	$\Delta=85,5^{\circ}$ e1P e1	14 12 41 51	27.V	KRA /SKM/	$\Delta=20,3^{\circ}$ eP ePP	01 59 03 15
24.V	NIE	Local ePgNE eLNE F	13 02 26,8 46,8 03,5	27.V	KRA /SKM/	Local iPgZ eiZ	09 26 39,1 48
25.V	NIE	Local eNE e1NE F	11 35 06,5 21,5 36,2	27.V	NIE	Région frontiere Afghanistan, URSS, USCGS: 36,2 ^o N, 71,5 ^o E, H=12 ^h 42 ^m 54,1 ^s , h=109 km; mb= 4,9 /USCGS/ $\Delta=39,1^{\circ}$ eP esP	12 50 13 47
25.V	KRA /SKM/	Traces e1PgNE e1NE	11 35 37,5 45,5	27.V	KRA /SKM/	Iles Aléoutiennes, USCGS: 51,9 ^o N, 176,1 ^o E, H=17 ^h 22 ^m 58,7 ^s , h=34 km; mb=5,8 /USCGS/ $\Delta=76,7^{\circ}$ e1P e1PoP e1PP	17 34 47 C 35 02 37 39
25.V	KRA /SKM/	Région de Hokkaido, Japon, USCGS: 46,0 ^o N, 143,0 ^o E, H=18 ^h 52 ^m 17,1 ^s , h=325 km; mb=4,8 /USCGS/ $\Delta=72,6^{\circ}$. Traces e1P	19 03 10				

- 69 -

Date	Station	Phase	G.M.T. h m s	Date	Station	Phase	G.M.T. h m s
27.V	RAC /suite/	$\Delta=76,9^{\circ}$ eP ePoP	17 34 48 35 05	28.V	KRA NIE	e1PP $\Delta=36,6^{\circ}$ iP Z: 1 ^s ; 0,056 μ i iPP	04 16 30 04 15 07,8 C 16 19 32
	NIE	$\Delta=77,2^{\circ}$ iP i ePoP e1PP eSKS	17 34 50,5 C 51 35 00 37 44 55 10	28.V		Sud des Iles Fidji, USCGS: 23,8 ^o S, 179,7 ^o W, H=06 ^h 29 ^m 45,6 ^s , h=441 km; mb=4,4 /USCGS/ $\Delta=150,2^{\circ}$ e1PKP1	06 48 45,0
27.V		Région frontiere Cachemire-Sin- kiang, USCGS: 36,1 ^o N, 77,8 ^o E, H=19 ^h 05 ^m 48,5 ^s , h=35 km; mb=5,4 /USCGS/ $\Delta=43,2^{\circ}$ e1P i ei iPP esS eSS ei	19 13 49 53 14 44 15 29 20 23 23 23 25 23	29.V	KRA /SKM/	Sud des Iles Mariannes, USCGS: 11,9 ^o N, 143,3 ^o E, H=04 ^h 45 ^m 43,5 ^s , h=33 km $\Delta=101,1^{\circ}$. Traces eP	04 59 32
	NIE	$\Delta=43,4^{\circ}$ e1P i ei iPP esS eSS ei	19 13 50 D 52 15 31 19 14 00 15 43 24,4	29.V	NIE	$\Delta=101,3^{\circ}$ eP	04 59 34
	KRA /SKM/	$\Delta=44,4^{\circ}$ eP ePP eL	19 13 50 D 52 15 31 19 14 00 15 43 24,4	29.V		Région des Iles Fidji, USCGS: 19,2 ^o S, 176,3 ^o W, H=11 ^h 09 ^m 54 ^s , h=236 km; mb=5,1 /USCGS/ $\Delta=147,3^{\circ}$ ePKP1 iPKP2 ei	11 29 07 09 23
28.V		Iles aux Rats, USCGS: 52,1 ^o N, 175,0 ^o E, H=01 ^h 31 ^m 56,7 ^s , h=45 km; mb=5,2 /USCGS/ $\Delta=76,3^{\circ}$ e1P	01 43 42 C	29.V	KRA /SKM/	$\Delta=146,8^{\circ}$. Traces ePKP	11 29 08
	KRA /SKM/	$\Delta=76,7^{\circ}$ eP	01 43 43	29.V		Région de Hokkaido, Japon, USCGS: 43,3 ^o N, 145,7 ^o E, H=21 ^h 01 ^m 44,3 ^s , h=88 km; mb=5,3 /USCGS/ $\Delta=75,9^{\circ}$ e1P e1PoP ipP eisP ePP es	21 13 22 C 28 45 54 16 36 22 55
28.V		Kazakstan, région de Semipala- tinsk, BCIS: 50,0 ^o N, 78,0 ^o E, H=04 ^h 08 ^m 00 ^s ; M=6,2 /Uppsala/ mPV=5,6 /Moxa/, 5,4 /Niedzica/ $\Delta=35,8^{\circ}$ e1P	04 15 07 C		NIE	$\Delta=76,2^{\circ}$ iP e1PP	21 13 24 C 47
	KRA /SKM/	$\Delta=76,7^{\circ}$ eP	21 13 29		RAC /SKM/	$\Delta=76,7^{\circ}$ eP	21 13 29

- 70 -

Date	Station	Phase	G.M.T. h m s	Date	Station	Phase	G.M.T. h m s
29.V		Région des Iles Samoa, USCGS: 15,8°S, 172,5°W, H=21 ^h 55 ^m 14 ^s , h= 33 km; mb=4,6 /USCGS/ NIE Δ=145,1°. Traces ePKP	22 14 49	30.V		34,1°N, 28,7°E, H=23 ^h 53 ^m 31 ^s ; mb= 4,5 /USCGS/ KRA Δ=16,9° /SKM/ eP	23 57 20
30.V		Iles Tonga, USCGS: 19,4°S, 175,8°W H=07 ^h 06 ^m 20 ^s , h=185 km; mb=4,2 /USCGS/ NIE Δ=147,6° ePKP	07 25 41	31.V		Petites Antilles, USCGS: 12,5°N, 60,3°W, H=11 ^h 38 ^m 39,0 ^s , h=60 km; mb=5,1 /USCGS/ NIE Δ=74,5°. Traces eP	11 50 14
30.V		Méditerranée Orientale, BCIS:					
1967				J U I N 1967			
1.VI		Iles Aléoutiennes, USCGS: 53,7°N, 165,6°W, H=03 ^h 36 ^m 19,0 ^s , h=60 km; M=5,0 /ISC/ KRA Δ=76,8° /SKM/ eiP esP	03 48 04 26	1.VI		RAC Δ=15,3° /SK/ eP	10 43 07
		NIE Δ=77,4° eP i ePcP esP	03 48 08 09 17 30	1.VI		Iles Kouriles, USCGS: 44,5°N, 149,0°E, H=11 ^h 03 ^m 52,4 ^s , h=58 km; mb=5,1 /USCGS/ KRA Δ=76,1° /SKM/ eP epP	11 15 35 52
1.VI		Iles Kouriles, ISC, Edinburgh: 53,96°N, 160,58°E, H=10 ^h 16 ^m 11,7 ^s , h=43 km; mb=5,0 /USCGS/ NIE Δ=71,7° eP	10 27 30	1.VI		Iles Salomon, USCGS: 6,8°S, 155,0°E, H=20 ^h 47 ^m 45,6 ^s , h=31 km; mb=5,6 /USCGS/ NIE Δ=123,2° ePKP	21 06 40
1.VI		Taurus Cilicien, BCIS: 36,8°N, 29,2°E, H=10 ^h 39 ^m 19 ^s ; mb=5,0 /USCGS/ NIE Δ=13,9° eP iPP	10 42 44 51	2.VI		Sinkiang, Chine, USCGS: 41,0°N, 88,1°E, H=04 ^h 27 ^m 33,2 ^s , h=33 km; mb=4,9 /USCGS/ NIE Δ=47,1° eP	04 36 03
		KRA Δ=14,6° /Ch/ eP /SKM/ eiPP eiPPP	10 42 53 59 43 13	2.VI		Côte Occidentale de la Mer Cas- pienne, BCIS: 43,6°N, 47,4°E, H=05 ^h 10 ^m 56 ^s ; mb=5,0 /USCGS/ eP	

- 71 -

Date	Station	Phase	G.M.T. h m s	Date	Station	Phase	G.M.T. h m s
2.VI		NIE Δ=19,4° /suite/ eP i ei eS	05 15 21 24 30 18 50	3.VI		NIE eisP ePcP	09 20 30 45
		KRA Δ=19,7° /SKM/ eP ePPP ei ei eiS e/SS/	05 15 25 53 16 39 18 48 19 09 29	3.VI		Mer Egée, BCIS: 39,0°N, 24,8°E, H=16 ^h 27 ^m 06 ^s ; M=4,1 /Athènes/ NIE Δ=10,6°. Traces eP	16 29 44
		RAC Δ=20,9° /SK/ eP	05 15 34	4.VI		Au large de la Côte Est du Kamchatka, USCGS: 51,4°N, 159,3°E, H=05 ^h 26 ^m 44,6 ^s , h=9 km; mb=4,8 /USCGS/, mPV=5,6 /Niedzica/ KRA Δ=73,4° /SKM/ iP isP eiPcP	05 38 17,0 C 28 40
2.VI		Crête médiane de l'Océan Atlan- tique, USCGS: 0,9°N, 28,4°W, H=06 ^h 31 ^m 28,2 ^s , h=33 km NIE Δ=63,6° eP	06 41 59 C			RAC Δ=73,8° /SK/ eP NIE Δ=73,9° iP Z: 1 ^s ; 0,05 μ isP	05 38 20 05 38 20,5 C 31
		KRA Δ=63,7° /SKM/ eP eipP ei	06 42 00 08 19	4.VI		Au large de la Côte Est du Kamchatka, USCGS: 51,5°N, 159,3°E, H=06 ^h 23 ^m 38,4 ^s , h=12 km; mb=4,6 /USCGS/, mPV=5,1 /Nie- dzica/ KRA Δ=73,3° /SKM/ eiP eipP	06 35 10 C 18
2.VI		Local NIE eP _{NEZ} eiS _E eiS _{NZ} F	17 19 21 35 38 20,0			NIE Δ=73,8° iP Z: 1 ^s ; 0,02 μ ipP	06 35 13,5 C 22
3.VI		Région de l'île Kodiak, USCGS: 58,4°N, 151,2°W, H=09 ^h 08 ^m 56,4 ^s , h=32 km; mb=5,5 /USCGS/ RAC Δ=71,7° /SK/ eP	09 20 16	4.VI		Au large de la Côte Est du Kamchatka, USCGS: 51,5°N, 159,2°E, H=06 ^h 34 ^m 26,3 ^s , h=33 km; mb=4,5 /USCGS/ KRA Δ=73,3°. Traces /SKM/ eiP NIE Δ=73,8°. Traces eP ipP	06 45 55 06 45 58 46 08
		KRA Δ=71,9° /SKM/ eiP eipP eiPcP ePP eS eSS	09 20 16 C 24 30 22 55 29 36 34 34				
		/GW/ eS NIE Δ=72,6° eiP	09 20 21,0 C				

- 72 -

Date	Station	Phase	G.M.T. h m s	Date	Station	Phase	G.M.T. h m s				
4.VI	NIE	Local, Karpathes ?		7.VI	KRA	Méditerranée, ISC, Edinburgh: 34,78°N, 26,68°E, H=15 ^h 54 ^m 36,1 ^s , h=52 km; Δ=15,4°. Traces					
		1Pg _{NEZ}	13 58 27			/SKM/	eP	15 58 19			
		1Sg _{NEZ}	44								
		e _{NEZ}	59 04								
	KRA /SKM/	F	14 00,5			RAC /SK/	Haute Autriche, région de Molln, BCIS: 47,9°N, 14,3°E, H=16 ^h 19 ^m 25 ^s ; MLH=3,2 /Pruhonice/ Δ=3,2°				
		eiPg _{NEZ}	13 58 37				ePP	16 20 25			
		e1/Sg/NE	58				eS ^x	21 05			
		e1 _{NE}	59 04				eSS	09			
		5.VI	NIE		Iles Tonga, USCGS: 21,3°S, 174,5°W, H=01 ^h 21 ^m 20,2 ^s , h=33 km; mb=5,2 /USCGS/ Δ=149,8°			NIE	Δ=4,2°		
							ePKP ₁		01 41 04	ePn	16 20 31
							1PKP ₂		09	eSn	21 24
					i		59		eS ^x	34	
KRA				Δ=149,3°			e		22 03		
				/SKM/	eiPKP ₁		01 41 06 C		KRA	Δ=4,2°	
	eiPPKP			17	/SKM/	eiP ^x	16 20 45				
RAC	Δ=149,8°				eiSn	21 26					
	/SK/			ePKP ₁	01 41 09	eiSS	38				
	ePKP ₂	15	eiS ^x	41							
5.VI	KRA /Ch/	Au large de la Côte Est du Kamchatka, USCGS: 51,5°N, 159,1°E H=16 ^h 38 ^m 36,3 ^s , h=33 km Δ=73,2°		7.VI	KRA /SKM/	Région frontière URSS-Mongolie, USCGS: 49,4°N, 97,2°E, H=17 ^h 01 ^m 12,9 ^s , mb=5,0 /USCGS/ Δ=47,9°. Traces					
			NIE			Δ=73,7°		NIE	Δ=48,0°. Traces		
			1P			16 50 08,0 C		eP	17 09 49		
6.VI	NIE	Nouvelle Bretagne, USCGS: 6,2°S, 152,0°E, H=06 ^h 35 ^m 16,1 ^s , h=58 km mb=5,4 /USCGS/ Δ=121,0°		7.VI	KRA /SKM/	Région des Iles Kouriles, USCGS: 45,5°N, 155,4°E, H=18 ^h 16 ^m 31,4 ^s , h=29 km; mb=5,2 /USCGS/ Δ=77,5°					
			eiPKP			06 54 04,3 C		eiP	18 28 16 D		
			7.VI			NIE	Islande, USCGS: 63,8°N, 19,0°W, H=02 ^h 57 ^m 49 ^s , h=33 km; mb=4,5 /USCGS/ Δ=25,7°		NIE		Δ=77,9°
eP	03 03 16			eP	18 28 20						

- 73 -

Date	Station	Phase	G.M.T. h m s	Date	Station	Phase	G.M.T. h m s					
8.VI	NIE	Local Traces		9.VI	NIE	ePKP ₂	17 24 47					
		ePgZ	01 58 01,5			10.VI	NIE	Près de la Côte au Sud du Chili, USCGS: 41,3°S, 73,6°W, H=05 ^h 26 ^m 44,4 ^s , h=37 km; mb=5,7 /USCGS/ Δ=122,0°				
		eZ	10,5					ePKP	05 45 36			
e/Sg/NEZ	20,5	KRA /SKM/	Δ=122,1°. Traces									
F	59,0			eiPKP	05 45 36 C							
8.VI	NIE	Iles Talaud, USCGS: 4,6°N, 127,1°E H=12 ^h 01 ^m 57,3 ^s , h=73 km; mb=5,3 /USCGS/ Δ=97,4°. Traces		10.VI	NIE	Au nord de l'île Ascension, USCGS: 3,6°S, 12,1°W, H=05 ^h 45 ^m 53 ^s , h=12 km; mb=5,1 /USCGS/ Δ=59,6°						
			eP				12 15 24	eP	05 56 01			
8.VI	NIE	Région des Iles Loyauté, USCGS: 21,4°S, 170,3°E, H=13 ^h 22 ^m 13,7 ^s , h=90 km; mb=5,3 /USCGS/ Δ=143,4°		KRA /SKM/	eP	Δ=59,9°						
			ePKP ₁				13 41 36	10.VI	KRA /GW/	Région des Iles Fidji, USCGS: 19,3°S, 178,2°W, H=13 ^h 58 ^m 53,3 ^s , h=596 km; mb=5,1 /USCGS/ Δ=146,3°		
			eiPP				45 09				1PKP ₁	14 17 27,6
			RAC /SK/				Δ=144,0°. Traces				ePKP ₁	13 41 38
		epPKP		19 50								
8.VI	NIE	Yougoslavie, BCIS: 43,5°N, 20,8°E H=21 ^h 10 ^m 57 ^s ; M=4,0 /Beograd/ Δ=5,7°. Traces		NIE	1SKP	20 12						
			ePn				21 12 29	NIE	Océan Atlantique Nord, USCGS: 16,4°N, 46,6°W, H=18 ^h 04 ^m 39,6 ^s , h=33 km; mb=4,9 /USCGS/ Δ=62,7°. Traces			
										eP	18 15 04	
9.VI	RAC /SK/	Tchécoslovaquie, explosion de 11,2 tonnes, BCIS: 50°25'N, 13°50'E Δ=2,9°		KRA /SKM/	e	48						
			e				12 01 07	9.VI	NIE	Région des Iles Fidji, USCGS: 20,6°S, 178,6°W, H=17 ^h 05 ^m 59 ^s , h=546 km; mb=4,5 /USCGS/ Δ=147,7°		
			e				16				eiPKP ₁	17 24 42,0 D
			F				03					

Date	Station	Phase	G.M.T. h m s	Date	Station	Phase	G.M.T. h m s
21.VI /suite/	NIE	$\Delta=66,0^\circ$ eP epP	18 15 35 40	21.VI	NIE	$h=23$ km; $mb=5,7$ /USCGS/ $\Delta=109,1^\circ$ ePKP	20 28 00
21.VI	KRA /SKM/	Alaska Central, USCGS: $64,8^\circ$ N, $147,4^\circ$ W, $H=18^h13^m02,9^s$, $h=17$ km; $mb=6,1$ /USCGS/ $\Delta=65,4^\circ$	18 23 47	21.VI	NIE	Région des Iles Fidji, USCGS: $17,8^\circ$ S, $178,7^\circ$ W, $H=22^h05^m54,0^s$, $h=574$ km; $mb=4,6$ /USCGS/ $\Delta=145,1^\circ$	22 24 29,0 C
	RAC /SK/	eP epP ePcP eS	56 24 33 32 29	22.VI	NIE	Turquie, USCGS: $40,8^\circ$ N, $34,0^\circ$ E, $H=07^h25^m00,3^s$; $mb=4,5$ /USCGS/ $\Delta=12,8^\circ$	07 28 03,0 D
	NIE	$\Delta=65,1^\circ$ eP	18 23 47	22.VI	NIE	Grèce, BCIS: $39\frac{1}{4}^\circ$ N, $20\frac{1}{4}^\circ$ E, $H=10^h58^m36^s$ $\Delta=9,9^\circ$. Traces	11 01 05
21.VI	RAC /SK/	$\Delta=66,0^\circ$ eP	18 23 51	22.VI	NIE	Iles Kermadec, USCGS: $15,8^\circ$ S, $172,7^\circ$ W, $H=10^h50^m05,3^s$, $h=33$ km; $mb=4,5$ /USCGS/ $\Delta=145,0^\circ$	11 09 39
21.VI	KRA /SKM/	Alaska Central, USCGS: $64,8^\circ$ N, $147,4^\circ$ W, $H=18^h24^m45,7^s$, $h=17$ km; $mb=5,8$ /USCGS/ $\Delta=65,4^\circ$	18 35 28	23.VI	KRA /SKM/	Région des Iles Samoa, USCGS: $15,0^\circ$ S, $172,3^\circ$ W, $H=00^h25^m29,8^s$, $h=33$ km $\Delta=143,9^\circ$	00 45 00
	RAC /SK/	$\Delta=65,1^\circ$ eP	36 52		NIE	ePKP epPKP epPKP	29 00 45 01,0
	NIE	$\Delta=66,0^\circ$ eP	18 35 29	23.VI	NIE	$\Delta=144,4^\circ$ ePKP	00 45 01,0
21.VI	KRA /SKM/	Sud des Iles Fidji, USCGS: $23,5^\circ$ S, $180,0^\circ$, $H=19^h10^m31,1^s$, $h=546$ km; $mb=5,0$ /USCGS/ $\Delta=149,4^\circ$	19 29 20	23.VI	KRA /SKM/	Iles Samoa, USCGS: $14,9^\circ$ S, $172,4^\circ$ W, $H=00^h42^m13,4^s$, $h=33$ km $\Delta=143,7^\circ$	01 01 43 C
	NIE	$\Delta=149,8^\circ$ ePKP ₁ Z: 1^s ; $0,038\mu$	27 19 29 20,2 D		RAC /SK/	ePKP ₁ ePKP	59 01 01 44
	RAC /SK/	$\Delta=150,1^\circ$ ePKP ₁ ePKP ₂	26 19 29 20 28	23.VI	NIE	$\Delta=144,1^\circ$ ePKP	01 01 44
21.VI	NIE	Région Nord du Chili, USCGS: $25,2^\circ$ S, $70,5^\circ$ W, $H=20^h09^m28,4^s$,				$\Delta=144,3^\circ$ ePKP	01 01 45

Date	Station	Phase	G.M.T. h m s	Date	Station	Phase	G.M.T. h m s
23.VI /suite/	NIE	$\Delta=107,5^\circ$ ePdif ei	05 19 01 23 13	23.VI	RAC /SK/	Région des Iles Fidji, USCGS: $21,3^\circ$ S, $179,3^\circ$ W, $H=14^h38^m35,7^s$, $h=605$ km; $mb=5,1$ /USCGS/ $\Delta=148,3^\circ$	14 57 15
23.VI	NIE	Local ePKP		23.VI	NIE	$\Delta=148,1^\circ$ 1PKP	14 57 15,0 D
		eiPg _{NEZ} eSg _{NE} F	09 16 32 52 18,0	23.VI	NIE	Région des Nouvelles Hébrides, USCGS: $19,2^\circ$ S, $167,7^\circ$ E, $H=21^h30^m$ $11,5^s$, $h=37$ km; $mb=5,3$ /USCGS/ $\Delta=140,3^\circ$. Traces	21 49 38
23.VI	NIE	Turquie, BCIS: $40,7^\circ$ N, $33,6^\circ$ E, $H=10^h06^m56^s$, $h=55$ km; $mb=4,8$ /USCGS/ $\Delta=12,6^\circ$	10 09 55,0	24.VI	NIE	Local ePg _{NEZ} eNEZ eiNEZ F	13 34 00 10 19 35,4
		1P 1 ePKP eS	59 10 05 12 18	24.VI	NIE	Sud des Iles Mariannes, USCGS: $12,5^\circ$ N, $141,6^\circ$ E, $H=21^h00^m23,9^s$, $h=18$ km; $mb=5,5$ /USCGS/ $\Delta=99,5^\circ$. Traces	21 14 06
	KRA /GW/	$\Delta=13,2^\circ$. Traces e/P/ ei ei	10 10 14 19 32		KRA /SKM/	$\Delta=99,8^\circ$ eP ei	21 14 07 18
	RAC /SK/	$\Delta=14,3^\circ$. Traces eP	10 10 29	24.VI	NIE	Iles Philippines, USCGS: $11,4^\circ$ N, $125,7^\circ$ E, $H=21^h03^m36^s$, $h=53$ km; $mb=5,0$ /USCGS/ $\Delta=91,3^\circ$	21 16 37 49
23.VI	NIE	Tchécoslovaquie, explosion de 3,425 tonnes, BCIS: $51^\circ22,3'N$, $12^\circ53,5'E$ $\Delta=3,7^\circ$	14 08 40		KRA /SKM/	$\Delta=91,3^\circ$. Traces eP	21 16 46
	RAC /SK/	$\Delta=3,7^\circ$ e e F	48 09 01 11	25.VI	NIE	Iles Kouriles, USCGS: $46,7^\circ$ N, $152,5^\circ$ E, $H=00^h54^m30,7^s$, $h=33$ km; $mb=4,7$ /USCGS/ $\Delta=75,9^\circ$	01 06 15
	NIE	$\Delta=5,2^\circ$ eiP e F	14 09 03 26 10,3			eP	
23.VI	NIE	Local eNEZ iNEZ eNEZ F	14 30 11 14 21 31,5				

Date	Station	Phase	G.M.T. h m s	Date	Station	Phase	G.M.T. h m s
25.VI	NIE	Hondo, Japon, USCGS: 33,4 ^o N, 141,4 ^o E, H=21 ^h 27 ^m 41,8 ^s , h=59 km mb=4,6 /USCGS/ Δ=82,5 ^o	21 39 59 40 11	28.VI	KRA /SKM/	Iles Kouriles, USCGS: 46,0 ^o N, 151,5 ^o E, H=01 ^h 10 ^m 03,9 ^s , h=33 km; mb=5,4 /USCGS/ Δ=75,7 ^o	01 21 46 C 52 59
25.VI	KRA /SKM/	Sud des Iles Mariannes, USCGS: 12,4 ^o N, 141,8 ^o E, H=23 ^h 18 ^m 04,3 ^s , h=42 km; mb=5,6 /USCGS/ Δ=99,7 ^o	23 31 46		NIE	Δ=76,1 ^o	01 21 48,9 C 22 22
	/GW/	eP eipP ePP eiS	54 35 57 43 17		RAC /SK/	Δ=76,3 ^o . Traces eP	01 21 50
	NIE	Δ=100,0 ^o	23 31 46 35 57	28.VI	NIE	Iles Samoa, USCGS: 14,4 ^o S, 172,6 ^o W, H=05 ^h 34 ^m 06,4 ^s , h=40 km; mb=4,8 /USCGS/ Δ=143,7 ^o	05 53 34 48
26.VI	NIE	Nevada, ISC, Edinburgh: 37,1 ^o N, 116,2 ^o W, H=16 ^h 00 ^m 02,2 ^s , h=20 km Δ=85,5 ^o . Traces	16 12 41	28.VI	NIE	Local	
	NIE	Local	18 29 36,5		e/Pg/z eiNEZ iSgNE F		10 00 08 13,0 19,5 01,0
26.VI	KRA /SKM/	eZ Traces eiPgN	18 29 43,8 C	28.VI	NIE	Local	
	NIE				e/Pg/z		13 16 01
27.VI	NIE	Région des Iles Samoa, USCGS: 15,3 ^o S, 171,8 ^o W, H=19 ^h 42 ^m 10 ^s , h=33 km; Δ=144,8 ^o . Traces	20 01 40 47	28.VI	NIE	Au large Ouest de la côte de l'île du Sud, USCGS: 47,0 ^o S, 165,8 ^o E, H=14 ^h 34 ^m 04,5 ^s , h=37 km; mb=5,6 /USCGS/ Δ=156,9 ^o	14 53 58
	KRA /SKM/	ePKP ₁ ePKP ₂			ePKP ₁		
27.VI	NIE	Taiwan, USCGS: 23,6 ^o N, 121,5 ^o E, H=23 ^h 06 ^m 47,0 ^s , h=45 km; mb=4,8 /USCGS/ Δ=79,4 ^o	23 18 49	29.VI	KRA /SKM/	Kazakistan, région de Semipalatinsk, BCIS: 50,0 ^o N, 78,0 ^o E, H=02 ^h 57 ^m 00 ^s ; mpv=5,4 /Niedzica/ Δ=36,6 ^o	03 04 06 C 05 29
	KRA /SKM/	eP eiP ePcP epP	56 19 01		NIE	Δ=36,6 ^o	03 04 08,0 C Z: 1 ^s ; 0,055μ

Date	Station	Phase	G.M.T. h m s	Date	Station	Phase	G.M.T. h m s
29.VI	NIE	ei	03 05 05	29.VI		Mer de Banda, USCGS: 7,2 ^o S, 128,6 ^o E, H=16 ^h 36 ^m 15,7 ^s , h=121 km; mb=5,4 /USCGS/ Δ=107,3 ^o . Traces	16 54 29
/suite/		Région ouest du Caucase, USCGS: 41,6 ^o N, 44,0 ^o E, H=08 ^h 22 ^m 47,9 ^s , h=25 km; mb=4,9 /USCGS/ Δ=18,2 ^o	08 27 01		NIE	Δ=107,5	16 54 31
29.VI	NIE	eP eipP ePP	07 23		KRA /GW/	ePKP eiPP epPP esPP	56 55 24 41
	KRA /GW/	Δ=18,6 ^o	08 27 05			Région de l'île Jan Mayen, BCIS: 74,3 ^o N, 15,6 ^o W, H=00 ^h 13 ^m 51 ^s ; mb=4,6 /USCGS/ Δ=28,8 ^o	00 19 26 36 20 01
29.VI	NIE	Région des Iles Samoa, USCGS: 15,8 ^o S, 172,4 ^o W, H=09 ^h 25 ^m 47,4 ^s , h=14 km; mb=4,8 /USCGS/ Δ=145,1 ^o . Traces	09 45 22		KRA /SKM/	eiP epP ePP	
	NIE	Local	15 00 55		NIE	Δ=29,5 ^o	00 19 32
29.VI	NIE	Traces		1967 JUILLET 1967			
	eP _{GZ}			1.VII		Yougoslavie, BCIS: 43,9 ^o N, 19,2 ^o E, H=02 ^h 55 ^m 30 ^s ; M=5,0 /Moxa/, 4,2 /Beograd/ Δ=5,9 ^o	
					KRA /SKM/	ePn eSn	02 57 02 58 16
					RAC /SK/	Δ=6,0 ^o ePg	02 57 34
				1.VII		Sumatra, USCGS: 0,8 ^o S, 98,7 ^o E, H=07 ^h 28 ^m 57 ^s , h=26 km Δ=83,0 ^o	07 41 23 31
					NIE		
				1.VII		Traces	
					KRA /SKM/	eP	12 22 43
						Péninsule de l'Alaska, USCGS: 54,0 ^o N, 161,0 ^o W, H=21 ^h 22 ^m 10,0 ^s , h=19 km; mb=4,5 /USCGS/ Δ=77,2 ^o	21 34 04 15
					NIE		
				1/2.VII		Sud de l'Alaska, USCGS: 54,4 ^o N, 158,0 ^o W, H=23 ^h 10 ^m 07,2 ^s , h=33 km; M=6¼ /Pasadena/, MLH=6,5 /Kra-ków/ Δ=76,0 ^o	23 21 53
					RAC /SK/	eP	
					KRA /SKM/	Δ=76,1 ^o eiP	23 21 54 D
					/GW/	ePP iS	24 44 31 33

- 84 -

Date	Station	Phase	G.M.T. h m s	Date	Station	Phase	G.M.T. h m s	
1/2.VII	KRA	Lm	23 54 58	2.VII	KRA	ePcP	07 15 43	
		N: 20 ^s ; 22,5 μ				ePP	18 09	
		Lm	55 11			ePPP	19 51	
		E: 18 ^s ; 11,0 μ				eIS	24 42	
2.VII	NIE	$\Delta=76,5^\circ$		RAC	$\Delta=74,1^\circ$	eSPP	25 31	
		iP	23 21 56,8 D			eL	44,3	
		ePcP	22 05			/SK/ eP	07 15 29	
					2.VII Région de Hondo, USCGS: 33,0°N, 141,6°E, H=07 ^h 38 ^m 15,0 ^s , h=39 km; mb=5,0 /USCGS/			
					2.VII Sud de Hondo, Japon, USCGS: 32,9°N, 141,7°E, h=16 ^h 15 ^m 53 ^s , h=19 km; mb=5,0 /USCGS/			
					2.VII Kiou-Siou, Japon, USCGS: 31,2°N, 130,1°E, H=20 ^h 34 ^m 36,2 ^s , h=181 km mb=4,9 /USCGS/			
					3.VII Yougoslavie, USCGS: 44,2°N, 19,2°E, H=02 ^h 53 ^m 48 ^s , h=60 km; M=4,8 /Beograd/			
					2.VII Yougoslavie, réplique du séisme, du 1.VII à 02 ^h 55 ^m , BCIS: 43,9°N, 19,2°E, H=00 ^h 31 ^m 37 ^s ; M=4,2 /Beo- grad/			
					2.VII Région des Iles Nicobar, USCGS: 8,7°N, 93,8°E, H=07 ^h 03 ^m 52,9 ^s , h=33 km; mb=5,7 /USCGS/			
2.VII	NIE	$\Delta=5,3^\circ$		NIE	$\Delta=78,5^\circ$	iP	20 46 18,0 C	
		ePn	00 33 00			Z: 0,8 ^s ; 0,078 μ		
		eSSS	34 32			eIPcP	22	
						ePP	47 02	
2.VII	KRA	$\Delta=5,9^\circ$		NIE	$\Delta=5,0^\circ$	iPn	02 55 07,0 C	
		/GW/ ePn	01 15 43			i	13	
		eI	17 22			e1PP	22	
		eL	20,4			i	31	
						eL	56,1	
						Lm	57,1	
2.VII	NIE	$\Delta=5,8^\circ$		NEZ: 1,2 ^s ; 1,2 ^s ; 1 ^s ; 0,4 μ ; 0,18 μ 0,1 μ				
		iPn	01 18 36,0					

- 85 -

Date	Station	Phase	G.M.T. h m s	Date	Station	Phase	G.M.T. h m s		
3.VII	KRA	$\Delta=5,6^\circ$		4.VII	KRA	eIS	00 02 56		
		/suite/ /SKM/ ePn	02 55 15			eScS	03 30		
		/GW/ ePP	24			eL	15,5		
		eSn	56 37			NIE	$\Delta=75,0^\circ$	iP	23 53 38,0 C
		eS [*]	55					Z: 0,8 ^s ; 0,211 μ	
		RAC	$\Delta=5,7^\circ$					eI	45
		3.VII	NIE			$\Delta=76,5^\circ$		RAC	$\Delta=75,3^\circ$
eP	05 21 16			i	56 04				
epP	27			eS	00 03 03				
3.VII	NIE	Local		/SK/	eP	23 53 41			
		Traces				ePcP	53		
		eP _{NEZ}	19 14 23,5			epP	54 17		
		eNEZ	30,5			5.VII Mer Ionienne, BCIS: 36,7°N, 21,5°E, H=00 ^h 53 ^m 15 ^s ; ML=4,6 /Athènes/			
3.VII	KRA	$\Delta=119,5^\circ$		NIE	$\Delta=12,5^\circ$	eP	00 56 15		
		/SKM/ eP	21 59 16			ePPP	34		
		epP	24			e	54		
		NIE	$\Delta=83,6^\circ$			KRA $\Delta=13,1^\circ$			
4.VII	NIE	$\Delta=64,0^\circ$ Traces		/GW/	eP	00 56 24			
		eP	21 59 23			ePP	42		
4.VII	NIE	$\Delta=119,5^\circ$		RAC	$\Delta=13,4^\circ$	ei	01 00 54		
		ePKP	14 35 40			eP	00 56 29		
		eI	47			5.VII Sud de l'Alaska, USCGS: 54,5°N, 157,9°W, H=04 ^h 03 ^m 06 ^s , h=33 km; mb=4,8 /USCGS/			
4.VII	KRA	$\Delta=74,7^\circ$		NIE	$\Delta=76,7^\circ$	eP	04 14 55		
		/SKM/ iP	23 53 36,0 C			ePcP	15 05		
		Z: 0,5 ^s ; 0,23 μ				5.VII Iles Riou-Kiou, USCGS: 25,6°N, 126,0°E, H=09 ^h 01 ^m 05 ^s , h=33 km; mb=4,7 /USCGS/			
4.VII	/GW/	ePcP	52	NIE	$\Delta=80,5^\circ$ Traces	eP	09 13 18		
		eipP	54 14			5.VII Mer Ionienne, BCIS: 36,7°N, 21,5°E, H=16 ^h 49 ^m 34 ^s ; ML=4,0 /Athènes/			

These data are considered public domain and may be freely distributed or copied for non-profit purposes provided the project is properly quoted.

- 86 -

Date	Station	Phase	G.M.T. h m s	Date	Station	Phase	G.M.T. h m s	
5.VII	NIE	$\Delta=12,5^\circ$	16 52 34	6.VII	Iles aux Renards, USCGS: 52,6°N, 168,2°W, H=13 ^h 42 ^m 22,5 ^s , h=14 km; mb=5,9 /USCGS/			
/suite/		eP			KRA	$\Delta=77,7^\circ$		
5.VII	NIE	Local	19 22 20,7 38,7	/SKM/	iP	13 54 19,0C	C	
		eP _{EZ}		/GW/	eiPoP		32	
		e _{EZ}			eiS		14 04 12	
5.VII	NIE	Luçon, Philippines, USCGS: 13,8°N 122,2°E, H=21 ^h 09 ^m 06 ^s , h=40 km $\Delta=87,3^\circ$	21 21 51	RAC	$\Delta=77,8^\circ$			
		eP		/SK/	eP		13 54 21	
6.VII	NIE	Péninsule de l'Alaska, USCGS: 62,4°N, 147,4°W, H=05 ^h 06 ^m 13,4 ^s , h=59 km; mb=5,1 /USCGS/ $\Delta=68,4^\circ$	05 17 09 23	NIE	$\Delta=78,4^\circ$			
		eP			eP		13 54 22	C
6.VII	NIE	Mer Ionienne, BCIS: 36,6°N, 21,4°E, H=08 ^h 21 ^m 49 ^s ; ML=4,2 /Athènes/ $\Delta=12,6^\circ$	08 24 50 25 02	6.VII	Petites Antilles, USCGS: 18,9°N, 61,9°W, H=18 ^h 32 ^m 15,1 ^s , h=57 km; mb=5,1 /USCGS/			
		eP			NIE	$\Delta=70,9^\circ$		
6.VII	KRA	$\Delta=13,2^\circ$	08 25 04	eP		18 43 29		
	/GW/	eP			eiPoP		44	
6.VII	NIE	Local	12 02 29 50 03,5	6.VII	Région Est du Golfe du Aden, USCGS: 13,4°N, 50,8°E, H=18 ^h 58 ^m 39,7 ^s , h=44 km; mb=4,9 /USCGS/, M=5¼ /Moskva/			
	/SKM/	e/Pg/NEZ		NIE	$\Delta=43,6^\circ$. Traces			
		e/Sg/NEZ			eP		19 06 42	
		F			6.VII	Crête médiane de l'Océan Atlantique, USCGS: 8,0°N, 38,5°W, H=19 ^h 19 ^m 48,4 ^s , h=33 km; mb=4,9 /USCGS/		
6.VII	NIE	eP _{NEZ}	12 02 30	NIE	$\Delta=63,8^\circ$			
		eiNEZ	37,4	eP		19 30 20		
		iS _{NEZ}	50,4	ei.		44		
		i _N	03 05	KRA	$\Delta=63,8^\circ$. Traces			
6.VII	RAC	$\Delta=12,6^\circ$	12 02 32 49 05	/GW/	eP	19 30 22		
	/SK/	e _{NE}			ePP		32 42	
		e _{NEZ}			ePPP		34 26	
6.VII	NIE	Local	12 30 42	eS		38 56		
		Traces			eL		50,5	
		eP _{EZ}						

- 87 -

Date	Station	Phase	G.M.T. h m s	Date	Station	Phase	G.M.T. h m s	
6.VII	NIE	Région de Kiou-Siou, USCGS: 32,5°N, 130,9°E, H=23 ^h 15 ^m 57,2 ^s , h=159 km; mb=4,8 /USCGS/ $\Delta=78,0^\circ$	23 27 39 C 28 18	8.VII	Nouvelles Hébrides, USCGS: 15,4°S, 167,5°E, H=00 ^h 58 ^m 54,7 ^s , h=137 km; mb=5,2 /USCGS/ $\Delta=136,8^\circ$			
		eIP			/SKM/	eiPKP	01 18 02	D
		epP			/GW/	ei	20 44	
7.VII	NIE	Golfe d'Aden, USCGS: 13,5°N, 50,8°E, H=01 ^h 09 ^m 59 ^s , h=32 km; mb=4,8 /USCGS/ $\Delta=43,6^\circ$. Traces	01 18 03	NIE	$\Delta=137,0^\circ$			
		eP			iPKP		01 18 03,5	C
7.VII	NIE	Mer du Japon, USCGS: 41,5°N, 132,9°E, H=04 ^h 37 ^m 34,8 ^s , h=474 km; mb=4,6 /USCGS/ $\Delta=72,0^\circ$. Traces	04 48 12	i		18		
		eIP			ei		20 48	
7.VII	NIE	Région des Iles Fidji, USCGS: 20,3°S, 177,7°W, H=09 ^h 42 ^m 08 ^s , h=540 km; mb=4,6 /USCGS/ $\Delta=147,8^\circ$	10 00 50 53	iSKP		21 25		
		ePKP ₁			RAC	$\Delta=137,5^\circ$		
7.VII	NIE	Mindanao, Philippines, USCGS: 8,7°N, 126,1°E, H=13 ^h 28 ^m 39,1 ^s , h=195 km; mb=5,5 /USCGS/ $\Delta=93,6^\circ$. Traces	13 41 34	/SK/	ePKP	01 18 04		
		eiP			8.VII	Nouvelles Hébrides, USCGS: 16,3°S, 166,8°E, H=06 ^h 22 ^m 52,8 ^s , h=9 km; mb=5,0 /USCGS/ $\Delta=137,4^\circ$		
7.VII	NIE	Région frontière Inde-Chine, USCGS: 27,8°N, 92,9°E, H=22 ^h 56 ^m 30,8 ^s , h=33 km; mb=4,9 /USCGS/ $\Delta=58,4^\circ$. Traces	23 06 22,5	NIE	ePKP	06 42 19		
		eiP			8.VII	NIE	eP	09 34 03
7.VII	NIE	Traces	23 50 14	9.VII	Région des Iles Fidji, USCGS: 19,9°S, 178,1°W, H=13 ^h 13 ^m 29,1 ^s , h=520 km; mb=4,3 /USCGS/ $\Delta=147,3^\circ$			
		eiP			NIE	$\Delta=147,3^\circ$		
8.VII	NIE	Près de la côte de Hondo, USCGS: 38,2°N, 141,7°E, H=00 ^h 42 ^m 18 ^s , h=68 km; mb=4,2 /USCGS/ $\Delta=78,7^\circ$. Traces	00 54 14	iPKP ₁		13 32 14,4	D	
		eP			9.VII	Région de Hokkaido, USCGS: 44,0°N, 144,7°E, H=03 ^h 09 ^m 03,2 ^s , h=100 km; mb=4,6 /USCGS/ $\Delta=75,2^\circ$		
				iP		03 20 36,0	C	
				9.VII	Crête médiane de l'Océan Atlantique, USCGS: 19,2°N, 46,0°W, H=21 ^h 31 ^m 07,8 ^s , h=18 km; mb=4,6 /USCGS/ $\Delta=60,3^\circ$. Traces			
				eP		21 41 19		
				10.VII	Kamtchatka, USCGS: 59,8°N, 161,1°E, H=03 ^h 17 ^m 37 ^s , h=33 km; mb=4,4 /USCGS/			

- 88 -

Date	Station	Phase	G.M.T. h m s	Date	Station	Phase	G.M.T. h m s
10.VII	NIE	$\Delta = 66,8^\circ$. Traces /suite/ eP	03 28 26	12.VII	NIE	eIP	05 35 17,5
10.VII	NIE	Kamchatka, USCGS: 59,8°N, 161,1°E H=03 ^h 36 ^m 39 ^s , h=33 km; mb=4,5 /USCGS/ $\Delta = 66,8^\circ$. Traces eP	03 47 28	12.VII	NIE	Péninsule de l'Alaska, USCGS: 54,9°N, 161,1°W, H=10 ^h 32 ^m 01,6 ^s , h=33 km; mb=5,0 /USCGS/ $\Delta = 76,3^\circ$. Traces eP ePcP	10 43 51 44 02
10.VII	NIE	Mer de Java, USCGS: 5,9°S, 113,1°E H=12 ^h 01 ^m 31,5 ^s , h=591 km; mb=5,4 /USCGS/ $\Delta = 96,2^\circ$ eP epP ePP	12 13 58 16 06 18 02	12.VII	NIE	S Panama, USCGS: 5,6°N, 82,6°W, H=21 ^h 00 ^m 20,9 ^s , h=33 km; M=6,5 /Pasadena/ KRA $\Delta = 93,8^\circ$ /SKM/ eP NIE $\Delta = 94,2^\circ$. Traces eIP	21 13 45 21 13 48
10.VII	KRA	$\Delta = 96,5^\circ$ /GW/ eISKS eS	12 23 41 24 29	13.VII	NIE	Algérie, BCIS: 35,4°N, 0,2°W, H=02 ^h 10 ^m 24 ^s ; MLH=5,1 /Strasbourg/ $\Delta = 20,4^\circ$ iP i ePP	02 15 00,0 D 02 19
10.VII	KRA	Sud de Mindanao, Moskva: 4,8°N, 127,1°E, H=19 ^h 18 ^m 14,7 ^s , h=118 km; mb=5,2 /USCGS/ $\Delta = 97,3^\circ$ eP e	19 31 36 48	13.VII	KRA	Albanie, USCGS: 40,7°N, 19,5°E, H=14 ^h 38 ^m 54 ^s , h=23 km; M=4,6 /Beograd/ NIE $\Delta = 8,4^\circ$ eIP eS	14 41 04 42 59
11.VII	NIE	Yougoslavie, BCIS: 44,5°N, 17,3°E, H=12 ^h 41 ^m 19 ^s ; M=4,3 /Beograd/ $\Delta = 5,1^\circ$ ePn eIP ^x ePg	12 42 40 54 43 03	13.VII	KRA	$\Delta = 9,1^\circ$ /GW/ eP eIPPP eS ^x	14 41 11 31 43 30
11.VII	RAC	$\Delta = 5,4^\circ$ /SK/ ePn	12 42 47	14.VII	NIE	Crête médiane de l'Océan Indien, USCGS: 16,4°S, 66,8°E, H=18 ^h 35 ^m 46,7 ^s , h=33 km; mb=5,2 /USCGS/ $\Delta = 77,1^\circ$ eIP	18 47 40
11.VII	NIE	Région des Iles Fidji, USCGS: 19,4°S, 177,7°W, H=17 ^h 31 ^m 23 ^s , h=381 km; mb=4,2 /USCGS/ $\Delta = 147,0^\circ$. Traces ePKP ₁ ePKP ₂	17 50 19 22				

- 89 -

Date	Station	Phase	G.M.T. h m s	Date	Station	Phase	G.M.T. h m s
15.VII	KRA	Kazakstan, URSS; BCIS: 50,0°N, 78,0°E, H=03 ^h 27 ^m 00 ^s ; mb=5,4 /USCGS/ $\Delta = 36,6^\circ$ /SKM/ eIP NIE $\Delta = 36,6^\circ$ iP Z: 0,9 ^s ; 0,1 μ ei ePP	03 34 08 C 03 34 08,4 C 19 35 29	16.VII	NIE	$\Delta = 5,6^\circ$. Traces ePPP eSS	19 03 32 04 33
15.VII	NIE	Local eIPgZ eSgNEZ F	14 32 52,1 33 08,6 34 00	16.VII	NIE	Iles Tonga, USCGS: 16,8°S, 173,4°W, H=21 ^h 11 ^m 16,5 ^s , h=24 km; mb=4,9 /USCGS/ $\Delta = 145,8^\circ$ ePKP ₁ esPKP ₂	21 30 56 31 03
15.VII	NIE	Mindanao, Philippines, USCGS: 6,8°N, 126,3°E, H=14 ^h 40 ^m 35,0 ^s , h=37 km; mb=5,3 /USCGS/ $\Delta = 95,2^\circ$ eP	14 53 57	18.VII	NIE	Traces eP	00 03 05,6
15.VII	NIE	Région des Iles Fidji, USCGS: 21,9°S, 179,6°W, H=17 ^h 04 ^m 13 ^s , h=574 km; mb=4,1 /USCGS/ $\Delta = 148,5^\circ$ eIPKP ₁ Z: 1 ^s ; 0,01 μ	17 22 56,1 D	18.VII	NIE	Près de la côte E de Hondo, USCGS: 40,1°N, 142,4°E, H=16 ^h 59 ^m 21,9 ^s , h=52 km; mb=4,4 /USCGS/ $\Delta = 77,5^\circ$ eIP epP	17 11 13,5 C 27
16.VII	NIE	Local Traces ePgNEZ	10 46 29,8	19.VII	NIE	Sud Ouest de l'Anatolie, BCIS: 38,1°N, 28,9°E, H=09 ^h 06 ^m 22 ^s ; ML=4,6 /Athènes/, MLH=4,6 /Kra- kóv/ $\Delta = 12,7^\circ$ eP ePPPP	09 09 24 48
16.VII	NIE	Région de la Nouvelle Guinée, USCGS: 0,8°S, 132,6°E, H=13 ^h 34 ^m 29,9 ^s , h=33 km; M=6,0 /Pasadena/ $\Delta = 105,0^\circ$. Traces ePKP	13 48 45	19.VII	KRA	$\Delta = 13,3^\circ$ /GW/ eIP eS Lm NE: 7,0 ^s ; 6,0 ^s ; 1,4 μ , 1,0 μ	09 09 30 12 20 16 09
16.VII	RAC	France, BCIS: 47,3°N, 5,4°E, H=14 ^h 04 ^m 11 ^s , h=20 km $\Delta = 8,9^\circ$. Traces e eSg	14 08 54 09 00	19.VII	NIE	Local, Carpathes ? iPgNEZ iSgNEZ Lm EZ: 0,8 ^s ; 1 ^s ; 0,11 μ , 0,06 μ F	11 33 35,5 C 41,5 48 34 50
16.VII	NIE	Yougoslavie, BCIS: 44,0°N, 17,0°E, H=19 ^h 01 ^m 49 ^s		20.VII	NIE	Iles Kouriles, USCGS: 44,4°N, 149,3°E, H=06 ^h 57 ^m 31 ^s , h=33 km; mb=4,4 /USCGS/	

- 90 -

Date	Station	Phase	G.M.T. h m s	Date	Station	Phase	G.M.T. h m s
20.VII	NIE	$\Delta=76,7^\circ$. Traces /suite/ eP	07 09 20	20.VII	KRA	$\Delta=151,5^\circ$ /SKM/ eiPKP ₁	23 31 41,7 D
20.VII		Iles aux Rats, USCGS: 51,4°N, 178,3°E, H=14 ^h 26 ^m 14,1 ^s , h=33 km; mb=5,3 /USCGS/		20.VII	RAC	$\Delta=152,2^\circ$ /SK/ ePKP ₁	23 31 44
	NIE	$\Delta=78,1^\circ$ eP	14 38 10	21.VII		Région des Iles Fidji, USCGS: 21,3°S, 176,2°W, H=12 ^h 45 ^m 57 ^s , h=199 km; mb=4,5 /USCGS/	
	RAC	$\Delta=77,7^\circ$ /SK/ eP	14 38 11		NIE	$\Delta=149,2^\circ$ ePKP ₁	13 05 27
20.VII		A l'Ouest des Iles Carolines, USCGS: 7,7°N, 134,9°E, H=15 ^h 36 ^m 20,1 ^s , h=8 km; mb=5,8 /USCGS/		22.VII		Sud des Iles Kermadec, USCGS: 33,5°S, 179,0°W, H=03 ^h 58 ^m 02,4 ^s , h=39 km; mb=5,0 /USCGS/	
	NIE	$\Delta=99,8^\circ$ eP	15 50 06		RAC	$\Delta=159,3^\circ$ /SK/ ePKP ₁	04 17 52
	i		08		ePKP ₂		18 32
	ei		36		KRA	$\Delta=158,5^\circ$ /SKM/ ePKP ₁	04 17 56
	RAC	$\Delta=100,8^\circ$ /SK/ eP	15 50 11		e		18 42
20.VII		Yougoslavie, BCIS: 45,6°N, 14,5°E H=16 ^h 20 ^m 02 ^s ; mb=4,3 /USCGS/			NIE	$\Delta=158,8^\circ$ ePKP ₁	04 17 57
	NIE	$\Delta=5,3^\circ$. Traces eP _g	16 21 48		ePKP ₂		18 32
20.VII		Albanie, BCIS: 40,7°N, 19,7°E, H=19 ^h 03 ^m 28 ^s ; ML=4,2 /Athènes/		22.VII	KRA	Traces	
	NIE	$\Delta=8,5^\circ$ iP	19 05 35,5 C		/SKM/ eP		04 27 45
	ei		40		i		56
	eiPPP		54		NIE	eP	04 27 49
	eSg		08 19		e		28 09
	KRA	$\Delta=9,0^\circ$ /SKM/ eiP	19 05 44	22.VII		Pas de Calais, explosion, USCGS: 51,4°N, 1,3°E, H=10 ^h 59 ^m 05 ^s ; mb=4,7 /USCGS/	
	ePP		52		RAC	$\Delta=10,8^\circ$ /SK/ eL	11 05 13
	eSS		07 37	22.VII		Turquie, BCIS: 40,7°N, 30,8°E, H=16 ^h 56 ^m 53,1 ^s , h=4 km; M=7¼	
20.VII		Sud des Iles Fidji, USCGS: 26,5°S 178,5°E, H=23 ^h 12 ^m 54,4 ^s , h=596 km mb=5,2 /USCGS/			NIE	$\Delta=11,2^\circ$ iP	16 59 39,6 D
	NIE	$\Delta=151,7^\circ$ ePKP ₁	23 31 36		KRA	$\Delta=11,8^\circ$ /SKM/ iP	16 59 46,7 D
	i		43				

- 91 -

Date	Station	Phase	G.M.T. h m s	Date	Station	Phase	G.M.T. h m s
22.VII	KRA	IS /suite/ i	17 01 46 02 49	22.VII	NIE	$\Delta=11,1^\circ$ eP	20 38 24
	RAC	$\Delta=12,7^\circ$ /SK/ eiP	17 00 00		e		39 11
	ePP		09	22.VII		Turquie, USCGS: 40,5°N, 30,5°E, H=21 ^h 21 ^m 34 ^s , h=16 km; mb=4,4 /USCGS/	
	eS		02 29		NIE	$\Delta=11,3^\circ$. Traces eP	21 24 18
22.VII		Turquie, Athènes: 40,4°N, 30,2°E H=17 ^h 30 ^m 11 ^s		22.VII		Turquie, USCGS: 40,7°N, 30,7°E, H=22 ^h 08 ^m 30 ^s , h=33 km; mb=4,5 /USCGS/	
	NIE	$\Delta=11,2^\circ$ eiP	17 32 43,6		NIE	$\Delta=11,1^\circ$. Traces e/P/	22 11 16
22.VII		Turquie, BCIS: 40,7°N, 30,6°E, H=17 ^h 48 ^m 06,1 ^s ; mb=5,0 /USCGS/		22.VII		Turquie, BCIS: 40,8°N, 30,8°E, H=23 ^h 41 ^m 56 ^s ; mb=4,7 /USCGS/	
	NIE	$\Delta=11,1^\circ$ eP	17 50 51		NIE	$\Delta=11,2^\circ$ eiP	23 44 43
	KRA	$\Delta=11,8^\circ$ /SKM/ eP	17 50 59		ePP		53
	RAC	$\Delta=12,6^\circ$ /SK/ eP	17 51 00		KRA	$\Delta=11,9^\circ$ /SKM/ eP	23 44 51
22.VII		Turquie, ISC, Edinburgh: 40,7°N, 30,8°E, H=18 ^h 04 ^m 42 ^s			ei		56
	NIE	$\Delta=11,4^\circ$ eP	18 07 21,6	23.VII		Région frontière URSS-Afghani- stan, USCGS: 36,9°N, 71,4°E, H=01 ^h 16 ^m 43 ^s , h=180 km; mb=4,6 /USCGS/	
22.VII		Turquie, BCIS: 40,9°N, 30,4°E, H=18 ^h 09 ^m 52 ^s , h=33 km			NIE	$\Delta=38,6^\circ$. Traces eP	01 23 52
	NIE	$\Delta=10,9^\circ$ eP	18 12 36		ePP		24 17
	ePP		45	23.VII		Turquie, Moskva: 41,2°N, 30,7°E, H=02 ^h 07 ^m 54 ^s	
	KRA	$\Delta=11,5^\circ$ /SKM/ eP	18 12 45		NIE	$\Delta=10,8^\circ$. Traces eP	02 10 34
	ePP		57	23.VII		Nouvelles Hébrides, USCGS: 15,7°S, 167,1°E, H=03 ^h 08 ^m 43,7 ^s , h=33 km; mb=4,9 /USCGS/	
	RAC	$\Delta=12,4^\circ$ /SK/ eP	18 13/00/		NIE	$\Delta=137,0^\circ$. Traces ePKP	03 28 06
22.VII		Turquie, USCGS: 40,8°N, 30,9°E, H=19 ^h 47 ^m 26 ^s , h=33 km; mb=4,6 /USCGS/		23.VII		Turquie, BCIS: 40,7°N, 30,8°E, H=04 ^h 03 ^m 35 ^s ; mb=4,5 /USCGS/	
	NIE	$\Delta=11,2^\circ$. Traces eP	19 50 07				
22.VII		Turquie, USCGS: 40,6°N, 30,4°E, H=20 ^h 35 ^m 40,8 ^s , h=16 km					

- 92 -

Date	Station	Phase	G.M.T. h m s	Date	Station	Phase	G.M.T. h m s
23.VII	NIE	$\Delta=11,1^\circ$. Traces /suite/ eP	04 06 23	26.VII	NIE	e	09 19 17
23.VII	NIE	Turquie, BCIS: 40,7°N, 30,8°E, H=04 ^h 48 ^m 48 ^s ; mb=4,5 /USCGS/ $\Delta=11,1^\circ$ eP iPP	04 51 34 43	26.VII	NIE	Mer du Groenland, USCGS: 73,4°N, 7,2°E, H=09 ^h 30 ^m 43 ^s , h=33 km $\Delta=25,0^\circ$ eP epP	09 36/06/ 13
23.VII	NIE	Turquie, BCIS: 40,7°N, 30,8°E, H=07 ^h 42 ^m 26 ^s ; mb=4,1 /USCGS/ $\Delta=11,1^\circ$ eP eiPP	07 45 06 14	26.VII	NIE	Anatolie orientale, BCIS: 39,6°N, 40,4°E, H=18 ^h 52 ^m 59,2 ^s ; MLH=6,4 /Strasbourg/, 5,9 /Niedzica/ $\Delta=17,2^\circ$ eP iPP iPPP eiSS i Lm NEZ: 9 ^s ; 9 ^s ; 8 ^s ; 30 μ , 18 μ , 9 μ	18 57 02 12 22 19 00 30 01 16 06,0
23.VII	NIE	Iles Tonga, USCGS: 20,0°S, 175,5°W, H=18 ^h 44 ^m 13,6 ^s , h=77 km; mb=4,9 /USCGS/ $\Delta=148,3^\circ$ ePKP ₁ eiPKP ₂	19 03 48 51	27.VII	RAC /SK/ eP	$\Delta=18,7^\circ$ eP	18 57 22
25.VII	NIE	Région frontière Grèce-Bulgarie, USCGS: 41,9°N, 24,6°E, H=08 ^h 37 ^m 26 ^s , h=33 km; mb=4,2 /USCGS/ $\Delta=7,8^\circ$ eP e	08 39 21 40 13	27.VII	NIE	Crète, USCGS: 34,3°N, 26,7°E, H=04 ^h 54 ^m 52 ^s , h=53 km; mb=4,2 /USCGS/ $\Delta=15,6^\circ$. Traces e/P/	04 58 42
25.VII	NIE	Roumanie, USCGS: 45,8°N, 26,5°E, H=12 ^h 33 ^m 23,5 ^s , h=146 km; mb=3,9 /USCGS/ $\Delta=5,4^\circ$ iPn Z: 0,8 ^s ; 0,08 μ ePP	12 34 47,5 D 55	27.VII	RAC /SK/ NIE	Islande, BCIS: 63,9°N, 21,0°W, H=05 ^h 17 ^m 52,4 ^s ; MLH=4,8 /Stras- bourg/ $\Delta=25,0^\circ$ eP $\Delta=26,3^\circ$ eP	05 23 17 05 23 28
26.VII	NIE	Iles Kermadec, USCGS: 31,8°S, 178,7°W, H=06 ^h 31 ^m 10,6 ^s , h=37 km; mb=5,1 /USCGS/ $\Delta=157,5^\circ$. Traces ePKP ₁ ePKP ₂	06 51 03 52 32	27.VII	NIE	Sud de l'Océan Indien, USCGS: 35,1°S, 54,0°E, H=11 ^h 35 ^m 33,8 ^s , h=33 km; mb=5,0 /USCGS/ $\Delta=89,1^\circ$ eP epP	11 48 27 35
26.VII	NIE	Turquie, BCIS: 40,7°N, 30,8°E, H=09 ^h 16 ^m 00 ^s ; mb=4,5 /USCGS/ $\Delta=11,1^\circ$ eiP	09 18 50,2	27.VII	NIE	Local eiP _{NEZ} eiS _E	14 05 09,6 12,6

- 93 -

Date	Station	Phase	G.M.T. h m s	Date	Station	Phase	G.M.T. h m s
27.VII	NIE	eiS _{NEZ} F	14 05 12,9 05,6	29.VII	NIE	$\Delta=77,1^\circ$. Traces eP eP _{oP}	03 09 11 21
28.VII	NIE	Région de Hokkaido, USCGS: 42,6°N, 145,4°E, H=09 ^h 44 ^m 21,1 ^s , h=142 km; mb=3,9 /USCGS/ $\Delta=76,7^\circ$. Traces eP epP	09 56 01 20	29.VII	RAC /SK/ NIE	Région Nord de la Colombie, USCGS: 6,8°N, 73,0°W, H=10 ^h 24 ^m 24 ^s , h=161 km; mb=6,0 /USCGS/ $\Delta=85,6^\circ$ eP $\Delta=87,1^\circ$ eP i i iSKKS iS	10 36 49 10 36 54 37 42 38 13 44 47 09 48 33
28.VII	NIE	Région des Iles Fidji, USCGS: 20,7°S, 178,5°W, H=14 ^h 25 ^m 50,1 ^s , h=555 km; mb=4,7 /USCGS/ $\Delta=147,9^\circ$ iPKP ₁ Z: 1 ^s ; 0,02 μ iPKP ₂ e	14 44 33,3 D 38 51	29.VII	NIE	Proche eP _{NEZ} eNE iEZ	13 35 45 36 18 31
28.VII	RAC /SK/	République Fédérale Allemande explosion, BCIS: 51°14,0'N, 9°51,6'E, H=15 ^h 05 ^m 11 ^s ; M=3% /Bensberg/ $\Delta=5,5^\circ$ eL	14 44 34 15 08 07	29.VII	NIE	Région des Iles Fidji, USCGS: 17,1°S, 177,1°W, H=22 ^h 04 ^m 27 ^s , h=187 km; mb=4,2 /USCGS/ $\Delta=145,0^\circ$. Traces eP	22 23 45
28.VII	RAC /SK/	Islande, BCIS: 64,0°N, 20,6°W, H=15 ^h 35 ^m 02,4 ^s ; mb=4,6 /USCGS/ $\Delta=24,9^\circ$ eP	15 40 28	30.VII	RAC /SK/	Près de la côte du Vénézuéla, USCGS: 10,6°N, 67,3°W, H=23 ^h 59 ^m 58,7 ^s , h=10 km; M=6,5 /Pa- sadena/ $\Delta=79,1^\circ$ eP epP	00 12 06 13
28.VII	NIE	$\Delta=26,4^\circ$ eP epP	15 40 38 46	30.VII	NIE	$\Delta=80,5^\circ$ eP i eS	00 12 14 35 22 15
28.VII	NIE	Nord de Sumatra, USCGS: 2,1°N, 98,0°E, H=17 ^h 27 ^m 35,7 ^s , h=32 km; mb=5,1 /USCGS/ $\Delta=80,3^\circ$ eiP	17 39 45,4 C	30.VII	NIE	Turquie, BCIS: 40,7°N, 30,6°E, H=01 ^h 31 ^m 02 ^s ; mb=5,6 /USCGS/ $\Delta=11,1^\circ$ eiP	01 33 44 D
29.VII	NIE	Région de Hokkaido, USCGS: 42,7°N, 146,7°E, H=02 ^h 57 ^m 18,1 ^s , h=33 km; mb=4,6 /USCGS/					

Date	Station	Phase	G.M.T. h m s	Date	Station	Phase	G.M.T. h m s
4.VIII	NIE	$\Delta=6,6^\circ$		7.VIII		Région des Iles Kermadec, USCGS: 29,4°S, 177,4°W, H=17 ^h 07 ^m 20,1 ^s , h=147 km; mb=4,8 /USCGS/	
/suite/		eiPn	14 56 12,8 C		NIE	$\Delta=156,1^\circ$	
		eiP ^N	29			ePKP ₁	17 26 55
		ePg	40			iPKP ₂	27 25
		i	57 18	8.VIII		Turquie, BCIS: 40,7°N, 30,8°E, H=04 ^h 36 ^m 27 ^s	
		eiL	57,5		NIE	$\Delta=11,3^\circ$	
	RAC	$\Delta=7,1^\circ$				eP	04 39 18
	/SK/	ePn	14 56 24	8.VIII		Turquie, Athènes: 40,6°N, 31,1°E, H=04 ^h 38 ^m 44 ^s	
		eSn	57 43		NIE	$\Delta=11,5^\circ$	
4.VIII		Iles Tonga, USCGS: 17,7°S, 173,2°W, H=22 ^h 34 ^m 47,7 ^s , h=33 km; mb=4,8 /USCGS/		8.VIII		Turquie, Athènes: 40,6°N, 31,1°E, H=04 ^h 38 ^m 44 ^s	
	NIE	$\Delta=146,8^\circ$				eP	04 41 33
		ePKP	22 54 27	8.VIII		Local	
5.VIII		Iles Kouriles, USCGS: 43,3°N, 147,5°E, H=01 ^h 44 ^m 43,2 ^s , h=33 km; mb=4,4 /USCGS/			NIE		
	NIE	$\Delta=76,9^\circ$				ePg _{NEZ}	13 33 56,8
		eP	01 56 35			1Sg _{NE}	34 17,0
		ePcP	53			F	35,2
5.VIII		Iles Kouriles, USCGS: 43,3°N, 147,6°E, H=05 ^h 29 ^m 21,8 ^s , h=33 km; mb=4,8 /USCGS/		10.VIII		Iles Kouriles, USCGS: 45,4°N, 150,3°E, H=11 ^h 21 ^m 22,3 ^s , h= 37 km; mb=5,7 /USCGS/	
	NIE	$\Delta=77,0^\circ$			KRA	$\Delta=75,8^\circ$	
		iP	05 41 12,6 C		/GW/	eiP	11 33 06
		epP	24			eSKS	43 17
6.VIII		Région frontière Tadjik-Sinkiang, USCGS: 38,0°N, 75,5°E, H=10 ^h 31 ^m 06 ^s , h=215 km; mb=4,8 /USCGS/			NIE	$\Delta=76,2^\circ$	
	NIE	$\Delta=40,0^\circ$				iP	11 33 07,8 C
		eiP	10 38 22 D			ePcP	17
						ei	30
6.VIII		Région des Iles Fidji, USCGS: 21,4°S, 179,5°W, H=13 ^h 14 ^m 09 ^s , h=561 km; mb=4,2 /USCGS/			RAC	$\Delta=76,4^\circ$	
	NIE	$\Delta=148,1^\circ$. Traces			/SK/	eP	11 33 09
		eiPKP	13 32 52			ePcP	22
7.VIII		Hindou-Kouch, USCGS: 36,5°N, 71,2°E, H=05 ^h 49 ^m 57,5 ^s , h=229 km; mb=5,0 /USCGS/		11.VIII		Région des Iles Volcano, USCGS: 22,1°N, 144,0°E, H= 18 ^h 54 ^m 28,8 ^s , h=125 km; mb= 5,3 /USCGS/	
	NIE	$\Delta=38,7^\circ$			NIE	$\Delta=93,2^\circ$	
		eP	05 57 02			eP	19 07 28
		epP	49	12.VIII		Près de la côte de Hondo, USCGS: 38,5°N; 141,9°E, H=04 ^h 30 ^m 38,5 ^s , h=53 km; mb= 5,4 /USCGS/	

Date	Station	Phase	G.M.T. h m s	Date	Station	Phase	G.M.T. h m s
12.VIII	KRA	$\Delta=78,3^\circ$		12.VIII		Turquie, USCGS: 41,0°N, 34,3°E, H=16 ^h 59 ^m 21 ^s , h=33 km; mb=4,4	
/suite/	/SKM/	eP	04 42 32		/USCGS/		
	NIE	$\Delta=78,6^\circ$			NIE	$\Delta=12,8^\circ$. Traces	
		eiP	04 42 35 D			eP	17 02 20
		eipP	43 03	12.VIII		Région frontière URSS-Afghani- stan, USCGS: 37,0°N, 71,4°E, H=22 ^h 54 ^m 38,6 ^s , h=121 km; mb=5,1	
		ePP	45 32		/USCGS/		
12.VIII		Local			NIE	$\Delta=38,5^\circ$	
	KRA					eiP	23 01 51
	/SKM/	eiPg _{NEZ}	09 18 54,3			eipP	02 24
12.VIII		Sud des Iles Fidji, USCGS: 24,7°S, 177,5°W, H=09 ^h 39 ^m 44,3 ^s , h=134 km; M=6,5 /Pasadena/, mb= 5,8 /USCGS/				ePcP	04 01
	WAR	$\Delta=149,0^\circ$		13.VIII		Traces	
		iPKP ₁	09 59 14		NIE	eiP	05 34 40 D
		ei	21	13.VIII		e	17 13 44
		i	56	13.VIII		Sud de Hondo, USCGS: 35,3°N, 135,3°E, H=20 ^h 06 ^m 50,6 ^s , h= 357 km; M=6 ³ / ₄ /Pasadena/, mb= 6,0 /USCGS/	
		iPP	02 50		WAR	$\Delta=75,7^\circ$	
	KRA	$\Delta=151,5^\circ$				iP	20 18 00,0
	/SKM/	ePKP ₁	09 59 16			eiPcP	04
		i	23			epP	19 20
	/GW/	ePKP ₂	32			ei	55
	/SKM/	i	10 00 04			eiPP	20 55
	/GW/	ePKS	02 50			iS	27 10
		ei	06 10		KRA	$\Delta=77,8^\circ$	
		ei	09 28		/SKM/	iP	20 18 10,3 C
	NIE	$\Delta=151,9^\circ$				i	16
		eiPKP ₁	09 59 18 C		/GW/	ipP	19 32
		i	24			iPP	21 12
		iPKP ₂	31			iPPP	22 56
		ipPKP	51			iS	27 25
		iPP	10 03 07			eSKS	45
	RAC	$\Delta=152,0^\circ$		12.VIII		Nouvelles Hébrides, USCGS: 14,9°S, 166,7°E, H=12 ^h 30 ^m 50,1 ^s , h=23 km; mb=5,2 /USCGS/	
	/SK/	ePKP ₁	09 59 18		NIE	$\Delta=136,2^\circ$. Traces	
		ePKP ₂	34			ePKP	12 50 17
		epPKP	52			iP	20 18 11
		ePP	10 03 16			iPcP	18
						ipP	19 35

Date	Station	Phase	G.M.T. h m s	Date	Station	Phase	G.M.T. h m s
13.VIII	NIE	eiPP	20 21 14	13.VIII	KRA	$\Delta=63,3^\circ$	
/suite/		iS	27 33	/SKM/	eP		23 54 40
	RAC	$\Delta=78,6^\circ$		14.VIII		Région Nord de Sumatra, USCGS:	
/SK/	eiP		20 18 15			5,4°N, 96,6°E, H=06 ^h 41 ^m 46,2 ^s ,	
	epP		19 36			h=33 km	
	ePP		21 14	NIE	$\Delta=77,0^\circ$. Traces		
13.VIII		Basses-Pyrénées, France, BCIS:		eiP			06 53 37 C
		43°05'N, 0°45'W, H=22 ^h 07 ^m 46 ^s ;		14.VIII		Région frontière Italie-Suisse,	
		M=5 ³ / ₄ /Strasbourg/, MLH=6,4				BCIS: 46,9°N, 10,3°E, H=10 ^h 16 ^m	
		/Racibórz/				21 ^s ; MLH=3,8 /Moxa, Pruhonice/	
RAC	$\Delta=14,7^\circ$			NIE	$\Delta=7,1^\circ$		
/SK/	eP		22 11 15	ePn			10 18 04
	ePP		27	eP ^m			23
	eSS		14 30	eiSn			30
	eSSS		41	RAC	$\Delta=6,0^\circ$		
	Lm		16 30	/SK/	eP ^m		10 18 10
		N: 3 ^s ; 19 μ		eSS			19 18
	Lm		17 03	eS ^m			28
		E: 3 ^s ; 40 μ		eiSg			41
KRA	$\Delta=15,7^\circ$			KRA	$\Delta=7,0^\circ$		
/SKM/	eP		22 11 29	/GW/	eS ^m		10 19 58
	i		35	eL			20,2
	eiPP		49	14.VIII		Turquie, USCGS: 40,7°N, 30,5°E,	
/GW/	eS		14 40			H=20 ^h 09 ^m 25,8 ^s , h=33 km; mb=4,7	
/SKM/	eL		16,2			/USCGS/	
	Lm		42	NIE	$\Delta=11,1^\circ$. Traces		
		NEZ: 1,6 ^s ; 2,0 ^s ; 1,6 ^s ; 0,8 μ		eP			20 12 06
		1,0 μ , 1,0 μ		ePP			17
NIE	$\Delta=15,8^\circ$			15.VIII		Sud de la Mer Ionienne, USCGS:	
eiP			22 11 30			36,5°N, 19,4°E, H=04 ^h 35 ^m 53 ^s ,	
eL			16,8			h=33 km; mb=4,5 /USCGS/	
13.VIII		Région de la Nouvelle Bretagne		NIE	$\Delta=12,7^\circ$		
		USCGS: 4,4°S, 152,5°E, H=22 ^h		eP			04 38 56
		15 ^m 09,6 ^s , h=29 km; mb=5,3		ePPP			39 16
		/USCGS/		eS			41 17
NIE	$\Delta=119,8^\circ$			15.VIII		Mer Tyrrhénienne, BCIS: 38,6°N,	
ePKP			22 34 01			15,2°E, H=07 ^h 06 ^m 28 ^s ; mb=4,5	
13.VIII		Région de l'île Ascension,				/USCGS/	
		USCGS: 7,0°S, 12,6°W, H=23 ^h 44 ^m		NIE	$\Delta=11,2^\circ$. Traces		
		11 ^s , h=28 km; mb=5,0 /USCGS/		eP			07 09 13
NIE	$\Delta=62,9^\circ$			ePP			26
eP			23 54 38				

Date	Station	Phase	G.M.T. h m s	Date	Station	Phase	G.M.T. h m s
15.VIII		Région de l'Hindou Kouch,		17.VIII		4,7 /USCGS/	
		USCGS: 36,3°N, 70,2°E, H=07 ^h 40 ^m		NIE	$\Delta=78,0^\circ$		
		28,7 ^s , h=189 km; mb=4,7 /USCGS/		eiP			14 43 40 C
	NIE	$\Delta=38,2^\circ$		epP			44 08
		eiP	07 47 33	17.VIII		Péninsule de Kenai, Alaska,	
15.VIII		Tibet, USCGS: 31,1°N, 93,7°E,				USCGS: 59,4°N, 151,4°W, H=22 ^h 42 ^m	
		H=09 ^h 21 ^m 02,3 ^s , h=33 km; mb=5,7				09,3 ^s , h=55 km; mb=5,0 /USCGS/	
		/USCGS/		KRA	$\Delta=70,9^\circ$		
	NIE	$\Delta=56,7^\circ$		/SKM/	eP		22 53 20
		iP	09 30 44,2		epP		33
		epP	56	18.VIII		Iles Riou-Kiou, USCGS: 27,8°N,	
		ei	31 25			127,7°E, H=03 ^h 35 ^m 40,5 ^s , h=94 km;	
	KRA	$\Delta=56,8^\circ$				mb=5,4 /USCGS/	
/SKM/	eP		09 30 45	KRA	$\Delta=79,3^\circ$		
/GW/	ipP		53	/SKM/	iP		03 47 38,8 D
	eiS		38 36	i			41
15.VIII				18.VIII		Local	
	NIE			NIE			
		eP	15 47 11			eiPg _Z	15 57 59,8 D
16.VIII		Région Nord de Sumatra, USCGS:				eiNEZ	58 06,0
		0,9°N, 98,9°E, H=19 ^h 18 ^m 57,6 ^s ,				F	59 00
		h=26 km; mb=5,6 /USCGS/		18.VIII			
	NIE	$\Delta=81,8^\circ$		KRA			
		eiP	19 31 17 D	/SKM/	eP		19 20 55,2
		eipP	36	19.VIII		Région frontière URSS-Afghani-	
		eiPP	34 24			stan, USCGS: 36,9°N, 71,5°E,	
	KRA	$\Delta=82,2^\circ$				H=01 ^h 34 ^m 43,5 ^s , h=127 km; mb=	
/SKM/	eP		19 31 18			4,9 /USCGS/	
/GW/	eS		41 22	NIE	$\Delta=38,7^\circ$		
	RAC	$\Delta=83,3^\circ$				eiP	01 41 57 D
/SK/	eP		19 31 24	19.VIII		Au large de la côte E de Hondo,	
17.VIII		Crête médiane de l'Océan Atlan-				Japon, USCGS: 40,8°N, 143,5°E,	
		tique, USCGS: 0,8°S, 21,1°W,				H=12 ^h 14 ^m 21,7 ^s , h=45 km; mb=4,8	
		H=12 ^h 49 ^m 08,9 ^s , h=40 km; mb=4,5				/USCGS/	
		/USCGS/		NIE	$\Delta=76,8^\circ$		
	NIE	$\Delta=61,2^\circ$. Traces				eP	12 26 12
		eP	12 59 23			epP	21
		epP	47	19.VIII		Région des Iles Philippines,	
17.VIII		Près de la côte de Hondo,				USCGS: 10,4°N, 126,0°E, H=15 ^h	
		Japon, USCGS: 39,4°N, 142,3°E,				26 ^m 08,5 ^s , h=58 km; mb=5,6	
		H=14 ^h 31 ^m 56,4 ^s , h=84 km; mb=				/USCGS/, MLH=5,6 /Kraków/	

Date	Station	Phase	G.M.T. h m s	Date	Station	Phase	G.M.T. h m s
19.VIII	KRA	$\Delta=92,3^\circ$		20.VIII	KRA	Lm	02 24 13
/suite/	/SKM/	eIP	15 41 12 C			N: 12^S ; $7,2\mu$	
	/GW/	ePP	44 55			Lm	17
		eSKKS	51 56			E: 12^S ; $3,3\mu$	
		eS	52 11		RAC	$\Delta=41,0^\circ$	
		Lm	16 24 09		/SK/	eP	02 09 48
		E: 16^S ; $2,4\mu$					
		Lm	19	21.VIII		Au large de la cote N de Sumatra,	
		N: 16^S ; $3,7\mu$				USCGS: $3,6^\circ N$, $95,8^\circ E$, $H=07^h 33^m$	
NIE		$\Delta=92,2^\circ$				$00,6^S$, $h=33$ km; $mb=5,9$ /USCGS/,	
		iP	15 41 12,0			MLH= $6,3$ /Kraków/	
		ePcP	14		NIE	$\Delta=77,8^\circ$	
		eipP	20			iP	07 44 56,4 C
		epPP	44 57			iPcP	45 10
WAR		$\Delta=90,8^\circ$				i	47 51
		eS	15 52 09			eS	54 44
						eSKS	55 05
					KRA	$\Delta=78,2^\circ$	
19.VIII		Iles Santa Cruz, USCGS: $12,4^\circ S$,			/SKM/	iP	07 44 58,3 C
		$166,6^\circ E$, $H=15^h 41^m 53,3^S$, $h=86$ km;			/GW/	ePP	47 54
		$mb=5,4$ /USCGS/				iS	54 47
NIE		$\Delta=134,0^\circ$				NE: $4,4^S$; $6,5\mu$, $0,7\mu$	
		eIP	16 01 02 C			e	57 14
		ePP	03 32			Lm	08 25 55
		ei	04 24			E: 18^S ; $8,2\mu$	
						Lm	26 05
19.VIII		Iles Tonga, USCGS: $20,5^\circ S$,				N: 18^S ; 13μ	
		$175,8^\circ W$, $H=18^h 38^m 36^S$, $h=110$ km;			RAC	$\Delta=79,3^\circ$	
		$mb=4,6$ /USCGS/			/SK/	eP	07 45/00/
NIE		$\Delta=148,6^\circ$				ePcP	20
		ePKP ₁	18 58 11		/M/	eIS	55 03
						eISKS	18
20.VIII		Région frontière Kazakstan-				N: 4^S ; $15,2\mu$	
		Sinkiang, USCGS: $45,3^\circ N$, $80,1^\circ E$				ePPS	56 15
		$H=02^h 02^m 05,2^S$, $h=33$ km; $mb=5,1$		21.VIII		Mer du Nord, BCIS: $57,0^\circ N$,	
		/USCGS/, MLH= $5,8$ /Kraków/				$5,0^\circ E$, $H=13^h 41^m 49^S$	
NIE		$\Delta=39,9^\circ$			NIE	$\Delta=12,1^\circ$	
		eP	02 09 39			eIP	13 44 39 C
		eIPPP	11 06			ePP	55
		i	19 06				
KRA		$\Delta=39,9^\circ$		22.VIII		Local	
/SKM/		iP	02 09 42,0 C		NIE	Traces	
		ePP	11 11			eP _{NEZ}	01 19 00,3
		eS	15 42			eZ	15,3
		eSS	18 25				

Date	Station	Phase	G.M.T. h m s	Date	Station	Phase	G.M.T. h m s
22.VIII	NIE	Traces		24.VIII		Iles Kouriles, USCGS: $43,5^\circ N$,	
		eP	05 19 31,5			$147,5^\circ E$, $H=03^h 21^m 17,6^S$, $h=70$ km;	
22.VIII		Région des Iles Sandwich du Sud,				$mb=5,4$ /USCGS/, $MPV=5,6$ /Nie-	
		USCGS: $60,8^\circ S$, $24,6^\circ W$, $H=13^h 02^m$			KRA	$\Delta=76,4^\circ$	
		$06,8^S$, $h=33$ km; $mb=6,1$ /USCGS/,			/GW/	eP	03 33 00
		MLH= $6,7$ /Kraków/			NIE	$\Delta=76,8^\circ$	
NIE		$\Delta=115,4^\circ$				iP	03 33 02,5 C
		ePKP	13 20 47			Pm	04
		e	21 44			Z: $1,2^S$; $0,060\mu$	
		Lm	14 08 44			iP	25
		E: $17,5^S$; 59μ				e/PP/	35 42
		Lm	48		RAC	$\Delta=77,0^\circ$	
		NZ: $17,5^S$; 38μ , 60μ			/M/	eP	03 33 04
KRA		$\Delta=115,9^\circ$				epP	28
/GW/		ePKP	13 20 46	24.VIII		Région des Iles Fidji, USCGS:	
		eSKS	27 38			$21,0^\circ S$, $179,4^\circ W$, $H=05^h 30^m 05^S$,	
		ePS	31 41			$h=672$ km; $mb=4,7$ /USCGS/	
		i	37 53	NIE		$\Delta=147,8^\circ$	
		Lm	14 11 24			iPKP ₁	05 48 38,7 C
		NE: 16^S ; 17^S ; $11,7\mu$, $12,1\mu$		24.VIII		Nouvelles Hébrides, USCGS:	
WAR		$\Delta=118,5^\circ$				$14,9^\circ S$, $166,9^\circ E$, $H=10^h 32^m 52,6^S$,	
		ePKP	13 20 58			$h=23$ km; $M=5,9$ /Strasbourg/	
		i	22 05		NIE	$\Delta=136,3^\circ$	
		iPS	32 00			ePKP	10 52 17
22.VIII		Région du Lac Baikal, USCGS:		24.VIII		Détroit du Mozambique, USCGS:	
		$56,2^\circ N$, $112,6^\circ E$, $H=23^h 12^m 18,9^S$,				$17,1^\circ S$, $40,3^\circ E$, $H=10^h 43^m 26^S$,	
		$h=22$ km; $mb=5,0$ /USCGS/				$h=33$ km; $mb=5,1$ /USCGS/	
NIE		$\Delta=52,3^\circ$			KRA	$\Delta=69,0^\circ$	
		eP	23 21 30		/GW/	eP	10 54 41
23.VIII		Pruhonica: explosion de 9 tonnes				e/S/	11 03 37
		$50^\circ 37' N$, $14^\circ 21' E$, $H=13^h 59^m 54^S$		24.VIII		Europe central, BCIS: $H=12^h$	
NIE		$\Delta=4^\circ 10'$				$30^m 10^S$	
		eZ	14 01 38		RAC		
RAC		Traces			/SK/	e	12 30 40
/SK/		NEZ	14 01-03			e	47
23.VIII		Local		25.VIII		NIE	Traces
NIE		Traces				eP	09 35 54
		eZ	16 01 58	25.VIII		NIE	
RAC		Traces				eP	12 32 12
/SK/		NEZ	16 01-03				

Date	Station	Phase	G.M.T. h m s	Date	Station	Phase	G.M.T. h m s
25.VIII		Iles aux Rats, Aléoutiennes, USCGS: 51,7°N, 177,2°E, H=15 ^h 03 ^m 25,1 ^s , h=37 km; mb=4,8 /USCGS/		27.VIII		34 ^m 52,6 ^s , h=24 km; mb=5,1 /USCGS/	
	NIE	$\Delta=77,6^\circ$			KRA	$\Delta=77,1^\circ$. Traces	
	eP	15 15 18			/SKM/	eP	13 46 43
	ePcP	34			NIE	$\Delta=77,8^\circ$	
					eP	13 46 47	
26.VIII		Ouest des Iles Carolines, USCGS: 12,2°N, 140,7°E, H=00 ^h 36 ^m 42,1 ^s , h=33 km; mb=6,1 /USCGS/, MLH=6,5 /Kraków/		27.VIII		Détroit des Moluques, USCGS: 0,5°N, 126,1°E, H=14 ^h 16 ^m 56,1 ^s , h=62 km; mb=5,4 /USCGS/	
	WAR	$\Delta=97,5^\circ$			NIE	$\Delta=99,9^\circ$. Traces	
	eIP	00 50 14			eP	14 30 39	
	eIPP	54 17		27.VIII		Valais, Suisse, BCIS: 46,5°N, 7,4°E, H=21 ^h 25 ^m 25 ^s	
	eISKs	01 00 52			KRA	$\Delta=9,0^\circ$. Traces	
	eIScS	01 49			/SKM/	eSg	21 30 18
	KRA	$\Delta=99,4^\circ$		27.VIII		Région des Iles Fidji, USCGS: 20,4°S, 178,1°W, H=22 ^h 10 ^m 11,6 ^s , h=545 km; mb=4,3 /USCGS/	
	/SKM/	eP	00 50 22 D		NIE	$\Delta=147,7^\circ$	
	/GW/	ePP	54 26		eIPKP	22 28 55	
		eSKs	01 01/00/	28.VIII			
		iS	02 02		NIE	eP	13 08 25,8
		eL	26,5	28.VIII			
		Lm	40 46		NIE	eP	15 33 47
		NE: 15 ^s ; 9,0 μ , 8,3 μ		28.VIII		Région de l'île Vancouver, USCGS: 50,4°N, 129,8°W, H=16 ^h 20 ^m 06,6 ^s , h=33 km; mb=5,1 /USCGS/	
	NIE	$\Delta=99,6^\circ$			NIE	$\Delta=77,6^\circ$. Traces	
	eIP	00 50 23 D			eP	16 32 05	
	ePcP	30		28.VIII		Iles du Dodécanèse, BCIS: 36,7°N, 26,8°E, H=17 ^h 36 ^m 40 ^s	
	ePP	54 24			NIE	$\Delta=13,3^\circ$	
	RAC	$\Delta=100,3^\circ$			eP	17 39 53 C	
	/SK/	eP	00 50 26	28.VIII		Pakistan, Moskva: 30,3°N, 69,9°E, H=18 ^h 34 ^m 44 ^s	
26.VIII		Région des Iles Samoa, USCGS: 15,4°S, 172,7°W, H=18 ^h 19 ^m 58,2 ^s , h=37 km; mb=5,0 /USCGS/			NIE	$\Delta=41,7^\circ$	
	KRA	$\Delta=144,2^\circ$			eP	18 42 31 C	
	/SKM/	ePKP	18 39 30				
	RAC	$\Delta=144,5^\circ$					
	/SK/	ePKP	18 39 32				
	NIE	$\Delta=144,7^\circ$					
	ePKP	18 39 32					
	i	42					
	i	40 08					
27.VIII		Région de l'île Vancouver, USCGS: 50,2°N, 130,0°W, H=13 ^h					

Date	Station	Phase	G.M.T. h m s	Date	Station	Phase	G.M.T. h m s
28.VIII		Sinkiang, Chine, USCGS: 36,5°N, 80,1°E, H=21 ^h 05 ^m 51,7 ^s , h=33 km; mb=4,7 /USCGS/		30.VIII		KRA	
	NIE	$\Delta=44,5^\circ$			/GW/	eS	04 40 28
	eIP	21 14 03 D			i	49 00	
	ePP	13			eL	54	
					Lm	58,0	
						NE: 10 ^s ; 40 μ , 11 μ	
28.VIII		Bordure Sud du Haut Atlas, BCIS: 31,3°N, 6,3°W, H=21 ^h 15 ^m 29 ^s ; MLH=4,4 /Pruhonice/			RAC	$\Delta=61,7^\circ$	
	NIE	$\Delta=26,8^\circ$			/SK/	eP	04 32 24
	eP	21 21 12			ei	28	
	KRA	$\Delta=27,0^\circ$. Traces			ePcP	33 10	
	/GW/	eP	21 21 15	30.VIII		Près de la côte de Hondo, Japon, USCGS: 36,2°N, 140,0°E, H=08 ^h 09 ^m 40,8 ^s , h=77 km; mb=4,7 /USCGS/	
29.VIII					NIE	$\Delta=79,6^\circ$	
	NIE	eIP	16 28 01		eIP	08 21 40	
30.VIII		Près de la côte de Hondo, Japon, USCGS: 35,6°N, 140,0°E, H=02 ^h 06 ^m 11,1 ^s , h=72 km; mb=4,7 /USCGS/		30.VIII		Province de Szechwan, Chine, USCGS: 31,6°N, 100,3°E, H=11 ^h 08 ^m 49,6 ^s , h=33 km; mb=5,1 /USCGS/	
	NIE	$\Delta=80,1^\circ$			NIE	$\Delta=60,5^\circ$	
	eP	02 18 13 C			eP	11 18 58 D	
30.VIII		Local			ei	19 02	
	KRA	eIPg _{NEZ}	02 40 33,3		KRA	$\Delta=60,6^\circ$	
	/SKM/	e _{NE}	40,0		/GW/	eP	11 19 00
	RAC	Traces			eS	27 18	
	/SK/	NEZ	02 40-43	30.VIII			
30.VIII		Province de Szechwan, Chine, USCGS: 31,7°N, 100,3°E, H=04 ^h 22 ^m 01,5 ^s , h=33 km; M=6 μ 9 /Pruhonice, Strasbourg/, MLH=6,9 /Kraków/			NIE	eP	12 15 26
	WAR	$\Delta=59,3^\circ$			i	54	
	eP	04 32 08		30.VIII		Iles Kouriles, USCGS: 45,4°N, 151,5°E, H=13 ^h 33 ^m 26,4 ^s , h=33 km; mb=5,5 /USCGS/	
	NIE	$\Delta=60,5^\circ$			KRA	$\Delta=76,2^\circ$	
	iP	04 32 15			/SKM/	eP	13 45 11
	i	56			/GW/	eS	54 48
	KRA	$\Delta=60,6^\circ$			eSKs	55 10	
	/GW/	eP	04 32 13,0 D		NIE	$\Delta=76,7^\circ$	
	/SKM/	i	18		iP	13 45 14,5 C	
	ePP	34 31			i	16	
						Z: 0,8 ^s ; 0,22 μ	
					eiPcP	26	
					i	46 37	

- 104 -

Date	Station	Phase	G.M.T. h m s	Date	Station	Phase	G.M.T. h m s
30.VIII	RAC /suite/ /SK/	$\Delta=76,8^{\circ}$ eiP	13 45 16	31.VIII	NIE	eiP ei	17 49 48,5 D 50 08,5
30.VIII		Iles Kouriles, USCGS: 45,3 ^o N, 151,4 ^o E, H=20 ^h 03 ^m 31,7 ^s , h=33 km; mb=4,5 /USCGS/ NIE $\Delta=76,8^{\circ}$		31.VIII		Iles Tonga, USCGS: 17,5 ^o S, 175,2 ^o W, H=18 ^h 53 ^m 25,2 ^s , h=277 km; mb=5,4 /USCGS/ KRA $\Delta=145,5^{\circ}$	
		eiP ePcP	20 15 20,5 D 40		/SKM/	eiPKP ₁ ePKP ₂	19 12 31 D 45
31.VIII		Luçon, Philippines, USCGS: 18,3 ^o N, 121,3 ^o E, H=13 ^h 38 ^m 50,7 ^s , h=99 km; mb=4,8 /USCGS/ NIE $\Delta=83,3^{\circ}$			RAC /SK/	$\Delta=145,9^{\circ}$ eiPKP ₁ ei ePKP ₂ epPKP	19 12 32 36 44 13 44
		eP	13 51 08		NIE	$\Delta=146,0^{\circ}$ ePKP ₁ i i	19 12 33 50 13 38
31.VIII		NIE					
		eP	16 42 42				
31.VIII		RAC /SK/					
		eP	17 49 46				

1967

SEPTEMBRE

1967

1.IX		Région de la Nouvelle Guinée, USCGS: 5,6 ^o S, 147,2 ^o E, H=03 ^h 31 ^m 10,5 ^s , h=182 km; mb=5,6 /USCGS/ NIE $\Delta=117,7^{\circ}$		1.IX	RAC /SK/	eNEZ	11 17 18
		iPKP	03 49 36,6 D	1.IX		Iles Kouriles, USCGS: 44,9 ^o N, 147,0 ^o E, H=22 ^h 42 ^m 01,8 ^s , h= 134 km; mb=5,4 /USCGS/ KRA $\Delta=75,1^{\circ}$	
1.IX		NIE			/SKM/	eiP ePcP	22 53 30 44
		Traces eP	08 52 34		/GW/	eS eSKS ePS	23 02 51 03 14 48
1.IX		Local, Pruhonice: e 11 17 46, eiSg 18 14,8 NIE			NIE	$\Delta=75,4^{\circ}$ iP ePcP	22 53 32,5 D 47
		ePGEZ e/SG/NEZ Lm _E Lm _{NZ}	11 17 00,5 10,5 21 24		RAC /SK/	$\Delta=75,6^{\circ}$ iP	22 53 33
	KRA /SKM/	eiP _{NEZ} eNEZ	11 17 02,9 19,4				

- 105 -

Date	Station	Phase	G.M.T. h m s	Date	Station	Phase	G.M.T. h m s	
2.IX		Région de l'Ile Jan Mayen, USCGS: 71,6 ^o N, 8,2 ^o W, H=03 ^h 16 ^m 13,9 ^s , h=33 km; mb=4,4 /USCGS/ NIE $\Delta=26,0^{\circ}$		4.IX	NIE	esPKP ₁ ePP	04 12 57 15 33	
		eiP ei	03 51 43,5 52 07		KRA /SKM/	$\Delta=156,6^{\circ}$ ePKP ₁ iPKP ₂ esPKP ₁	04 11 26 12 06 58	
3.IX		Kiou-Siou, Japon, USCGS: 31,0 ^o N, 129,8 ^o E, H=04 ^h 45 ^m 57 ^s , h=165 km; mb=4,6 /USCGS/ NIE $\Delta=78,5^{\circ}$		4.IX		Près de la côte de Kamtchatka, USCGS: 54,8 ^o N, 159,1 ^o E, H=19 ^h 30 ^m 13,7 ^s , h=182 km; mb=4,6 /USCGS/ NIE $\Delta=70,8^{\circ}$		
		eP	04 57 42			eP	19 41 10	
3.IX		Au large de la côte de Pérou, USCGS: 10,6 ^o S, 79,8 ^o W, H=21 ^h 07 ^m 30,8 ^s , h=38 km; mb=6,5 /USCGS/, MLH=6,8 /Kraków/ RAC $\Delta=103,2^{\circ}$		5.IX		Yougoslavie, BCIS: 45,7 ^o N, 14,2 ^o E, H=11 ^h 37 ^m 04 ^s NIE $\Delta=5,4^{\circ}$		
	/SK/	eP ePP ePPP	21 21 30 25 44 28 07			ePn ePg eiSn eiS ^x	11 38 26 54 39 38 52	
	KRA /GW/	$\Delta=104,3^{\circ}$ eiP iPP i eSKS Lm	21 21 32 25 50 26 38 32 19 22 01 57		RAC /SK/	$\Delta=5,0^{\circ}$ eSn eS ^x eSg	11 39 28 46 57	
		E: 23 ^s ; 32 μ Lm N: 22 ^s ; 22 μ	02 03	5.IX		Yougoslavie, BCIS: 45,7 ^o N, 14,2 ^o E, H=15 ^h 21 ^m 01 ^s RAC $\Delta=5,0^{\circ}$		
	NIE	$\Delta=104,5^{\circ}$ eP epP iPP ePPP	21 21 35 49 25 53 28 07		/SK/	eSg	15 23 58	
	WAR	$\Delta=105,0^{\circ}$ eP	21 21 36	6.IX		NIE	eP ei	02 53 39,6 49,1
4.IX		Iles Kermadec, USCGS: 31,4 ^o S, 179,4 ^o W, H=03 ^h 51 ^m 58,9 ^s , h=231 km mb=5,5 /USCGS/ NIE $\Delta=156,9^{\circ}$		6.IX		Région des Iles Kouriles, USCGS: 46,7 ^o N, 154,0 ^o E, H= 03 ^h 19 ^m 12 ^s , h=33 km; mb=4,8 /USCGS/ NIE $\Delta=76,4^{\circ}$		
		eiPKP ₁ ei iPKP ₂	04 11 27 C 39 58			eP ePcP	03 30 59 C 31 14	
				6.IX		Crète, BCIS: 35,1 ^o N, 23,2 ^o E, H=04 ^h 59 ^m 20 ^s		

Date	Station	Phase	G.M.T. h m s	Date	Station	Phase	G.M.T. h m s
6.IX	NIE	$\Delta=14,2^{\circ}$		7.IX		/USCGS/	
/suite/	eP		05 02 49	NIE	$\Delta=8,6^{\circ}$	eP	00 34 30,7
	eiPP		58				
	KRA	$\Delta=14,8^{\circ}$		7.IX		Mer des Célèbes, USCGS: 2,7 ⁰ N,	
/Ch/	eP		05 02 56			124,3 ⁰ E, H=07 ^h 12 ^m 36,6 ^s , h=274 km;	
	eiPP		03 04			mb=5,8 /USCGS/	
/GW/	eL		08,7	NIE	$\Delta=97,1^{\circ}$	eP	07 25 39 D
6.IX		Région des Iles Andreanov,		epP			26 42
		USCGS: 14,7 ⁰ N, 93,6 ⁰ E, H=07 ^h 30 ^m		ePP			29 40
		10,8 ^s , h=33 km; mb=5,6 /USCGS/					
	NIE	$\Delta=68,1^{\circ}$		KRA	$\Delta=97,2^{\circ}$	eP	07 25 39
	iP		07 41 10,2 D	/GW/	eP		07 25 39
	ipP		21	epP			26 49
	ePcP		35	ePP			29 48
	KRA	$\Delta=68,4^{\circ}$		1SKS			35 48
/Ch/	eiP		07 41 10,3 D	eS			36 38
	eipP		22	WAR	$\Delta=95,9^{\circ}$	1SKS	07 35 42
6.IX		Local		e1S			36 28
	NIE	Traces					
	ePg _{NEZ}		13 22 56,2	7.IX		Iles Kermadec, USCGS: 31,3 ⁰ S,	
	e _{NEZ}		23 04,7			179,6 ⁰ E, H=11 ^h 08 ^m 13,2 ^s , h=	
						430 km; mb=5,1 /USCGS/	
6.IX		Local		NIE	$\Delta=156,8^{\circ}$	ePKP ₁	11 27 18
	NIE			e1PKP ₂			48
	ePg _{NEZ}		13 42 31,7				
	e1Sg _{NEZ}		57,2	8.IX		Région frontière URSS-Afghanistan,	
						USCGS: 36,9 ⁰ N, 71,6 ⁰ E, H=00 ^h 28 ^m	
6.IX		Local				02,5 ^s , h=111 km; mb=5,0 /USCGS/	
	NIE			NIE	$\Delta=38,7^{\circ}$. Traces	eP	00 33 18
	eP		15 11 56,7				
6.IX		Iles aux Renard, Aléoutiennes,		8.IX		Albanie, BCIS: 40,9 ⁰ N, 20,2 ⁰ E,	
		USCGS: 52,6 ⁰ N, 168,5 ⁰ W, H=17 ^h				H=02 ^h 04 ^m 46 ^s ; M=4,7 /Athènes/	
		24 ^m 40,1 ^s , h=33 km; mb=4,8 /USCGS/		NIE	$\Delta=8,3^{\circ}$	iP	02 06 58,9 D
	NIE	$\Delta=78,4^{\circ}$		iPP			07 07
	iP		17 36 37,7 C	i			29
	epP		44	eS			08 36
6.IX		Région de la Nouvelle Bretagne,		KRA	$\Delta=8,9^{\circ}$	eP	02 07 06
		USCGS: 5,2 ⁰ S, 151,7 ⁰ E, H=19 ^h 44 ^m		/GW/	eP		02 07 06
		07,9 ^s , h=74 km; mb=5,1 /USCGS/		eS ^x			09 18
	NIE	$\Delta=120,0^{\circ}$. Traces		eL			09,5
	ePKP		20 02 52				
7.IX		Albanie, USCGS: 40,6 ⁰ N, 19,4 ⁰ E,					
		H=00 ^h 32 ^m 22 ^s , h=33 km; mb=4,4					

Date	Station	Phase	G.M.T. h m s	Date	Station	Phase	G.M.T. h m s
8.IX	RAC	$\Delta=9,1^{\circ}$		9.IX	KRA	1SS	10 38 50
/suite/	/SK/	eP	02 07 09		Lm		47 10
	eSn		08 47			E: 18 ^s ; 14,8 ^{μ}	
	eSS		09 02		Lm		12
						N: 13 ^s ; 7,1 ^{μ}	
8.IX		Grèce, BCIS: 38,6 ⁰ N, 21,3 ⁰ E, H=		WAR	$\Delta=108,1^{\circ}$	ePP	10 24 21
		09 ^h 51 ^m 37 ^s ; ML=4,0 /Athènes/				eiPPP	27 33
NIE		$\Delta=10,4^{\circ}$. Traces		eSKS			30 00
	eP		09 54 11	eiSP			33 04
KRA		$\Delta=11,0^{\circ}$. Traces		esSKS			53
/GW/	eP		09 54 23	eL			37,5
8.IX		Iles de la Reine Charlotte, USCGS		9.IX		Local	
		12,2 ⁰ N, 140,8 ⁰ E, H=22 ^h 37 ^m 39,5 ^s ,		NIE		Traces	
		h=27 km; mb=5,3 /USCGS/, MLH=6,2				ePg _{NEZ}	15 14 00
		/Kraków/				e _{NEZ}	12
KRA		$\Delta=99,5^{\circ}$		9.IX		Crête médiane de l'Océan Paci-	
/GW/	eP		22 51 20			fique Sud, USCGS: 54,8 ⁰ S,	
ePP			55 26			136,0 ⁰ W, H=16 ^h 52 ^m 01,3 ^s , h=33 km;	
ePPP			57 33			mb=5,4 /USCGS/	
eSKS			23 01 58	NIE	$\Delta=164,4^{\circ}$	ePKP ₁	17 12 04
eS			02 56			ePKP ₂	13 04
Lm			38 58				
		NE: 18 ^s ; 5,6 ^{μ} , 5,3 ^{μ}		11.IX		Région des Nouvelles Hébrides,	
NIE		$\Delta=99,6^{\circ}$				USCGS: 21,4 ⁰ S, 173,8 ⁰ E, H=01 ^h 22 ^m	
eP			22 51 22 C			43,7 ^s , h=32 km; mb=4,3 /USCGS/	
RAC		$\Delta=100,4^{\circ}$		NIE	$\Delta=145,2^{\circ}$. Traces	ePKP	01 42 17
/SK/	eP		22 51 24				
ePP			55 36	11.IX		Région des Iles Loyaute, USCGS:	
WAR		$\Delta=97,6^{\circ}$				21,4 ⁰ S, 169,7 ⁰ E, H=04 ^h 37 ^m 16,4 ^s ,	
eSKS			23 01 53			h=11 km; mb=5,0 /USCGS/	
eS			02 42	NIE	$\Delta=143,1^{\circ}$. Traces	ePKP	04 56 48
ePS			04 04				
9.IX		Argentine, USCGS: 27,7 ⁰ S, 63,1 ⁰ W,		11.IX		Algérie, BCIS: 36,3 ⁰ N, 3,0 ⁰ E,	
		H=10 ^h 06 ^m 44,1 ^s , h=578 km; mb=5,8				H=07 ^h 00 ^m 28 ^s	
		/USCGS/		NIE	$\Delta=18,0^{\circ}$	eP	07 04 41 C
NIE		$\Delta=106,4^{\circ}$					
eP			10 19 58	11.IX			
KRA		$\Delta=106,4^{\circ}$					
/GW/	eP		10 20 00				
eiPP			24 26				
eSKS			29 46				
ei			33 45				

- 108 -

Date	Station	Phase	G.M.T. h m s	Date	Station	Phase	G.M.T. h m s
11.IX	RAC	Traces		12.IX		Région de la Nouvelle Bretagne, USCGS: 5,5°S, 151,7°E, H=21 ^h 49 ^m 47,6 ^s , h=50 km; mb=5,2 /USCGS/	
/suite/	/SK/	NEZ	07 11-13		NIE	Δ=120,3°. Traces	22 08 34
11.IX		Région des Nouvelles Hébrides, USCGS: 21,3°S, 173,7°E, H=10 ^h 14 ^m 30,4 ^s , h=34 km; mb=4,8 /USCGS/		13.IX		Local	
	NIE	Δ=145,0°			NIE		
		ePKP	10 34 04			iP _Z	10 14 25,1
		eI	14			eS _{NEZ}	28,6
	KRA	Δ=144,8°. Traces				Lm	34,1
/Ch/		ePKP	10 34 05			NEZ: 0,7 ^s ; 0,7 ^s ; 1,0 ^s ; 0,137 μ	
	RAC	Δ=145,5°					0,091 μ, 0,08 μ
/SK/		ePKP	10 34 08			F	55
11.IX		Mongolie, USCGS: 45,0°N, 99,3°E, H=12 ^h 53 ^m 34,6 ^s , h=33 km; mb=4,8 /USCGS/		13.IX		Iles Proches, USCGS: 52,7°N, 172,5°E, H=18 ^h 41 ^m 15,4 ^s , h=34 km; mb=5,7 /USCGS/, mPV=5,9 /Niedzica/	
	NIE	Δ=51,6°			KRA	Δ=75,3°	
		eP	13 02 38	/SKM/		eIP	18 52 55 C
12.IX		Iles Kouriles, USCGS: 44,6°N, 149,8°E, H=02 ^h 43 ^m 33,1 ^s , h=25 km; mb=5,1 /USCGS/, mPV=5,8 /Niedzica/				eL	19 25,2
	KRA	Δ=76,3°			NIE	Δ=75,8°	
/Ch/		eIP	02 55 20 C			eIP	18 53 08 C
		ePoP	34			Z: 0,8 ^s ; 0,076 μ	
	NIE	Δ=76,7°				ePoP	15
		iP	02 55 23,3 C	14.IX		Région Sud de l'Iran, USCGS: 28,4°N, 57,1°E, H=14 ^h 49 ^m 41,9 ^s , h=33 km; mb=4,7 /USCGS/	
		ePoP	31		KRA	Δ=35,4°	
	RAC	Δ=76,9°		/SKM/		eIP	14 56 37 C
/SK/		eP	02 55 24	15.IX		Près de la côte E de Hondo, USCGS: 35,6°N, 140,4°E, H=00 ^h 28 ^m 39,8 ^s , h=59 km; mb=5,2 /USCGS/, mPV=5,2 /Niedzica/	
12.IX		Région de l'île Ascension, USCGS: 5,0°S, 11,5°W, H=11 ^h 31,3 ^s , h=33 km; mb=4,9 /USCGS/			NIE	Δ=80,3°	
	NIE	Δ=60,7°				eIP	00 40 43 C
		eP	11 21 43 C			Z: 1,0 ^s ; 0,02 μ	
12.IX		Grèce occidentale, BCIS: 39,0°N, 21,2°E, H=14 ^h 46 ^m 39 ^s ; ML=4,0 /Athènes/				epP	41 05
	NIE	Δ=10,2°				epPoP	11
		eP	14 49 11			esPP	43 52
		ePP	22		KRA	Δ=80,0°	
				/SKM/		eIP	00 40 43 C
				/GW/		iPoP	50
						eS	50 42

- 109 -

Date	Station	Phase	G.M.T. h m s	Date	Station	Phase	G.M.T. h m s
15.IX	KRA	eScS	00 51 03	16.IX	NIE	Δ=2°20'	
/suite/		ePS	33			eP _N NEZ	20 20 24,5
	RAC	Δ=80,7°				eP _N NEZ	26
	/SK/	eP	00 40 47			eNEZ	52
15.IX		Bhutan, USCGS: 27,4°N, 91,8°E, H=10 ^h 32 ^m 48,7 ^s , h=57 km; mb=5,8 /USCGS/, mPV=5,7 /Niedzica/				iS _N NE	54
	NIE	Δ=57,9°				F	21 30
		iP	10 42 38,0 C		KRA	Δ=2°23'	
		Z: 1,2 ^s ; 0,09 μ		/Ch/		eP _N NEZ	20 20 34
		i	44			eS _G NE	21 12
		eipP	56		RAC	Δ=1°44'	
	KRA	Δ=58,3°		/SK/		eS _N NEZ	20 20 46
/SKM/		eIP	10 42 38 C			eS _G NEZ	54
		eI	43	17.IX		Région des Iles Bonin, USCGS: 27,5°N, 142,4°E, H=01 ^h 09 ^m 08,4 ^s , h=33 km; mb=4,8 /USCGS/	
	RAC	Δ=59,2°			NIE	Δ=87,9°. Traces	
/SK/		eP	10 42 47			eP	01 21 57
15.IX		Local		17.IX		Iles Tonga, USCGS: 18,6°S, 175,0°W, H=01 ^h 21 ^m 52 ^s , h=200 km; mb=4,1 /USCGS/	
	NIE	Traces			NIE	Δ=147,1°. Traces	
		eP _G NEZ	13 30 31,4			ePKP	01 41 12
		F	31 20	17.IX		Chiapas, Mexique, USCGS: 17,2°N, 94,1°W, H=07 ^h 56 ^m 22,7 ^s , h=45 km; mb=5,2 /USCGS/	
16.IX		Taiwan, USCGS: 24,1°N, 120,7°E, H=23 ^h 57 ^m 30,1 ^s , h=50 km; mb=5,0 /USCGS/			NIE	Δ=92,2°	
	KRA	Δ=78,6°				eIP	08 09 29 D
/SKM/		eIP	00 09 28 C	18.IX		Ethiopie, USCGS: 15,7°N, 39,0°E, H=02 ^h 02 ^m 59,8 ^s , h=33 km; mb=4,8 /USCGS/	
		eIPoP	37		NIE	Δ=36,7°. Traces	
	NIE	Δ=78,6°				eP	02 10 07
		eP	00 09 28		KRA	Δ=37,4°	
		ePoP	38	/SKM/		eIP	02 10 13 C
16.IX		Kazakstan, URSS; BCIS: 49,8°N, 78,0°E, H=04 ^h 04 ^m 00 ^s ; mb=5,3 /USCGS/		18.IX		Hindou-Kouch, USCGS: 35,9°N, 70,4°E, H=08 ^h 26 ^m 36,7 ^s , h=140 km; mb=4,8 /USCGS/	
	KRA	Δ=36,7°			NIE	Δ=38,5°. Traces	
/SKM/		eIP	04 11 05 C			eP	08 33 48
	NIE	Δ=36,7°					
		iP	04 11 06,5 C				
		Z: 1,0 ^s ; 0,040 μ					
		i	11				
16.IX		Petites Carpathes, BCIS: 48,3°N, 17,1°E, H=20 ^h 19 ^m 46 ^s					

- 110 -

Date	Station	Phase	G.M.T. h m s	Date	Station	Phase	G.M.T. h m s
18.IX	NIE	Local		19.IX	RAC	Traces	
					/SK/	NEZ	09 02-04
		^e NEZ	12 56 55,2	19.IX		Région de Hokkaido, USCGS:	
		ei/Sg/NE	57 04,2			43,0°N, 145,2°E, H=10 ^h 56 ^m 08,6 ^s ,	
		F	30			h=84 km; mb=5,9 /USCGS/	
18.IX		Région Est de la Nouvelle Guinée,			WAR	$\Delta=73,5^\circ$	
		USCGS: 5,9°S, 146,6°E, H=15 ^h 33 ^m				1P	11 07 35,0 C
		06,3 ^s , h=39 km; mb=5,5 /USCGS/				ei	42
	NIE	$\Delta=117,6^\circ$				eipP	55
		ePKP	15 51 40			eiS	16 58
		ePP	53 09			1PPS	17 45
18.IX		Région des Iles Fidji, USCGS:			KRA	$\Delta=75,9^\circ$	
		20,7°S, 178,4°W, H=19 ^h 13 ^m 52,5 ^s ,			/Ch/	1P	11 07 47,0 C
		h=562 km; mb=4,0 /USCGS/			/GW/	1PcP	08 04
	NIE	$\Delta=147,1^\circ$. Traces				isPcP	40
		ePKP	19 32 35			1S	17 20
18.IX		Turquie, USCGS: 41,0°N, 30,2°E,				eSoS	48
		H=23 ^h 39 ^m 36 ^s , h=33 km; mb=4,4				ePPS	18 10
		/USCGS/			NIE	$\Delta=76,3^\circ$	
	NIE	$\Delta=10,7^\circ$. Traces				1P	11 07 49,5
		eP	23 42 03			1PcP	08 04
19.IX		Sud des Iles Fidji, USCGS: 24,7°S				e/PP/	10 24
		177,3°W, H=00 ^h 45 ^m 31 ^s , h=139 km;				eS	17 22
		mb=4,7 /USCGS/			RAC	$\Delta=76,6^\circ$	
	KRA	$\Delta=151,6^\circ$. Traces			/SK/	eP	11 07 51
	/SKM/	eiPKP ₁	01 05 09			ei	54
		eipPKP	49			Z: 1,5 ^s ; 1,1 μ	
	NIE	$\Delta=151,0^\circ$				ePcP	08 03
		ePKP ₁	01 05 04			epP	13
		eipPKP	49			ePP	10 44
	RAC	$\Delta=152,1^\circ$				eS	17 29
	/SK/	ePKP ₁	01 05 11	19.IX		Sud de Sumatra, USCGS: 1,6°S,	
19.IX		Près de la côte de Hondo, USCGS:				100,5°E, H=19 ^h 01 ^m 47,5 ^s , h=83 km;	
		37,3°N, 142,7°E, H=03 ^h 28 ^m 57 ^s ,				mb=5,0 /USCGS/	
		h=53 km; mb=4,9 /USCGS/			NIE	$\Delta=84,8^\circ$	
	NIE	$\Delta=79,9^\circ$				eiP	19 14 14
		eP	03 40 59			ePoP	30
		ePcP	41 11		KRA	$\Delta=85,1^\circ$	
19.IX		Local			/SKM/	eP	19 14 16 C
	NIE	Traces				ePcP	30
		eP ^g NEZ	09 02 29		RAC	$\Delta=86,3^\circ$	
					/SK/	eP	19 14 22

- 111 -

Date	Station	Phase	G.M.T. h m s	Date	Station	Phase	G.M.T. h m s
20.IX		Hondo, Japon, USCGS: 36,0°N,		20.IX	NIE	ei	10 50 57
		139,9°E, H=00 ^h 32 ^m 44,3 ^s , h=94 km;			KRA	$\Delta=156,5^\circ$	
		mb=4,9 /USCGS/			/SKM/	ePKP ₁	10 50 47
	KRA	$\Delta=79,4^\circ$				ePKP ₂	51 18
	/Ch/	eP	00 44 41 C		RAC	$\Delta=157,7^\circ$	
	NIE	$\Delta=79,7^\circ$			/SK/	ePKP ₁	10 50 50
		1P	00 44 43,1 C	20.IX		Nouvelles Hébrides, USCGS: 20,8°S,	
	RAC	$\Delta=80,2^\circ$				169,8°E, H=10 ^h 37 ^m 20,3 ^s , h=129 km;	
	/SK/	eP	00 44 46			mb=5,9 /USCGS/	
20.IX		Yougoslavie, BCIS: 44,2°N,			NIE	$\Delta=142,7^\circ$	
		17,7°E, H=06 ^h 09 ^m 11 ^s ; mb=4,2				eiPKP	10 56 35
		/USCGS/				ei	41
	KRA	$\Delta=5,8^\circ$				eiPKS	11 00 03
	/SKM/	eiPn	06 10 40,5	20.IX		Local	
	RAC	$\Delta=5,7^\circ$			NIE		
	/SK/	ePn	06 10 44			eP ^g NEZ	12 12 07,1
		ePP	49			^e NEZ	10,6
		eP ^m	57	20.IX		Local	
		eSn	11 51		NIE		
20.IX		Région des Iles Auckland,				eP ^g NEZ	13 59 33,6
		USCGS: 49,8°S, 163,4°E, H=09 ^h				ⁱ NEZ	36,6
		39 ^m 15,2 ^s , h=30 km; mb=6,1 /USCGS/				ei ⁱ NEZ	53,1
	NIE	$\Delta=156,2^\circ$		20.IX		Local, Pruhonice: ei 16 34 47 ,	
		ePKP ₁	09 59 06			eiSg 35 04,4	
		eiPKP	43		NIE		
		ePP	10 03 23			eP ^g NEZ	16 34 33,1
		ePcPPKP	09 44			^e NEZ	45,1
	WAR	$\Delta=156,3^\circ$				eiS ^g NEZ	35 02,1
		ePKP ₁	09 59 06	20.IX		Iles Kermadec, USCGS: 28,6°S,	
		eiPKP ₂	50			175,9°W, H=18 ^h 38 ^m 25 ^s , h=39 km;	
	KRA	$\Delta=156,5^\circ$				mb=5,0 /USCGS/	
	/SKM/	ePKP ₁	09 59 09		NIE	$\Delta=156,0^\circ$. Traces	
		ePP	10 03 23			ePKP	18 58 17
	RAC	$\Delta=157,7^\circ$		20.IX		Petites Carpathes, BCIS: 48,4°N,	
	/SK/	ePKP ₁	09 59 10			17,1°E, H=22 ^h 44 ^m 14 ^s ; M=2,5 /Pru-	
		ePKP ₂	53			honice/	
20.IX		Région des Iles Auckland,			RAC	$\Delta=1^\circ 38'$	
		USCGS: 49,8°S, 163,4°E, H=10 ^h			/SK/	ePn ^g NEZ	22 44 47
		30 ^m 53,4 ^s , h=19 km; mb=5,8				eP ^g NEZ	54
		/USCGS/				eSn ^g NEZ	45 11
	NIE	$\Delta=156,2^\circ$				eS ^g N	16
		ePKP ₁	10 50 45				

Date	Station	Phase	G.M.T. h m s	Date	Station	Phase	G.M.T. h m s
20.IX	NIE	$\Delta=2^{\circ}20'$		22.IX	KRA	$\Delta=76,3^{\circ}$	
/suite/	ePn _{NEZ}		22 44 54,1	/Ch/	e1P		10 29 43 C
	e1P _{NEZ}		45 00,1	/GW/	eS		39 24
	1S _{NE}		23		1SKS		47
	1Sg _{NEZ}		32,6		Lm		11 06 47
	e1 _{NEZ}		44,1			N: 16 ^s ; 11,6 μ	
	F		48,0		Lm		52
						E: 15 ^s ; 4,2 μ	
	KRA	$\Delta=2^{\circ}20'$		NIE	$\Delta=76,7^{\circ}$		
/SKM/	ePn _Z		22 44 55		e1P		10 29 46 C
	e1P _{NEZ}		45 01			Z: 0,7 ^s ; 0,277 μ	
	e1 _{NEZ}		18		ipP		58
	eSn _{ZZ}		28	RAC	$\Delta=76,9^{\circ}$		
	e1S _N		31	/SK/	eP		10 29 47
21.IX				22.IX		Iles Kouriles, USCGS: 44,3 ^o N, 149,4 ^o E, H=11 ^h 19 ^m 21,4 ^s , h=50 km; mb=4,4 /USCGS/	
	KRA			NIE	$\Delta=76,8^{\circ}$		
/SKM/	e1P		12 46 14,5		eP		11 31 09
	e1		21		e1		35
22.IX		Kazakstan, URSS; USCGS: 50,0 ^o N, 77,6 ^o E, H=05 ^h 03 ^m 57,9 ^s , h=0; mb= 5,3 /USCGS/, mPV=5,7 /Niedzica/ $\Delta=36,4^{\circ}$		22.IX		Iles Kouriles, USCGS: 44,4 ^o N, 149,4 ^o E, H=12 ^h 34 ^m 51,6 ^s , h=51 km; mb=4,8 /USCGS/	
NIE	1P		05 11 05,7 C	KRA	$\Delta=76,3^{\circ}$		
		Z: 0,7 ^s ; 0,074 μ		/Ch/	e1P		12 46 37 C
	e1		10		ePcP		51
22.IX		Crête médiane de l'Atlantique, USCGS: 0,7 ^o S, 20,1 ^o W, H=08 ^h 08 ^m 04,3 ^s , h=33 km; mb=5,3 /USCGS/ $\Delta=60,1^{\circ}$		NIE	$\Delta=76,8^{\circ}$		
RAC	eP		08 18 11		e1P		12 46 39
/SK/					ePcP		51
NIE	$\Delta=60,6^{\circ}$			RAC			
	eP		08 18 14	/SK/	eP		12 46 41
KRA	$\Delta=60,9^{\circ}$. Traces			23.IX		Région de Iles Fidji, USCGS: 21,8 ^o S, 179,7 ^o W, H=06 ^h 56 ^m 43,6 ^s , h=595 km; mb=5,4 /USCGS/	
/Ch/	eP		08 18 16 D	KRA	$\Delta=148,0^{\circ}$		
22.IX		Iles Kouriles, USCGS: 44,5 ^o N, 149,4 ^o E, H=10 ^h 17 ^m 59,9 ^s , h=60 km; mb=5,6 /USCGS/, mPV=6,5 /Nie- dzica/, MLH=6,3 /Kraków/ $\Delta=73,8^{\circ}$		/Ch/	1PKP ₁		07 15 23 D
WAR	1P		10 29 30,0 C		e1		28
	1S		39 02	NIE	$\Delta=148,4^{\circ}$		
	eL		39,8		1PKP ₁		07 15 24,8
						Z: 0,7 ^s ; 0,203 μ	
					1		30
					1PKP ₂		42,8

Date	Station	Phase	G.M.T. h m s	Date	Station	Phase	G.M.T. h m s
23.IX	NIE	epPKP ₁	07 17 46	25.IX		mb=5,0 /USCGS/ $\Delta=144,2^{\circ}$	
/suite/				NIE	ePKP		04 57 55
23.IX		Sud des Iles Fidji, USCGS: 22,1 ^o S, 179,6 ^o W, H=07 ^h 39 ^m 47,8 ^s , h=600 km; mb=4,6 /USCGS/ $\Delta=148,3^{\circ}$. Traces		25.IX		Traces	
KRA				NIE	eP		10 17 24
/Ch/	ePKP ₁		07 58 28	26.IX		Yougoslavie, BCIS: 41,7 ^o N, 21,3 ^o E, H=05 ^h 05 ^m 36 ^s ; mb=4,4 /USCGS/ $\Delta=7,5^{\circ}$	
NIE	$\Delta=148,7^{\circ}$			NIE	ePn		05 07 33
	1PKP ₁		07 58 29,8		e1		37
		Z: 1 ^s ; 0,043 μ			ePPP		49
	1		36		e/Sn/		08 59
23.IX		Local		KRA	$\Delta=8,2^{\circ}$. Traces		
NIE				/Ch/	ePn		05 07 42
	e1P _{NEZ}		13 19 33,3	/GW/	eSg		10 21
	eZ		36,8	26.IX			
	1Sg _{NE}		42,8	NIE			
	1NE		44,3		eP		07 58 35.2
24.IX				26.IX		Près de la côte du Chili, central, USCGS: 30,0 ^o S, 71,5 ^o W, H=16 ^h 11 ^m 23,9 ^s , h=55 km; M=6 ³ / ₄ /Pasadena/ $\Delta=113,2^{\circ}$	
NIE	Traces			NIE	ePKP		16 29 54
	eP		17 14 13	KRA	$\Delta=113,1^{\circ}$. Traces		
24.IX		Albanie, BCIS: 40,7 ^o N, 19,7 ^o E, H=22 ^h 11 ^m 16 ^s ; ML=4,4 /Athènes/ $\Delta=8,5^{\circ}$		/Ch/	ePKP		16 30 05
NIE					ePP		56
	e1P		22 13 26	/GW/	e1		38 38
	1		31		ePS		40 22
	ePP		35	27.IX		Crête, BCIS: 34,3 ^o N, 26,6 ^o E, H=07 ^h 24 ^m 27 ^s ; mb=4,7 /USCGS/ $\Delta=15,7^{\circ}$	
KRA	$\Delta=9,1^{\circ}$			NIE	eP		07 28 13
/SKM/	e1P		22 13 33		ePP		24
	ePP		46		ePPP		35
RAC	$\Delta=9,2^{\circ}$			KRA	$\Delta=16,5^{\circ}$. Traces		
/SK/	eP		22 13 35	/Ch/	eP		07 28 25
24.IX		Alpes Bergamasques, BCIS: 46,0 ^o N, 9,4 ^o E, H=22 ^h 27 ^m 46 ^s ; M=3,4 /Moxa/ $\Delta=7,1^{\circ}$			ePP		32
RAC				27.IX		Nevada, Uppsala: 37,0 ^o N, 116,0 ^o W, H=17 ^h 00 ^m 00 ^s ; mPV=5,9 /Niedzica/ 6,0 /Moxa/, 6,5 /Kraków/	
/SK/	eSn		22 31 10				
	eSg		32 08				
KRA	$\Delta=8,1^{\circ}$						
/SKM/	eSS		22 31 37				
	eSg		32 18				
25.IX		Iles Tonga, USCGS: 15,1 ^o S, 173,4 ^o W, H=04 ^h 38 ^m 26,2 ^s , h=63 km;					

- 114 -

Date	Station	Phase	G.M.T. h m s	Date	Station	Phase	G.M.T. h m s
27.IX	KRA /suite//SKM/	$\Delta = 85,2^\circ$ iP Pm	17 12 36,5 C 40	28.IX	KRA /Ch/	Traces e/P/Z	15 22 37
		Z: $1,4^S$; $0,47\mu$		28.IX	NIE	eP ei	15 41 12,1 25,6
	NIE	$\Delta = 85,9^\circ$ iP	17 12 41,5 C	28.IX		Golfe de l'Alaska, USCGS: $59,5^\circ N$, $147,1^\circ W$, $H=15^h 44^m 55,7^s$, $h=28$ km; mb=5,6 /USCGS/	
		Z: $1,5^S$; $0,146\mu$			KRA /SKM/	$\Delta = 70,6^\circ$ eP	15 56 08
28.IX		Région d'Alma Ata, USCGS: $42,0^\circ N$, $79,5^\circ E$, $H=02^h 53^m 48,4^s$, $h=33$ km; mb=4,8 /USCGS/, mPV=5,2 /Nie- dzica/			/GW/	eS ePS eL	16 05 20 52 23,0
	NIE	$\Delta = 41,1^\circ$ eP	03 01 30	29.IX		Tchécoslovaquie, BCIS: $49,0^\circ N$, $16,2^\circ E$, $H=08^h 59^m 28^s$	
		Z: $0,8^S$; $0,029\mu$			NIE	$\Delta = 2^\circ 50'$ ePn NEZ	09 00 11,1
		eipP 42 i 02 29			RAC /M/	Traces Z	09 00-02
	KRA /SKM/	$\Delta = 41,2^\circ$ eP	03 01 32	29.IX	NIE	eP	15 31 18,6
28.IX		Nouvelle Bretagne, USCGS: $6,6^\circ S$, $153,4^\circ E$, $H=04^h 56^m 56,3^s$, $h=44$ km mb=5,9 /USCGS/, MLH=6,8 /Kraków/		30.IX		Iles Riou Kiou, USCGS: $28,9^\circ N$, $129,9^\circ E$, $H=07^h 57^m 19,9^s$, $h=$ 32 km; mb=5,5 /USCGS/, MLH= 6,0 /Kraków/	
	KRA /SKM/	$\Delta = 122,0^\circ$ ePKP	05 15 48		KRA /Ch/	$\Delta = 80,1^\circ$ eP	08 09 27
		ePP 17 26			/GW/	eL	40,9
		eL 55 40				Lm	47 06
		Lm 59 20				NE: 13^S ; 14^S ; $4,3\mu$, $4,0\mu$ Lm 50 08	
		N: 30^S ; 25μ				NE: 13^S ; 12^S ; $3,6\mu$, $2,1\mu$	
		E: 30^S ; 21μ			RAC /SK/	$\Delta = 81,0^\circ$ eP	08 09 33
	NIE	$\Delta = 122,1^\circ$ eIPKP	05 15 49				
28.IX	NIE	eP	05 25 47				
28.IX		Local					
	NIE	e/Pg/NEZ	15 22 26				
		ei NE	30,1				
		ei SNE	34				
		F	25,0				

- 115 -

Date	Station	Phase	G.M.T. h m s	Date	Station	Phase	G.M.T. h m s
1967				1967			
1.X		Région des Iles Loyauté, USCGS: $22,7^\circ S$, $173,2^\circ E$, $H=02^h 36^m 24^s$, $h=33$ km; mb=4,4 /USCGS/		3.X	KRA /SKM/	$\Delta = 91,7^\circ$ eP	18 29 11
	NIE	$\Delta = 146,0^\circ$ ePKP	02 55 57		/GW/	eSKS eL Lm	39 48 59 43 19 10 16
		NE: 17^S ; $5,4\mu$, $6,1\mu$			NIE	$\Delta = 92,2^\circ$ eP	18 29 13
1.X		Iles Tonga, USCGS: $15,1^\circ S$, $174,1^\circ W$, $H=11^h 56^m 02,8^s$, $h=90$ km; mb=4,6 /USCGS/		4.X		Région des Iles Salomon, USCGS: $5,7^\circ S$, $153,9^\circ E$, $H=17^h 21^m 20,7^s$, $h=52$ km; M=6,9 /Moskva/	
	NIE	$\Delta = 144,6^\circ$. Traces ePKP	12 15 27		KRA /Ch/	$\Delta = 121,5^\circ$ ePKP	17 40 18
2.X		Région des Iles Fidji, USCGS: $21,0^\circ S$, $178,8^\circ W$, $H=00^h 12^m 52,8^s$, $h=604$ km; mb=5,8 /USCGS/		5.X		Région des Iles Ioniennes, BCIS: $37,7^\circ N$, $20,7^\circ E$, $H=12^h 00^m 49^s$; ML= 4,8 /Athènes/	
	KRA /SKM/	$\Delta = 147,6^\circ$ ePKP ₁	00 31 27 C		KRA	$\Delta = 12,1^\circ$ eP	12 03 47
		i 31			/Ch/	eL	07,8
		1PKP ₂ 35			/GW/	ePcS	13 05
	NIE	$\Delta = 147,9^\circ$ ePKP ₁	00 31 28 C		RAC /SK/	$\Delta = 12,3^\circ$. Traces ePP	12 04 00
		i 32		6.X		Crête médiane de l'Océan Indien, USCGS: $10,3^\circ S$, $66,4^\circ E$, $H=03^h 59^m 51^s$, $h=33$ km	
		1PKP ₂ 37			KRA /SKM/	$\Delta = 72,3^\circ$. Traces eP	04 11 15 C
		i 50		7.X		Iles Kouriles, USCGS: $49,2^\circ N$, $156,3^\circ E$, $H=08^h 28^m 01,2^s$, $h=33$ km; mb=5,3 /USCGS/, mPV=6,1 /Niedzica/	
		epPKP ₁ 33 51			KRA	$\Delta = 74,5^\circ$ eIP	08 39 36
	RAC /SK/	$\Delta = 148,2^\circ$ ePKP ₁	00 31 33		NIE	$\Delta = 74,9^\circ$ iP	08 39 38,5 C
		ePKP ₂ 40				Z: $0,8^S$; $0,111\mu$	
		i 50				ei	44
2.X		Région des Iles Salomon, USCGS: $6,7^\circ S$, $153,4^\circ E$, $H=14^h 54^m 08,4^s$, $h=27$ km; mb=5,3 /USCGS/		3.X		Iles Fidji, USCGS: $21,9^\circ S$, $179,5^\circ W$, $H=14^h 46^m 47^s$, $h=553$ km; mb=4,7 /USCGS/	
	NIE	$\Delta = 122,2^\circ$ iPKP	15 13 05,0		NIE	$\Delta = 140,6^\circ$ ePKP	15 05 31
3.X		Iles Fidji, USCGS: $21,9^\circ S$, $179,5^\circ W$, $H=14^h 46^m 47^s$, $h=553$ km; mb=4,7 /USCGS/		3.X		États-Unis central, USCGS: $10,9^\circ N$, $85,9^\circ W$, $H=18^h 16^m 03,2^s$, $h=21$ km; mb=5,8 /USCGS/, MLH= 6,2 /Kraków/	
	NIE	$\Delta = 140,6^\circ$ ePKP	15 05 31				
7.X		Iles Kouriles, USCGS: $49,2^\circ N$, $156,3^\circ E$, $H=08^h 28^m 01,2^s$, $h=33$ km; mb=5,3 /USCGS/, mPV=6,1 /Niedzica/					

- 116 -

Date	Station	Phase	G.M.T. h m s	Date	Station	Phase	G.M.T. h m s
7.X	KRA	$\Delta=74,4^\circ$. Traces		8.X	NIE	$\Delta=74,9^\circ$. Traces	
/suite/	/Ch/	eP	09 18 27			eP	21 31 24
	NIE	$\Delta=74,9^\circ$		9.X		Océan Atlantique du Nord, USCGS:	
		eiP	09 18 30			19,4°N, 46,2°W, H=08 ^h 27 ^m 05,4 ^s ,	
		epP	41			h=33 km; mb=4,9 /USCGS/	
7.X		Région des Iles Fidji, USCGS:			NIE	$\Delta=60,3^\circ$. Traces	
		17,3°S, 178,9°W, H=10 ^h 33 ^m 08,2 ^s ,				eP	08 37 13
		h=563 km; mb=4,9 /USCGS/			KRA	$\Delta=60,1^\circ$. Traces	
	KRA	$\Delta=144,2^\circ$		/SKM/		eP	08 37 13
	/Ch/	eiPKP ₁	10 51 40 C	9.X		Sud de la Bavière, BCIS: 47,8°N,	
		ePKP ₂	47			11,1°E, h=10 ^h 03 ^m 02 ^s	
	NIE	$\Delta=144,6^\circ$			RAC	$\Delta=5,1^\circ$	
		iPKP ₁	10 51 42,5 C	/SK/		eSn	10 05 28
		Z: 0,8 ^s ; 0,150 μ				eS ^x	42
		ePKP ₂	46			eL	06,0
		eSKP	54 31		NIE	$\Delta=6,3^\circ$	
7.X		Région de Kamchatka, USCGS:				eSS	10 06 05
		52,2°N, 160,4°E, H=14 ^h 36 ^m 59,5 ^s ,				eS ^x	16
		h=33 km; mb=4,4 /USCGS/, M=5			KRA	$\Delta=6,2^\circ$	
	/Moskva/			/SKM/		eSSS	10 06 14
	NIE	$\Delta=73,5^\circ$. Traces		/GW/		eSg	29
		eP	14 48 30	9.X		Kamchatka, USCGS: 54,1°N,	
8.X		Nouvelle Guinée, USCGS: 9,5°S,				155,1°E, H=14 ^h 10 ^m 57,4 ^s , h=393 km;	
		148,8°E, H=16 ^h 59 ^m 34,4 ^s , h=17 km;			KRA	$\Delta=69,8^\circ$	
		mb=5,5 /USCGS/, M=5 /Moskva/		/SKM/		iP	14 21 27,0 D
	NIE	$\Delta=121,8^\circ$. Traces		/GW/		eS	30 02
		ePKP	17 18 29				
8.X		Iles Salomon, USCGS: 5,6°S,			NIE	$\Delta=70,3^\circ$	
		154,0°E, H=18 ^h 08 ^m 18,1 ^s , h=70 km;				iP	14 21 30,5 D
		mb=5,1 /USCGS/, M=5,7 /Moskva/				ePP	23 01
	NIE	$\Delta=121,6^\circ$. Traces		9.X		Iles Fidji, USCGS: 21,1°S,	
		ePKP	18 27 04			179,3°W, H=17 ^h 21 ^m 49,5 ^s , h=654 km;	
8.X		Iles Kouriles, USCGS: 49,2°N,			WAR	$\Delta=145,1^\circ$. Tres forte ag.m1.	
		156,3°E, H=21 ^h 09 ^m 13,1 ^s , h=33 km;				iPKP ₁	17 40 16,0
		mb=4,7 /USCGS/				i	47 11
	NIE	$\Delta=74,9^\circ$			KRA	$\Delta=147,5^\circ$	
		eP	21 20 51 D	/SKM/		ePKP ₁	17 40 18 D
8.X		Iles Kouriles, USCGS: 49,3°N,		/GW/		iPKP ₂	24
		156,3°E, H=21 ^h 19 ^m 46,3 ^s , h=23 km;				eSKP	51
		mb=4,5 /USCGS/					

- 117 -

Date	Station	Phase	G.M.T. h m s	Date	Station	Phase	G.M.T. h m s
9.X	KRA	iPKP	17 42 46	10.X			
/suite/		iPKS	43 46		KRA	Traces	
		iSKKS	49 37	/Ch/		eP	15 19 11
	NIE	$\Delta=147,9^\circ$				i	17
		iPKP ₁	17 40 20,2	11.X		Local	
	RAC	$\Delta=148,1^\circ$			NIE	Traces	
/SK/		eiPKP ₁	17 40 21			ePg _{NEZ}	08 57 15,6
		i	33			eSg _{NEZ}	40
		Z: 2 ^s ; 25,8 μ		11.X		Local	
		iPKP ₂	45		NIE	Traces	
		Z: 2 ^s ; 21,5 μ				ePg _{NEZ}	12 49 15,1
		iPKP	42 55			e/Sg/NEZ	37,1
		iSKP	43 20			F	50,0
		Z: 2 ^s ; 14,1 μ		11.X		Local	
		eiSKS	46 56		NIE	Traces	
		eisPP	47 39			ePg _{NEZ}	14 18 43,1
9.X		Région des Iles Fidji, USCGS:				e/Sg/NEZ	58,6
		21,3°S, 179,3°W, H=18 ^h 33 ^m 08,2 ^s ,				F	18,2
		h=619 km; mb=5,1 /USCGS/		11.X		Hondo, Japon, USCGS: 30,4°N,	
	NIE	$\Delta=148,1^\circ$				142,6°E, H=15 ^h 52 ^m 16,8 ^s , h=32 km;	
		ePKP ₁	18 51 41			mb=5,5 /USCGS/	
		i	46		KRA	$\Delta=85,3^\circ$	
		ei	52	/SKM/		eP	16 04 52
	RAC	$\Delta=148,3^\circ$			NIE	$\Delta=85,6^\circ$	
/SK/		ePKP ₁	18 51 43			eiP	16 04 53 D
		ePKP ₂	56			ePcP	05 03
	KRA	$\Delta=147,7^\circ$			RAC	$\Delta=86,1^\circ$	
/SKM/		eiPKP ₁	18 51 45 D	/SK/		eP	16 04 53
10.X		Région des Iles Dentrecasteaux,		11.X		Traces	
		USCGS: 9,5°S, 155,1°E, H=03 ^h 01 ^m			NIE		
		47,7 ^s , h=33 km; mb=5,3 /USCGS/				eP	17 58 17,1
	NIE	$\Delta=125,4^\circ$		11.X			
		ePKP	03 20 48		NIE		
10.X		Hondo, Japon, USCGS: 36,9°N,				eiP	19 53 02,6
		141,0°E, H=06 ^h 46 ^m 58,5 ^s , h=25 km;				ei	11,1
		mb=5,0 /USCGS/		12.X		A l'Est de la Mer de Chine,	
	NIE	$\Delta=79,5^\circ$				USCGS: 28,3°N, 126,9°E,	
		eP	06 59 02 C				
10.X							
	KRA	Traces					
/Ch/		eiP	11 44 23,5				

- 118 -

Date	Station	Phase	G.M.T. h m s	Date	Station	Phase	G.M.T. h m s
12.X		H=03 ^h 50 ^m 03,4 ^s , h=225 km; mb=4,9		12.X	RAC	iPcP	13 04 28
/suite/		/USCGS/		12.X			
	NIE	$\Delta=79,0^\circ$			KRA		
		eP	04 01 44		/SKM/	eP	13 12 48,4 C
		ePcP	58	12.X			
		epP	02 40			Mer de Banda, USCGS: 7,1 ^o S, 129,8 ^o E, H=18 ^h 31 ^m 37,1 ^s , h=45 km; mb=6,2 /USCGS/	
12.X		Région des Iles Fidji, USCGS: 21,1 ^o S, 179,2 ^o W, H=06 ^h 35 ^m 06,7 ^s , h=636 km; M=6 /Pasadena/			KRA	$\Delta=108,2^\circ$. Traces	
	WAR	$\Delta=145,1^\circ$			/SKM/	ePdif	18 45 55 C
		iPKP ₁	06 53 36,0 D		/GW/	ePP	50 28
		ePKP ₂	46		NIE	$\Delta=108,0^\circ$	
		eisPKP	56 59			eiPdif	18 45 59
						epP	46 11
	KRA	$\Delta=147,6^\circ$				iPKP	50 02
	/SKM/	ePKP ₁	06 53 37 C			iPP	38
		i	41	13.X			
	NIE	$\Delta=147,9^\circ$				Chine, USCGS: 39,7 ^o N, 74,4 ^o E, H=03 ^h 24 ^m 47,0 ^s , h=33 km; mb=5,2	
		ePKP ₁	06 53 38 D		NIE	$\Delta=39,0^\circ$	
		eiPKP ₂	54 01			eP	03 32 11
		epPP	59 41	13.X			
	RAC	$\Delta=148,3^\circ$			NIE	Local	
	/SK/	ePKP ₁	06 53 38			ePg _{NEZ}	08 40 31,5
		ePKP ₂	54 03			eISg _{NEZ}	43,0
12.X		Local				eL _Z	41 02
	KRA	Traces		13.X			
	/Ch/	iPg _{NEZ}	12 20 59,0		NIE	Local	
		e _{NZ}	30 04,4			iPg _Z	09 09 51,5 C
		e/Sg/N	11,9			e/Sg/NEZ	10 04,5
12.X		Iles Kouriles, USCGS: 52,2 ^o N, 152,5 ^o E, H=12 ^h 53 ^m 46,9 ^s , h=476 km; mb=5,5 /USCGS/		13.X			
	KRA	$\Delta=70,7^\circ$			NIE	Local	
	/GW/	eiP	13 04 14			iPg _{NEZ}	12 53 17,5
						F	54 00
	NIE	$\Delta=71,1^\circ$		13.X			
		iP	13 04 16,0 D		KRA	Traces	
		ePcP	05 32		/Ch/	eiP	14 00 14,6
		ipPcP	06 42	13.X			
		isPcP	07 31			Hondo, Japon, USCGS: 36,5 ^o N, 138,2 ^o E, H=19 ^h 48 ^m 48,1 ^s , h=30 km; mb=4,6 /USCGS/	
		ePPP	08 48				
	RAC	$\Delta=71,2^\circ$					
	/SK/	iP	13 04 17,0				

- 119 -

Date	Station	Phase	G.M.T. h m s	Date	Station	Phase	G.M.T. h m s
13.X	NIE	$\Delta=78,5^\circ$		15.X			
/suite/		eP	20 00 47		KRA		
14.X					/SKM/	eP	08 39 04,6 D
		Petites Antilles, USCGS: 17,3 ^o N, 60,8 ^o W, H=03 ^h 31 ^m 04,5 ^s , h=29 km; mb=5,3 /USCGS/		15.X			
	KRA	$\Delta=71,0^\circ$				Chine, USCGS: 36,8 ^o N, 105,0 ^o E, H=21 ^h 43 ^m 55 ^s , h=55 km; mb=5,1	
	/SKM/	eP	03 42 22		NIE	/USCGS/, mPV=6,2 /Niedzica/ $\Delta=60,1^\circ$	
		eipP	34			eP	21 53 59 C
		ePcP	51			Z: 1 ^s ; 0,020 μ	
	NIE	$\Delta=71,3^\circ$		15.X			
		eP	03 42 27			Iles Tonga, USCGS: 17,6 ^o S, 173,2 ^o W, H=23 ^h 03 ^m 15,0 ^s , h=40 km; mb=4,6 /USCGS/	
		epP	36		KRA	$\Delta=146,2^\circ$	
14.X					/SKM/	ePKP	23 22 51
		Kenya, USCGS: 3,3 ^o S, 38,2 ^o E, H=23 ^h 29 ^m 30 ^s , h=33 km; mb=5,2			NIE	$\Delta=146,7^\circ$	
	NIE	$\Delta=54,5^\circ$				eiPKP	23 22 53 C
		eP	23 39 02	16.X			
	KRA	$\Delta=55,2^\circ$				Iles Vancouver, USCGS: 49,3 ^o N, 129,1 ^o W, H=13 ^h 27 ^m 35,6 ^s , h=33 km; mb=5,2 /USCGS/	
	/SKM/	eiP	23 39 06 D		KRA	$\Delta=77,8^\circ$	
15.X					/SKM/	eP	13 39 33
		Près de la côte du Nicaragua, USCGS: 11,9 ^o N, 86,0 ^o W, H=08 ^h 00 ^m 50,3 ^s , h=162 km; mb=6,2 /USCGS/			NIE	$\Delta=78,4^\circ$. Traces	
	RAC	$\Delta=89,9^\circ$				eP	13 39 34
	/SK/	eP	08 13 33	16.X			
		epP	14 10			Halmahera, USCGS: 1,7 ^o N, 127,5 ^o E, H=16 ^h 58 ^m 02 ^s , h=120 km; mb=5,6 /USCGS/	
		ePP	17 03		NIE	$\Delta=99,9^\circ$. Traces	
		epPP	33			eP	17 11 34
		ePPP	19 07			ei	12 12
	KRA	$\Delta=91,0^\circ$		16.X			
	/SKM/	eP	08 13 37			Région des Iles Mascareignes, USCGS: 17,3 ^o S, 66,6 ^o E, H=20 ^h 16 ^m 56,1 ^s , h=18 km; mb=5,2 /USCGS/	
		i	39		NIE	$\Delta=77,8^\circ$. Traces	
	/GW/	ipP	14 16			eP	20 28 53,5
		iPP	17 21		KRA	$\Delta=78,5^\circ$	
		eSKS	23 50		/SKM/	eiP	20 29 00 D
		e	25 34			eiPcP	08
	NIE	$\Delta=91,5^\circ$		16.X			
		eP	08 13 38			Iles Kouriles, USCGS: 43,9 ^o N, 150,1 ^o E, H=23 ^h 31 ^m 00 ^s , h=33 km; mb=4,3 /USCGS/	
		i	40				
		e	55				
		iPP	17 19				
		eSKKS	38 44				

- 120 -

Date	Station	Phase	G.M.T. h m s	Date	Station	Phase	G.M.T. h m s
16.X	KRA	$\Delta=77,0^\circ$		18.X	KRA	$\Delta=30,7^\circ$	
/suite/	/SKM/	eIP	23 42 49 C	/SKM/	eIP		01 17 55 C
		ePcP	43 01	NIE	$\Delta=31,4^\circ$		
	NIE	$\Delta=77,4^\circ$		iP			01 18 03,5
	eP		23 42 51	ei			56
	ePcP		43 03				
17.X		Kazakistan, URSS; USCGS: 49,8 ^o N, 78,1 ^o E, H=05 ^h 03 ^m 58,0 ^s , h=0 ; mb=5,7 /USCGS/, mPV=6,1 /Niedzica/		18.X		Région des Iles Tonga, USCGS: 18,0 ^o S, 172,8 ^o W, H=02 ^h 44 ^m 58,8 ^s , h=44 km; mb=4,4 /USCGS/	
	KRA	$\Delta=36,7^\circ$		NIE	$\Delta=147,2^\circ$. Traces		
/Ch/	eIP		05 11 07 D	ePKP			03 04 40
	ePP		12 28				
	NIE	$\Delta=36,7^\circ$		18.X		Région de Formose, USCGS: 23,7 ^o N, 122,9 ^o E, H=03 ^h 07 ^m 11,9 ^s , h=35 km; mb=5,1 /USCGS/	
	iP		05 11 08,6 C	KRA	$\Delta=80,1^\circ$. Traces		
	ei	Z: 0,7 ^s ; 0,190 μ	12 12	/Ch/	eP		03 19 20
				ePP			30
17.X		Région des Iles Fidji, USCGS: 21,2 ^o S, 179,1 ^o W, H=14 ^h 08 ^m 58,4 ^s , h=636 km; mb=4,8 /USCGS/		NIE	$\Delta=80,2^\circ$		
	NIE	$\Delta=148,1^\circ$		eP			03 19 19
	iPKP ₁		14 27 35,0 D				
	1	Z: 1,1 ^s ; 0,046 μ	40	18.X		Iles Riou-Kiou, USCGS: 25,6 ^o N, 128,7 ^o E, H=10 ^h 29 ^m 48,5 ^s , h=33 km; mb=5,2 /USCGS/	
				NIE	$\Delta=82,1^\circ$		
				eP			10 42 08
17.X		Iles Philippines, USCGS: 17,2 ^o N, 121,8 ^o E, H=21 ^h 05 ^m 22,5 ^s , h=33 km; mb=5,4 /USCGS/		18.X		Probablement explosion au Névéda Uppsala: 37,3 ^o N, 116,0 ^o W, H=14 ^h 30 ^m 00 ^s ; M=6,1 /Uppsala/	
	KRA	$\Delta=84,5^\circ$		KRA	$\Delta=84,9^\circ$		
/SKM/	eP		21 17 53	/Ch/	eP		14 42 37
	ePP		18 06	NIE	$\Delta=85,6^\circ$		
	NIE	$\Delta=84,4^\circ$		eP			14 42 38
	eP		21 17 54	e			48
	i		56	ePP			46 02
	ePP		18 04				
18.X		Mer du Groenland, USCGS: 79,8 ^o N, 2,4 ^o E, H=01 ^h 11 ^m 45 ^s , h=33 km; mb=5,7 /USCGS/		18.X		Région des Iles Kermadec, USCGS: 33,9 ^o S, 179,6 ^o W, H=22 ^h 06 ^m 23,5 ^s , h=26 km; mb=5,4 /USCGS/	
	RAC	$\Delta=31,8^\circ$		KRA	$\Delta=158,5^\circ$		
/SKM/	eP		01 17/52/	/SKM/	ePKP ₁		22 26 17
	ePP		19 02	NIE	$\Delta=158,8^\circ$		
	ePPP		14	ePKP ₁			22 26 18
	e		48	iPKP ₂			56

- 121 -

Date	Station	Phase	G.M.T. h m s	Date	Station	Phase	G.M.T. h m s
18.X		Nouvelles Hébrides, USCGS: 13,9 ^o S, 166,5 ^o E, H=23 ^h 35 ^m 11 ^s , h=87 km; mb=5,0 /USCGS/		21.X	RAC	$\Delta=28,4^\circ$	
	NIE	$\Delta=135,2^\circ$		/SK/	eP		05 05 57
	eIP		23 54 23,2	ePP			06 39
				eiPPP			58
				eiPPPP			07 08
20.X		Turquie, USCGS: 37,9 ^o N, 37,7 ^o E, H=06 ^h 47 ^m 38 ^s , h=33 km; mb=4,8 /USCGS/		21.X		Yougoslavie, BCIS: 43,0 ^o N, 17,1 ^o E, H=16 ^h 54 ^m 59 ^s ; mb=4,3 /USCGS/	
	NIE	$\Delta=16,8^\circ$		NIE	$\Delta=6,5^\circ$		
	eP		06 51 34	ePn			16 56 34
	ePP		49	ep ^m			55
	ePPP		52 03	ei			57 07
20.X		Turquie, BCIS: 38,4 ^o N, 38,6 ^o E, H=07 ^h 44 ^m 57 ^s		21.X		Région des Iles Fidji, USCGS: 24,8 ^o S, 177,3 ^o W, H=18 ^h 39 ^m 40,3 ^s , h=107 km; mb=4,6 /USCGS/	
	NIE	$\Delta=17,0^\circ$		RAC	$\Delta=152,2^\circ$. Traces		
	eP		07 49 03	/SK/	ePKP ₁		18 59 25
	ePPP		21	NIE	$\Delta=152,0^\circ$		
20.X		Local		ePKP ₁			18 59 26
	NIE			i			32
	eP _{NEZ}		12 56 11,3	epPKP ₂			19 00 05
	iS _{NEZ}		34,8				
	F		57,0	22.X		Traces	
20.X		Région des Iles Fidji, USCGS: 20,6 ^o S, 178,1 ^o W, H=15 ^h 56 ^m 33,4 ^s , h=556 km; mb=5,0 /USCGS/		NIE	eP		21 23 30,2
	RAC	$\Delta=148,0^\circ$. Traces					
	/SK/	ePKP ₁	16 15 14	22.X		Iles Tonga, USCGS: 18,0 ^o S, 174,8 ^o W, H=22 ^h 16 ^m 14,4 ^s , h=145 km; mb=4,5 /USCGS/	
	KRA	$\Delta=147,5^\circ$		NIE	$\Delta=146,6^\circ$		
	/Ch/	ePKP ₁	16 15 15	ePKP			22 37 39
		ePKP ₂	29				
21.X		Région de la Nouvelle Zemlye, USCGS: 73,4 ^o N, 54,8 ^o E, H=04 ^h 59 ^m 58,1 ^s , h=0 ; mb=5,9 /USCGS/		22.X		Iles Riou-Kiou, USCGS: 27,4 ^o N, 128,3 ^o E, H=23 ^h 04 ^m 14,2 ^s , h=34 km; mb=5,2 /USCGS/	
	WAR	$\Delta=25,5^\circ$		KRA	$\Delta=80,4^\circ$		
	eIP		05 05 30	/SKM/	iP		23 16 23,2 C
	ei		06 37	NIE	$\Delta=80,5^\circ$		
	ei		10 20	eP			23 16 25
	KRA	$\Delta=28,1^\circ$					
	/SKM/	iP	05 05 50,1 C	23.X		Iles Kouriles, USCGS: 43,4 ^o N, 146,9 ^o E, H=02 ^h 53 ^m 30,7 ^s , h=33 km; mb=5,0 /USCGS/	
	ei		11 04	NIE	$\Delta=76,6^\circ$		
	eL		14,6	eP			03 05 19
				eipP			30

- 122 -

Date	Station	Phase	G.M.T. h m s	Date	Station	Phase	G.M.T. h m s
23.X		Région des Iles Bonin, USCGS: 28,9°N, 139,1°E, H=08 ^h 27 ^m 06,2 ^s , h=463 km; mb=5,3 /USCGS/		25.X	KRA	Lm	01 42 04
	KRA	Δ=84,8°. Traces					NE: 9 ^s ; 23 μ, 10,4 μ
	/GW/	eP	08 38 50		NIE	Δ=79,2°	
		eS	48 36		eP		01 11 21,5 C
	NIE	Δ=85,1°			i		32
	iP		08 38 52,5		eiPP		14 25
	epP		40 27		iS		21 19
	isP		41 35		ePS		59
	RAC	Δ=85,7°			RAC	Δ=80,1°	
	/SK/	eP	08 38 56		/SK/	eP	01 11 26
					eL		39
					Lm		55
							NE: 14 ^s ; 26,3 μ, 29,4 μ
24.X		Iles Kermadec, USCGS: 31,3°S, 179,7°W, H=03 ^h 13 ^m 26,5 ^s , h=250 km; mb=5,4 /USCGS/		25.X		Région de Formose, USCGS: 24,3°N, 122,2°E, H=01 ^h 57 ^m 23,1 ^s , h=67 km; mb=5,3 /USCGS/	
	KRA	Δ=156,4°. Traces			KRA	Δ=79,3°. Traces	
	/SKM/	ePKP ₁	03 32 50		/SKM/	eP	02 09 23
	NIE	Δ=156,6°					
	ePKP ₁		03 32 51	25.X		Iles Aléoutiennes, USCGS: 51,4°N, 176,5°E, H=09 ^h 21 ^m 48,6 ^s , h=33 km; mb=4,8 /USCGS/	
24.X		Grèce, BCIS: 38,9°N, 21,8°E, H=06 ^h 14 ^m 39 ^s			NIE	Δ=77,8°	
	NIE	Δ=10,3°			eP		09 33 42
	eP		06 17 17	25.X		Proche	
24.X		Sumatra, USCGS: 3,1°S, 101,5°E, H=10 ^h 51 ^m 15,1 ^s , h=63 km; mb=5,5 /USCGS/			RAC		
	NIE	Δ=86,6°			/SK/	e	14 00 34
	eiP		11 03 53		e		43
	epP		04 11		NIE	Traces	
	ePP		07 16		e		14 00 42
					e		01 15,5
25.X		Région de Formose, USCGS: 24,5°N, 122,2°E, H=00 ^h 59 ^m 22,6 ^s , h=65 km; mb=6,0 /USCGS/, MLH=6,9 /Kraków/		26.X		Formose, USCGS: 24,5°N, 122,2°E, H=00 ^h 22 ^m 21,6 ^s , h=63 km; mb=5,6 /USCGS/	
	WAR	Δ=77,4°			NIE	Δ=79,2°	
	eP		01 11 13		eP		00 34 21
	iS		20 48		epP		35 40
	KRA	Δ=79,1°			KRA	Δ=79,1°	
	/GW/	eP	01 11 20		/SKM/	iP	00 34 21,3 D
		eiS	21 13		RAC	Δ=80,1°	
		eiL	40 05		/SK/	eP	00 34 26

- 123 -

Date	Station	Phase	G.M.T. h m s	Date	Station	Phase	G.M.T. h m s
26.X		Turquie, BCIS: 37,4°N, 29,1°E, H=04 ^h 55 ^m 40 ^s ; ML=5,2 /Athènes/		28.X		Crête médiane de l'Atlantique, USCGS: 24,9°N, 45,9°W, H=18 ^h 42 ^m 13,7 ^s , h=33 km; mb=5,1 /USCGS/	
	NIE	Δ=13,4°			KRA	Δ=56,0°. Traces	
	eP		04 58 53		/SKM/	eP	18 51 52
	iPP		59 03	30.X		Kazakstan, URSS; BCIS: 49,8°N, 78,0°E, H=06 ^h 04 ^m 00 ^s ; mPV=5,9 /Niedzica/, 5,6 /Moxa/	
	ePPP		09		NIE	Δ=36,7°	
	i		05 00 08		eiP		06 11 07 C
	RAC	Δ=14,9°					2: 0,7 ^s ; 0,11 μ
	/SK/	eiP	04 59 16		ei		20
	ePP		26		ei		12 12
	ePPP		33		KRA	Δ=36,7°. Traces	
	ePPPP		38		/Ch/	eP	06 11 07 D
26.X		Molucca, USCGS: 0,2°S, 125,2°E, H=17 ^h 22 ^m 05,3 ^s , h=42 km; mb=5,6 /USCGS/		31.X		Région des Iles Fidji, USCGS: 19,7°S, 177,3°E, H=10 ^h 14 ^m 43,8 ^s , h=40 km; mb=5,4 /USCGS/	
	KRA	Δ=100,0°			NIE	Δ=145,3°	
	/SKM/	eiP	17 35 47 C		iPKP ₁		10 34 18,1 D
	ePP		39 57		eiPKP ₂		26
	NIE	Δ=99,8°			RAC	Δ=145,6°	
	iP		17 35 46,7		/SK/	ePKP ₁	10 34 21
	ei		39 39	31.X		Sicile, BCIS: 38,0°N, 14,7°E, H=21 ^h 08 ^m 10 ^s , h=70 km; MLH=5,0 /Moxa/, 4,8 /Kraków/	
27.X		Vrancea, Carpathes, BCIS: 45,9°N, 26,7°E, H=07 ^h 59 ^m 53 ^s , h=130 km			NIE	Δ=11,9°	
	NIE	Δ=5,4°			eP		21 11 03
	eiPn		08 01 15,5		i		06
	i		17		iPPP		26
	ei		02 15		iPPPP		33
	KRA	Δ=6,0°			RAC	Δ=12,1°	
	/SKM/	eiPn	08 01 22,7 D		/SK/	eP	21 11 08
28.X		Local			ePP		20
	NIE	Traces			KRA	Δ=12,4°	
	ePg _{NEZ}		07 39 53,1		/SKM/	eiP	21 11 12 C
	e/Sg/NEZ		40 09		/GW/	eiPP	26
28.X		Local			ei		49
	NIE				Lm		17 02
	ePg _{NEZ}		10 05 34,0				NE: 12 ^s ; 10 ^s ; 5,2 μ, 2,6 μ
	ei _{NEZ}		55,5				
	F		07,0				

Date	Station	Phase	G.M.T. h m s	Date	Station	Phase	G.M.T. h m s
1967				1967			
N O V E M B R E							
1.XI	KRA	Sud des Iles Fidji, USCGS: 23,0°S 176,8°W, H=14 ^h 59 ^m 58,9 ^s , h=140 km; mb=5,3 /USCGS/ $\Delta=150,2^\circ$. Traces	15 19 34,2 D	1.XI	RAC	ePcP	19 29 41
/SKM/	1PKP ₁			2.XI	KRA	Mer du Groenland, USCGS: 73,2°N, 7,7°E, H=03 ^h 05 ^m 51 ^s , h=33 km; mb=4,3 /USCGS/ $\Delta=24,1^\circ$. Traces	03 11 06
NIE	$\Delta=150,6^\circ$			/SKM/	eP		
	1PKP ₁		15 19 35,3 D	RAC	$\Delta=23,9^\circ$		
	1		40	/SK/	eP		03 11 10
	ePKP ₂		51	NIE	$\Delta=24,8^\circ$		
RAC	$\Delta=150,7^\circ$			eP			03 11 11
/SK/	ePKP ₁		15 19 36	eipP			22
1.XI	NIE	Iles Kouriles, USCGS: 48,2°N, 154,4°E, H=16 ^h 09 ^m 16,7 ^s , h=47 km; mb=5,3 /USCGS/ $\Delta=75,2^\circ$	16 20 54 C	4.XI	NIE	Région de Formose, USCGS: 24,3°N, 122,2°E, H=05 ^h 07 ^m 18,0 ^s , h=76 km; mb=5,0 /USCGS/ $\Delta=79,3^\circ$	05 19 16
	eP			KRA	$\Delta=79,3^\circ$ Traces		
1.XI	NIE	Iles Kouriles, USCGS: 48,3°N, 154,4°E, H=16 ^h 30 ^m 57,1 ^s , h=40 km; mb=5,5 /USCGS/ mPV=5,6 /Niedzica/ $\Delta=75,2^\circ$	16 42 36 C	/Ch/	eP		05 19 16 D
	e1P			4.XI	Local		
	Z: 0,8 ^s ; 0,041 μ			KRA			
	epP		39	/Ch/	eiP _{NEZ}		08 57 13,9
	ePoP		51		ei _{NE}		21,4
RAC	$\Delta=75,2^\circ$			4.XI	NIE	Région des Iles Fidji, USCGS: 17,8°S, 179,0°W, H=10 ^h 17 ^m 14,7 ^s , h=573 km; M=6 ¹ / ₄ /Pasadena/ $\Delta=145,0^\circ$	10 35 47
/SK/	eP		16 42 38		ePKP ₁		38 37
1.XI	NIE	Région de la Nouvelle Guinée, USCGS: 4,8°S, 135,7°E, H=18 ^h 56 ^m 54,8 ^s , h=14 km; mb=5,8 /USCGS/ M=5 ¹ / ₂ /Moskva/ $\Delta=110,0^\circ$	19 15 28	KRA	$\Delta=144,6^\circ$		
	ePKP			/Ch/	1PKP ₁		10 35 48,6 C
1.XI	NIE	Hondo, Japon, USCGS: 37,1°N, 141,3°E, H=19 ^h 17 ^m 24,7 ^s , h=72 km; mb=4,7 /USCGS/ $\Delta=79,5^\circ$	19 29 24		1PKP ₂		55
	e1P			RAC	$\Delta=145,1^\circ$		
	ePcP		37	/SK/	1PKP ₁		10 35 51,0
RAC	$\Delta=79,9^\circ$				NEZ: 1 ^s ; 0,9 μ , 0,7 μ , 1,3 μ		
/SK/	eP		19 29 29		e1PKP ₂		54
				4.XI	NIE	Près de la côte E de Hondo, USCGS: 37,4°N, 141,6°E, H=13 ^h 26 ^m 47,7 ^s , h=46 km; mb=5,7 /USCGS/, MLH=6,1 /Kraków/	

Date	Station	Phase	G.M.T. h m s	Date	Station	Phase	G.M.T. h m s
4.XI	KRA	$\Delta=79,1^\circ$		4.XI	NIE	Lm	15 25 00
/suite/	/Ch/	eiP	13 38 48 C			E: 10 ^s ; 11,9 μ	
	/GW/	eS	48 44	4.XI	NIE		
		eL	14 06,6		e1P		16 15 12,7
	NIE	$\Delta=79,3^\circ$		4.XI	RAC	Région frontière Pérou-Equateur, USCGS: 2,8°S, 77,7°W, H=16 ^h 26 ^m 48,2 ^s , h=99 km; mb=6,0 /USCGS/ $\Delta=97,1^\circ$	
	1P		13 38 50,0	/SKM/	eP		16 40 11
	epP		39 03		epP		38
	ePP		41 49		ePP		44 05
	RAC	$\Delta=79,8^\circ$		/GW/	1SKS		50 41
	/SK/	eiP	13 38 52	NIE	$\Delta=97,3^\circ$		
4.XI		Région de Hokkaido, Japon, USCGS: 43,5°N, 144,1°E, H=14 ^h 30 ^m 37,5 ^s , h=30 km; mb=5,8 /USCGS/, MLH=6,7 /Kraków/ $\Delta=75,1^\circ$			eP		16 40 13
	KRA				epP		38
	/Ch/	eiP	14 42 18 C		ePP		44 06
	/GW/	ePcP	30	5.XI	NIE	Traces	
		e1S	51 56		eP		21 51 32,8
		eL	15 09	6.XI	NIE	Local	
		Lm	14 08		eiP _{NEZ}		03 59 29,8
		NE: 17 ^s ; 16 ^s ; 40 μ , 27,8 μ			eiS _{NEZ}		43,3
		Lm	20 30	7.XI	RAC	Région des Iles Samoa, USCGS: 14,9°S, 173,0°W, H=03 ^h 49 ^m 17,4 ^s , h=43 km; mb=5,6 /USCGS/ $\Delta=143,7^\circ$	
		NE: 12 ^s ; 11 ^s ; 20,9 μ , 10,1 μ		/Ch/	ePKP		04 08 46
	NIE	$\Delta=75,4^\circ$		RAC	$\Delta=143,9^\circ$		
	eiP		14 42/20/	/SK/	ePKP		04 08 48
	RAC	$\Delta=75,7^\circ$		NIE	$\Delta=144,1^\circ$		
	/SK/	eP	14 42 22		eiPKP ₁		04 08 48
		ePcP	38		eiPKP ₂		58
		eL	15 13	7.XI	NIE	Afghanistan, USCGS: 37,0°N, 71,7°E, H=19 ^h 57 ^m 26,1 ^s , h= 136 km; mb=5,3 /USCGS/ $\Delta=38,7^\circ$	
4.XI		Région de Hokkaido, Japon, USCGS: 43,5°N, 144,0°E, H=14 ^h 46 ^m 01,9 ^s , h=33 km; mb=5,4 /USCGS/ $\Delta=75,1^\circ$			eP		20 04 40
	KRA				ipP		05 18
	/Ch/	eiP	14 57 42 C		ePP		06 15
	NIE	$\Delta=75,4^\circ$					
		eP	14 57 43				
		epP	52				
		Lm	15 21 37				
		N: 10 ^s ; 11,9 μ					
		Lm	24 56				
		Z: 10 ^s ; 10,0 μ					

Date	Station	Phase	G.M.T. h m s	Date	Station	Phase	G.M.T. h m s
8.XI	Hondo, Japon, USCGS: 35,5°N, 140,8°E, H=01 ^h 56 ^m 15,1 ^s , h=56 km mb=4,3 /USCGS/ NIE Δ=80,5° eP		02 08 22	9.XI	NIE Δ=105,4° eP 1/PP/ e1		02 31 51 36 04 37 16
8.XI	Peninsule de l'Alaska, USCGS: 59,0°N, 150,2°W, H=02 ^h 41 ^m 34,1 ^s , h=34 km; mb=4,4 /USCGS/ NIE Δ=71,9° eP epP		02 52 54 53 03	9.XI	Péninsule de l'Alaska, USCGS: 54,8°N, 162,1°W, H=07 ^h 47 ^m 16,0 ^s , h=40 km; mb=4,7 /USCGS/ NIE Δ=76,4° eP		07 59 02
8.XI	Mer des Caraïbes, USCGS: 16,8°N 85,9°W, H=03 ^h 10 ^m 53,3 ^s , h=28 km; mb=5,4 /USCGS/ KRA Δ=87,2° /SKM/ eP NIE Δ=87,6° eP epP e1		03 23 37 03 23 40 52 24 18	9.XI	Méditerranée, BCIS: 35,5°N, 27,7°E, H=14 ^h 48 ^m 45 ^s , h=50 km; mb=5,7 /USCGS/ NIE Δ=14,7° eP ePP		14 52 20 33
8.XI	Iles Aléoutiennes, USCGS: 51,1°N 178,5°E, H=17 ^h 09 ^m 27,1 ^s , h=29 km; mb=5,3 /USCGS/ KRA Δ=77,8° /Ch/ eP RAC Δ=78,0° /SK/ eP NIE Δ=78,4° e1P epP		17 21 23 C 17 21 25 17 21 32 43	9.XI	Hondo, Japon, USCGS: 35,5°N, 140,1°E, H=18 ^h 19 ^m 35,0 ^s , h=68 km; mb=5,3 /USCGS/, mPV=5,4 /Niedzica/ KRA Δ=80,0° /Ch/ e1P ePcP NIE Δ=80,2° e1P Pm Z: 1,0 ^s ; 0,034 μ ipP i		18 31 37 C 44 18 31 38 C 39 59 32 37
8.XI	Iles Aléoutiennes, USCGS: 51,1°N 178,4°E, H=17 ^h 22 ^m 32,1 ^s , h=10 km; mb=5,2 /USCGS/ KRA Δ=77,8° /Ch/ eP NIE Δ=78,4° eP ePcP		17 34 30 17 34 34 45	9.XI	Iles Tonga, USCGS: 15,1°S, 173,2°W, H=20 ^h 11 ^m 32,1 ^s , h=65 km; mb=4,9 /USCGS/ NIE Δ=144,3° ePKP		20 31 00
9.XI	Mer de Banda, USCGS: 7,2°S, 123,6°E, H=02 ^h 18 ^m 45,5 ^s , h=560 km; mb=5,8 /USCGS/			10.XI	Iran, BCIS: 35 ³ / ₄ °N, 53 ³ / ₄ °E, H=02 ^h 50 ^m 52 ^s ; M=4,6 /Moskva/ NIE Δ=27,8° eP		02 56 46
				10.XI	Crête médiane de l'Atlantique, USCGS: 45,1°N, 28,1°W, H=04 ^h 40 ^m 15,0 ^s , h=33 km; mb=4,8 /USCGS/		

Date	Station	Phase	G.M.T. h m s	Date	Station	Phase	G.M.T. h m s
10.XI	NIE Δ=32,7° /suite/ eP	Traces	04 46 46	11.XI	RAC /SK/	Traces NEZ	11 21-23
10.XI	NIE Δ=32,9° eP	Crête médiane de l'Atlantique, USCGS: 44,8°N, 28,1°W, H=05 ^h 50 ^m 27,6 ^s , h=33 km; mb=4,7 /USCGS/	05 56 58	11.XI	NIE	Local e1Pg _{NEZ} e1Sg _{NE}	11 30 48,5 59,0
10.XI	KRA /Ch/ e1PKP ₁ ePKP ₂	Région des Iles Fidji, USCGS: 18,0°S, 178,5°W, H=13 ^h 11 ^m 18,1 ^s , h=592 km; mb=5,0 /USCGS/ Δ=145,0° Traces	13 29 50 C 30 12	11.XI	NIE	Crête médiane Indienne, USCGS: 6,0°S, 71,4°E, H=11 ^h 55 ^m 55,6 ^s , h=37 km; mb=5,6 /USCGS/ Δ=70,6° eP ePcP	12 07 10 34
	NIE Δ=145,4° iPKP ₁ iPKP ₂		13 29 51,5 30 08	11.XI	KRA /Ch/ eP	Iles Chagos, USCGS: 6,0°S, 71,3°E, H=12 ^h 14 ^m 57,3 ^s , h=34 km; mb=5,7 /USCGS/ Δ=70,6° eP e1PcP	12 26 10 D 34
	RAC /SK/ ePKP ₁		13 29 52	11.XI	NIE	Iles Chagos, USCGS: 6,1°S, 71,4°E, H=18 ^h 00 ^m 00,7 ^s , h=33 km; mb=5,7 /USCGS/ Δ=70,7° eP	18 11 14 C
10.XI	NIE Δ=70,6° eP ePcP	Crête médiane Indienne, USCGS: 6,0°S, 71,4°E, H=18 ^h 38 ^m 37,6 ^s ; mb=5,4 /USCGS/ Δ=70,6°	18 49 52 50 22	11.XI	KRA /SKM/ eP	Iles Chagos, USCGS: 6,0°S, 71,3°E, H=20 ^h 18 ^m 11,1 ^s , h=20 km; mb=5,4 /USCGS/ Δ=71,2° Traces	20 29 29
	KRA /Ch/ eP		18 49 58	12.XI	KRA /Ch/ e1P NIE Δ=76,5° iP Z: 1,0 ^s ; 0,054 μ e1PcP epP	Iles Kouriles, USCGS: 44,8°N, 149,8°E, H=02 ^h 27 ^m 16,6 ^s , h=41 km; mb=5,5 /USCGS/, mPV=5,6 /Niedzica/ Δ=76,2° e1P Δ=76,5° iP Z: 1,0 ^s ; 0,054 μ e1PcP epP	02 39 00 C 02 39 03,5 C 15 22
10.XI	NIE Δ=76,1° e1P	Iles Kouriles, USCGS: 45,3°N, 149,8°E, H=20 ^h 48 ^m 25,7 ^s , h=95 km; mb=4,8 /USCGS/	21 00 04 C				
11.XI	KRA /SKM/ eP	Uganda, USCGS: 2,0°N, 31,5°E, H=02 ^h 28 ^m 45,8 ^s , h=33 km; mb=5,1 /USCGS/ Δ=48,6° Traces	02 37 29 C				
11.XI	NIE Δ=4°08' eZ	Tchécoslovaquie, explosion de 30,8 tonnes, Pruhonice: 50°35,2'N, 14°03,2'E, Δ=4°08'	11 21 47,5				

Date	Station	Phase	G.M.T. h m s	Date	Station	Phase	G.M.T. h m s
12.XI	RAC /suite/ /SK/	$\Delta=76,7^\circ$ eP	02 39 04	13.XI	NIE	e	14 13 48
12.XI	NIE	Local Traces ePg _{NEZ} e _{NEZ}	10 34 33,5 53,5	14.XI		Inde, USCGS: 24,0°N, 91,5°E, H=00 ^h 04 ^m 17,8 ^s , h=33 km; mb=5,1 /USCGS/ NIE $\Delta=60,1^\circ$ eP	00 14 25,7
12.XI	KRA /Ch/	Région des Iles Tonga, USCGS: 17,2°S, 172,0°W, H=10 ^h 36 ^m 52,0 ^s , h=34 km; M=6-6 ¹ / ₄ /Pasadena/ $\Delta=146,1^\circ$ e1PKP ₁ e1	10 56 29 C 40	14.XI		Iles Tonga, USCGS: 18,0°S, 175,2°W, H=19 ^h 44 ^m 45,6 ^s , h=255 km; mb=4,4 /USCGS/ NIE $\Delta=146,5^\circ$ 1PKP	20 03 58 C
	RAC /SK/	$\Delta=146,4^\circ$ ePKP ₁ e	10 56 32 42	15.XI		Chili, USCGS: 28,7°S, 71,2°W, H=21 ^h 31 ^m 51,5 ^s , h=15 km; mb=6,2 /USCGS/ KRA $\Delta=112,0^\circ$ /SKM/ ePKP	21 50 28
	NIE	$\Delta=146,6^\circ$ 1PKP ₁ e e1	10 56 32,5 42 57 24		KRA /GW/	ePP ePS eL	51 18 22 00 47 32,8
12.XI	NIE	Local Traces ePg _{NEZ}	11 16 47,5		NIE	$\Delta=112,1^\circ$ ePKP ePP ePKKP	21 50 28 51/16/ 22 01 18
12.XI	NIE	Région des Iles Loyauté, USCGS: 22,8°S, 170,7°E, H=17 ^h 24 ^m 31,9 ^s , h=26 km; mb=5,1 /USCGS/ $\Delta=144,8^\circ$ ePKP	17 44 08	10.XI		Région des Iles Fidji, USCGS: 20,7°S, 178,8°W, H=16 ^h 31 ^m 04 ^s , h=591 km; mb=4,5 /USCGS/ NIE $\Delta=146,6^\circ$ ePKP ₁ ePKP ₂	16 49 43 47
	RAC /SK/	$\Delta=145,5^\circ$ ePKP	17 44 08		KRA /GW/	$\Delta=52,1^\circ$ eP eS	05 08 03 15 25
12.XI	NIE	Région des Iles Fidji, USCGS: 25,2°S, 177,2°W, H=21 ^h 59 ^m 50,7 ^s , h=225 km; mb=4,9 /USCGS/ $\Delta=152,4^\circ$ ePKP	22 19 22	17.XI		Crête médiane de l'Atlantique, BCIS: 28 ¹ / ₂ °N, 43 ³ / ₄ °W, H=04 ^h 58 ^m 53 ^s ; mb=5,2 /USCGS/ KRA $\Delta=52,1^\circ$ /GW/ eP NIE $\Delta=52,3^\circ$ eP	05 08 03 15 25 05 08 08
	KRA /Ch/	$\Delta=152,1^\circ$. Traces ePKP	22 19 22 D			Iles Salomon, USCGS: 6,3°S, 154,8°E, H=09 ^h 19 ^m 21,0 ^s , h= 60 km; mb=5,1 /USCGS/ 17.XI	
13.XI	NIE	eP e1	14 12 28 36				

Date	Station	Phase	G.M.T. h m s	Date	Station	Phase	G.M.T. h m s
17.XI	NIE /suite/	$\Delta=122,6^\circ$ ePKP	09 38 33	19.XI	RAC	e _{NZ} F	10 09 20 11
17.XI		Iles Nouvelles Hébrides, USCGS: 13,7°S, 167,3°E, H=10 ^h 10 ^m 04,7 ^s , h=215 km; mb=4,5 /USCGS/ NIE $\Delta=135,4^\circ$ ePKP	10 29 01		KRA /SKM/	e1Pg _{NEZ} eSg _{NEZ}	10 08 48,5 D 09 04,7
18.XI		Méditerranée, BCIS: 35,0°N, 23,0°E, H=02 ^h 31 ^m 32 ^s ; MLH=5,1 /Strasbourg/, ML=4,7 /Athènes/ NIE $\Delta=14,2^\circ$ eP ePPP	02 34 56 35 27	19.XI		Près de la côte de Hondo, USCGS: 36,4°N, 141,1°E, H=12 ^h 06 ^m 59,5 ^s , h=41 km; mb=5,5 /USCGS/, MLH= 6,0 /Kraków/, mPV=5,6 /Niedzica/ $\Delta=79,8^\circ$ KRA /Ch/ /GW/	12 19 04 C 11 22 02 57 53 NE: 15 ^s ; 3,6 μ , 3,9 μ
	KRA /GW/	$\Delta=15,0^\circ$ eL	02 40,5		NIE	$\Delta=81,0^\circ$ 1P	12 19 05,2 C
18.XI		Crête, USCGS: 35,3°N, 23,0°E, H=03 ^h 33 ^m 34 ^s , h=33 km; mb=4,3 /USCGS/ NIE $\Delta=14,0^\circ$ eP ePPP	03 37 02,9 20,		RAC /SK/	$\Delta=80,4^\circ$ e1P e	12 19 08 20 05
18.XI	NIE	Traces eP e	22 50 46 52	19.XI		Région des Iles Loyauté, USCGS: 22,6°S, 170,9°E, H=17 ^h 29 ^m 20,9 ^s , h=33 km; mb=5,2 /USCGS/ NIE $\Delta=144,7^\circ$ e1PKP	17 48 55
19.XI		Albanie, USCGS: 41,1°N, 20,5°E, H=01 ^h 30 ^m 25 ^s , h=32 km; mb=4,3 /USCGS/ NIE $\Delta=8,0^\circ$ eP ePPP	01 32 25 40		RAC /SK/	$\Delta=145,4^\circ$ ePKP	17 48 57
19.XI		Région frontière Tchécoslovaquie -Pologne NIE e1Pg _{NEZ} e1/Sg/NEZ e _{NEZ} F	10 08 43,8 50 09 28,9 09,7		KRA /GW/	$\Delta=144,5^\circ$. Traces ePKP	17 48 53
	RAC /SK/	e _{NEZ} e _{NZ}	10 08 46 09 03	20.XI		Mer d'Okhotsk, USCGS: 51,2°N, 151,3°E, H=10 ^h 15 ^m 43,0 ^s , h= 426 km; mb=4,7 /USCGS/ NIE $\Delta=71,6^\circ$. Traces e1P e	10 26 20 D 28 35
				20.XI		Mer d'Okhotsk, USCGS: 32,0°N, 140,9°E, H=10 ^h 48 ^m 31,8 ^s , h= 65 km; mb=5,0 /USCGS/. mPV=5,5 /Niedzica/	

- 130 -

Date	Station	Phase	G.M.T. h m s	Date	Station	Phase	G.M.T. h m s
20.XI	NIE	$\Delta = 83,4^{\circ}$		22.XI	NIE	e1	15 40 10
/suite/		eiP	11 00 54	KRA	$\Delta = 144,6^{\circ}$. Traces		
		Z: 1° ; $0,043\mu$		/Ch/	ePKP	15 39 01	
		eipP	01 03		epPKP	18	
	KRA	$\Delta = 83,2^{\circ}$		RAC	$\Delta = 145,4^{\circ}$		
/SKM/		iP	11 00 52,4 C	/SK/	ePKP	15 39 02	
		e	01 10				
	RAC	$\Delta = 84,0^{\circ}$. Traces		23.XI	Golfe d'Aden, USCGS: $14,5^{\circ}$ N,		
/SK/		eP	11 00 56		$52,1^{\circ}$ E, $H=08^{\text{h}}35^{\text{m}}49,5^{\text{s}}$, $h=3$ km;		
					mb=5,8 /USCGS/, MLH=6,4 /Nie-		
20.XI		Proche			dzica/, $5,5$ /Kraków/		
	NIE	Traces		NIE	$\Delta = 43,2^{\circ}$		
		eP	14 11 46,6		eiP	08 43 56	
		e	12 01,6		ei	45 58	
					iS	50 33	
21.XI		Mer de Norvege, USCGS: $72,7^{\circ}$ N,			iSSS	54 15	
		$8,5^{\circ}$ E, $H=17^{\text{h}}02^{\text{m}}25,0^{\text{s}}$, $h=33$ km;			Lm	09 09 32	
		mb=5,5 /USCGS/			E: 12° ; $21,4\mu$		
	KRA	$\Delta = 23,5^{\circ}$			Lm	43	
/GW/		eP	17 07 32		Z: 14° ; $28,3\mu$		
		ePPP	08 05		Lm	58	
		iS	11 47		N: 11° ; $20,6\mu$		
	RAC	$\Delta = 23,3^{\circ}$		KRA	$\Delta = 43,9^{\circ}$		
/SK/		eP	17 07 33	/SKM/	eP	08 44 02	
		ei	47		i	10	
		ePP	08 00		iPP	45 43	
/M/		ePPP	06		ei	46 02	
		ePPPP	10		eS	50 34	
	NIE	$\Delta = 24,2^{\circ}$			Lm	09 05 35	
		eiP	17 07 37 C		NE: 10° ; $8,5^{\circ}$; $27,1\mu$, $11,0\mu$		
		i	43	RAC	$\Delta = 44,8^{\circ}$		
		i	58	/SK/	eP	08 44 10	
		ePPP	08 20		ePcP	45 45	
		eS	12 00		eL	56	
22.XI		Région des Iles Loyauté		23.XI	Région du Spitsberg, USCGS:		
		USCGS: $23,2^{\circ}$ S, $171,7^{\circ}$ E, $H=03^{\text{h}}25^{\text{m}}$			$80,2^{\circ}$ N, $1,0^{\circ}$ W, $H=13^{\text{h}}42^{\text{m}}01,6^{\text{s}}$,		
		$33,1^{\circ}$, $h=58$ km; mb=4,6 /USCGS/			$h=10$ km; mb=5,8 /USCGS/		
	NIE	$\Delta = 145,7^{\circ}$. Traces		RAC	$\Delta = 31,1^{\circ}$		
		ePKP	03 45 06	/SK/	eP	13 48 20	
					e	28	
22.XI		Région des Iles Loyauté, USCGS:		/M/	ePP	49 19	
		$22,7^{\circ}$ S, $170,9^{\circ}$ E, $H=15^{\text{h}}19^{\text{m}}26,8^{\text{s}}$,		/SK/	ePPP	33	
		$h=42$ km; mb=5,2 /USCGS/		/M/	eL	14 01	
	NIE	$\Delta = 144,8^{\circ}$					
		ePKP	15 39 00				

- 131 -

Date	Station	Phase	G.M.T. h m s	Date	Station	Phase	G.M.T. h m s
23.XI	KRA	$\Delta = 31,4^{\circ}$		26.XI	KRA	$\Delta = 80,4^{\circ}$	
/suite//GW/		eP	13 48 21	/Ch/	eP	00 20 19 D	
		i	26		ePcP	36	
		eiS	53 26		eL	52,3	
		Lm	14 12 45		Lm	59 06	
		NE: 5° ; $4,4\mu$, $4,6\mu$			NE: 16° ; $8,1\mu$, $8,1\mu$		
	NIE	$\Delta = 32,0^{\circ}$		NIE	$\Delta = 80,5^{\circ}$		
		iP	13 48 27,0 D		eiP	00 20 21	
		i	33		epP	32	
		e	49 12	RAC	$\Delta = 81,3^{\circ}$		
		eiPP	35	/SK/	eP	00 20 23	
		eS	53 42				
24.XI		Local		26.XI	Java, USCGS: $8,1^{\circ}$ S, $112,9^{\circ}$ E, $H=$		
	NIE				$02^{\text{h}}53^{\text{m}}57,8^{\text{s}}$, $h=80$ km; mb=5,7		
		iPg _{NEZ}	07 50 40 C		/USCGS/		
		iSg _{NEZ}	50	NIE	$\Delta = 97,7^{\circ}$		
		F	51 30		eP	03 07 26	
	KRA				e	34	
	/Ch/	iPg _{NEZ}	07 50 53,4		ei	08 05	
		eiSg _{NEZ}	51 12,4		eiPP	11 22	
		F	30	KRA	$\Delta = 98,0^{\circ}$		
				/SKM/	ePP	03 11 27	
24.XI		Traces		26.XI	Grèce-Albanie, BCIS: $39,5^{\circ}$ N,		
	NIE				$20,6^{\circ}$ E, $H=03^{\text{h}}24^{\text{m}}58^{\text{s}}$, $h=45$ km;		
		eP	09 01 49,0		ML=4,0 /Athènes/		
		e	02 40,5	NIE	$\Delta = 9,6^{\circ}$		
24.XI		Local			eiP	03 27 23 D	
	NIE				ePP	33	
		ePg _{NEZ}	07 25/17/	KRA	$\Delta = 10,3^{\circ}$. Traces		
		e _{NEZ}	22,0	/SKM/	eP	03 27 31	
		ei/Sg _{NEZ}	29,0				
25.XI				26.XI	Région des Iles Kodiak, USCGS:		
	KRA				$56,6^{\circ}$ N, $152,2^{\circ}$ W, $H=08^{\text{h}}11^{\text{m}}06,3^{\text{s}}$,		
	/Ch/	eP	12 20 34,5		$h=28$ km; mb=4,9 /USCGS/		
		ei	38	KRA	$\Delta = 73,8^{\circ}$. Traces		
				/SKM/	eP	08 22 39	
25.XI		Local		NIE	$\Delta = 74,4^{\circ}$		
	NIE				eiP	08 22 42	
		iP _{NEZ}	14 49 40,3		ipP	50	
		iS _{NEZ}	44,3	26.XI	Région des Iles Loyauté, USCGS:		
					$22,9^{\circ}$ S, $171,4^{\circ}$ E, $H=11^{\text{h}}55^{\text{m}}53,3^{\text{s}}$,		
26.XI		Iles Riou-Kiou, USCGS: $28,6^{\circ}$ N,			$h=58$ km; mb=4,8 /USCGS/		
		$130,0^{\circ}$ E, $H=00^{\text{h}}08^{\text{m}}09,8^{\text{s}}$, $h=33$ km		NIE	$\Delta = 145,2^{\circ}$		
		mb=5,7 /USCGS/, MLH=6,2 /Kraków/					

- 132 -

Date	Station	Phase	G.M.T. h m s	Date	Station	Phase	G.M.T. h m s
26.XI	NIE	eiPKP	12 15 24	28.XI	KRA	ipP	02 49 12
/suite/	RAC	$\Delta=145,8^\circ$		NIE	$\Delta=78,2^\circ$		
/SK/	ePKP		12 15 28	iP		02 48 40,0	
27.XI		Iles Tonga, USCGS: 15,3 ^o S, 73,6 ^o W, H=00 ^h 06 ^m 45 ^s , h=173 km; mb=4,3 /USCGS/		ipP		49 13	
NIE	$\Delta=144,4^\circ$			i		52 11	
	eiPKP		00 26 02 D	RAC	$\Delta=78,9^\circ$		
27.XI		Région de l'Alaska, USCGS: 60,3 ^o N, 140,8 ^o W, H=04 ^h 27 ^m 02,4 ^s , h=16 km; mb=4,6 /USCGS/		/SK/	eP	02 48 45	
KRA	$\Delta=69,2^\circ$. Traces			eipP		49 18	
/SKM/	eP		04 38 08	29.XI		Région des Iles Fidji, USCGS: 23,5 ^o S, 179,8 ^o W, H=13 ^h 24 ^m 47,0 ^s , h=528 km; mb=4,8 /USCGS/	
NIE	$\Delta=69,8^\circ$			NIE	$\Delta=149,9^\circ$		
eP			04 38 12	eiPKP		13 43 37,5	
e			23	30.XI		Yougoslavie, au Sud-ouest de Debar, BCIS: 41 ^o 27'N, 20 ^o 27'E, H=07 ^h 23 ^m 52 ^s , h=30 km; M=6,4 /Pruhonic, Skopje/, MLH=6,0 /Kraków/, 7,0 /Racibórz/	
27.XI		Iles Tonga, USCGS: 21,3 ^o S, 174,3 ^o W, H=08 ^h 18 ^m 47,4 ^s , h=33 km; mb=5,4 /USCGS/		NIE	$\Delta=7,7^\circ$		
RAC	$\Delta=149,8^\circ$			iPn		07 25 48,7	
/SK/	ePKP		08 38 28	ei		52	
KRA	$\Delta=149,4^\circ$			ePP		58	
/Ch/	ePKP ₁		08 38 29	KRA	$\Delta=8,3^\circ$		
NIE	$\Delta=149,9^\circ$			/Ch/	ePn	07 25 58 C	
ePKP			08 38 32	ei		26 02	
ei			37	eiPP		07	
27.XI		Mer Méditerranée, BCIS: 35,3 ^o N, 15,6 ^o E, H=21 ^h 43 ^m 45 ^s		eiSn		27 38	
NIE	$\Delta=14,3^\circ$			Lm		29 26	
eP			21 47 11	Lm		33	
27.XI		Iles Riou-Kiou, USCGS: 28,5 ^o N, 129,6 ^o E, H=21 ^h 46 ^m 02,9 ^s , h=17 km; mb=5,0 /USCGS/		RAC	$\Delta=8,5^\circ$		
KRA	$\Delta=80,2^\circ$. Traces			/M/	iPn	07 26 05	
/SKM/	eiP		21 58 14	iPP		12	
	eiPoP		23	iPPP		20	
28.XI		Kiou-Siou, Japon, USCGS: 32,1 ^o N, 130,8 ^o E, H=02 ^h 36 ^m 54,1 ^s , h=125 km; mb=5,6 /USCGS/		i		28	
KRA	$\Delta=78,1^\circ$			N: 2 ^s ; 57,4 μ		27 44	
/SKM/	eiP		02 48 39,2 C	iSn		27 44	
				iSS		54	
				iSSS		28 04	
				iS ^x		13	
				Lm		28	
						NE: 3 ^s ; 131 μ , 69 μ	

- 133 -

Date	Station	Phase	G.M.T. h m s	Date	Station	Phase	G.M.T. h m s
30.XI	RAC	Lm	07 31 10	30.XI		Yougoslavie, réplique, USCGS: 41,7 ^o N, 20,4 ^o E, H=10 ^h 13 ^m 53 ^s , h=33 km; mb=4,3 /USCGS/	
/suite/				NIE	$\Delta=7,4^\circ$		
30.XI		Yougoslavie, réplique, BCIS: H=07 ^h 42 ^m 53 ^s		eP		10 16 50	
NIE	$\Delta=7,7^\circ$			ei		17 02	
eiP			07 44 50	30.XI		Iles Kermadec, USCGS: 27,4 ^o S, 176,9 ^o W, H=11 ^h 39 ^m 13,1 ^s , h=40 km; mb=4,4 /USCGS/	
ei			45 51	NIE	$\Delta=156,1^\circ$		
KRA	$\Delta=8,3^\circ$			ePKP ₂		11 59 31	
/Ch/	eP		07 45 00	30.XI		Région des Iles Fidji, USCGS: 17,9 ^o S, 178,3 ^o W, H=15 ^h 47 ^m 44,2 ^s , h=629 km; mb=4,7 /USCGS/	
ePPP			15	KRA	$\Delta=145,0^\circ$		
eS			46 42	/Ch/	eiPKP ₁	16 06 12	
30.XI		Yougoslavie, réplique, BCIS: H=08 ^h 11,6 ^m		ePKP ₂		22	
NIE	$\Delta=7,7^\circ$			NIE	$\Delta=145,0^\circ$		
eP			08 13 37	iPKP ₁		16 06 14,2	
ePPP			55	ePKP ₂		25	
30.XI		Yougoslavie, réplique, BCIS: H=08 ^h 13,3 ^m		epPKP ₂		31	
NIE	$\Delta=7,7^\circ$			RAC	$\Delta=145,5^\circ$		
eP			08 15 18	/SK/	ePKP ₁	16 06 14	
30.XI				30.XI		Traces	
NIE	eP		09 53 26,2	NIE	eP	17 09 01,2	
30.XI							
NIE	eP		09 57 29,7				
1967	D É C E M B R E						1967
1.XII		Frontière Albanie-Yougoslavie, BCIS: H=01 ^h 43,8 ^m		1.XII		Albanie, Athènes: 41,3 ^o N, 19,8 ^o E, H=08 ^h 38 ^m 33 ^s	
NIE	Traces			NIE	$\Delta=7,8^\circ$		
eP			01 45 45	eiP		08 40 42	
1.XII		Mer des Moluques, USCGS: 2,3 ^o N, 127,1 ^o E, H=07 ^h 18 ^m 22,7 ^s , h=95 km; mb=5,4 /USCGS/		ei		59	
NIE	$\Delta=99,2^\circ$. Traces			ei		41 58	
ePP			07 35 54	1.XII		Albanie, BCIS: 41,2 ^o N, 20,0 ^o E, H=09 ^h 15 ^m 30 ^s	
				NIE	$\Delta=8,0^\circ$		
				eiP		09 17 23	
				eS		19 05	

Date	Station	Phase	G.M.T. h m s	Date	Station	Phase	G.M.T. h m s
1.XII		Frontière Albanie-Yougoslavie, /BCIS/		1.XII	KRA	$\Delta=8,7^\circ$. Traces	
	NIE	Traces		/SKM/	eiP		20 09 59
		e/P/	10 27 07,9	2.XII		Région de Debar, Yougoslavie, BCIS: 41,3°N, 20,4°E, H=00 ^h 24 ^m 16 ^s ; ML=4,5 /Athènes/	
1.XII		Iles Kouriles, USCGS: 49,5°N, 154,4°E, H=13 ^h 57 ^m 02,4 ^s , h=136 km; mb=5,9 /USCGS/			NIE	$\Delta=7,8^\circ$	
	KRA	$\Delta=73,8^\circ$			eP		00 26 16
	/SKM/	eP	14 08 21 C		ei		27 56
		ePcP	36		KRA	$\Delta=8,5^\circ$	
		i	11 41	/SKM/	eP		00 26 24
	/GW/	eS	17 37		ePP		37
	NIE	$\Delta=73,8^\circ$			eS		28 09
		iP	14 08 21,2 C	2.XII		Région de Debar, Yougoslavie, BCIS: 41,5°N, 20,5°E, H=09 ^h 27 ^m 12 ^s ; M=3,8 /Beograd/	
		ePcP	41		NIE	$\Delta=7,6^\circ$. Traces	
		i/pp/	09 02		eP		09 29 09
		ei	10 56	2.XII		Frontière Albanie-Yougoslavie, BCIS: 41,4°N, 20,3°E, H=12 ^h 44 ^m 45 ^s ; MLH=5,4 /Racibórz/, 4,9 /Niedzica/	
		ePS	17 47		NIE	$\Delta=7,7^\circ$	
	RAC	$\Delta=74,1^\circ$			iP		12 46 42,6
	/M/	iP	14 08 24,0		eiL		49,9
	/SK/	eiPcP	47		Lm		51 55
1.XII		Frontière Albanie-Yougoslavie, /BCIS/				E: 5 ^s ; 4,6 μ	
	NIE					NZ: 5 ^s ; 5,4 μ , 3,8 μ	
		eiP	14 48 09,7		RAC	$\Delta=8,6^\circ$	
1.XII		Région des Iles Fidji, USCGS: 17,6°S, 178,5°W, H=16 ^h 53 ^m 09 ^s , h=504 km; mb=4,2 /USCGS/		/SK/	eP		12 46 56
	NIE	$\Delta=145,2^\circ$			eS		48 37
		ePKP	17 11 48		eS ^x		49 16
1.XII		Région de Debar, Yougoslavie, BCIS: 41,2°N, 20 2°E, H=18 ^h 31 ^m 04 ^s ; ML=4,5 /Athènes/			eSg		40
	NIE	$\Delta=8,0^\circ$			Lm		50 25
		ePP	18 33 19			E: 2 ^s ; 3,3 μ	
1.XII		Région de Debar, Yougoslavie, BCIS: 41,1°N, 20,5°E, H=20 ^h 07 ^m 53 ^s ; ML=4,4 /Athènes/			Lm		35
	NIE	$\Delta=8,1^\circ$				N: 3 ^s ; 6,9 μ	
		eP	20 09 51		KRA	$\Delta=8,4^\circ$	
		ePP	10 03	/Ch/	eiP		12 46 57
		eS	11 28		ePP		47 04
					eiS		48 36

Date	Station	Phase	G.M.T. h m s	Date	Station	Phase	G.M.T. h m s
2.XII		Albanie, USCGS: 41,4°N, 20,1°E, H=14 ^h 18 ^m 05 ^s , h=33 km; mb=4,4 /USCGS/		3.XII		Italie, BCIS: 42,3°N, 13,4°E, H=21 ^h 29 ^m 59 ^s ; M=4,7 /Roma/	
	NIE	$\Delta=7,7^\circ$			NIE	$\Delta=8,4^\circ$	
		eP	14 20 02		iP		21 32 07,0 D
		ePP	19		KRA	$\Delta=8,8^\circ$	
	KRA	$\Delta=8,4^\circ$. Traces		/SKM/	eP		21 32 14
	/SKM/	eP	14 20 12		RAC	$\Delta=8,3^\circ$	
2.XII				/SK/	eS ^x		21 34 14
	NIE				eSg		39
		eP	18 33 32,6	3.XII		Petites Carpathes, BCIS: 48,7°N, 17,5°E, H=22 ^h 10 ^m 54 ^s ; MLH=3,7 /Pruhonica/	
		e	42,6		RAC	$\Delta=1,3^\circ$	
2.XII		Chine, USCGS: 37,8°N, 115,2°E, H=20 ^h 05 ^m 52,4 ^s , h=13 km; mb=5,2 /USCGS/		/SK/	eiPn		22 11 21
	KRA	$\Delta=65,3^\circ$. Traces			ei		27
	/SKM/	eP	20 16 35		ei		32
	NIE	$\Delta=65,4^\circ$			NEZ		45
		eP	20 16 36		i		50
		ei	17 20		iSS _z		53
2.XII		Frontière Albanie-Yougoslavie, Athènes: 41,4°N, 20,3°E, H=22 ^h 16 ^m 33 ^s			Lm		NE: 1 ^s ; 1,2 ^s ; 5,0 μ , 6,2 μ
	NIE	$\Delta=7,7^\circ$		/M/	Lm		12 05
		eP	22 18 27				NEZ: 4 ^s ; 2 ^s ; 1 ^s ; 10 μ , 20,4 μ , 33 μ
		ePPP	38		F		17
2.XII		Frontière Albanie-Yougoslavie, Athènes: 41,3°N, 20,4°E, H=22 ^h 25 ^m 23 ^s		NIE	$\Delta=1,9^\circ$		22 11 30,7
	NIE	$\Delta=7,7^\circ$			iPn		38
		eP	22 27 27		iP		44
3.XII					NEZ		12 00
	NIE				iSg		05
		eP	11 15 07,7		iSS _{NE}		
3.XII		Frontière Albanie-Yougoslavie, BCIS: 41,3°N, 20,5°E, H=17 ^h 59 ^m 25 ^s		KRA	$\Delta=1,9^\circ$		22 11 32
	NIE	$\Delta=7,8^\circ$		/Ch/	ePn		37
		eP	18 01 26		ePg		40
		ePP	37		eiPP		56
		eS	03 01		NEZ		12 02
					eSg		07
					iNZ		
				4.XII		Albanie-Yougoslavie, BCIS: 41,3°N, 20,9°E, H=00 ^h 48 ^m 55 ^s ; M=4,8 /Skopje/	
					NIE	$\Delta=7,8^\circ$	
					eP		00 50 54
					ePP		51 02

- 136 -

Date	Station	Phase	G.M.T. h m s	Date	Station	Phase	G.M.T. h m s
4.XII		Petites Carpathes, BCIS: 48,7°N, 17,4°E, H=08 ^h 54 ^m 39 ^s		6.XII	NIE		
	NIE	$\Delta=2,0^\circ$				1P	03 23 47,5 D
		ePP	08 55 22,1	6.XII		Région des Iles Fidji, USCGS: 21,3°S, 178,8°W, H=05 ^h 03 ^m 40,8 ^s , h=559 km; mb=5,1 /USCGS/	
		e _{NEZ}	56,1		KRA	$\Delta=147,9^\circ$	
	KRA	$\Delta=2,0^\circ$. Traces			/Ch/	ePKP ₁	05 22 23 D
	/Ch/	eS _N	08 55 44,8			ePKP ₂	36
	RAC	Traces		RAC	$\Delta=148,5^\circ$. Traces		
	/SK/	NEZ	08 55-57	/SK/	ePKP ₁	05 22 26	
4.XII		Région frontière URSS-Afghanistan USCGS: 36,1°N, 71,2°E, H=15 ^h 35 ^m 34,2 ^s , h=143 km; mb=4,9 /USCGS/ $\Delta=38,9^\circ$		6.XII		Région de Hondo, USCGS: 40,9°N, 143,0°E, H=14 ^h 56 ^m 37,1 ^s , h=31 km; mb=4,6 /USCGS/	
	NIE	$\Delta=38,9^\circ$			NIE	$\Delta=77,1^\circ$	
		eP	15 42 49			eP	15 08 28
		ePP	44 17			ePcP	48
4.XII		Iles Riou-Kiou, USCGS: 27,5°N, 128,9°E, H=20 ^h 17 ^m 05,7 ^s , h=33 km; mb=4,8 /USCGS/ $\Delta=80,7^\circ$. Traces		7.XII		Région des Iles Tonga, USCGS: 22,7°S, 175,2°W, H=07 ^h 40 ^m 09 ^s , h=33 km; mb=4,6 /USCGS/	
	NIE	$\Delta=80,7^\circ$. Traces			NIE	$\Delta=150,9^\circ$	
		eP	20 29 17			ePKP ₁	08 00 00
5.XII		Iles du Dodécane, BCIS: 36,4°N, 26,9°E, H=05 ^h 20 ^m 02 ^s , h=140 km; mb=4,6 /USCGS/ $\Delta=14,3^\circ$		7.XII		Iles Tonga, USCGS: 16,7°S, 174,1°W, H=09 ^h 41 ^m 14,1 ^s , h=120 km; mb=5,0 /USCGS/	
	KRA	$\Delta=14,3^\circ$			RAC	$\Delta=145,1^\circ$. Traces	
	/SKM/	eiP	05 23 27		/SK/	eiPKP	10 00 40
		ePP	40		NIE	$\Delta=145,6^\circ$	
		ePPP	46			1PKP	10 00 40,3 C
	RAC	$\Delta=14,9^\circ$				epPKP	01 14
	/SK/	eP	05 23 32	7.XII		Région des Iles Hébrides, USCGS: 14,6°S, 167,3°E, H=09 ^h 49 ^m 37,0 ^s , h=151 km; mb=5,3 /USCGS/	
5.XII		Iles Aléoutiennes, USCGS: 51,6°N, 173,4°W, H=09 ^h 05 ^m 13,1 ^s , h=36 km; mb=5,3 /USCGS/ $\Delta=78,9^\circ$			NIE	$\Delta=136,2^\circ$	
	NIE	$\Delta=78,9^\circ$				ePKP	10 08 42
		eP	09 17 12			epPKP	09 04
		ePcP	22	7.XII		Local	
6.XII		Albanie, USCGS: 41,3°N, 20,3°E, H=00 ^h 01 ^m 54 ^s , h=33 km; mb=4,4 /USCGS/ $\Delta=7,7^\circ$			NIE		
	NIE	$\Delta=7,7^\circ$				ePg _{NEZ}	10 49 58
		eiP	00 03 53			i	50 01,5
		ePP	59			eSg	/10/
						F	51 40

- 137 -

Date	Station	Phase	G.M.T. h m s	Date	Station	Phase	G.M.T. h m s
7.XII	RAC	Traces		9.XII	KRA	$\Delta=148,1^\circ$	
	/suite/ /SK/	NEZ	10 49-51		/SKM/	ePKP ₁	05 47 20
7.XII		Frontière Yougoslavie-Albanie, BCIS: 41,2°N, 20,3°E, H=18 ^h 03 ^m 35 ^s ; mb=4,5 /USCGS/			NIE	$\Delta=148,4^\circ$	
	NIE	$\Delta=7,9^\circ$				ePKP ₁	05 47 21
		eP	18 05 33			ePKP ₂	34
		i	36	RAC	$\Delta=149,1^\circ$. Traces		
		iPP	42	/SK/	ePKP ₁	05 47 22	
	KRA	$\Delta=8,6^\circ$. Traces			ePKP ₂	29	
	/SKM/	eS	18 07 27	9.XII		Iles Tonga, USCGS: 15,2°S, 173,3°W, H=07 ^h 54 ^m 19,8 ^s , h=33 km; mb=5,0 /USCGS/	
7.XII		Iles Kermadec, USCGS: 30,8°S, 179,7°W, H=20 ^h 28 ^m 46,0 ^s , h=366 km; mb=4,5 /USCGS/			NIE	$\Delta=144,3^\circ$. Traces	
	NIE	$\Delta=156,2^\circ$				ePKP	08 13 52
		eP	20 48 26	9.XII	NIE		
8.XII		Kazakstan, USCGS: 49,8°N, 78,2°E, H=06 ^h 03 ^m 57,1 ^s ; M=5,4 /Uppsala/ $\Delta=36,8^\circ$				eP	08 23 23,5
	KRA	$\Delta=36,8^\circ$		10.XII		Près de la côte de Californie, USCGS: 40,5°N, 124,6°W, H=12 ^h 06 ^m 50,3 ^s , h=5 km; mb=5,8 /USCGS/	
	/Ch/	eiP	06 11 08		KRA	$\Delta=84,8^\circ$. Traces	
8.XII		Local			/GW/	eP	12 19 27
	NIE					eSKS	29 39
		iPg _Z	08 59 30,2			eL	54,8
		eSg _{NEZ}	38,5		NIE	$\Delta=85,5^\circ$	
9.XII		Mer Adriatique, BCIS: 42°N, 16°E, H=03 ^h 09 ^m 57 ^s , h=100 km; M=4,8 /Beograd/ $\Delta=7,4^\circ$				eP	12 19 30
	NIE	$\Delta=7,4^\circ$				i	38
		eP _n	03 11 58	10.XII		Chine, USCGS: 46,3°N, 81,9°E, H=15 ^h 34 ^m 57 ^s , h=48 km; mb=4,8 /USCGS/	
		eiP ^x	12 15		NIE	$\Delta=40,5^\circ$	
	RAC	$\Delta=7,8^\circ$				eP	15 42 36
	/SK/	ePg	03 12 36	10.XII		Birmanie, USCGS: 22,5°N, 94,8°E, H=18 ^h 43 ^m 34,4 ^s , h=158 km; mb=5,2 /USCGS/	
		eS ^x	14 00		NIE	$\Delta=63,3^\circ$	
		eSg	25			eP	18 53 49
	KRA	$\Delta=8,0^\circ$				e	54 42
	/SKM/	iS _n	03 13 41	10.XII		Inde, USCGS: 17,7°N, 73,9°E, H=22 ^h 51 ^m 24,3 ^s , h=33 km; MLH=6½ /Pasadena/ 6,0 /Kraków/	
	/GW/	eSg	14 30				
9.XII		Région des Iles Fidji, USCGS: 22,2°S, 179,4°W, H=05 ^h 28 ^m 38,9 ^s , h=588 km; mb=4,9 /USCGS/					

Date	Station	Phase	G.M.T. h m s	Date	Station	Phase	G.M.T. h m s
17.XII	NIE	$\Delta=38,8^\circ$		18.XII	KRA	$\Delta=25,6^\circ$, Traces	
/suite/	iP		00 32 34,9 D	/SKM/	eIP		22 54 58 C
		Z: 1^s ; $0,026\mu$		19.XII			
	epP		33 05	KRA			
	eI		34 15	/SKM/	eP		01 12 43
KRA	$\Delta=39,1^\circ$			19.XII		Tadzhikistan, URSS; USCGS: $37,5^\circ N$,	
/SKM/	eIP		00 32 36 D			$72,0^\circ E$, $H=03^h 23^m 49,6^s$, $h=89$ km;	
	ipP		33 00			$mb=5,5$ /USCGS/	
	ePP		34 07	NIE	$\Delta=38,6^\circ$		
17.XII	Local			iP			03 31 06,0
NIE	Traces			eI			13
	ePg _{NEZ}		10 39 49,4	eSS			39 36
	e/Sg/NE		40 03,0	KRA	$\Delta=38,8^\circ$		
18.XII	Iles Mariannes, USCGS: $12,0^\circ N$,			/SKM/	eIP		03 31 08 C
	$143,8^\circ E$, $H=10^h 21^m 54,7^s$, $h=39$ km;			eipP			36
	$mb=5,3$ /USCGS/			eIPP			32 38
NIE	$\Delta=101,5^\circ$. Traces			19.XII		Yugoslavie-Albanie, BCIS:	
eP			10 35 44			$41,3^\circ N$, $20,3^\circ E$, $H=08^h 32^m 28^s$;	
18.XII	Local. Pruhonice: eiPg 12 01					$MLH=4,7$ /Collm/, $4,4$ /Beograd,	
	13,7, ei/Sg/ 53			NIE	$\Delta=7,8^\circ$	Skopje/	
NIE				iPn			08 34 29,0
	iPg _{NEZ}		12 00 38,1	i			40
	e _{NEZ}		41,6	KRA	$\Delta=8,5^\circ$		
	eSg _{NEZ}		57,6	/GW/	eP		08 34 39
RAC	Traces			eSg			37 17
/SK/	e _{NEZ}		12 00 40	RAC	$\Delta=8,7^\circ$		
	e _{NZ}		44	/SK/	eP		08 34 43
	e _{NE}		01 00	eSg			37 22
	F		03	Lm			34
KRA						NE: 3^s ; $2,5^s$; 3μ , $1,8\mu$	
/SKM/	iPg _{NE}		12 00 41	19.XII	Local		
	i/Sg/NE		58,5	NIE			
18.XII	Iles Kouriles, Moskva: $42,6^\circ N$,			ePg _{NEZ}			10 03 20,0
	$146,6^\circ E$, $H=19^h 12^m 27^s$			eSg _E			31
NIE	$\Delta=77,2^\circ$. Traces			e _{NEZ}			34,5
eP			19 24 20	20.XII		Iles Andaman, USCGS: $11,8^\circ N$,	
18.XII	Iran, USCGS: $33,6^\circ N$, $46,9^\circ E$,					$93,0^\circ E$, $H=11^h 34^m 25,9^s$, $h=61$ km;	
	$H=22^h 49^m 27,6^s$, $h=39$ km; $mb=5,0$			NIE	$\Delta=69,8^\circ$		
	/USCGS/, $M=4,5$ /Moskva/			eP			11 45 33
NIE	$\Delta=25,1^\circ$. Traces						
eP			22 54 54				

Date	Station	Phase	G.M.T. h m s	Date	Station	Phase	G.M.T. h m s
20.XII	NIE	i	11 45 41	21.XII	RAC	ePS	02 53 17
/suite/	e		50		eL		03 15
KRA	$\Delta=70,3^\circ$				Lm		21 12
/Ch/	eP		11 45 34			N: 23^s ; 417μ	
	ePcP		58		Lm		23,0
20.XII		Local. Pruhonice: eiPg 14 02				EZ: 20^s ; 219μ , 192μ	
		21,5, iSg 51,5		KRA	$\Delta=106,3^\circ$		
RAC				/SKM/	eP		02 39 39
/SK/	e _{NEZ}		14 01 53	/GW/	iPP		57
	e _{NEZ}		02 01		iSKS		50 12
	e _Z		14		iS		51 31
	e _{NEZ}		33		iPS		53 26
	F		04		Lm		03 22 30
KRA						N: 25^s ; 193μ	
/Ch/	eIPg _{EZ}		14 02 10,1		Lm		55
	iSg _N		30,8			E: 28^s ; 110μ	
NIE				NIE	$\Delta=106,4^\circ$		
	eIPg _{NEZ}		14 02 15,2	eP			02 39 39
	eSg _{NEZ}		38,2	e			53
20.XII	Local			e			40 09
KRA				ePP			44 00
/Ch/	e/Sg/E		14 33 59,9	eS			53 27
	ei/Sg/NZ		34 00,4	Lm			03 21,0
21.XII						NEZ: 27^s ; 27^s ; 25^s ; 106μ ,	
	Yugoslavie, BCIS: $42,0^\circ N$,					97μ , 80μ	
	$21,0^\circ E$, $H=00^h 09^m 37^s$; $M=4,4$			21.XII	Colombie, USCGS: $7,0^\circ N$, $72,1^\circ W$,		
	/Skopje/				$H=11^h 37^m 22,5^s$, $h=37$ km; $mb=5,4$		
NIE	$\Delta=7,1^\circ$				/USCGS/		
	iPn		00 11 28,5 C	NIE	$\Delta=86,3^\circ$		
	eP ^M		48	eP			11 50 04
	eSn		12 45	21.XII	Région des Iles Fidji, USCGS:		
KRA	$\Delta=8,1^\circ$				$21,1^\circ S$, $179,2^\circ W$, $H=11^h 42^m 25^s$,		
/SKM/	ePn		00 11 36		$h=606$ km; $mb=4,5$ /USCGS/		
	eIPP		45	NIE	$\Delta=148,0^\circ$		
	eISn		13 07	ePKP ₁			12 01 03
21.XII				21.XII	Iles Kouriles, USCGS: $49,2^\circ N$,		
	Près de la côte du Chili,				$156,2^\circ E$, $H=16^h 03^m 20,5^s$, $h=44$ km;		
	USCGS: $21,8^\circ S$, $70,0^\circ W$, $H=02^h$				$mb=4,5$ /USCGS/		
	$25^m 21,6^s$, $h=33$ km; $mb=6,3$			NIE	$\Delta=74,9^\circ$		
	/USCGS/, $MLH=7,6$ /Kraków/, $7,4$			eP			16 14 17
	/Niedzica/			21.XII	Iles Kouriles, USCGS: $49,1^\circ N$,		
RAC	$\Delta=105,2^\circ$				$156,2^\circ E$, $H=16^h 12^m 30,7^s$, $h=53$ km;		
/SK/	eP		02 39 28				
	ePP		43 53				

- 142 -

Date	Station	Phase	G.M.T. h m s	Date	Station	Phase	G.M.T. h m s
21.XII		mb=4,8 /USCGS/ /suite/ NIE	16 24/07/ 20	23.XII	NIE	epPKP	13 42 15
		$\Delta=75,0^\circ$ eP ePoP		23.XII-		Région des Iles Kouriles, USCGS: 48,2°N, 157,3°E, H=16 ^h 04 ^m 37,9 ^s , h=26 km; mb=5,1 /USCGS/ 1P	16 16 24,0 C
21.XII		Iles Kermadec, USCGS: 31,7°S, 179,1°W, H=17 ^h 45 ^m 54,4 ^s , h=23 km mb=5,1 /USCGS/ KRA /SKM/	18 06 16	24.XII		Région des Iles Fidji, USCGS: 21,0°S, 178,0°W, H=02 ^h 24 ^m 58,4 ^s , h=428 km; mb=5,0 /USCGS/ KRA /SKM/	02 43 55
		$\Delta=157,0^\circ$. Traces ePKP ₂				$\Delta=147,9^\circ$ ePKP ₁ e1	02 43 55 59
21.XII		Iles Andaman, USCGS: 11,8°N, 93,1°E, H=23 ^h 43 ^m 11,4 ^s , h=33 km mb=5,0 /USCGS/ NIE	23 54 21			$\Delta=148,3^\circ$ e1PKP ₁ ePKP ₂	02 43 56 44 12
		$\Delta=69,9^\circ$ eP epP 1PoP	23 54 21 30 38	24.XII		Région de l'île Jan Mayen, BCIS: 72,0°N, 2,0°W, H=04 ^h 21 ^m 56 ^s ; mb=5,0 /USCGS/ RAC /SK/	04 27 10
		$\Delta=70,2^\circ$ eP e1PoP	23 54 23 40			$\Delta=24,0^\circ$. Traces eP	04 27 10
22.XII		NIE	07 24 01,5			$\Delta=24,4^\circ$ eP	04 27 16 C
22.XII		Région des Iles Kermadec, USCGS: 29,9°S, 177,4°W, H=23 ^h 08 ^m 58,0 ^s , h=22 km; mb=5,4 /USCGS/ NIE	23 28 54			$\Delta=25,0^\circ$ 1P ePP	04 27 29,0 D 47
		$\Delta=156,5^\circ$ ePKP ₁ 1PKP ₂	23 28 54 29 21	24.XII		Sakhalin, USCGS: 54,5°N, 142,5°E, H=08 ^h 34 ^m 13,5 ^s , h=33 km; mb=5,0 /USCGS/ KRA /SKM/	08 44 54
		$\Delta=156,2^\circ$ ePKP ₂ ePP	23 29 18 32 58			$\Delta=65,5^\circ$. Traces eP	08 44 54
23.XII		KRA /Ch/	11 09 00,5			$\Delta=65,9^\circ$ eP 1pP ePoP	08 44 56 45 05 27
23.XII		Région de la Nouvelle Bretagne USCGS: 5,2°S, 151,8°E, H=13 ^h 23 ^m 15,0 ^s , h=61 km; mb=5,5 /USCGS/ NIE	13 42 02	24.XII		Région des Iles Antilles, USCGS: 17,4°N, 61,1°W, H=20 ^h 03 ^m 10,9 ^s , h=24 km; mb=6,4 /USCGS/, MLH= 6,6 /Kraków/ RAC /SK/	20 14 24
		$\Delta=120,1^\circ$ ePKP				$\Delta=70,0^\circ$ eP e1pP	20 14 24 28

- 143 -

Date	Station	Phase	G.M.T. h m s	Date	Station	Phase	G.M.T. h m s
24.XII	KRA /suite//SKM/	$\Delta=71,2^\circ$ 1P 1 1PoP /GW/ 1S ePS eScS Lm	20 14 30,1 D 33 45 23 49 24 13 36 44 35	25.XII	KRA	Lm	02 38 22
		NE: 18 ^s ; 17,1 μ , 22,3 μ			NIE	$\Delta=121,2^\circ$ 1PKP Lm	01 42 20,0 02 35 16
		$\Delta=71,5^\circ$ 1P 1 1pP e1 ePP	20 14 31,7 D 35 45 16 15 17 10			NEZ: 20 ^s ; 21 ^s ; 20 ^s ; 52 μ , 46,5 μ , 35,7 μ	
24.XII		Iles Antilles, USCGS: 17,4°N, 61,3°W, H=21 ^h 32 ^m 31,3 ^s , h=20 km; mb=5,9 /USCGS/ RAC /SK/	21 43 45 44 05	25.XII		Près de la côte du Chili, USCGS: 21,5°S, 70,4°W, H=10 ^h 41 ^m 31,6 ^s , h=53 km; mb=5,8 /USCGS/ KRA /SKM/	11 00 07
		$\Delta=70,2^\circ$ e1P ePoP	21 43 45 44 05			$\Delta=106,3^\circ$ eP	11 00 07
		$\Delta=71,3^\circ$ e1P ePoP	21 43 51 44 12	26.XII		Près de la côte de l'Orégon, USCGS: 44,5°N, 129,7°W, h=33 km; mb=5,1 /USCGS/, H=09 ^h 29 ^m 38,5 ^s KRA /SKM/	09 41 54
		$\Delta=71,6^\circ$ eP ePoP	21 43 54 44 14			$\Delta=82,4^\circ$. Traces eP	09 41 54
25.XII		NIE	01 38 49,6	26.XII		Près de la côte de l'Orégon, USCGS: 44,5°N, 129,7°W, H=10 ^h 40 ^m 40,6 ^s , h=33 km; mb=5,0 /USCGS/ KRA /Ch/	10 53 01 C
25.XII		Région de la Nouvelles Irlande, USCGS: 5,3°S, 153,7°E, H=01 ^h 23 ^m 33,6 ^s , h=64 km; M=6 ³ / ₄ -7 /Pasa- dena/, MLH=7,4 /Kraków/, 7,2 /Niedzica/ KRA /SKM/	01 42 20 42 44 00 53 42 02 35 32			$\Delta=82,4^\circ$. Traces e1P epP	10 53 01 C 11
		$\Delta=121,1^\circ$ ePKP epPKP /GW/ ePP ePS Lm	01 42 20 42 44 00 53 42 02 35 32	27.XII		Chili, USCGS: 21,2°S, 68,3°W, H=09 ^h 17 ^m 55,7 ^s , h=135 km; mb= 6,4 /USCGS/ KRA /SKM/	07 20 26,0 34,5
		NE: 25 ^s ; 76,3 μ , 84,0 μ				$\Delta=104,8^\circ$ e1P e/PP/ ePPP /GW/ e1SKS	09 31 48 D 36 05 38 33 42 21
						NR: 5 ^s ; 6,5 ^s ; 2,7 μ , 2,6 μ	45 14 46 04

- 144 -

Date	Station	Phase	G.M.T. h m s	Date	Station	Phase	G.M.T. h m s
27.XII	NIE	$\Delta = 104,9^\circ$		29.XII		Près de la côte du Kamtchatka, USCGS: 56,3°N, 163,9°E, H=12 ^h 36 ^m 26,4 ^s , h=36 km; mb=4,6 /USCGS/	
/suite/		eP	09 31 51		NIE	$\Delta = 70,6^\circ$	
		ei	35 09			eP	12 47 38
		1/PP/	36 02			e	48 10
27.XII		Région des Iles Tonga, USCGS: 22,3°S, 174,8°W, H=16 ^h 22 ^m 48,5 ^s , h=33 km; mb=6,1 /USCGS/		29.XII		Traces	
	KRA	$\Delta = 150,2^\circ$		NIE		eP	14 47 20,0
/SIGM/		ePKP ₁	16 42 33				
		e1PKP ₂	38	29.XII		Local	
	NIE	$\Delta = 150,6^\circ$		NIE		e ^{NEZ}	17 02 28
		ePKP ₁	16 42 34			e ^{NEZ}	52
		e1PKP ₂	39	29.XII		Albanie, USCGS: 41,5°N, 20,4°E, H=19 ^h 49 ^m 23,6 ^s , h=39 km; mb=4,7 /USCGS/	
		i	57		NIE	$\Delta = 7,6^\circ$	
		ePKS	46 15			ePn	19 51 21
	RAC	$\Delta = 150,6^\circ$				1PP	24
/SK/		ePKP ₁	16 42 38			ePg	55
		ePKP ₂	48			i	52 00
28.XII		Iles Tonga, USCGS: 16,4°S, 174,0°W, H=23 ^h 58 ^m 34 ^s , h=150 km; mb=4,2 /USCGS/			KRA	$\Delta = 8,3^\circ$	
	NIE	$\Delta = 145,3^\circ$		/SIGM/		e1Pn	19 51 31 C
		ePKP	00 17 54			ei	53 00
28.XII		Près de la côte de l'Orégon, USCGS: 44,2°N, 128,8°W, H=06 ^h 26 ^m 15,8 ^s , h=33 km; mb=5,4 /USCGS/				e1Sn	08
	KRA	$\Delta = 82,5^\circ$. Traces			RAC	$\Delta = 8,5^\circ$. Traces	
/GW/		eP	06 38 40	/SK/		ePn	19 51 37
		eSKS	48 58	29.XII		Région des Iles Tonga, USCGS: 22,8°S, 175,3°W, H=20 ^h 29 ^m 32,2 ^s , h=30 km; mb=5,3 /USCGS/	
	NIE	$\Delta = 83,2^\circ$			KRA	$\Delta = 150,5^\circ$. Traces	
		eP	06 38 41	/Ch/		ePKP ₁	20 49 16
		e	51		RAC	$\Delta = 151,0^\circ$. Traces	
28.XII		Local		/SK/		ePKP ₁	20 49 23
NIE		Traces				ePKP ₂	35
		e ^{NEZ}	14 44 26		NIE	$\Delta = 150,9^\circ$	
		e ^{NEZ}	34			1PKP ₁	20 49 23
28.XII		Afghanistan, USCGS: 37,2°N, 71,8°E, H=20 ^h 15 ^m 48,6 ^s , h=156 km mb=4,7 /USCGS/				i	25
	NIE	$\Delta = 38,7^\circ$				ePKP ₂	39
		eP	20 23 35			ei	50 31

- 145 -

Date	Station	Phase	G.M.T. h m s	Date	Station	Phase	G.M.T. h m s
29.XII		Région des Iles Tonga, USCGS: 22,7°S, 175,2°W, H=22 ^h 23 ^m 06,0 ^s , h=33 km; mb=5,1 /USCGS/		30.XII	NIE	1Pg	04 21 39
	KRA	$\Delta = 150,5^\circ$				i	56
/SKM/		ePKP ₁	22 42 56		KRA	$\Delta = 7,4^\circ$	
				/Ch/		e1Pn	04 21 10,1 C
	NIE	$\Delta = 150,9^\circ$		/GW/		e1PP	19
		e1PKP ₁	22 42 58 C			ePPP	25
		e1SKSP	56 53			eP ^K	29
30.XII		Italie, BCIS: 44,8°N, 12,0°E, H=04 ^h 19 ^m 19 ^s ; M=5 ¹ / ₄ /Strasbourg/, MLH=6,1 /Racibórz/, 5,3 /Kraków/ $\Delta = 6,6^\circ$				ePg	50
	RAC					eSn	22 41
/SK/		iPn	04 20 59,0			eSS	51
		ePP	21 07			e1SSS	23 01
		e1P ^K	16			e1S ^K	05
		e1Pg	30			1Sg	21
		i	58			eL	23,9
		eL	22,8			Lm	25 04
		Lm	23 38				NE: 9 ^s ; 30,8 μ , 15,4 μ
			8 μ	30.XII		Traces	
	NIE	$\Delta = 7,2^\circ$			KRA		
		iPn	04 21 07,7 D	/Ch/		e1P	09 47 50,2
				31.XII			
				NIE		eP	20 04 40,0

These data are considered public domain and may be freely distributed or copied for non-profit purposes provided the project is properly quoted.

STATION		COORDONATES		DATE		TIME		MAGNITUDE	
NO.	NAME	LONG.	LAT.	DAY	MONTH	HOUR	MIN.	LOC.	DEPTH
1
2
3
4
5
6
7
8
9
10
11
12
13
14
15
16
17
18
19
20
21
22
23
24
25
26
27
28
29
30

**RÉSULTATS DES ENREGISTREMENTS DES SECOUSSES
SOUTERRAINES PLUS FORTES EN HAUTE SILÉSIE**

Date	Station	Phase	G.M.T. h m s	Date	Station	Phase	G.M.T. h m s
1967				JANVIER 1967			
2.I		H=06 ^h 11 ^m 12,0 ^s ; M=2,5 /Chorzów/; DGP/GIG/: 06 11 14,3		6.I	NIE	ei _E eiS _{GEZ} , iS _{GN} F	05 05 09,7 10,5 06
CHZ		Δ=15 km eS _{NE} , eiS _Z e _Z e _N i _N Lm NZ: 1,1 ^s ; 2,1 ^μ , 1,4 ^μ F	06 11 17,5 18,5 19,5 21,9 26 12 30	9.I		ψ=50°21'; λ=18°52'; H=13 ^h 05 ^m 10,1 ^s ; M=2,2 /Chorzów, Dąbrowa/; BYT /GIG/: 13 05 13,6 ; DGP: eS _N 13 05 18,5 , Lm _{NE} : 0,3 ^μ , 0,3 ^μ CHZ	
KRA		Δ=69 km /SKM/ iP _{GE} , eiP _{GZ} eP _{GN} e _N eS _{GEZ} F	06 11 24,3 24,8 32,2 33,6 13	CHZ		Δ=11 km eS _{EZ} e _N e _{NEZ} Lm EZ: 1,0 ^s ; 1,1 ^μ , 1,0 ^μ F	13 05 14,4 14,9 16,6 21 06
NIE		Δ=132 km eiP _{GN} , eP _{GE} , iP _{GZ} ei _N ei _Z e _N eiS _{GE} , eS _{GZ} F	06 11 36,5 40,2 42,0 52,1 54,0 13 30	KRA		Δ=85 km. Forte ag. mi. /Ch, SKM/ eP _{GE} ei _N eiS _{GE} , iS _{GZ} ei _N F	13 05 25,5 31,8 36,8 42,8 06 30
RAC		Traces /SK/ Z	06 11 30-13 00	RBN		Δ=38 km. Faible e _{NE} e _N F	13 05 28,0 29,4 06 30
6.I		H=05 ^h 04 ^m 31,5 ^s ; M=2,3 /Chorzów/		NIE		Δ=151 km. Faible eP _{NEZ} e _{NEZ} e _{NZ} e _{NEZ} F	13 05 37,7 49,5 56,5 06 06,0 07
CHZ		Δ=20 km eP _{EZ} e _N e _E e _Z Lm Z: 1,5 ^s ; 0,9 ^μ F	05 04 35,7 36,2 37,6 39,7 45 05	10.I		ψ=50°22,0'; λ=18°49,5'; H=12 ^h 45 ^m 23,4 ^s ; ZAB /GIG/: 12 45 26,3 ; BYT: eS _E 12 45 26,5 ; DGP: eS _N 12 45 32,7 CHZ	
KRA		Δ=54 km /Ch/ eP _{NEZ} eiS _{NEZ} e _{NE} F	05 04 41,6 49,0 58,6 06	CHZ		Δ=15 km e _{NE} eS _E e _N F	12 45 27,5 29,0 30,0 46
NIE		Δ=126 km eP _{NE} , eiP _{GZ}	05 04 54,0 C				

Date	Station	Phase	G.M.T. h m s	Date	Station	Phase	G.M.T. h m s
10.I	RBN	Δ=38 km. Faible /suite/ eS _{GN} e _N F	12 45 36,1 50,5 47	11.I	KRA	Faible /SKM/ e _{NZ} e _{EZ} F	16 10 43,0 11 08,0 12
	KRA	Δ=89 km /SKM/ eP _{GZ} e _Z eiS _{GEZ} e _N F	12 45 38,8 40,7 50,1 46 02,1 47	NIE		Δ=151 km. Faible eP _{NE} , eiP _{GZ} e _Z F	16 10 49,2 11 03,7 30
	NIE	Δ=154 km. Faible eiP _{GZ} eP _{NE} eS _{GEZ} F	12 45 48,7 C 49,2 46 08,6 47	12.I		H=07 ^h 47 ^m 36,4 ^s ; M=2,5 /Chorzów/; DGP /GIG/: 07 47 40,0 CHZ	
	RAC	Traces /SK/ Z	12 45 30-47 00	CHZ		Δ=11 km eP _{NE} , eiP _Z eS _E , iS _Z Lm NEZ: 1,0 ^s ; 3,5 ^μ , 1,5 ^μ , 2,0 ^μ F	07 47 39,0 40,9 44 48 30
11.I		H=03 ^h 38 ^m 57,0 ^s ; M=2,0 /Chorzów/		KRA		Faible /Ch/ eS _{NEZ} e _{NE} e _Z e _{NZ} F	07 47 57,7 48 04,2 05,0 12,7 49
	CHZ	Δ=5 km eP _{NE} , eiP _Z iS _Z Lm NEZ: 1,0 ^s ; 2,0 ^μ , 2,0 ^μ , 2,0 ^μ F	03 38 58,9 39 00,1 02 30	RAC		Traces /SK/ NEZ	07 47-49
	KRA	Δ=75 km /SKM/ eP _{NEZ} eiS _{NEZ} e _{NEZ} F	03 39 10,5 20,5 40,5 40 30	NIE		Traces NEZ	07 48-49
	NIE	Traces NZ	03 39-40	12.I		ψ=50°19'; λ=19°01'; H=23 ^h 32 ^m 34,6 ^s ; M=2,8 /Chorzów/; DGP: eS _{NEZ} 23 32 39,8 ; BYT /GIG/: 23 32 40,0 ; ZAB: eS _E 23 32 40,2 CHZ	
	RAC	Traces /SK/ Z	03 39-40	CHZ		Δ=4 km iP _{NEZ} Lm Z: 0,8 ^s ; 7,6 ^μ Lm E: 0,8 ^s ; 9,0 ^μ F	23 32 36,4 D 38 39 33 30
11.I		H=16 ^h 10 ^m 22,8 ^s ; M=2,2 /Chorzów/; BYT /GIG/: 16 10 24,0 ; ZAB /GIG/: 16 10 29,7		RBN		Δ=43 km e _{NEZ} eS _{NE} e _N e _Z F	23 32 44,4 48,4 58,0 33 03,0 34 30
	CHZ	Δ=11 km eP _{NE} , iP _Z eiS _{EZ} Lm NEZ: 1,0 ^s ; 1,5 ^μ , 1,0 ^μ , 1,2 ^μ F	16 10 25,4 27,3 32 11				

Date	Station	Phase	G.M.T. h m s	Date	Station	Phase	G.M.T. h m s
12.I	KRA	$\Delta=73$ km		14.I	KRA	1S _{NEZ}	18 07 11,0
/suite/	/SKM/	eiP _{NEZ}	23 32 48,0 D			eL _{NEZ}	31
		ei _N	49,1			Lm	33
		eS _N , eiS _Z	57,7			EZ: 1,6 ^S ; 0,14 μ , 0,27 μ	
		eiS _E	57,9			F	08 30
		ei _Z	58,5		NIE	$\Delta=137$ km. Forte ag.mi.	
		F	34 30			eiP _{EZ}	18 07 13,5
	RAC	$\Delta=64$ km				e _Z	29,0
/suite/	/SK/	eP _{EZ}	23 32 46,2			F	09
		e _{NE}	51,0	14.I		$\varphi=50^{\circ}20,5'$; $\lambda=18^{\circ}51,0'$;	
		e _{NZ}	54,5			H=21 ^h 43 ^m 41,0 ^s ; M=2,5 /Chorzów/;	
		e _{NEZ}	33 06,0			ZAB: eP _E 21 43 42,6 ; DGP: eP _{EZ}	
		F	35			21 43 46,6 , eS _{NEZ} 21 43 50,6	
	NIE	$\Delta=140$ km			CHZ	$\Delta=12$ km	
		eiP _{NEZ}	23 32 59,0			eP _{NE} , eiP _Z	21 43 43,5 C
		eiS _{NEZ}	33 17,8			e _E	43,9
		F	35			eiS _{NE}	45,5
14.I		$\varphi=50^{\circ}17'$; $\lambda=19^{\circ}01'$; H=18 ^h 06 ^m				ei _Z	46,8
		48,4 ^S ; M=2,2 /Chorzów/, 2,4				Lm	47
		/Dąbrowa Górnicza/; DGP: eP _{EZ}				NE: 0,4 ^S ; 2,0 μ , 2,0 μ	
		18 06 51,7 , Lm _{NE} 1,5 ^S ; 1,4 μ ,				Lm	51
		1,3 μ ; BYT: eS _E 18 06 52,4				Z: 0,9 ^S ; 1,4 μ	
	CHZ	$\Delta=2$ km. N - illisible				F	44 30
		eiP _{EZ}	18 06 49,4 D		RBN	$\Delta=36$ km	
		iS _{EZ}	50,2			eP _{NEZ}	21 43 49,0
		Lm	53			e _N	57,0
		EZ: 1,0 ^S ; 10,0 μ , 11,0 μ				e _Z	44 02,2
		F	08			F	45 30
	RBN	$\Delta=41$ km			RAC	$\Delta=54$ km	
		eS _N	18 07 01,4		/SK/	eP _{GN}	21 43 51,0
		e _{NEZ}	04,0			e _{EZ}	59,5
		ei _N	05,9			e _{NE}	44 06,0
		ei _Z	18,3			F	45 30
		F	09		KRA	$\Delta=86$ km	
	RAC	$\Delta=62$ km			/SKM/	eP _{NEZ}	21 43 55,6
/suite/	/SK/	e _{NEZ}	18 07 00,5			e _{EZ}	44 05,6
		eS _{NE}	07,5			eiS _{EZ}	06,6
		e _Z	10,5			eL _{EZ}	26,0
		ei _{NE}	13,0			F	45 30
		F	09 30		NIE	$\Delta=150$ km. Forte ag.mi.	
	KRA	$\Delta=72$ km				eP _{GN} , eiP _{EZ}	21 44 06,5 D
/suite/	/SKM/	eP _{EZ}	18 07 01,5			ei _Z	23,2
		i _{NEZ}	10,4				

Date	Station	Phase	G.M.T. h m s	Date	Station	Phase	G.M.T. h m s
14.I	NIE	e _{NE}	21 44 24,3	16.I	RAC	Traces	
/suite/		F	45 30		/SK/	NEZ	10 28 00-29 30
15.I		H=10 ^h 58 ^m 55,0 ^s ; M=2,2 /Chorzów/;		16.I		DGP /GIG/: 21 50 40,0	
		DGP /GIG/: 10 58 59,9			CHZ		
	CHZ	$\Delta=11$ km				eP _N	21 50 38,2
		eP _{NEZ}	10 58 57,6			eiP _{EZ}	38,7
		i _N	59,4			Lm	39
		ei _{EZ}	59,6			E: 0,2 ^S ; 6,5 μ	
		Lm	59 02			Lm	42
		E: 0,2 ^S ; 1,5 μ				NZ: 0,5 ^S ; 3,0 μ , 1,8 μ	
		Lm	04			F	51 30
		Z: 0,8 ^S ; 1,0 μ			KRA	Faible	
		F	30		/Ch/	e _Z	21 50 49,0
	KRA	Traces				e _{NEZ}	51 09,0
	/Ch/	NEZ	10 59-11 00			e _{NEZ}	25,0
	NIE	Traces				F	52
		e _Z	10 59 21	17.I		BYT /GIG/: 19 21 19,4 ;	
		F	11 00			DGP /GIG/: 19 21 21,1	
16.I		H=10 ^h 27 ^m 30,1 ^s ; M=2,5 /Chorzów/;			CHZ	Faible	
	CHZ	$\Delta=17$ km				e _{NZ}	19 21 20,1
		eP _{EZ}	10 27 33,8			e _N	22,0
		eP _N	34,1			ei _E , e _Z	22,5
		iS _E	36,3			F	22
		eiS _Z	36,8		NIE	Faible	
		i _Z	38,3			e _N , ei _{EZ}	19 21 42,8
		Lm	42			ei _N	22 01,5
		EZ: 1,0 ^S ; 1,5 μ , 1,5 μ				ei _Z	03,0
		Lm	44			ei _E	04,5
		N: 1,0 ^S ; 2,5 μ				F	23
		F	28 30		KRA	Faible	
	KRA	$\Delta=62$ km			/Ch/	e _{EZ}	19 21 43,5
	/SKM/	eP _{GN} , eiP _{EZ}	10 27 41,5			ei _N	47,0
		ei _N	43,0			F	23
		e _{EZ}	50,5		RBN	Traces	
		e _{NEZ}	51,1			NEZ	19 21-23
		F	29		RAC	Traces	
	NIE	$\Delta=125$ km			/SK/	Z	19 21 30-23 00
		eP _{GN}	10 27 52,0	18.I		H=02 ^h 01 ^m 48,7 ^s ; DGP /GIG/: 02 00	
		eiP _{GNZ}	53,0			52,0	
		ei _E	28 04,0		CHZ	$\Delta=22$ km	
		ei _{NZ}	10,0			eP _{NEZ}	02 00 53,0
		F	29				

Date	Station	Phase	G.M.T. h m s	Date	Station	Phase	G.M.T. h m s
18.I	CHZ	e _E , e _{iZ}	02 00 56,5	19.I	RAC	e _Z	09 29 11,3
/suite/	F		01 30			e _N	13,8
	KRA	Δ = 68 km				e _{iN} , e _Z	32,5
/Ch/	eP _{NEZ}		02 01 01,1			F	31
	e _{NEZ}		09,1		NIE	Δ = 130 km	
	eS _{NE} , iS _{GEZ}		10,2		eP _{NE} , e _{iP_{GZ}}		09 29 17,5
	F		02 30		e _N , e _{iZ}		27,0
	RBN				e _{iZ}		30,3
	e _N		02 01 08,0		e _N		31,5
	e _N		12,0		i _E , e _{iZ}		35,8
	F		03		F		31
	NIE	Δ = 133 km		19.I			
	eP _{NE} , e _{iP_{GZ}}		02 01 12,7		ψ = 50°19'; λ = 19°00'; H = 19 ^h 40 ^m		
	e _{iS_{NE}} , eS _{GEZ}		30,2		23,2 ^s ; M = 2,4 /Chorzów/; DGP:		
	F		03		eP _N 19 40 26,6		
19.I		ψ = 50°19'; λ = 19°11'; H = 09 ^h 28 ^m			CHZ	Δ = 3 km	
		55,1 ^s ; M = 2,8 /Chorzów, Kraków/;			eP _{NEZ}		19 40 24,6
		BYT /GIG/: 09 29 08,0			iS _{NEZ}		25,6
	CHZ	Δ = 14 km			Lm		27
	eP _N , e _{iP_{EZ}}		09 28 58,5 C			NEZ: 0,2 ^s ; 2,0μ, 2,0μ, 2,0μ	
	eS _Z		29 00,8		F		41
	e _{iZ}		01,3		KRA	Δ = 75 km	
	Lm		07		/Ch/	e _{iP_{GEZ}}	19 40 37,0 D
		NEZ: 1,0 ^s ; 3,5μ, 3,5μ, 3,7μ			e _{NEZ}		46,0
	F		30		F		42
	KRA	Δ = 62 km			NIE	Δ = 140 km. Faible	
/Ch/	eP _{NEZ}		09 29 06,3 C		eP _{GEZ}		19 40 47,6
	e _{iN} , i _E		13,9		e _E		41 06,2
	e _{iS_{GZ}}		14,7		e _Z		06,8
	e _{iEZ}		15,7		F		30
	e _{LNEZ}		27	20.I			
	Lm		37		H = 04 ^h 26 ^m 15,0 ^s ; BYT /GIG/: 04 28		
		NEZ: 1,1 ^s ; 0,19μ, 0,16μ,			15,4; DGP /GIG/: 04 28 20,0		
	F	0,23μ			CHZ	Δ = 10 km	
			31		eP _Z		04 28 17,5
	RBN	Δ = 54 km			eS _{NEZ}		19,3
	e _Z		09 29 08,7		F		29
	eS _{NE}		12,0		KRA		
	e _{NZ}		32,0		/SKM/	e _{EZ}	04 28 31,0
	F		30 30		eS _{GEZ}		38,8
	RAC	Δ = 75 km			e _{iS_{GN}}		39,3
/SK/	eP _{NEZ}		09 29 09,0		e _{NEZ}		29 01,3
					F		30

Date	Station	Phase	G.M.T. h m s	Date	Station	Phase	G.M.T. h m s	
20.I	NIE	Traces		21.I	NIE	Δ = 124 km		
/suite/	e _Z		04 28 41,5		eP _{NEZ}		18 05 46,0	
	F		29 30		e _{iS_{NEZ}}		06 02,0	
					F		30	
21.I		H = 18 ^h 05 ^m 22,7 ^s ; DGP /GIG/: 18 05		24.I		DGP: eP _Z 12 31 27,2		
		23,6			KRA			
	CHZ	Δ = 17 km. Faible		/Ch/	eS _{GEZ}		12 31 37,7	
	eP _{NEZ}		18 05 26,4		e _N		41,3	
	e _N		29,1		e _{NEZ}		44,0	
	e _Z		30,6		Lm		48	
	e _E		31,2			NEZ: 1,8 ^s ; 0,08μ, 0,09μ,		
	F		06			0,09μ		
	KRA	Δ = 54 km			F		32 30	
/SKM/	eP _{GNZ} , e _{iP_{GE}}		18 05 32,7		NIE			
	e _{iS_{NEZ}}		40,0		eP _{GNZ}		12 31 44,5	
	Lm		06 02		e _{iZ}		58,6	
		NZ: 1,3 ^s ; 0,05μ, 0,11μ			e _N		32 00,5	
	Lm		06		e _{EZ}		/01,5/	
		E: 1,2 ^s ; 0,05μ			e _{iN}		06	
	F		30		F		33	
1967				F É V R I E R				1967
3.II		ψ = 50°18'; λ = 18°52'; H = 19 ^h 35 ^m		3.II	RAC	e _Z	19 35 41,4	
		22,8 ^s ; M = 2,6 /Dąbrowa Górnicza/;				e _{iZ}	43,6	
		BYT: e _{iP_{NE}} 19 35 24,7; DGP: eP _E				e _E	44,8	
		19 35 28,0, e _{iS_{EZ}} 31,8, Lm _{NEZ}				F	38	
		1,2μ, 0,9μ, 1,0μ			NIE	Δ = 147 km		
	RBN	Δ = 34 km. N - inactive			e _{iP_{NEZ}}		19 35 49,8 D	
	eS _{EZ}		19 35 34,0		e _{iNE}		36 06,6	
	e _{EZ}		35,8		iS _{NE} , e _{iS_{GZ}}		08,9	
	e _{iE}		39,5		e _{NEZ}		12,6	
	e _Z		42,6		F		37 30	
	F		37	4.II		ψ = 50°21'; λ = 18°54'; H = 04 ^h 19 ^m		
	KRA	Δ = 83 km				29,0 ^s ; M = 2,7 /Bytom/, 2,5 /Dąbro-		
/Ch/	e _{NEZ}		19 35 38,8			wa Górnicza/; BYT: iP _{NE} 04 19		
	iS _{NEZ}		48,0			30,0, Lm _{NE} 70,8μ, 70,0μ, DGP:		
	F		37 30			eS _{NZ} 04 19 37,0, Lm _Z 1,5 ^s ; 0,9μ		
	RAC	Δ = 53 km			KRA	Δ = 83 km		
/SK/	e _{NZ}		19 35 32,3		/Ch/	eP _{GE}	04 19 44,0	
	eS _{GN} , e _{iS_{GZ}}		39,2		eP _{GZ}		44,5	

- 154 -

Date	Station	Phase	G.M.T. h m s	Date	Station	Phase	G.M.T. h m s
4.II	KRA	e ^{NE}	04 19 45,0	6.II	KRA		
/suite/		e ^{NZ}	54,3	/Ch/	eP _{NEZ}		10 48 47,9
		eS _{GN} , eIS _{GE}	55,0		e ^{NEZ}		59,0
		e ^{IEZ}	59,0		F		49 30
		F	21 30	NIE			
	RAC	Faible			e ^{iP} _{GEZ}		10 48 58,5
/SK/		e ^N	04 19 44,5		e ^{NEZ}		49 14,5
		e ^E	48,0		e ^{iNE} , e ^Z		16,0
		e ^Z	20 02,0		F		30
		e ^{IE}	05,0	7.II		DGP /GIG/:	03 58 51,4
		F	21 30	CHZ			
	NIE	Δ = 149 km. N - illisible			eP _{NEZ}		03 58 49,1
		eP _{GE} , e ^{iP} _{GEZ}	04 19 54,7 C		Lm		53
		e ^E	20 11,0			NEZ: 0,9 ^S ; 2,0 ^μ , 1,0 ^μ , 1,1 ^μ	
		e ^{EZ}	12,8		F		59
		F	21	KRA			
6.II		H=10 ^h 43 ^m 11,0 ^S ; M=2,0 /Chorzów/;		/SKM/	e ^{NEZ}		03 59 11,0
		DGP /GIG/:	10 43 12,7		e ^{NEZ}		16,5
CHZ		Δ = 12 km			e ^{NEZ}		32,0
		e ^{SZ}	10 43 15,7		F		04 00
		e ^{SNE}	16,0	8.II		H=12 ^h 26 ^m 32,7 ^S ; DGP: eP _Z	12 26
		e ^{NZ}	18,9			35,0	
		e ^E	20,4	KRA		Δ = 75 km	
		Lm	23	/Ch/	eP _{NEZ}		12 26 46,4
		Z: 1,4 ^S ; 0,9 ^μ			eS _{NEZ}		56,4
		F	44		F		27 30
	KRA	Δ = 71 km		NIE	Faible		
/Ch/		eP _{NEZ}	10 43 23,9		e ^{iP} _{GEZ}		12 26 51,3
		e ^{iS} _{NEZ}	33,4		e ^{EZ}		56,5
		F	44 30		e ^{iZ}		27 03,0
	NIE	Δ = 138 km			e ^{NE}		08,3
		eP _{NE} , e ^{iP} _{GEZ}	10 43 35,5 D		F		30
		e ^Z	49,5	10.II		ψ = 50°16' ; λ = 18°58' ; H=17 ^h	
		e ^N	52,0			18 ^m 10,5 ^S ; M=2,1 /Chorzów/;	
		e ^{iS} _{GEZ}	53,5			2,3 /Dąbrowa Górnicza/; DGP:	
		F	44 30			eP _{NEZ} 17 18 14,7, e ^S _{EZ} 18,0,	
6.II		DGP /GIG/:	10 48 37,2			Lm _{NE} 1,2 ^S ; 0,5 ^μ , 0,5 ^μ ;	
CHZ		Faible				BYT /GIG/:	17 18 16,7
		e ^Z	10 48 41,0	CHZ		Δ = 4' km	
		e ^N	42,0		e ^{iP} _{NEZ}		17 18 12,0 D
		e ^E	46,0		e ^{iS} _{EZ}		13,1
		F	49		Lm		16
						Z: 1,0 ^S ; 3,1 ^μ	
					F		30

- 155 -

Date	Station	Phase	G.M.T. h m s	Date	Station	Phase	G.M.T. h m s
10.II	KRA	Δ = 74 km		10.II	CHZ	Δ = 5 km	
/suite/	/Ch/	eP _{GEZ}	17 18 24,1 D			eP _{NEZ}	20 56 05,2 D
		eS _{GN} , e ^{iS} _{GEZ}	34,1			e ^{iS} _E , i ^{SZ}	06,5
		e ^{IEZ}	36,2			Lm	08
		e ^N	45,0				NEZ: 1,0 ^S ; 4,5 ^μ , 3,5 ^μ , 2,5 ^μ
		F	19			F	57
	NIE	Δ = 137 km		KRA		Δ = 75 km	
		eP _{NE} , e ^{iP} _{GEZ}	17 18 34,3 C	/Ch/		eP _{NEZ}	20 56 17,1
		e ^Z	38,5			e ^{IEZ}	17,6
		e ^{NE}	53,3			e ^{iS} _{NEZ}	27,1
		e ^{iZ}	53,8			F	57 30
		F	19 30	RBN		Δ = 36 km	
10.II		H=17 ^h 18 ^m 23,0 ^S ; DGP /GIG/:	17 18			e ^{NEZ}	20 56 19,0
		37,3				e ^N	29,0
CHZ		Δ = 3 km				e ^N	32,0
		e ^{iP} _{NE} , i ^{PZ}	17 18 24,7			F	57 30
		e ^{iS} _E , i ^{SZ}	25,3	NIE		Δ = 137 km	
		Lm	28			eP _{NEZ}	20 56 28,3
		NEZ: 0,8 ^S ; 6,0 ^μ , 2,5 ^μ , 5,0 ^μ				e ^N	37,1
		F	19			e ^{NEZ}	41,4
	RBN	Δ = 37 km				eS _{GEZ}	46,4
		eP _{NEZ}	17 18 30,0			eS _{GN}	46,9
		e ^N	35,0			F	58
		e ^{EZ}	37,0	13.II		BYT /GIG/:	18 27 23,7 ;
		F	20			DGP /GIG/:	18 29 26,0
	KRA	Δ = 74 km		KRA		Faible	
/Ch/		eS _{NEZ}	17 18 45,5	/SKM/		e ^{NEZ}	18 27 46,5
		e ^Z	53,3			e ^{EZ}	28 08,5
		e ^N	54,4			F	30
		F	19 30	NIE			
	NIE	Δ = 138 km				e ^{iE} _Z	18 27 47,4
		eS _{NE}	17 19/05,3/			e ^{EZ}	28 06,7
		e ^Z	10,0			F	30
		e ^{NZ}	15,2	17.II		ZAB /GIG/:	21 28 51,5 ;
		e ^{EZ}	23,3			BYT /GIG/:	21 28 52,0 ;
		F	20			DGP /GIG/:	21 28 57,9
	RAC	Traces		RBN			
/SK/		NE	17 18 30-20 00			e ^{NEZ}	21 29 15,3
10.II		ψ = 50°15' ; λ = 18°58' ; H=20 ^h 56 ^m				F	31 30
		03,8 ^S ; M=2,3 /Chorzów/; ZAB:		KRA		N - inactive	
		eP _E 20 56 06,4 ; DGP: eP _{NEZ}		/SKM/		e ^{EZ}	21 29 16,0
		20 56 08,4, eS _{NZ} , e ^{iS} _E 11,4				e ^{EZ}	21,0

- 156 -

Date	Station	Phase	G.M.T. h m s	Date	Station	Phase	G.M.T. h m s	
17.II	KRA	e ₁ EZ F	21 29 38,0 31	21.II	CHZ	DGP /GIG/: 03 43 53,0 Faible		
20.II		$\gamma = 50^{\circ}21'$; $\lambda = 18^{\circ}57'$; $H=08^h55^m$ 01,8 ^s ; M=2,7 /Chorzów, Dąbrowa Górnicza/; BYT: e _P E 08 55 02,7 DGP: e _P EZ 08 55 06,5, Lm _Z 1,5 ^s 1,5 μ				e _Z 03 43 55,9 e _N 58,4 e _E 44 03,8 F 30		
	CHZ	$\Delta = 8$ km e _P NE, e ₁ PZ e ₁ S _E , i ₁ S _Z Lm E: 1,0 ^s ; 3,0 μ Lm NZ: 0,5 ^s ; 3,0 μ , 3,2 μ F	08 55 04,1 D 05,6 07 10 56		KRA /SKM/	Faible e _Z 03 44 02,4 e _E 02,9 e _S NEZ 09,3 e _Z 13,3 F 45		
	KRA /Ch/	$\Delta = 80$ km e _P G _Z e _N , e ₁ EZ e _S NEZ e _E , e ₁ Z e _N F	08 55 15,9 16,8 26,5 28,3 29,8 56 30	23.II	CHZ	H=08 ^h 23 ^m 29,3 ^s ; DGP: e _P NE 08 23 34,4 $\Delta = 2$ km e _P NEZ 08 23 30,2 Lm 32 NEZ: 0,6 ^s ; 2,0 μ , 3,5 μ , 2,0 μ F 24		
	RBN	$\Delta = 43$ km. Forte ag.m1. e _{NEZ} e _N e _N F	08 55 19,0 22,0 29,0 57		KRA /Ch/	$\Delta = 72$ km e _P G _Z 08 23 42,4 e _S NEZ 52,0 e _{NE} 24 11,0 F 30		
	NIE	$\Delta = 146$ km e ₁ P _{NE} , i ₁ P _Z e _{EZ} e _Z e ₁ S _{EZ} , i ₁ S _{EN} F	08 55 27,8 D 30,5 43,6 47,0 57		NIE	$\Delta = 133$ km e _P G _Z 08 23 52,9 e _E , e ₁ Z 53,4 55,4 e _N 24 12,2 e _{NZ} F 25		
	RAC /SK/	Traces NE	08 55-57					
1967				M A R S				1967
1.III		$\gamma = 50^{\circ}20'$; $\lambda = 18^{\circ}53'$; $H=03^h13^m$ 52,7 ^s ; M=3,1 /Chorzów/; BYT: e _P N 03 13 54,3; DGP: e _P NEZ 03 13 57,5, e _S EZ 14 01,0		1.III	CHZ	$\Delta = 10$ km e ₁ P _{NE} , i ₁ P _Z 03 13 55,1 D Lm 57 NEZ: 0,5 ^s ; 6,5 μ , 6,2 μ , 5,5 μ F 15		

- 157 -

Date	Station	Phase	G.M.T. h m s	Date	Station	Phase	G.M.T. h m s
1.III	RBN /suite/	$\Delta = 37$ km e _{NZ} e _E e _{EZ} e _{NZ} F	03 14 01,5 02,5 07,3 08,2 16	2.III	KRA	e ₁ E, e _Z e _S EZ e _E F	19 53 30,5 35,0 37 55
	RAC /SK/	$\Delta = 56$ km e _P NE e _{NZ} e _{NE} e _N e _E F	03 14 03,0 05,5 12,0 15,0 22,5 16		NIE	$\Delta = 136$ km e _P NE, e ₁ P _Z e _S EZ e _N F	19 53 34,4 C 52,1 55,0 55
	KRA /SKM/	$\Delta = 84$ km e _P NE, e ₁ P _Z i ₁ S _E , e ₁ S _Z Lm NZ: 1,2 ^s ; 0,05 μ , 0,12 μ Lm E: 1,0 ^s ; 0,06 μ F	03 14 07,3 C 18,0 45 47 16	6.III	CHZ	DGP /GIG/: 12 59 56,2 Faible e _{NEZ} e _E e _{NZ} F	13 00 00,0 02,1 04,0 30
	NIE	$\Delta = 148$ km e ₁ P _{NEZ} e ₁ NEZ e ₁ NEZ e _{NE} e ₁ S _{NEZ} F	03 14 17,2 19,7 31,2 34,2 36,0 16		KRA /Ch/	e _P NEZ e ₁ N, e _Z e _E e ₁ Z e _L NEZ F	13 00 06,0 13,4 14,6 16,9 24 01
2.III		H=19 ^h 53 ^m 10,2 ^s ; ZAB /GIG/: 19 53 11,0; DGP /GIG/: 19 53 14,6 $\Delta = 8$ km. Faible e _S EZ e _{NZ} e _E F	19 53 13,5 15,7 22,0 54 30		NIE	Faible e _N , e ₁ Z e ₁ E e ₁ E, e _Z e ₁ N F	13 00 16,7 17,9 32,2 34,0 01
	RBN	$\Delta = 34$ km e ₁ P _N , e _P E e _Z e _S E, e ₁ S _Z i ₁ N, e ₁ E F	19 53 16,7 18,2 21,5 23,2 55	10.III	CHZ	H=23 ^h 56 ^m 30,3 ^s ; M=2,5 /Chorzów/ BYT /GIG/: 23 56 35,3 $\Delta = 16$ km e _P EZ e _N e _S NZ e _E Lm NE: 0,8 ^s ; 1,5 μ , 1,5 μ F	23 56 33,7 35,1 36,2 36,7 45 57 30
	KRA /SKM/	$\Delta = 79$ km e ₁ P _{EZ}	19 53 24,5		RAC /SK/	$\Delta = 50$ km. Z - inactive e _S NE e _{NE} F	23 56 46,0 55,1 59

- 158 -

Date	Station	Phase	G.M.T. h m s	Date	Station	Phase	G.M.T. h m s
10.III	NIE	$\Delta=144$ km		13.III	NIE	$\Delta=133$ km	
/suite/		eiPg _{NZ} , ePg _E	23 56 55,8 C			ePg _N , eiPg _Z	01 21 45,1
		e _E	57 06,3			eSg _{NEZ}	22 03,0
		ei _N	16,8			F	23
		ei _Z	21,5	14.III		H=21 ^h 33 ^m 48,1 ^s	DGP /GIG/: 21 33
		F	58 30			52,4	
11.III		$\varphi=50^{\circ}18'$; $\lambda=19^{\circ}11'$; H=16 ^h 43 ^m			KRA	$\Delta=67$ km. N - illisible	
		25,1 ^s ; M=2,5 /Chorzów/; DGP:		/SKM/		ePg _{EZ}	21 34 00,4
		iP _N , eiP _{EZ} 16 43 26,5, iS _{NEZ} 27,5				ei _Z	08,4
CHZ		$\Delta=14$ km				eiSg _{EZ}	09,4
		e _{NE}	16 43 28,9			ei _{EZ}	17,0
		eS _{NEZ}	29,5		NIE	Traces	
		e _{NEZ}	32,0			NEZ	21 34 00-35 30
		Lm	38	15.III		DGP /GIG/: 01 14 16,1 ;	
		NEZ: 0,9 ^s ; 1,5 μ , 1,2 μ , 1,9 μ				BYT /GIG/: 01 14 16,2	
		F	44		KRA		
	KRA	$\Delta=62$ km		/SKM/		e _{NZ}	01 14 33,4
/SKM/		ePg _{NEZ}	16 43 36,3			e _{NZ}	36,4
		ei _N	43,6			e _{NEZ}	42,9
		eiSg _{NE} , eSg _Z	44,6			e _{LNEZ}	57
		e _{LNEZ}	57,5			F	16
		F	45		NIE		
	NIE	$\Delta=131$ km				ePg _{NE} , eiPg _Z	01 14 34,7
		eiPg _Z	16 43 48,2			e _Z	49,2
		e _{NEZ}	55,2			e _E	54,2
		eSg _{NEZ}	44 06,0			ei _N	55,8
		F	45			F	16
13.III		$\varphi=50^{\circ}18'$; $\lambda=19^{\circ}08'$; H=01 ^h 21 ^m		16.III		$\varphi=50^{\circ}15'$; $\lambda=19^{\circ}01'$; H=07 ^h 11 ^m	
		21,7 ^s ; M=2,7 /Dąbrowa Górnicza/;				15,2 ^s ; M=2,4 /Chorzów, Dąbrowa	
		DGP: eiP _{NZ} , iP _E 01 21 23,8				Górnica/; DGP: eP _{NEZ} 07 11	
		iS _{NEZ} 25,3, Lm _Z 0,8 ^s , 4,2 μ				19,1, Lm _Z 1,0 ^s , 0,7 μ ; BYT	
CHZ		$\Delta=10$ km. NE - inactives				/GIG/: 07 11 22,4	
		eS _Z	01 21 25,5		CHZ	$\Delta=5$ km	
		e _Z	28,8			eiP _{NE} , iP _Z	07 11 16,6 C
		e _Z	30,0			iS _Z	17,6
		F	22			Lm	19
	KRA	$\Delta=66$ km				NEZ: 0,7 ^s ; 5,0 μ , 6,5 μ , 4,0 μ	
/Ch/		ePg _{NEZ}	01 21 33,7			F	12
		e _{NE}	41,2		KRA	$\Delta=70$ km	
		eSg _{EZ}	42,5	/Ch/		eiPg _E , ePg _Z	07 11 28,1 D
		ei _N	43,2			ei _E	34,2
		F	22 30				

- 159 -

Date	Station	Phase	G.M.T. h m s	Date	Station	Phase	G.M.T. h m s
18.III	KRA	eiSg _N , eSg _E	07 11 37,5	21.III	CHZ	e _{EZ}	15 20 41,2
/suite/		e _E , i _Z	38,3			F	21
		e _{L_N}	58,5		KRA		
		F	12 30	/Ch/		ePg _{EZ}	15 20 47,2
	NIE	$\Delta=134$ km				ei _N , e _Z	54,5
		ePg _{NEZ}	07 11 38,8 C			ei _N	59,2
		ei _Z	53,8		NIE	Traces	
		e _N , ei _E	55,6			EZ	15 20 30-22 00
		ei _{NZ}	57,3	22.III		H=00 ^h 04 ^m 24,0 ^s ; BYT /GIG/: 00 04	
		F	13			25,6 ; DGP /GIG/: 00 04 29,4	
	RAC	$\Delta=61$ km. Faible		CHZ		$\Delta=12$ km	
/SK/		e _{NZ}	07 11 46,3			eP _{NEZ}	00 04 26,7
		e _{EZ}	55,2			eiS _E , eS _Z	28,7
		F	13			F	05
20.III		H=16 ^h 50 ^m 09,5 ^s ; M=2,3 /Chorzów/;			KRA	Faible	
		DGP /GIG/: 16 50 09,9		/SKM/		ePg _{NEZ}	00 04 39,5
CHZ		$\Delta=17$ km				e _{NEZ}	48,0
		eP _{EZ}	16 50 13,5			ei _E	57,0
		eP _N	13,7			F	05 30
		eS _{NEZ}	16,2				
		Lm	22	22.III		DGP /GIG/: 17 43 30,2	
		Z: 1,4 ^s ; 1,1 μ		CHZ			
		F	51			eP _{NEZ}	17 43 30,8
	KRA	$\Delta=56$ km				e _E	32,8
/Ch/		ePg _{EZ}	16 50 19,6 C			e _{NZ}	33,6
		e _N	20,2			Lm	38
		eiSg _N , eSg _Z	27,2			EZ: 1,0 ^s ; 0,9 μ , 0,9 μ	
		ei _{NE}	28,8			F	44
		e _{EZ}	30,9		KRA	Faible	
		F	51 30	/SKM/		e _{NE}	17 43 47,1
	NIE	$\Delta=126$ km				e _{EZ}	47,7
		eiPg _N , ePg _E , iP _{GZ}	16 50 32,0			e _Z	52,5
		e _N	45,6			F	44 30
		eiSg _{NE}	48,5		NIE	Traces	
		e _Z	49,9			e _Z	17 43 49,1
		F	52			F	44 30
	RAC	Traces		23.III		$\varphi=50^{\circ}21'$; $\lambda=18^{\circ}55'$; H=22 ^h 06 ^m	
/SK/		Z	16 50-52			15,2 ^s ; M=2,9 /Chorzów/; ZAB:	
21.III		DGP /GIG/: 15 20 36,0				eS _{NE} 22 06 19,9 ; DGP /GIG/:	
CHZ		Faible				22 06 21,0	
		eP _Z	15 20 39,2		CHZ	$\Delta=9$ km	
		eP _N	39,7			eiP _E , iP _{NZ}	22 06 17,6 C

- 160 -

Date	Station	Phase	G.M.T. h m s	Date	Station	Phase	G.M.T. h m s	
23.III	CHZ	e_{EZ}	22 06 18,4	27.III	KRA	$\Delta = 82$ km		
/suite/		i_{EZ}	19,4	/SKM/	$e_{Pg_{EZ}}$		17 53 34,1	
		Lm	21		e_{iN}		34,6	
		F	07		e_{iN}, e_{EZ}		43,7	
					$e_{iS_{G_{NEZ}}}$		45,0	
RBN	$\Delta = 40$ km. Faible				e_{iE}		45,6	
		$e_{S_{G_{NEZ}}}$	22 06 27,7		e_{NEZ}		55,1	
		F	43		F		55	
		e_N	07	NIE	$\Delta = 148$ km. Forte ag.mi			
RAC	$\Delta = 59$ km. Faible				$e_{iP_{GZ}}$		17 53 44,8	
/SK/		e_{EZ}	22 06 27,7		e_Z		54 04,3	
		e_Z	34,9		F		55	
		e_E	37,5	RAC	Traces			
		F		/SK/	NEZ		17 53-55	
KRA	$\Delta = 82$ km			28.III		$\psi = 50^{\circ}21'$; $\lambda = 18^{\circ}55'$; $H = 04^h34^m$		
/SKM/		$e_{P_{G_E}}, e_{iP_{GZ}}$	22 06 30,2 D			$41,4^S$; $M = 2,4$ /Chorzów/, BYT:		
		e_N	31,5		CHZ	$\Delta = 9$ km		
		e_{iZ}	38,5			$e_{P_{NE}}, e_{iPZ}$	04 34 43,7 D	
		$e_{S_{G_N}}, e_{iS_{GZ}}$	41,1			$i_{S_N}, e_{iS_{EZ}}$	45,4	
		e_E	42,8			i_Z	46,7	
		F	08			Lm	50	
NIE	$\Delta = 148$ km					NEZ: $1,0^S$; $3,0\mu$; $2,5\mu$; $2,0\mu$		
		$e_{P_{G_N}}, e_{iP_{G_{EZ}}}$	22 06 39,6 D			F	35 30	
		e_N, e_{iZ}	43,2		KRA	$\Delta = 82$ km		
		e_{iE}, e_Z	57,7		/SKM/	$e_{P_{G_{EZ}}}$	04 34 56,1	
		$e_{S_{G_{EZ}}}$	59,1			$e_{S_{G_{NEZ}}}$	35 06,5	
		F	08			e_{NEZ}	20,8	
						F	36	
27.III					NIE	$\Delta = 148$ km. Faible		
		$\psi = 50^{\circ}21'$; $\lambda = 18^{\circ}55'$; $H = 17^h53^m$				$e_{P_{G_{NEZ}}}$	04 35 06,3	
		$19,8^S$; $M = 2,5$ /Chorzów/; DGP:				e_{iNEZ}	22,8	
		$e_{P_E} 17 53 24,9$, $e_{S_{EZ}} 28,3$				$e_{iS_{G_{NE}}}$	25,6	
CHZ	$\Delta = 9$ km					F	36 30	
		e_{iP_N}, i_{PEZ}	17 53 22,0 D		RAC	Traces		
		e_Z	22,4		/SK/	NEZ	04.35-37	
		i_{S_Z}	23,6					
		Lm	26		30.III		$\psi = 50^{\circ}21'$; $\lambda = 18^{\circ}51'$; $H = 10^h09^m$	
		NEZ: $0,8^S$; $4,0\mu$; $4,5\mu$; $2,0\mu$				$34,4^S$; $M = 3,0$ /Chorzów/; BYT:		
		F	54			$e_{P_{NE}} 10 09 37,0$; DGP: $e_{P_{EZ}} 10$		
RBN	$\Delta = 40$ km					$09 40,0$, $e_{S_{NZ}} 44,1$		
		e_{EZ}	17 53 29,5		CHZ	$\Delta = 12$ km		
		$e_{S_{NZ}}$	32,9			e_{iP_Z}	10 09 37,2 D	
		e_N	35,1					
		e_E	38,0					
		F	55					

- 161 -

Date	Station	Phase	G.M.T. h m s	Date	Station	Phase	G.M.T. h m s	
30.III	CHZ	e_{NE}	10 09 37,6	30.III	RAC	$\Delta = 55$ km		
/suite/		$e_{iS_{EZ}}$	39,3	/SK/	$i_{P_{G_N}}, e_{iP_{G_{EZ}}}$		10 09 44,4 C	
		i_Z	41,3		e_Z		49,6	
		Lm	44		e_N, e_{iE}		50,6	
		F	10 30		$e_{iS_{G_{NE}}}$		52,0	
					F		11	
RBN	$\Delta = 37$ km			NIE	$\Delta = 151$ km			
		$e_{P_{G_{NZ}}}$	10 09 41,5 C		$e_{iP_{G_{NEZ}}}$		10 10 00,5 C	
		e_{EZ}	43,2		e_Z		03,0	
		e_{NE}	49,0		e_{iN}		20,9	
		e_Z	53,0		e_{iNE}, i_Z		21,5	
		F	11		F		11 30	
1967				A V R I L				1967
4.IV		$H = 13^h52^m21^S$; DGP /GIG/:	13 52 30,1	4.IV	KRA	Lm	16 42 16,3	
							EZ: $1,4^S$; $0,08\mu$; $0,09\mu$	
					F		44	
KRA	$\Delta = 80$ km			NIE	$\Delta = 137$ km. NE - illisibles			
/Ch/		$e_{P_{G_{EZ}}}$	13 52 35,4		$e_{P_{GZ}}$		16 42 46,6	
		$e_{iS_{G_N}}$	45,9		e_Z		43 02,1	
		$e_{S_{G_{EZ}}}$	46,3		F		44 30	
		F	54	RBN	Traces			
NIE	Traces				NEZ		16 42-44	
		e_{iZ}	13 52 49,7	RAC	Traces			
		F	54	/SK/	NEZ		16 42-45	
4.IV		$\psi = 50^{\circ}14,5'$; $\lambda = 18^{\circ}53,0'$;		5.IV		$H = 19^h58^m33,5^S$; $M = 1,9$ /Chorzów/;		
		$H = 16^h42^m22,5^S$; $M = 2,9$ /Chorzów/;				DGP /GIG/:	19 58 37,5	
		$2,7$ /Kraków/; DGP: $e_{P_E} 16 42$		CHZ	$\Delta = 3$ km			
		$27,6$; BYT: $e_{S_E} 16 42 27,9$			e_{iP_Z}		19 58 34,5 D	
CHZ	$\Delta = 10$ km				e_{iP_N}		34,9	
		$e_{P_{NE}}, e_{iPZ}$	16 42 24,7		i_Z		35,6	
		i_{NE}	25,7		Lm		38	
		Lm	28			NEZ: $0,7^S$; $2,5\mu$; $2,5\mu$; $2,0\mu$		
		NEZ: $1,0^S$; $3,0\mu$; $6,3\mu$			F		59	
		F	43	KRA	$\Delta = 77$ km			
				/SKM/	$e_{P_{G_{EZ}}}$		19 58 47,5	
KRA	$\Delta = 79$ km				$e_{S_{G_{EZ}}}$		57,5	
/Ch/		$e_{P_{G_{NEZ}}}$	16 42 36,6		F		20 00	
		e_Z	45,4					
		$e_{iS_{G_{NEZ}}}$	46,9					
		Lm	43 15,8					
		N: $1,3^S$; $0,07\mu$						

Date	Station	Phase	G.M.T. h m s	Date	Station	Phase	G.M.T. h m s
5.IV	NIE	$\Delta=134$ km. Traces		10.IV	CHZ	Lm	11 48 25
/suite/		ePg _{NE} , eiPg _Z	19 58 57,3			NEZ: 1,0 ^s ; 2,5 μ , 2,0 μ , 1,2 μ	
		F	20 00			F	49
	RBN	Traces			KRA	$\Delta=60$ km	
		NEZ	19 58-20 00	/Ch/	ePg _{NE} , eiPg _Z		11 48 24,5
	RAC	Traces			eiSg _N		31,8
/SK/		NEZ	19 58-20 01		eiEZ		33,2
					F		49 30
8.IV		DGP /GIG/: 10 43 57			NIE	$\Delta=128$ km	
	KRA				ePg _{NEZ}		11 48 36,3
/Ch/	ePg _{EZ}		10 44 06,6		eSg _{NEZ}		52,3
	e _N		07,7		F		50
	e _Z		12,6	13.IV		DGP /GIG/: 00 34 27,9	
	F		45		KRA	Traces	
9.IV		$\varphi=50^{\circ}16'$; $\lambda=18^{\circ}56'$; H=02 ^h 29 ^m		/Ch/	eiSg _{EZ}		00 34 46,5
		00,8 ^s ; M=2,7 /Chorzów/; BYT:			F		35 30
		eS _N 02 29 05,0; DGP: eP _{EZ} 02			NIE		
		29 05,2			ePg _Z		00 34 47,9
	CHZ	$\Delta=5$ km			eSg _Z		35 07,5
		eP _{NEZ}	02 29 02,3		F		36
		eiS _{EZ}	03,3	13.IV		DGP /GIG/: 13 50 20,3	
		Lm	05		KRA	Traces	
		NEZ: 0,2 ^s ; 2,5 μ , 2,0 μ , 2,0 μ		/Ch/	e _Z		13 50 27,2
		F	30		e _{NEZ}		30,0
	KRA	$\Delta=75$ km			ei _N		36,8
/Ch/	eiPg _{EZ}		02 29 14,5		F		51 30
	eSg _{EZ}		24,6		NIE		
	F		30 30		ePg _{EZ}		13 50 42,0
	NIE	$\Delta=136$ km			e _E		58,8
		ePg _Z	02 29 24,5		ei _N , e _Z		51 00
		e _Z	44,8		F		30
		e _N	45,1	14.IV		BYT /GIG/: 17 05 51,0 ;	
		e _{NZ}	50,7			DGP /GIG/: 17 06 00,0	
		F	31		NIE	Traces	
	RAC	Traces			e/Pg _Z		17 06 13,8
/SK/		NEZ	02 29-31		e _E		33,3
					e _{NZ}		33,6
10.IV		$\varphi=50^{\circ}19'$; $\lambda=19^{\circ}12'$; H=11 ^h 48 ^m			F		08
		13,5 ^s ; M=2,4 /Chorzów/; DGP:			KRA	Traces	
		1P _{NEZ} 11 48 14,3		/SKM/	e _{NEZ}		17 06 28
	CHZ	$\Delta=15$ km			e _{NEZ}		35
		eP _{NZ}	11 48 17,0		F		08
		eiEZ	20,2				
		ei _N	20,7				

Date	Station	Phase	G.M.T. h m s	Date	Station	Phase	G.M.T. h m s
14.IV		DGP /GIG/: 18 05 35,2		16.IV		DGP /GIG/: 15 19 54,8	
		BYT /GIG/: 18 05 35,3			KRA	Traces	
	CHZ			/Ch/	ePg _{NEZ}		15 20/05,1/
		eiP _Z	18 05 33,3 D		e _E		16,1
		eP _{NE}	33,5		e _{NZ}		18,1
		Lm	36,0		F		21
		EZ: 0,8 ^s ; 2,5 μ , 4,0 μ			NIE		
		F	06		ePg _Z		15 20 17,8
	KRA	Traces			e _E		18,4
/Ch/	ePg _Z		18 05 45,4		e _E		34,6
	e _E		46,4		e _Z		36,8
	ei _Z		54,9		F		21 30
	F		07	24.IV		DGP /GIG/: 13 15 36,6	
	NIE				KRA	Traces	
		ePg _{EZ}	18 05 56,3	/Ch/	ePg _E		13 15 46,0
		e _{NZ} , ei	06 14,4		e _Z		47,5
		F	07		e/Sg _{NE} , ei/Sg _Z		53,9
					F		17
15.IV		$\varphi=50^{\circ}16,5'$; $\lambda=19^{\circ}09,0'$; H=14 ^h			NIE	Traces	
		23 ^m 43,5 ^s ; M=2,6 /Chorzów/; DGP:			ePg _Z		13 15 56,5
		eP _{NEZ} 14 23 45,5			F		17 30
	CHZ	$\Delta=11$ km		26.IV		DGP /GIG/: 20 22 58,2	
		eP _E , iP _Z	14 23 46,1		KRA		
		i _Z	48,7	/Ch/	ePg _{EZ}		20 23 07,4
		Lm	52		ei _{NEZ}		19,4
		EZ: 1,0 ^s ; 4,0 μ , 2,5 μ			F		24 30
		F	24 30		RBN		
	KRA	$\Delta=61$ km			e _{NEZ}		20 23 08
/Ch/	ePg _N , eiPg _{EZ}		14 23 54,6		e _{NE}		16
	eiSg _{EZ}		24 02,7		F		25
	F		25 30		NIE		
	RAC	$\Delta=71$ km. Traces			ePg _{EZ}		20 23 17,9
/SK/	e _{EZ}		14 24 04,9		e _E		35,4
	e _{NZ}		10,9		e _N		38,4
	F		26 30		F		24 30
	NIE	$\Delta=126$ km			RAC	Traces	
		ePg _{NE} , eiPg _Z	14 24 06,0 C	/SK/	NEZ		20 23-25
		eiSg _{NE}	23,0				
		ei _Z	25,5	27.IV		H=07 ^h 48 ^m 09,2 ^s ; M=2,2 /Kraków/;	
		F	26		ZAB /GIG/: 07 48/11,2/; DGP:		
	RBN	Traces			eP _Z 07 48 14,7		
		NEZ	14 24-26				

Date	Station	Phase	G.M.T. h m s	Date	Station	Phase	G.M.T. h m s
16.V	NIE	e _Z	12 55 32,5	28.V		$\varphi = 50^{\circ}21'$; $\lambda = 18^{\circ}56'$; $H = 13^{h}03^m$	
/suite/		F	56 30			16,0 ^s ; M=3,2 /Kraków/, 2,9 /Chorzów, Dąbrowa Górnicza/; BYT:	
19.V	KRA	e/Pg/N, ei/Pg/Z	06 08 17,3			eP _{NE} 13 03 16,3; DGP: eP _{EZ} 13 03 19,8, Lm _Z : 1,3 ^s ; 2,5 μ	
/Ch/		e _N , ei _Z	24,3	CHZ		$\Delta = 8$ km	
		i _E	24,8			iP _{NZ} , ei _{PE} 13 03 18,2	
		F	09 30			Lm 23,0	
	NIE					EZ: 1,0 ^s ; 7,5 μ , 7,5 μ	
		eiPg _Z	06 08 28,9	RBN		$\Delta = 40$ km	
		ei _N	45,5			e _Z 13 03 26,3	
		e _Z	46,6			e _{SNE} 28,4	
		F	10			F 06	
22.V		$\varphi = 50^{\circ}21,0'$; $\lambda = 18^{\circ}53,5'$;		RAC		$\Delta = 60$ km	
		H=06 ^h 30 ^m 33 ^s ; M=2,4 /Chorzów/;		/SK/		e _E 13 03 29,6	
		BYT: eP _N 06 30 33,4; ZAB /GIG/:				e _{SNE} 35,0	
		06 30 36,4; DGP: eP _{EZ} 06 30 37,8				e _N , ei _E 36,5	
CHZ		$\Delta = 10$ km				F 06 30	
		iP _{NZ} , ei _{PE} 06 30 35,3		KRA		$\Delta = 78$ km	
		Lm 42,0		/Ch/		eiPg _{NZ} 13 03 30,2	
		NEZ: 1,2 ^s ; 2,5 μ , 2,0 μ , 2,5 μ				e _{EZ} 39,4	
		F 31				ei _{SNEZ} 40,5	
KRA		$\Delta = 81$ km				Lm 04 07,8	
/Ch/		ePg _E , eiPg _Z 06 30 48,0				EZ: 1,1 ^s ; 0,20 μ , 0,28 μ	
		e _{NE} 57,9				Lm 08,3	
		eiSg _Z 58,8				N: 1,2 ^s ; 0,21 μ	
		F 32				F 05 30	
RAC		$\Delta = 58$ km. Traces, Z - inactive		NIE		$\Delta = 143$ km	
/SK/		e _{NE} 06 30 55,5				eiPg _{NEZ} 13 03 41,1 C	
		e _{NE} 31 03,9				iSg _{NE} 04 00,7	
		F 33 30				F 06 30	
27.V		DGP /GIG/: 09 52 23,5		30.V		DGP /GIG/: 04 42 50,0	
KRA		Traces		KRA		Traces	
/Ch/		e _N 09 52 39,2		/Ch/		e _Z 04 42 59,0	
		e _E , ei _Z 40,5				e _{NEZ} 43 07,1	
		F 54				F 44	
NIE		NE - forte ag.mi.		NIE			
		ePg _Z 09 52 43,0				ePg _Z 04 43 10,1	
		eSg _Z 53 00,3				eSg _N 27,5	
		F 54				e _E 28,1	
						F 45	
RAC		Traces					
/SK/		NEZ 09 52-55		RAC		Traces	
				/SK/		NE 04 43-45	

Date	Station	Phase	G.M.T. h m s	Date	Station	Phase	G.M.T. h m s
30.V		ZAB /GIG/: 21 38 07,7 ;		30.V	KRA	e _Z	21 38 27,9
		DGP /GIG/: 21 38 09,4				F	39 30
	CHZ				NIE		
		e _E 21 38 05,5				e/Pg/Z	21 38 28,7
		ei _{NZ} 06,3				ei _{NE}	46,4
		i _E 06,6				e _Z	47,4
		F 38 30				F	40 30
	KRA	Traces			RAC	Traces. Z - inactive	
	/Ch/	ei _N 21 38 27,1			/SK/	NE 21 38-41	
1967				J U I N			1967
6.VI		DGP /GIG/: 06 49 30,5		8.VI	KRA	Traces	
	KRA			/Ch/		e _{NZ}	17 01 28,9
	/Ch/	ePg _Z 06 49 40,3				F	02 30
		e _E 48,9			NIE	Traces	
		e _Z 49,2				e _{NE}	17 01 48,1
		F 51				F	02 30
	NIE	NE - illisibles		14.VI		H=01 ^h 05 ^m 56 ^s ; ZAB /GIG/: 01 05	
		e _Z 06 49 52,9				56,9; DGP /GIG/: 01 06 01,3	
		e _Z 50 11,5			KRA	$\Delta = 87$ km	
		F 51		/SKM/		ePg _{NEZ}	01 06 11,8
6.VI		DGP /GIG/: 13 23 01,5				eiSg _{NEZ}	23,3
	KRA	Traces				F	07 30
	/Ch/	e _Z 13 23 09,1			NIE	$\Delta = 147$ km	
		e _Z 18,8				ePg _E , eiPg _Z	01 06 22,2
		F 24 30				ei _{NE}	42,0
	NIE	NE - illisibles				F	08
		ePg _Z 13 23 20,0		18.VI		H=10 ^h 37 ^m 19,5 ^s	
		eSg _Z 36,8			KRA	$\Delta = 60$ km	
		F 25		/SKM/		eiPg _{NEZ}	10 37 30,5
8.VI		BYT /GIG/: 17 01 04,0 ;				iSg _N	37,5
		ZAB /GIG/: 17 01 07,9 ;				i _{EZ}	38,5
		DGP /GIG/: 17 01 09,5				F	38 30
	CHZ				NIE	$\Delta = 123$ km	
		e _{NEZ} 17 01 06				eiPg _Z	10 37 41,3
		i _E 08				e _E	42,7
		i _Z 09				e _Z	38 00,3
		Lm 12				ei _E	00,9
		NEZ: 1,0 ^s ; 1,5 μ , 2,0 μ , 1,2 μ				F	39
		F 02					

Date	Station	Phase	G.M.T. h m s	Date	Station	Phase	G.M.T. h m s
3.V	RBN	$\Delta=58$ km. Traces		6.V	KRA	$\Delta=78$ km	
/suite/		e_Z	11 36 23,3	/Ch/		eP_{NZ}, eIP_{GE}	03 39 19,2
		e_{iNZ}	29,4			eIS_{NZ}, eS_{GE}	29,5
		F	38			F	41
	NIE	$\Delta=132$ km			NIE	$\Delta=144$ km	
		eP_{NEZ}	11 36 23,5			eIP_{NE}, iP_{GZ}	03 39 30,5 C
		e_{iN}, i_Z	24,7			eIS_{NE}	49,9
		eIS_{NE}	39,7			F	41
		F	38 30		RAC	Traces	
4.V				/SK/		e_N	03 39 32,5
	KRA					e_Z	41,8
/Ch/		eP_{GZ}	21 51 34,2			F	41 30
		eP_{GNE}	34,6	8.V			
		e_E	42,8		CHZ	DGP /GIG/: 07 55 38,7	
		e_Z	43,1			eP_{NE}, eIP_Z	07 55 38,8
		F	52 30			i_Z	41,8
						Lm	44,0
	NIE					N: $0,9^S$; $2,0\mu$	
		eIP_{GZ}	21 51 46,7			Lm	45,0
		e_N	52 04,6			EZ: $0,5^S$; $2,5\mu$, $1,2\mu$	
		eIS_{GEZ}	05,7			F	56 30
		F	53		NIE	NE - illisibles	
5.V						eIP_{GZ}	07 56 57,8
	KRA	Faible				e_{iZ}	57 17,7
/Ch/		eP_{GZ}	23 25 13,2			F	58
		e_{NZ}	15,2		RBN	Traces	
		e_N	23,2			NEZ	07 55-58
		e_Z	23,8		RAC	Traces	
		F	26 30		/SK/	NEZ	07 56-58
				9.V			
	NIE				RAC		
		eP_{GE}, eIP_{GZ}	23 25 26,5		/SK/	eP_Z	05 33 12,5
		e_{NE}	42,0			e_{iE}	16,0
		e_Z	44,0			e_{NZ}	21,2
		F	27			F	35
	RAC	Traces					
/SK/		Z	23 23-25		RBN		
6.V						e_{NEZ}	05 33 14
	CHZ	$H=03^h 39^m 05^s$				e_E	16
		$\Delta=8$ km				e_{NZ}	17
		eP_Z	03 39 07,0			F	34
		eP_{NE}	07,4		NIE	N - illisible	
		i_Z	08,9			eIP_{GZ}	05 33 35,2
		F	40				

Date	Station	Phase	G.M.T. h m s	Date	Station	Phase	G.M.T. h m s
9.V	NIE	e_Z	05 33 53,9	12.V			
/suite/		e_E	55,7		KRA		
		F	35	/Ch/		eP_{GN}, eIP_{GEZ}	02 12 54,5 D
9.V						e_{NZ}	13 03,7
		$H=22^h 19^m 38,3^s$; DGP /GIG/: 22 19 42,7				e_{EZ}	05,1
	KRA	$\Delta=76$ km				F	14 30
/Ch/		eP_{NEZ}	22 19 52,2		NIE		
		eIS_{GEZ}	20 02,4			eP_{NE}, eIP_{GZ}	02 13 05,2 D
		F	21			e_E	22,8
	NIE	$\Delta=138$ km				e_N	23,6
	/SK/	eP_{GN}, eIP_{GZ}	22 20 02,8 D			e_Z	25,8
		eS_{GNZ}	20,8			F	15
		e_{iE}	24,8		RAC	Traces	
		F	21 30	/SK/		NEZ	02 13-15
	RAC	Traces		16.V			
	/SK/	NEZ	22 20-22		CHZ	DGP /GIG/: 03 52 29,8	
10.V							
		$\gamma=50^{\circ}15,5'$; $\lambda=18^{\circ}58,5'$; $H=13^h$				e_{NEZ}	03 52 33,1
		$51^m 08,5^s$; $M=2,5$ /Chorzów/;				e_{iZ}	37,4
		ZAB /GIG/: 13 51/12,3/; DGP: eP_{EZ}				Lm	42
		13 51 12,6				NEZ: $0,9^S$; $2,0\mu$, $1,5\mu$, $1,0\mu$	
	CHZ	$\Delta=4$ km				F	53 30
		iP_{NEZ}	13 51 09,5 D		KRA	Forte ag.mi.	
		Lm	12,0	/Ch/		e_Z	03 52 49,0
		Z: $1,1^S$; $8,5\mu$				F	54
		Lm	14,0		NIE		
		NE: $0,9^S$; $9,0\mu$, $9,0\mu$				eP_{NE}	03 52 52,4
		F	53			eIS_{GN}, eS_{GE}	53 09,2
	RBN	$\Delta=36$ km				F	54
		e_N	13 51 17,2				
		eS_E	19,5	16.V			
		F	53		CHZ	$H=12^h 54^m 50,5^s$; $M=2,4$ /Chorzów/	
	RAC	$\Delta=58$ km. Traces				$\Delta=10$ km	
/SK/		e_{EZ}	13 51 21,4			eP_{NZ}	12 54 53
		e_E	25,8			e_E	54
		F	54			Lm	55 02
	KRA	$\Delta=72$ km				NEZ: $0,7^S$; $3,0\mu$, $1,5\mu$, $1,2\mu$	
/Ch/		eP_{GEZ}	13 51 21,5			F	30
		eIS_{NE}, iS_{GZ}	31,5		KRA	$\Delta=77$ km. Faible	
		F	53	/Ch/		eP_{NEZ}	12 55 04,5
	NIE	$\Delta=133$ km				eS_{GNZ}	14,9
		eP_{GZ}	13 51 31,8			F	56
		e_N, e_{iEZ}	32,6		NIE	$\Delta=145$ km. NE- illisibles	
		e_{iN}, i_E	51,1			eIP_{GZ}	12 55 16,2
		F	54				

- 170 -

Date	Station	Phase	G.M.T. h m s	Date	Station	Phase	G.M.T. h m s
19.VI		H=20 ^h 39 ^m 03,2 ^s ; ZAB /GIG/: 20 39 06,6		27.VI	NIE		
	CHZ	Δ = 4 km				ePgEZ	20 38 31,4
		eP _{NEZ}	20 39 04,6			eSg _E , eISg _Z	49,0
		Lm	08			ei _N	50,3
		NEZ: 0,9 ^s ; 2,0μ, 2,0μ, 1,5μ				F	40
		F	30		RBN	Traces	
	KRA	Δ = 73 km. Traces				NZ	20 38-40
	/Ch/	ePgEZ	20 39 16,4		RAC	Traces	
		eSg _{NEZ}	26,1		/SK/	NEZ	20 38-40
		F	40 30				
	NIE	Δ = 134 km. Traces		28.VI			
		ePg _Z	20 39 27,0		CHZ		
		F	41			eP _{NEZ}	02 46 07,5
	RAC	Traces				i _{NE}	08,4
	/SK/	NEZ	20 39-41			Lm	11
						NEZ: 0,7 ^s ; 2,5μ, 2,5μ, 1,5μ	
						F	30
20.VI		ZAB /GIG/: 12 57 35,0 ; BYT /GIG/: 12 57 35,3			NIE		
	CHZ					ePgEZ	02 46 30,5
		eP _{NZ}	12 57 33,6			e _{EZ}	50,7
		e _N , ei _Z	34,7			F	48
		Lm	36		RAC	Traces	
		NEZ: 0,8 ^s ; 2,0μ, 2,5μ, 1,4μ			/SK/	EZ	02 46-48
	RBN	Traces		29.VI			
		e _E	12 57 46,0			BYT /GIG/: 12 48 53,2 ; ZAB /GIG/: 12 48 53,5	
		e _{NZ}	48,7		CHZ		
		F	13 00			eP _{NEZ}	12 48/53,7/
	KRA					ei _Z	56,7
	/Ch/	ePg _Z	12 57 46,2			Lm	49 02
		ei _N	54,7			NEZ: 0,8 ^s ; 2,0μ, 3,0μ, 2,0μ	
		e _Z	55,8			F	30
		F	59		RBN		
	NIE					e _N	12 49 00,5
		ePgEZ	12 57 56,7			e _N	04,6
		ei _E	58 16,0			F	51 30
		ei _Z	16,9		RAC		
		F	59 30		/SK/	e _N , ei _E	12 49 08,5
	RAC	Traces				e _E	15,3
	/SK/	NEZ	12 58-13 00			F	52
					KRA		
27.VI		BYT /GIG/: 20 38 06,7			/Ch/	e _Z	12 48 08,5

- 171 -

Date	Station	Phase	G.M.T. h m s	Date	Station	Phase	G.M.T. h m s
29.VI	KRA	e _{NEZ}	12 48 17,5	30.VI	NIE	e _{NE}	00 01 29,5
	/suite/	Lm	53			F	03 30
		NZ: 1,1 ^s ; 1,3 ^s ; 0,09μ, 0,15μ		30.VI		BYT /GIG/: 14 51 57,4 ; ZAB /GIG/: 14 51 58,5	
		Lm	53,7		CHZ		
		E: 1,1 ^s ; 0,10μ				eP _{NEZ}	14 51 58,6
		F	50,5			i _N , ei _{EZ}	52 00,6
	NIE					Lm	05
		ePg _{NEZ}	12 48 16,5			NEZ: 0,8 ^s ; 2,0μ, 2,0μ, 2,0μ	
		e _{EZ}	22,0			F	30
		ei _{NEZ}	37,5		KRA		
		F	51 30		/Ch/	e/Pg/NZ	14 52 11,3
30.VI		BYT /GIG/: 00 01 46,2 ; ZAB /GIG/: 00 01 46,4				e _Z	21,2
	KRA					eiSg _N	23,5
	/SKM/	iPg _{NEZ}	00 01 59,8			F	53 30
		iSg _{NEZ}	02 10,5		NIE	Traces	
		F	03 30			ePg _Z	14 52 23
	NIE					e _Z	34
		eiPg _Z	00 01 10,4 D			F	54
1967				J U I L L E T			1967
2.VII		DGP /GIG/: 18 16 44,2 ; ZAB /GIG/: 18 16 53,1		7.VII		γ = 18°46'; λ = 50°18'; H=09 ^h 01 ^m 14,8 ^s ; M=2,0 /Zabrze/, 2,3 /By- tom/; ZAB: eP _{NE} 09 01 15,9 ; eiS _{NE} 16,7, Lm _{NE} 5,5μ, 1,8μ; BYT: eP _E 09 01 17,8, Lm _{NE} 1,4μ, 4,0μ; DGP: eP _{EZ} 09 01 21,2	
	KRA				NIE	Δ = 151 km. NE - forte ag.mi.	
	/SKM/	e _{NEZ}	18 16 59,0			ePg _Z	09 01 40,8
		ei _{NEZ}	17 01,0			e _Z	02 20,0
		e _{NEZ}	18,5			F	03
		F	18		RBN	Traces	
	RBN	Faible				Z	09 01 00-02 30
		e _N	18 17 06,5		RAC	Traces	
		e _Z	09,5		/SK/	Z	09 01-03
		e _N	20,0				
		F	18 30		8.VII	DGP /GIG/: 12 21 25,1	
	NIE	Traces			KRA	Faible	
		NEZ	18 17-18		/Ch/	e _{NEZ}	12 21 37,7
3.VII		DGP /GIG/: 15 36 55,2				e _{NE}	43,0
	KRA	Faible				e _Z	46,0
	/SKM/	e _{NEZ}	15 37 13,5			F	22 30
		e _{NEZ}	27,0				
		F	38 30				

Date	Station	Phase	G.M.T. h m s	Date	Station	Phase	G.M.T. h m s
8.VII	NIE	Traces		11.VII		19,8, Lm _Z 1,0 ^s ; 1,3μ; ZAB: eP _N	
/suite/	NZ		12 21 30-22 30			04 31 20,4, Lm _{NE} 0,7μ, 0,7μ;	
8.VII		H=22 ^h 02 ^m 00,4 ^s ; ZAB: eP _E , eiP _Z 22		KRA		BYT: eP _{NE} 04 31 20,5	
		02 02,5, eiS _Z 03,8; DGP: eP _Z 22		/SKM/		Δ=69 km	
		02 06,2, eS _{EZ} 10,7				eiP _{NEZ} 04 31 30,0	
KRA		Δ=74 km				eiS _{NEZ} 39,5	
/SKM/		1P _{NEZ} 22 02 14,0				Lm 32 05,5	
		ei _{NEZ} 26,5				N: 1,0 ^s ; 0,05μ	
		Lm 52,5		F		33	
		N: 1,0 ^s ; 0,04μ		RBN		Δ=43 km. Faible	
		Lm 54				e _N 04 31 35,0	
		EZ: 1,1 ^s ; 1,5 ^s ; 0,03μ, 0,16μ				F 33	
		F 04		NIE		Δ=134 km	
RBN		Faible				eP _{NEZ} 04 31 41,3	
		e _N 22 02 17,0				e _{NEZ} 32 01,5	
		e _{EZ} 19,0				F 33 30	
		e _N 22,0		12.VII		ψ=50°17'; λ=18°58'; H=14 ^h 38 ^m	
		F 04				08,1 ^s ; M=2,4 /Dąbrowa Górnicza/;	
NIE		Traces				DGP: eP _E 14 38 12,6, eS _E 15,7,	
		e _Z 22 02 26,0				Lm _Z 0,8 ^s ; 0,6μ; ZAB /GIG/: 14	
		F 04				38 14,9	
RAC		Traces		KRA		Δ=75 km	
/SK/		NEZ 22 02 30-04 30		/SKM/		eiP _{NEZ} 14 38 21,5	
11.VII		H=00 ^h 58 ^m 31,7 ^s				eS _{NEZ} 31,5	
RBN		Δ=13 km				F 39 30	
		eP _Z 00 58 34,5		NIE		Δ=142 km. Forte ag.mi.	
		e _E 35,5				eP _{EZ} 14 38 33,0	
		eS _{NEZ} 36,6				e _Z 50,5	
		ei _{NE} 39,0				F 39 30	
		ei _{NEZ} 45		RAC		Traces	
		F 59 30		/SK/		EZ 14 38 30-40 00	
RAC		Δ=42 km		13.VII		H=02 ^h 32 ^m 22,2 ^s ; M=2,2 /Chorzów/;	
/SK/		eP _{NEZ} 00 58 40,0				DGP /GIG/: 02 32 25,2; ZAB /GIG/:	
		eS _{EZ} 45,8				02 32 - traces	
		e _N 52,3		CHZ		Δ=2 km	
		F 01 00				eiP _{NE} , iP _Z 02 32 23,0	
NIE		Traces				Lm 25,8	
		e _Z 00 58 57,7				NEZ: 0,7 ^s ; 11,0μ, 11,5μ, 7,5μ	
		F 59 30				F 33	
11.VII		ψ=50°16'; λ=19°03'; H=04 ^h 31 ^m		KRA		Δ=79 km	
		16,8 ^s ; M=2,2 /Zabrze/, 2,4		/Ch/		eiP _{NEZ} 02 32 36,5	
		/Dąbrowa Górnicza/; DGP: 04 31				eS _{NEZ} 47,0	
						F 33 30	

Date	Station	Phase	G.M.T. h m s	Date	Station	Phase	G.M.T. h m s
13.VII	NIE	Traces		20.VII	KRA	e _{NEZ}	11 01 40,2
/suite/	NEZ		02 32 30-33 30		F		02 30
15.VII		H=23 ^h 41 ^m 36,2 ^s ; ZAB /GIG/: 23 41		21.VII		H=01 ^h 08 ^m 04,5 ^s ; M=2,6 /Chorzów/;	
		36,2; DGP: eP _{EZ} 23 41 38,8			CHZ	Δ=19 km	
KRA		Δ=67 km				eP _Z 01 08 08,5	
/SKM/		eP _{NEZ} 23 41 48,5				eP _{NE} 08,8	
		eS _{NEZ} 57,5				eiS _N , eS _Z 11,4	
		F 43				Lm 17	
NIE		Δ=130 km. NE - illisible				Z: 1,0 ^s ; 1,0μ	
		eP _{GZ} 23 41 59,7				Lm 19	
		eS _{GZ} 42 16,7				NE: 0,8 ^s ; 1,5μ, 2,0μ	
		F 43				F 09	
RBN		Traces		KRA		Δ=63 km	
		NZ 23 41 30-42 30		/SKM/		eiP _{EZ} 01 08 16,2	
17.VII		H=10 ^h 28 ^m 45,3 ^s ; DGP /GIG/: 10 27				eiS _{NEZ} 24,7	
		50,6; ZAB /GIG/: 10 27 54,5				e _E 25,4	
KRA		Δ=70 km				F 09 30	
/Ch/		eP _{NEZ} 10 27 58,1		NIE		Δ=125 km	
		ei _N 28 06,4				eP _{NEZ} 01 08 29,1 C	
		eiS _{NEZ} , eS _{GE} 07,5				eiS _{GZ} 44,0	
		F 29 30				e _{NE} 45,4	
RBN		Faible				F 10	
		e _N 10 28 07,0		RAC		Traces	
		e _{EZ} 13,5		/SK/		NEZ 01-08 30-10 00	
		e _{NZ} 19,0		29.VII		ψ=50°14'; λ=19°01'; H=05 ^h 39 ^m	
		F 30				10,1 ^s ; M=2,8 /Chorzów, Bytom/;	
NIE		Faible				BYT: eP _N 05 39 16,0, Lm _{NE} 8,0μ,	
		eP _{EZ} 10 28 10,2				1,6μ; DGP: eP _{EZ} 05 39 17,1	
		e _{NZ} 15,2				CHZ	
		e _{EZ} 28,2				Δ=7 km	
		F 29 30				eP _N , eiP _{EZ} 05 39 12,0 C	
RAC		Faible				iS _Z 13,4	
/SK/		e _{NZ} 10 28 24,0				Lm 18	
		ei _N , e _E 29,2				NEZ: 0,9 ^s ; 3,5μ, 5,5μ, 3,0μ	
		e _Z 36,0				F 40	
		e _{NEZ} 43,1		RBN		Δ=39 km	
		F 30				e _{NEZ} 05 39 19,2	
20.VII		BYT /GIG/: 11 01 13,1;				ei _N , e _{EZ} 30,0	
		DGP /GIG/: 11 01 15,9				e _E 35,5	
KRA						e _{NZ} 37,0	
/SKM/		e _{NEZ} 11 01 33,7				F 41 30	
				RAC		Δ=60 km	
				/SK/		eS _{GZ} 05 39 29,5	

Date	Station	Phase	G.M.T. h m s	Date	Station	Phase	G.M.T. h m s
29.VII	RAC	e _N	05 39 31,5	29.VII	NIE	Δ=135 km	
/suite/		e _N	37,0			eP _{NEZ}	05 39 38,0
		e _Z	44,5			e _Z	53,8
		F	42			eIS _{NEZ}	56,0
						e _Z	40 02,5
						F	41 30
1967				1967			
A O U T							
1.VIII		H=05 ^h 26 ^m 24,8 ^s ; BYT /GIG/: 05 26 25,8 ; DGP /GIG/: 05 26 27,9		5.VIII	CHZ	Δ=4 km. N - inactive	
	NIE	Δ=132 km				eP _Z	04 26 51,3 C
		eP _{GEZ}	05 26 48,3 D			eS _E , eIS _Z	52,2
		eIS _{NEZ}	27 05,5			Lm	53
		F	28			EZ: 0,7 ^s ; 2,0μ, 1,5μ	
	RAC	Traces				F	27 30
	/SK/	NEZ	05 26 30-28 00		NIE	Traces	
3.VIII		ψ=50°16'; λ=18°54'; H=16 ^h 33 ^m 15,5 ^s ; M=2,4 /Bytom, Chorzów/; BYT: eS _E 16 33 20,2, Lm _{NE} 2,3μ, 0,8μ; DGP: eP _Z 16 33 20,6				e _Z	04 27 14,3
	CHZ	Δ=7 km				F	28 30
		eP _{NEZ}	16 33 17,6		RAC	Traces	
		eS _E	18,9		/SK/	Z	04 27 00-28 30
		eS _{NZ}	19,1	5.VIII		H=18 ^h 08 ^m 00,8 ^s ; M=2,5 /Chorzów/; ZAB /GIG/: 18 08 01,4 ; BYT /GIG/: 18 08 01,8 ; DGP /GIG/: 18 08 05,9	
		Lm	20		CHZ	Δ=10 km. N - inactive	
		NEZ: 0,8 ^s ; 4,5μ, 4,0μ, 2,5μ				eP _{EZ}	18 08 03,3
		F	34			eIS _E , eS _Z	05,1
	RBN	Traces				Lm	09
		e _Z	16 33 29,0			E: 0,8 ^s ; 3,6μ	
		F	34 30			Lm	10
	NIE	Δ=142 km. N - illisible				Z: 0,8 ^s ; 2,1μ	
		eP _{GEZ}	16 33 40,3 D			F	09 30
		e _Z	53,8		RBN	Δ=38 km	
		eS _{GEZ}	58,8			eP _{NEZ}	18 08 08,0
		F	35			e _{NEZ}	13,0
	RAC	Traces				e _{NEZ}	17,0
	/SK/	NEZ	16 33 30-35 00			e _E	26,0
						e _{NZ}	10 30
5.VIII		H=04 ^h 26 ^m 50,1 ^s ; M=1,9 /Chorzów/; BYT /GIG/: 04 26 56,3			RAC		
					/SK/	e _{NEZ}	18 08 14,5
						e _{NEZ}	24,5

Date	Station	Phase	G.M.T. h m s	Date	Station	Phase	G.M.T. h m s
5.VIII	RAC	e _Z	18 08 38,4	6.VIII	RBN	e _{NEZ}	20 12 43,0
/suite/		F	11			F	14
	KRA	Faible			NIE	Δ=144 km	
	/Ch/	e _Z	18 08 16,2			eIP _{GEZ}	20 12 41,1
		e _{NEZ}	17,0			e _{EZ}	59,0
		e _{NEZ}	27,0			F	14 30
		e _{NEZ}	27,7	11.VIII		H=20 ^h 54 ^m 10,6 ^s ; BYT /GIG/: 20 54 13,6 ; ZAB /GIG/: 20 54 15,2 ; DGP /GIG/: 20 54 18,1	
		F	10			Δ=88 km	
	NIE	Traces			KRA		
		e _Z	18 08 44,5		/SKM/	eP _{NEZ}	20 54 26,4
		F	11			eS _{NEZ}	38,0
6.VIII		BYT /GIG/: 02 45 36,4 ; DGP /GIG/: 02 45 39,5				e _{NEZ}	55 01,0
	CHZ	Faible				F	56
		e _Z	02 45 36,8	14.VIII		BYT /GIG/: 03 22 26,0 ; DGP /GIG/: 03 22 29,1	
		e _E	37,8				
		e _{IEZ}	38,6		KRA		
		F	46		/SKM/	e _{NEZ}	03 22 50,0
	RBN	Faible				e _{NZ}	23 12,0
		e _N	02 45 56,0			F	24
		e _N	46 03,0	16.VIII		H=04 ^h 36 ^m 38,7 ^s ; DGP /GIG/: 04 38 40,4	
		e _N	08,0				
		F	47		KRA	Δ=67 km	
	NIE				/SKM/	eP _{GEZ}	04 38 51,0
		eIP _{NEZ}	02 46 00,7			eP _{NEZ}	52,0
		e _{NEZ}	19,7			eIS _{NEZ}	39 00,0
		F	47 30			e _L NEZ	13
6.VIII		ψ=50°20'; λ=18°58'; H=20 ^h 12 ^m 17,6 ^s ; M=2,4 /Chorzów/; BYT: eP _N 20 12 19,4 ; DGP: eP _{EZ} 20 12 21,6				F	40 30
	CHZ	Δ=6 km. N - inactive			NIE	Δ=138 km	
		eP _{EZ}	20 12 18,1			eP _{NEZ}	04 39 03,0
		eIS _{EZ}	19,4			e _{NZ}	18,0
		Lm	22			eIS _{SE}	21,0
		EZ: 0,5 ^s ; 4,5μ, 1,9μ				F	40 30
		F	13	17.VIII		ψ=50°22'; λ=18°54'; H=04 ^h 53 ^m 29,4 ^s ; M=2,6 /Zabrze/, 2,7 /Chorzów/, 2,9 /Bytom/; BYT: eP _N 04 53 30,1, Lm _{NE} 103,4μ, 4,4μ; ZAB: eS _N 04 53 33,3, Lm _{NE} 4,8μ, 3,0μ; DGP: eP _Z 04 53 34,8	
	RAC	Δ=62 km. Faible					
	/SK/	eP _{NEZ}	20 12 28,0			Δ=11 km	
		F	14 30			eIP _{EZ}	04 53 32,1 D
	RBN	Δ=42 km. Faible					
		eS _{EN}	20 12 31,0				
		e _Z	33,0				

- 176 -

Date	Station	Phase	G.M.T. h m s	Date	Station	Phase	G.M.T. h m s
27.VIII	NIE	$\Delta=130$ km		31.VIII	RAC	$\Delta=50$ km	
/suite/				/SK/			
		ePgZ	04 39 01,2			eNE	00 26 17,4
		ePgNE	01,7			eSgN	22,4
		eSgNEZ	18,2			eNE	31,4
		eEZ	45,7			eZ	35,9
		F	41			F	29
31.VIII		$\varphi=50^{\circ}19'$; $\lambda=18^{\circ}48'$; $H=00^h26^m$			RBN	$\Delta=32$ km. Faible	
		$05,6^s$; $M=2,4$ /Bytom, Chorzów/;				eNZ	00 26 19,0
		ZAB: eP _N 00 26 06,6 ; BYT: eP _E				eE	24,0
		00 26 08,9 ; DGP : eP _{EZ} 00 26				eZ	26,0
		12,1				F	28
	CHZ	$\Delta=14$ km			KRA	$\Delta=88$ km	
		eiPZ	00 26 08,8	/SKM/		ePgEZ	00 26 20,6
		eE	09,3			eiNEZ	21,3
		eS _N , eiS _E , iS _Z	11,3			eiSg _N , eSg _{EZ}	31,7
		i _N	13,8			eiEZ	32,0
		iEZ	14,3			eLNEZ	50
		i _N	17,7			F	28
		Lm	18		NIE	$\Delta=152$ km	
		EZ: $1,1^s$; $2,0\mu$, $1,2\mu$				ePgNEZ	00 26 31,8
		N: $0,8^s$; $1,6\mu$				eSgNEZ	51,0
		F	27			F	28 30

1967 SEPTEMBRE 1967

4.IX		$\varphi=50^{\circ}22'$; $\lambda=18^{\circ}50'$; $H=02^h36^m$		4.IX	RBN	ei _N , e _E	02 36 20,7
		$05,1^s$; $M=2,5$ /Chorzów, Bytom/;				eZ	25,0
		BYT: eP _{NE} 02 36 06,7 ; Lm _{NE}				F	38
		$11,4\mu$, $13,6\mu$; ZAB: eP _{NE} 02 36			RAC	$\Delta=55$ km	
		07,3 ; DGP : eP _{EZ} 02 36 11,7 ;			/SK/	ePgEZ	02 36 16,0
		eiS _{NEZ} 16,2				eiE	21,2
	CHZ	$\Delta=15$ km				eNZ	25,0
		iP _{NZ} , eiP _E	02 36 08,6 D			ei _N , e _E	31,0
		iS _{NEZ}	11,3			eEZ	37,2
		iEZ	12,1			F	39
		Lm	14		KRA	$\Delta=88$ km	
		N: $1,5^s$; $2,0\mu$		/SKM/		ePgNEZ	02 36 20,6 D
		Lm	17			eiNEZ	24,5
		EZ: $1,5^s$; $2,0\mu$, $2,0\mu$				eSgNEZ	32,2
		F	37			eLNEZ	50
	RBN	$\Delta=38$ km				eL _{NZ}	52
		eNZ	02 36 15,5			eL _E	

- 177 -

Date	Station	Phase	G.M.T. h m s	Date	Station	Phase	G.M.T. h m s
17.VIII	CHZ	eiP _N	04 53 32,3	24.VIII		Lm _{NE} $3,8\mu$, $2,0\mu$; DGP: eP _Z 20	
/suite/		iS _Z	34,1			$38 16,4$, eS _{EZ} 20,5	
		Lm	39		CHZ	$\Delta=12$ km	
		EZ: $0,7^s$; $4,0\mu$, $2,5\mu$				eS _N	20 38 15,5
		N: $0,8^s$; $6,0\mu$				eEZ	16,6
		F	54 30			eZ	20,4
						eiE	20,8
						F	39
	RBN	$\Delta=41$ km. Faible			KRA	$\Delta=85$ km	
		eSg _N	04 53 42,5	/SKM/		ePgNEZ	20 38 25,5
		eNEZ	54 00,2			eN	35,5
		F	55			eSgEZ	36,5
						F	39 30
	KRA	$\Delta=84$ km			RAC	Traces	
/SKM/		ePgNEZ	04 53 44,7 D	/SK/		eZ	20 38 40,0
		eNE	53,6			F	40 30
		eiSg _{NEZ}	55,8		RBN	Traces	
		Lm	54 25			N	20 38 00-39 30
		NE: $1,2^s$; $0,11\mu$, $0,07\mu$					
		F	26				
		Z: $1,2^s$; $0,25\mu$					
		F	55 30	27.VIII		$H=04^h38^m36,4^s$; $M=2,8$ /Chorzów/;	
						ZAB /GIG/: 04 38 41,5 ; BYT /GIG/	
						04 38 43,2	
	RAC	$\Delta=59$ km			CHZ	$\Delta=12$ km	
/SK/		eEZ	04 53 42,5			eP _N , eiP _Z	04 38 39,2 D
		eNZ	55,0			eP _E	39,4
		F	55			eiZ	40,3
						Lm	42
	NIE	$\Delta=150$ km				Z: $0,8^s$; $3,0\mu$	
		eiPg _{NEZ}	04 53 56,1 D			F	39
		eiSg _{NEZ}	54 15,3		RBN	Faible	
		eZ	16,2			eZ	04 38 45,0
		F	55 30			F	40
19.VIII		DGP /GIG/: 05 57 13,2			RAC	Faible	
CHZ				/SK/		eZ	04 38/49,0/
		iP _{NZ} , eP _E	05 57 10,1			eN	55,0
		Lm	12			eEZ	39 03
		NEZ: $0,8^s$; $2,0\mu$, $2,0\mu$, $3,5\mu$				F	41
		F	58		KRA	$\Delta=75$ km	
				/SKM/		ePgNEZ	04 38 50,0
	NIE					eiSg _{NEZ}	39 00,0
		ePg _{NEZ}	05 57 32,3			eL _{NZ}	20
		eSg _{NEZ}	49,8			Lm	29
		F	59			NE: $1,3^s$; $0,04\mu$, $0,05\mu$	
24.VIII		$\varphi=50^{\circ}18'$; $\lambda=18^{\circ}50'$; $H=20^h38^m$				F	40 30
		$10,6^s$; $M=2,1$ /Bytom/; ZAB: eP _N					
		$20 38 11,4$; BYT: eP _E 20 38 13,4					

Date	Station	Phase	G.M.T. h m s	Date	Station	Phase	G.M.T. h m s
4. IX	KRA	Lm	02 37 06	12. IX		$\psi = 50^{\circ}19'$; $\lambda = 19^{\circ}10'$; $H = 01^h 04^m$ 36,6 ^S ; M=2,5 /Chorzów/; DGP: eiP _N , iP _{EZ} 01 04 37,1 ; BYT: eS _E 01 04 44,0	
/suite/		NEZ: 1,4 ^S ; 0,13 μ , 0,18 μ , 0,33 μ		CHZ	$\Delta = 13$ km	eP _E , eiP _Z 01 04 39,8 eP _N 40,0 iS _{NE} 42,0 i _Z 42,8 i _{NE} 43,3 Lm 47	
	F		38			NEZ: 1,1 ^S ; 2,1 μ , 2,0 μ , 1,6 μ	
	NIE	$\Delta = 154$ km		KRA	$\Delta = 64$ km		
	eP _{NEZ}		02 36 31,0 C	/Ch/	eP _{NEZ}	01 04 47,0	
	i _{NEZ}		31,8		e _{NEZ}	54,7	
	ei _{NE} , i _Z		37,6		eiS _{NEZ}	55,5	
	iS _{NE} , eiS _{NEZ}		51,5		ei _{NEZ}	57,0	
	F		38 30	RBN	$\Delta = 52$ km. Faible		
7. IX		$\psi = 50^{\circ}16'$; $\lambda = 18^{\circ}56'$; $H = 22^h 15^m$ 49,8 ^S ; M=2,4 /Chorzów/, 2,7 /Dąbrowa Górnicza/, 2,8 /Bytom/; BYT: eP _N 22 15 52,4 , Lm _{NE} 17,6 μ 2,7 μ ; DGP: eiP _E 22 15 53,8 , Lm _Z 1,5 μ ; ZAB: eS _{NE} 22 15 54,8			e _Z	01 04 49,1	
	CHZ	$\Delta = 5$ km			e _{NE}	59,1	
	eP _N , iP _{EZ}		22 15 51,9 D		e _N	05 10,0	
	iS _{EZ}		53,3		F	06	
	i _E		54,1	NIE	$\Delta = 132$ km		
	Lm		56		eiP _{NE} , iP _{GZ}	01 04 59,3	
	EZ: 1,1 ^S ; 3,5 μ , 5,3 μ				ei _Z	05 12,8	
	F		17		F	06 30	
	RBN	$\Delta = 35$ km. Faible		RAC	Traces		
	e _N		22 16 02,5	/SK/	NEZ	01 04 30-07 00	
	e _Z		09,5	13. IX		ZAB /GIG/: 00 31 53,4 ; BYT /GIG/: 00 31 54,4 ; DGP /GIG/: 00 31 56,2	
	e _{NE}		13,5	CHZ	Faible		
	e _N		17,5		eP _N , iP _{EZ}	00 31 53,2	
	F		17 30		Lm	56	
	KRA	$\Delta = 77$ km			NEZ: 1,2 ^S ; 1,7 μ , 1,7 μ , 1,0 μ		
	/Ch/	eiP _{NEZ}	22 16 03,3 D		F	32 30	
		eS _{NEZ}	13,5		KRA	Faible	
		e _{NEZ}	15,0		/SKM/	ei _N , e _{EZ}	00 32 13,5
		Lm	38			e _{NEZ}	16,5
		N: 1,3 ^S ; 0,11 μ				e _{NEZ}	35,5
		F	17 30			F	33 30
	NIE	$\Delta = 140$ km					
	eP _{NEZ}		22 16 13,8 D				
	e _{NE} , ei _Z		14,3				
	eS _{NEZ}		33,1				
	F		17 30				
	RAC	Traces					
	/SK/	NEZ	22 16 00-18 30				

Date	Station	Phase	G.M.T. h m s	Date	Station	Phase	G.M.T. h m s
16. IX		$\psi = 50^{\circ}18'$; $\lambda = 19^{\circ}11'$; $H = 05^h 07^m$ 58,2 ^S ; M=2,6 /Chorzów/; BYT: eP _E 05 08 00,5		18. IX	RBN	ei _N	01 05 20,0
	CHZ	$\Delta = 2$ km			e _Z		21,0
	eP _{NEZ}		05 07/58,7/ 08 04		e _E		24,0
	Lm				F		06
		NEZ: 1,0 ^S ; 3,5 μ , 4,0 μ , 2,5 μ		RAC			
	F		30	/SK/	eP _{NEZ}	01 05 18,0	
	KRA	$\Delta = 73$ km			i _E , e _Z	21,0	
	/Ch/	eP _{NE} , eiP _{GZ}	05 08 11,5 D		ei _E , e _Z	25,0	
		e _{EZ}	18,0		e _{NE}	30,0	
		e _Z	20,5		F	07	
		eS _{NE}	21,2	18. IX		$\psi = 50^{\circ}20'$; $\lambda = 19^{\circ}12'$; $H = 22^h 49^m$ 41,2 ^S ; M=2,9 /Chorzów/; DGP: eP _{EZ} 22 49 43,4 , eiS _{NZ} 44,6 ; BYT /GIG/: 22 49 47,1 ; ZAB /GIG/: 22 49 47,6	
		e _Z	35,5		CHZ	$\Delta = 16$ km	
		F	09 30		eP _E , eiP _Z	22 49 45,2 C	
	NIE	$\Delta = 138$ km			e _N , i _Z	45,8	
	eP _{NEZ}		05 08 22,0		eS _{NEZ}	47,6	
	e _{NEZ}		41,5		i _N , ei _{EZ}	48,4	
	F		09 30		Lm	55	
	RAC	Traces			NEZ: 1,0 ^S ; 3,5 μ , 4,5 μ , 4,0 μ		
	/SK/	NEZ	05 08-10		F	50 30	
17. IX		DGP /GIG/: 23 08 34,7		KRA	$\Delta = 62$ km		
	CHZ			/SKM/	iP _{NEZ}	22 49 51,8 D	
	eP _{NEZ}		23 08 33,5		iS _{NEZ}	/59,9/	
	ei _N		35,0		eiL _{NEZ}	50 08,3	
	e _Z		35,2		Lm	13	
	Lm		37		NEZ: 1,2 ^S ; 0,20 μ , 0,17 μ , 0,44 μ		
		NEZ: 1,0 ^S ; 2,0 μ , 2,0 μ , 1,5 μ			F	51	
	F		09		RBN	$\Delta = 54$ km	
	KRA				e _Z	22 49 54,7	
	/Ch/	eP _{NEZ}	23 08 45,3		e _N	50 07,2	
		e _N	46,3		e _{NEZ}	09,7	
		e _{NEZ}	56,8		e _{NEZ}	23,7	
		e _{NE}	09 03,3		F	53	
		F	10		RAC	$\Delta = 77$ km. Faible	
	NIE	Faible			/SK/	e _Z	22 49 56,1
	e _{NEZ}		23 08 55,5			e _E	50 02,7
	e _{NEZ}		09 11,5			eS _{NEZ}	05,1
	F		10			e _{NEZ}	12,6
						F	53
18. IX							
	RBN						
	eP _{NEZ}		01 05 17,0				

Date	Station	Phase	G.M.T. h m s	Date	Station	Phase	G.M.T. h m s
18.IX	NIE	$\Delta=130$ km		21.IX	KRA	Faible	
/suite/		$e_i P_{g,NEZ}$	22 50 03,0	/Ch/		e_{EZ}	.11 05 18,5
		i_{NEZ}	04,5			e_{NZ}	29,0
		e_{NEZ}	07,5			F	07
		$i_{S_{NE}}$	20,3	RAC			
		i_{EZ}	21,6	/SK/		e_{NEZ}	11 05 24,0
		F	52 30			e_{EZ}	30,0
19.IX		$\psi=50^{\circ}13'$; $\lambda=18^{\circ}57'$; $H=06^h23^m$				e_E	43,0
		$54,1^s$; $M=2,5$ /Chorzów/, 2,4				F	08
		/Dąbrowa Górnicza/; DGP: e_{PEZ}		25.IX			
		$06 23 59,5$, $Lm_Z 1,0^s$; $0,5\mu$;		CHZ	$H=09^h15^m16,8^s$		
		ZAB: $e_{S_N} 06 23^s 59,8$; BYT: e_{S_E}				e_Z	09 15 19,4
		$06 24 00,1$				e_{NE}	21,9
CHZ		$\Delta=9$ km				F	16
		$e_{P_{NE}}, e_{iP_Z}$	06 23 56,4	RBN			
		e_{iS_N}, i_{S_Z}	58,0			e_{NEZ}	09 15 25,0
		Lm	24 00,6			e_{NEZ}	29,0
		NEZ: $0,8^s$; $4,0\mu$, $1,5\mu$, $2,0\mu$				e_{NZ}	34,0
		F	30			F	17
KRA		$\Delta=74$ km		RAC			
/Ch/		$e_{P_{g,NEZ}}$	06 24 08,0	/SK/		e_{NEZ}	09 15 30,0
		$e_{S_{gN}}, e_{iS_{gEZ}}$	18,0			e_{EZ}	43,0
		F	25 30			e_E	16 25,0
RBN		Traces				F	17 30
		N	06 24-25	KRA			
RAC		Traces		/Ch/	$\Delta=78$ km. Faible		
/SK/		NEZ	06 24-26			$e_i P_{g,EZ}$	09 15 31,0 D
NIE		Traces				e_E	34,0
		Z	06 24 00-25 30			e_Z	35,0
						e_N	36,0
21.IX		ZAB /GIG/: $11 05 03,7$;				$e_{iS_{gN}}, e_{S_{gZ}}$	41,4
		DGP /GIG/: $11 05 10,3$				F	17
CHZ		Faible		NIE			
		e_Z	11 05 06,8		$\Delta=135$ km		
		e_{EZ}	09,5			$e_{P_{g,NEZ}}$	09 15 41,0
		e_N	09,8			e_{NEZ}	49,0
		F	06			$e_{S_{gNZ}}$	58,5
						F	17
RBN				26.IX			
		e_{iN}, e_{EZ}	11 05 14,0			ZAB /GIG/: $16 33 13,2$;	
		i_N, e_{iEZ}	18,0			BYT /GIG/: $16 33 16,0$;	
		i_N	21,0			DGP /GIG/: $16 33 19,3$	
		e_E	23,0	KRA			
		e_Z	27,0	/Ch/	Faible		
		F	07			e_{iNZ}, e_E	16 33 39,5
						e_{iNE}	42,2

Date	Station	Phase	G.M.T. h m s	Date	Station	Phase	G.M.T. h m s	
26.IX	KRA	e_{iZ}	16 33 47,5	27.IX	KRA	e_{NEZ}	02 38 54,0	
/suite/		F	35			F	40	
27.IX		$\psi=50^{\circ}14'$; $\lambda=19^{\circ}08'$; $H=02^h38^m$		RBN		$\Delta=46$ km. Faible		
		$14,7^s$; $M=2,4$ /Chorzów/, 2,5				e_N	02 38 36,8	
		/Dąbrowa Górnicza/; DGP: $e_{P_{NEZ}}$				e_{NZ}	39,6	
		$02 38 17,5$, $e_{S_{NE}} 19,5$, $Lm_Z 1,5\mu$;				e_{NEZ}	44,8	
		ZAB: $e_{P_Z} 02 38 19,5$, $e_{S_{NE}} 23,2$;				F	40	
		BYT /GIG/: $02 38/23,0/$		NIE		$\Delta=127$ km		
CHZ		$\Delta=12$ km				$e_i P_{g_Z}$	02 38 37,0 C	
		$e_i P_{EZ}$	02 38 17,8 D			e_Z	49,5	
		e_{P_N}	17,9			e_Z	39 18,5	
		e_{iS_E}, e_{S_Z}	19,9			F	40	
		i_Z	20,7	RAC		Traces		
		Lm	22	/SK/		NEZ	02 38 30-40 30	
		N: $0,7^s$; $2,0\mu$		29.IX				
		Lm	24			DGP /GIG/: $16 10 34,0$		
		EZ: $1,0^s$; $2,5\mu$, $1,5\mu$		KRA				
		F	39	/Ch/		e_{NEZ}	16 10 45,0	
KRA		$\Delta=62$ km				e_E	54,0	
/SKM/		$e_{P_{g,NZ}}, e_{iP_{gE}}$	02 38 26,1			e_{NZ}	55,0	
		$e_{iS_{gNE}}$	34,4			e_{NEZ}	11 06,0	
		e_{iZ}	35,0			F	12	
1967				OCTOBRE				1967
1.X				3.X	CHZ	e_E	20 58 10,0	
	CHZ					e_Z	10,5	
		$e_{P_{NEZ}}$	10 02 50,0 D			Lm	13	
		Lm	55			NEZ: $0,7^s$; $2,5\mu$, $2,0\mu$, $1,5\mu$		
		NEZ: $0,6^s$; $1,5\mu$, $2,0\mu$, $1,0\mu$				F	30	
		F	03 30	KRA		$\Delta=75$ km		
				/SKM/		$e_{P_{g,NEZ}}$	20 58 20,9	
KRA						$e_{iS_{gNEZ}}$	30,9	
/Ch/		i_{EZ}	10 03 10,0			F	21 00 30	
		F	04	4.X				
NIE		NE - inactives				$\psi=50^{\circ}17'$; $\lambda=18^{\circ}52'$; $H=10^h29^m$		
		$e_{P_{gZ}}$	10 03 11,3			19^s ; $M=3,8$ /Chorzów/, 3,5 /Kra-		
		$e_{S_{gZ}}$	28,5			ków/; ZAB: $e_{iP_{NEZ}} 10 29 30,6$;		
		F	04			BYT: $e_{P_{NE}} 10 29 31,2$; DGP: e_{P_N} ,		
3.X		$H=20 58 07,2$; $M=2,4$ /Chorzów/				$e_{iP_{EZ}} 10 29 34,0$, $e_{iS_{NE}} 37,4$		
CHZ		$\Delta=9$ km		CHZ		$\Delta=9$ km		
		$e_{P_{NEZ}}$	20 58 09,5			$e_{iP_{NEZ}}$	10 29 31,7 D	

- 184 -

Date	Station	Phase	G.M.T. h m s	Date	Station	Phase	G.M.T. h m s
14.X	CHZ	Lm	23 59 36	21.X	CHZ	Lm	16 15 16
/suite/		NE: 0,8 ^s ; 3,0 μ , 4,0 μ				EZ: 1,0 ^s ; 2,0 μ , 1,8 μ	
	F		00 00		Lm		17
KRA	$\Delta=73$ km				F	N: 0,8 ^s ; 1,5 μ	16
/Ch/	ePg _{NEZ}		23 59 44,7	KRA	$\Delta=57$ km		
	eSg _{NE} , eISg _Z		54,0	/Ch/	ePg _Z		16 15 12,8
	F		00 01		eSg _{NZ}		20,3
NIE	$\Delta=138$ km				eE		21,5
	ePg _{NE} , eiPg _Z		23 59 56,2 D		Lm		36,1
	eISg _N , eSg _{EZ}		00 00 15,3		N: 1,1 ^s ; 0,09 μ		
	F		01		Lm		48,5
21.X		$\varphi=50^{\circ}15,5'$; $\lambda=18^{\circ}58,5'$; H=00 ^h			F	Z: 1,0 ^s ; 0,08 μ	17
		47 ^m 46 ^s ; M=3,1 /Kraków/; BYT /GIG/		NIE			
		00 47 48,3 ; ZAB: iP _{NZ} , eiP _E 00			ePg _{NEZ}		16 15/24,2/
		47 48,7, eS _{NEZ} 51,1 ; DGP: eP _{EZ}			eZ		38,9
		00 47 49,8			eISg _{NE}		41,2
CHZ	$\Delta=4$ km. Z - inactive				F		17
	iP _{NE}		00 47 47,4	RAC	Traces		
	Lm		51	/SK/	Z		16 15-17
	E: 0,8 ^s ; 30,0 μ			22.X			
	F		49 30		BYT /GIG/:		20 09 32,9
RBN	$\Delta=36$ km			KRA	Faible		
	ei _{NEZ}		00 47 54	/Ch/	eEZ		20 09 45,6
	i _{NEZ}		56		eN		47,4
	i _{NEZ}		48 00		eZ		55,6
	F		51		F		11
RAC	$\Delta=58$ km			NIE			
/SK/	ePg _Z		00 47 56,8		ePg _{NE} , eiPg _Z		20 09 57,2 D
	eE		57,5		eSg _{NZ} , eISg _E		10 15,7
	eN, eiE		48 01,5		F		11
	F		51 30	24.X			
KRA	$\Delta=72$ km				$\varphi=50^{\circ}16,0'$; $\lambda=18^{\circ}58,5'$;		
/SKM/	eiPg _{NEZ}		00 47 59,2 D		H=07 ^h 33 ^m 07 ^s ; BYT /GIG/:		07 33
	iSg _{NEZ}		48 08,3		/09,9/; ZAB: eP _{NE} , eiP _Z 07 33		
/Ch/	Lm		38,0		10,0; DGP: eP _{EZ} 07 33 11, eS _{NE} 14		
	NE: 1,2 ^s , 1,3 ^s ; 0,24 μ , 0,28 μ			RBN	$\Delta=36$ km		
	F		51		eP _Z		07 33 13,8
21.X		H=06 ^h 15 ^m 02,5 ^s ; M=2,8 /Chorzów/,			ei _Z		22,8
		2,5 /Kraków/; DGP /GIG/:			ei _{NE}		23,3
		04,4			F		35 30
CHZ	$\Delta=19$ km			RAC	$\Delta=59$ km		
	eP _{EZ}		16 15 06,5	/SK/	eNZ		07 33 19,8
	eN		07,5				

- 185 -

Date	Station	Phase	G.M.T. h m s	Date	Station	Phase	G.M.T. h m s
24.X	RAC	ei _N , eEZ	07 33 31,5	31.X	BYT /GIG/:		06 24 40,1
/suite/	F		36	KRA	Traces		
KRA	$\Delta=72$ km			/Ch/	eEZ		06 24 50,9
/Ch/	ePg _Z		07 33 20,2		F		26
	i _N , eZ		29,0	NIE			
	eISg _Z		29,9		ePg _E , eiPg _Z		06 24 01,8 D
	F		35		eZ		25,8
NIE	$\Delta=134$ km				F		26
	eiPg _{NEZ}		07 33 31,1 C	RAC	Traces		
	ei _Z		45,9	/SK/	NEZ		06 25-27
	eISg _{NE}		47,0	31.X	BYT /GIG/:		12 13 26,9
	F		35 30	KRA			
25.X		ZAB /GIG/:	19 54 55,2 ;	/SKM/	ei _{NEZ}		12 13 46,2
		BYT /GIG/:	19 54 55,5 ;		F		15
		DGP /GIG/:	19 55 00,2	NIE			
KRA					ePg _{EZ}		12 13 48,5
/Ch/	eN		19 55 18,7		eiE		14 04,8
	eNE		24,5		e/Sg/Z		05,5
	eZ		30,5		F		30
	F		56	RBN	Traces		
NIE	Traces			N			12 13-15
	eE		19 55 37,5	RAC	Traces		
	eZ		39,5	/SK/	NEZ		12 13-16
	F		56				
1967 NOVEMBRE 1967							
2.XI		BYT /GIG/:	05 37 22,6	2.XI	NIE		
CHZ					ePg _E , eiPg _Z		05 37 47,5
	eNEZ		05 37 23,9		F		39
	ie, eiZ		25,9	3.XI			
	Lm		29		$\varphi=50^{\circ}20,7'$; $\lambda=18^{\circ}53,3'$; H=01 ^h		
	EZ: 1,0 ^s ; 2,5 μ , 1,0 μ				23 ^m 18,0 ^s ; M=3,0 /Chorzów/; BYT:		
	Lm		33		eiP _{NE} 01 23 19,2 ; ZAB: eiP _{EZ}		
	N: 0,9 ^s ; 2,0 μ				01 23 19,6 ; eIS _{NEZ} 21,4		
	F		38	CHZ	$\Delta=9$ km		
KRA	Traces				eiP _{NEZ}		01 23 20,3 D
/Ch/	eE		05 37 36,2		iS _Z		22,1
	eNZ		36,7		Lm		25
	F		39		Z: 1,0 ^s ; 5,7 μ		
					Lm		26
					E: 1,0 ^s ; 11,5 μ		

Date	Station	Phase	G.M.T. h m s	Date	Station	Phase	G.M.T. h m s
3.XI	CHZ	Lm	01 23 29	10.XI	KRA		
/suite/		N: $0,8^S$; $13,0\mu$		/Ch/	ePg _{NEZ}		13 54 40,5
	F	24			ei _N		48,0
RAC	$\Delta=58$ km				ei _{EZ}		49,0
/SK/	ePg _Z		01 23 28,7	F			56
	ei _N		38,0	RAC	Traces		
	e _E		39,0	/SK/	NEZ		13 55-57
	F		26 30				
RBN	$\Delta=36$ km			11.XI	RBN		
	eS _{NEZ}		01 23 29,6		eiP _{NEZ}		22 08 57,5
	F		25 30		i _{NEZ}		09 00,0
KRA	$\Delta=81$ km				i _{NEZ}		03,5
/SKM/	iP _{NEZ}		01 23 32,6 C	F			10
	ei _{NZ}		41,6	RAC			
	ei _{NEZ}		43,1	/SK/	iP _{NEZ}		22 08 58
/Ch/	Lm		24 13,1		ei _{NEZ}		09 01
	N: $1,1^S$; $0,21\mu$				ei _{NEZ}		05
	Lm		14,2	Lm			28
	E: $1,1^S$; $0,09\mu$				Z: $1,5^S$; $2,5\mu$		
	Lm		15,1	F			12
	Z: $1,1^S$; $0,16\mu$						
	F		25 30	KRA			
NIE	$\Delta=141$ km. NE - illisibles			/Ch/	e _{EZ}		22 09 14,8
	eiPg _Z		01 23 42,9 C		e _N		28,5
	ei _Z		24 03,7		e _E		29,4
	F		25 30	F			10 30
8.XI	BYT /GIG/:		19 04 13,8	NIE			
KRA	Traces				eiPg _{NEZ}		22 09 21,5 C
/Ch/	eSg _N		19 04 39,4		eiSg _{EZ}		41,0
	F		05 30		ei _N		42,0
NIE	N - illisible			F			11
	ePg _{EZ}		19 03 40,0	16.XI	DGP /GIG/:		12 12 23,1 ;
	e _{EZ}		57,5	BYT /GIG/:			12 12 29,9
	e _Z		04 00,0	CHZ			
	F		06		eP _{EZ}		12 12 25,0
10.XI	DGP /GIG/:		13 54 29,0		ei _Z		28,7
CHZ				Lm			34
	eP _{EZ}		13 54 32,3		NEZ: $1,0^S$; $2,0\mu$, $1,6\mu$, $1,5\mu$		
	e _Z		36,0	F			13 30
	Lm		40	KRA			
	NEZ: $1,0^S$; $2,0\mu$, $2,0\mu$, $1,0\mu$			/Ch/	ePg _{NEZ} , eiPg _Z		12 12 31,8 D
	F		55 30		ei _{NEZ}		39,4
					ei/Sg _E , i/Sg _Z		40,8
				F			14

Date	Station	Phase	G.M.T. h m s	Date	Station	Phase	G.M.T. h m s
16.XI	NIE	Forte ag.mi.		18.XI	CHZ	eP _Z	13 42 26,8
/suite/	e _{NE}		12 13 00,3		$\Delta=4$ km		
	ei _{NZ} , e _E		04,4		eP _E , eiP _Z		13 42 24,1
	F		14		eiS _Z		25,1
17.XI	BYT /GIG/:		17 43 41,5 ;		Lm		26
	DGP /GIG/:		17 43 48,2		NEZ: $1,0^S$; $2,0\mu$, $3,0\mu$, $2,0\mu$		
CHZ				F			44
	e _{NEZ}		17 43 43,2	KRA	$\Delta=72$ km		
	Lm		48	/Ch/	ePg _{EZ}		13 42 35,7
	NEZ: $1,0^S$; $2,0\mu$, $2,0\mu$, $2,0\mu$				eiSg _{EZ}		45,2
	F		44 30	F			44
KRA				NIE	$\Delta=133$ km		
/Ch/	eSg _N		17 44 05,3		ePg _{NEZ}		13 42 46,4
	e _Z		06,2		eiSg _N , eSg _Z		43 04,4
	F		45	F			44
RBN	Traces			RBN	Traces		
	N		17 43-45		NEZ		13 42-45
RAC	Traces			18.XI	H= $14^h 12^m 07,5^S$; M=2,6 /Chorzów/;		
/SK/	Z		17 44-47	CHZ	DGP /GIG/:		14 12 13,4
18.XI	H= $06^h 09^m 23^S$; DGP /GIG/:		06 09		$\Delta=11$ km		
	25,1				eP _{NE} , eiP _Z		14 12 10,1 D
KRA	$\Delta=67$ km			Lm			13
/Ch/	ePg _{NEZ}		06 09 35,2		NEZ: $1,1^S$; $2,5\mu$, $2,5\mu$, $2,6\mu$		
	eSg _{NZ}		44,2	F			13
	F		10 30	RBN			
18.XI	DGP /GIG/:		11 02 39,5		e _{NEZ}		14 12 19
RAC				F			14
/SK/	iP _{NEZ}		11 02 23	KRA	$\Delta=78$ km		
	ei _Z		25	/Ch/	ePg _Z		14 12 21,6
	ei _{NEZ}		30		iSg _{EZ}		32,0
	F		06	F			14
RBN				NIE	$\Delta=141$ km		
	iP _{NEZ}		11 02 24,6		ePg _N , eiPg _Z		14 12 32,6 D
	i _{NEZ}		28,5		ei _{NE}		49,4
	F		04	F			13 30
KRA	Traces			RAC	Traces		
/Ch/	e _Z		11 02 37,2	/SK/	Z		14 12-15
	e _E		38,4	18.XI	BYT /GIG/:		20 12 13,8 ;
	e _N		42,8		DGP /GIG/:		20 12 18,8
	F		04	CHZ			
18.XI	$\varphi=50^{\circ}15'$; $\lambda=18^{\circ}58'$; H= $13^h 42^m$				eP _Z		20 12 16,8
	$22,7^S$; H=2,0 /Chorzów/, DGP:				ei _{EZ}		18,4

- 188 -

Date	Station	Phase	G.M.T. h m s	Date	Station	Phase	G.M.T. h m s
18.XI	CHZ	Lm	20 12 22	27.XI	KRA	H=05 ^h 41 ^m 55 ^s ; BYT /GIG/: 05 41 57,3 Δ=84 km	
/suite/		NEZ: 1,0 ^s ; 2,0 μ, 2,5 μ, 1,5 μ		/Ch/	ePgEZ		05 42 10,2
	F		13		e _N		20,2
	KRA				eSgEZ		21,3
/Ch/	ePg _{NEZ}		20 12 28,7		F		44
	e _{NEZ}		38,2	RBN	Traces		
	F		13 30	N			05 42-44
	NIE			RAC	Traces		
	ePg _{NE} , e1Pg _Z		20 12 39,4 D	/SK/	NEZ		05 42-45
	F		14	27.XI			
	RAC	Traces			ψ=50°17,0'; λ=18°56,5'; H=15 ^h		
/SK/	NEZ		20 12-15		22 ^m 36,5 ^s ; M=2,6 /Kraków/, 2,4		
22.XI		BYT /GIG/: 12 37 39,8 ;			/Chorzów/; DGP: eP _Z 15 22 40,4;		
		DGP /GIG/: 12 37 43,9			BYT /GIG/: 15 22 41,1		
	KRA	Traces		CHZ	Δ=4 km. N - inactive		
/Ch/	e/Pg/Z		12 37 54,0		1PEZ		15 22 37,9 D
	e _{NE}		38 10,6		iEZ		38,5
	F		39		Lm		40
	NIE				Z: 1,0 ^s ; 6,8 μ		
	ePg _{NE} , e1Pg _Z		12 38 04,7 D		Lm		41
	e _{NE}		23,0		E: 1,0 ^s ; 7,5 μ		
	e _{1NE}		28,1		F		23 30
	F		39	KRA	Δ=75 km		
23.XI	RBN			/Ch/	ePg _{NEZ} , e1Pg _E		15 22 50,2 D
	1P _{NEZ}		00 44 16,8		e1SgEZ		23 00,2
	i _{NE}		18,8		Lm		29
	e _{1N}		21,0		NEZ: 1,4 ^s , 1,3 ^s , 1,1 ^s ; 0,09 μ,		
	F		46		0,13 μ, 0,06 μ		
	KRA	Traces		RBN	Δ=35 km		
/SKM/	e _{1NEZ}		00 44 36,6		e _{NEZ}		15 22 53,5
	F		46		F		25
26.XI		DGP /GIG/: 17 53 26,1		NIE	Δ=137 km		
	KRA				ePg _{NEZ}		15 23 00,7
/SKM/	ePgEZ		17 53 35,4		e1Sg _{NE}		18,9
	e _{1NE}		44,9		F		24 30
	F		54 30	RAC	Traces		
	NIE			/SK/	NEZ		15 23-26
	ePg _{NEZ}		17 53 47,5	30.XI			
	e _Z		54 03,4	CHZ	DGP /GIG/: 18 27 36,7		
	F		55		N - inactive		
					1PEZ		18 27 38,5 D
					i _Z		39,0

- 189 -

Date	Station	Phase	G.M.T. h m s	Date	Station	Phase	G.M.T. h m s
30.XI	CHZ	iEZ	18 27 40,3	30.XI	KRA		
/suite/		Lm	42	/SKM/	e _{NEZ}		18 27 59,7
		EZ: 1,0 ^s ; 2,0 μ, 2,0 μ			F		29
			28	RAC	Traces		
				/SK/	Z		18 28-30
1967 D É C E M B R E 1967							
5.XII	KRA	DGP /GIG/: 16 21 53,0		8.XII	CHZ	Lm	11 50 37
/Ch/	ePg _Z		16 22 03,5			EZ: 0,8 ^s ; 6,0 μ, 5,0 μ	
	e _{1N}		12,6		F		51 30
	e _Z		13,0	KRA	Δ=67 km		
	F		23	/Ch/	ePg _{NE} , e1Pg _Z		11 50 44,3 D
NIE					e1SgEZ		53,4
	e/Pg/NEZ		16 22 15,4		F		52
	e _{NEZ}		32,7	NIE	Δ=129 km		
	e1Sg _E		33,5		ePg _E , e1Pg _Z		11 50 55,0
	F		24		e1Sg _Z		51 13,8
8.XII					F		52 30
CHZ				RBN	Traces		
	eP _E , e1P _Z		01 33 08,7 D		NEZ		11 50-52
	e _{NEZ}		09,1	RAC	Traces		
	i _Z		11,3	/SK/	NEZ		11 51-53
	Lm		14	8.XII			
	F		30		ψ=50°21'; λ=18°52'; H=15 ^h 44 ^m		
					29,5 ^s ; M=3,3 /Chorzów/; BYT:		
KRA					eP _E 15 44 29,8 ; ZAB /GIG/: 15		
/Ch/	ePgEZ		01 33 21,3		44 30 ; DGP : eP _{EZ} 15 44 34,7 ,		
	e _N		30,6		eS _{EZ} 37,7		
	e _Z		31,2	CHZ	Δ=11 km		
	F		34 30		1PEZ		15 44 32,1 D
NIE					e1S _{EZ}		33,9
	e/Pg/E, e1/Pg/Z		01 33 32,4		Lm		37
	F		35		Z: 0,4 ^s ; 5,5 μ		
					F		45
8.XII				KRA	Δ=82 km		
	ψ=50°14,5'; λ=19°02,0';			/Ch/	ePg _N , e1Pg _Z		15 44 44,4 D
	H=11 ^h 50 ^m 32,0 ^s ; M=2,7 /Chorzów/;				e1SgEZ		55,3
	DGP : eP _{NEZ} 11 50 35,4				F		46
CHZ				RAC	Δ=56 km. Traces		
	Δ=7 km			/SK/	e _{NEZ}		15 44 48
	e1PEZ		11 50 33,9 D		F		47
	1SEZ		35,1				

- 190 -

Date	Station	Phase	G.M.T. h m s	Date	Station	Phase	G.M.T. h m s
8.XII	NIE	$\Delta = 146$ km		10.XII	RAC		
/suite/	ePg _Z		15 44 54,8	/SK/	e ^{NEZ}		15 14 55
	ei _Z		59,5		e ^{NEZ}		15 08
	ei ¹ _{NZ}		45 15,7		F		18
	F		46 30	NIE			
	RBN	Traces			eiPg ^{NZ} , ePg ^E		15 15 03,3
	NE		15 44-46		i ^N , e ^E		23,2
9.XII	ZAB:	iP _Z 09 30 13,5 ;			ei _Z		24,3
	BYT /GIG/:	09 30 15,1 ;			F		17
	DGP /GIG/:	09 30 17,8		RBN	Traces		
CHZ				NEZ			15 15-17
	eP _Z		09 30 13,4	11.XII	H=16 ^h 42 ^m 05,5 ^s ; BYT /GIG/:		16 42
	ei ^E , e ^Z		14,9		10,0 ; DGP /GIG/:		16 42 11,1
	Lm		18	CHZ	$\Delta = 10$ km		
	NEZ: 1,0 ^s ; 3,5 μ , 2,5 μ , 2,7 μ				eP ^{NE} , eiP _Z		16 42 08,0
	F		31		i _Z		09,5
KRA					Lm		12
/Ch/	e/Pg/EZ		09 30 26,8 D		EZ: 1,0 ^s ; 2,0 μ , 1,5 μ		30
	eiSg ^N , eSg _Z		35,6	KRA	$\Delta = 76$ km		
	F		32	/SKM/	ePg ^{NEZ}		16 42 19,3
RBN	Traces				eSg ^{NEZ}		29,3
N			09 30-33		F		44 30
RAC	Traces			NIE	Traces		
/SK/	EZ		09 30-33		e ^{NEZ}		16 42 39,5
10.XII					F		44
CHZ				RBN	Traces		
	eP ^E		15 14 40,5	N			16 42-44
	eP ^N , eiP _Z		40,9 D	11.XII			
	i ^E		43,9	CHZ			
	Lm		46		eP ^{NE} , eiP _Z		19 12 10,5 D
	N: 0,5 ^s ; 1,6 μ				i _Z		11,6
	Lm		48		Lm		14
	EZ: 1,1 ^s ; 2,0 μ , 1,5 μ				EZ: 0,9 ^s ; 2,0 μ , 1,6 μ		
	F		16 30		F		13
KRA				KRA	Traces		
/Ch/	ePg ^{NEZ}		15 14/51,8/	/Ch/	eEZ		19 12 23,4
	eSg ^E , eiSg _Z		15 04,1		e _Z		33,9
	Lm		40,8		F		13 30
	Z: 1,3 ^s ; 0,14 μ						
	Lm		41,2				
	NE: 1,5 ^s , 1,2 ^s ; 0,12 μ , 0,08 μ						
	F		16 30				

- 191 -

Date	Station	Phase	G.M.T. h m s	Date	Station	Phase	G.M.T. h m s
12.XII	KRA			19.XII	KRA		
	/Ch/	e/Pg/NEZ	05 24 37,0		/Ch/	ePg _Z	20 49 26,5 D
		e ^{NE}	46,0			e ^{NE}	37,8
		e _Z	46,5			e _Z	38,5
		F	26			F	51
	NIE			NIE			
		ePg _Z	05 24 47,9			ePg ^{EZ}	20 49 36,4
		ePg ^{NE}	48,3			e ^{NE}	56,5
		e ^N	25 04,6			e _Z	50 05,0
		ei ^E , e _Z	06,1			F	51
		F	26	RAC	Traces		
13.XII		BYT /GIG/:	21 22 33,1 ;	/SK/	NEZ		20 49-51
		DGP /GIG/:	21 22 36,1	RBN	Traces		
	KRA			N			20 49-51
	/SKM/	eiSg ^{NZ}	21 22 55,7	22.XII		BYT /GIG/:	12 45 58,3 ;
		ei ^{NEZ}	58,7			ZAB /GIG/:	12 46 03,8
		F	24	CHZ			
	NIE	Traces				eP ^{NEZ}	12 45/59,5/
		ePg ^{EZ}	21 22 55,8			Lm	46 07
		e ^E	23 13,5			EZ: 0,7 ^s ; 2,0 μ , 1,5 μ	
		ei ¹ _{NZ}	16,0			F	30
		F	24	KRA			
	RAC	Traces		/Ch/	ePg _Z		12 46 14,0
	/SK/	NEZ	21 23-25			e ^{NZ}	23,8
19.XII						e ^{EZ}	24,6
CHZ						ei ¹ _N	25,2
		eiP ^{NEZ}	15 30 19,4 D			F	47 30
		i _Z	20,6	NIE			
		Lm	23			ePg ^N , eiPg ^{EZ}	12 46 24,9 D
		EZ: 1,0 ^s ; 2,0 μ , 1,5 μ				eSg ^N , eiSg _Z	44,4
		F	31			F	48 30
	KRA			RAC	Traces		
	/Ch/	ePg ^{EZ}	15 30 31,7	/SK/	NEZ		12 46-48
		e ^N	41,0	22.XII		$\varphi = 50^{\circ}21'$; $\lambda = 18^{\circ}49'$; H=19 ^h 09 ^m	
		ei ^E , e _Z	43,4			19,8 ^s ; M=2,6 /Chorzów/, ZAB:	
		F	32			eP ^{NZ} 19 09 21,3 ; BYT /GIG/:	
	NIE	Traces				19 09/21,7/	
		ePg ^{EZ}	15 30 41,6	CHZ	$\Delta = 14$ km		
		e ^E	57,4			eP ^{EZ}	19 09 23,1 D
		e ^N	31 00,5			ei ¹ _N	25,6
		F	32				

- 192 -

Date	Station	Phase	G.M.T. h m s	Date	Station	Phase	G.M.T. h m s
22.XII	CHZ	eiEZ	19 09 25,9	24.XII	NIE	$\Delta = 150$ km	
/suite/		Lm	29			ePg _{NE} , eiPg _Z	00 17 00,1 D
		N: 0,7 ^s ; 2,0 μ				e _N	16,2
		Lm	32			e _E , ei _Z	18,1
		EZ: 1,1 ^s ; 2,0 μ , 2,0 μ				F	18 30
		F	10	24.XII		$\varphi = 50^{\circ}19'$; $\lambda = 18^{\circ}51'$; H=13 ^h 48 ^m	
RBN		$\Delta = 34$ km				24,6 ^s ; M=2,6 /Kraków/, 2,4 /Cho-	
		ei _E , e _Z	19 09 33,5			rzów/; ZAB: eiP _{NEZ} 13 48 26,0 ,	
		ei _N	37,7			iS _E 27,2	
		e _{EZ}	39,5	CHZ		$\Delta = 10$ km	
		F	12			eP _{NE} , eiP _Z	13 48 27,0 D
KRA		$\Delta = 86$ km				eiS _Z	28,9
/Ch/		ePg _{EZ}	19 09 35,3 D			Lm	33
		eSg _{NE} , eiSg _Z	46,7			Z: 1,0 ^s ; 1,9 μ	
		ei _{NZ}	47,9			Lm	35
		Lm	10 22			E: 0,8 ^s ; 2,0 μ	
		NZ: 1,2 ^s , 1,1 ^s ; 0,11 μ , 0,11 μ				Lm	37
		F	11 30			N: 0,7 ^s ; 2,0 μ	
RAC		$\Delta = 54$ km				F	14 00
/SK/		e _Z	19 09 35,6	RBN		$\Delta = 33$ km. Traces	
		eSg _{NE}	37,0			e _Z	13 48 33,8
		F	12			e _{EZ}	38,0
NIE		$\Delta = 148$ km				F	50 30
		eiP _{NEZ}	19 09 46,1 D	KRA		$\Delta = 82$ km	
		e _Z	10 02,5	/Ch/		eiP _{NEZ}	13 48 39,6
		eiSg _E	05,4			eSg _{EZ}	50,6
		ei _Z	08,4			Lm	49 21
		F	11 30			NEZ: 1,3 ^s ; 0,05 μ , 0,04 μ ,	
24.XII		H=00 ^h 16 ^m 33,5 ^s				0,06 μ	
CHZ						F	50
		e _{EZ}	00 16 39,4	NIE		$\Delta = 144$ km	
		i _{NE}	43,4			ePg _N , eiPg _{EZ}	13 48 50,2 D
		ei _Z	43,8			eiSg _{EZ}	49 09,1
		Lm	47			F	50 30
		Z: 1,0 ^s ; 1,2 μ		RAC		Traces	
		Lm	49	/SK/		Z	13 48-50
		NE: 1,0 ^s ; 2,0 μ , 1,2 μ		29.XII		BYT /GIG/: 20 06 24,9 ;	
		F	17 30			DGP /GIG/: 20 06 28,1	
KRA		$\Delta = 75$ km		KRA		Traces	
/Ch/		ePg _{EZ}	00 16 47,0	/Ch/		ePg _{NEZ}	20 06 39,2
		iSg _{EZ}	56,8			F	08
		i _Z	57,8	NIE			
		F	18			ePg _N , eiPg _Z	20 06 49,7 D

- 193 -

Date	Station	Phase	G.M.T. h m s	Date	Station	Phase	G.M.T. h m s
29.XII	NIE	e _E	20 06 50,2	30.XII	NIE		
/suite/		e _E	07 06,9			eiPg _Z	11 02 41,3
		F	08			e _{NZ} , ei _E	57,0
30.XII		DGP /GIG/:	11 02 19,3			e _Z	03 01,5
	KRA					F	04
	/Ch/	ePg _Z	11 02 29,7				
		e _E	35,7				
		F	03 30				

TABLE DES MATIÈRES

Introduction	3
Constantes des séismographes	4
Résultats des enregistrements des tremblements de terre distants	17
Résultats des enregistrements des secousses souterraines plus fortes en Haute Silésie	147

Cena zł 51,—

The Institute of Geophysics of the Polish Academy of Sciences wishes to announce that the „Bulletin Séismologique Préliminaire” for the years 1968, 1969 and 1970 should be treated as a final elaboration which will be supplemented later on by additional issues containing only the annual data on Upper Silesian earthquakes and the characteristics of the apparatus used. The complete set of issues for each year will appear under one cover.

The „Bulletin Séismologique Préliminaire” will cease publication at the end of 1970. Starting with 1971, data on distant earthquakes will be given only in quarterly bulletins, while those on the Upper Silesian earthquakes will be given in annual bulletins. All elaborations for each year will be published in bound volumes.